

il MODELLO STANDARD

**il MODELLO
STANDARD
È MORTO**



VIVA
il MODELLO
STANDARD!





Incontri di Fisica Moderna
17.12.2024

VIVA
**il MODELLO
STANDARD
È MORTO**

Andrea Pareti
ATLAS - RD_FCC

Francesco P. Ucci
QFT@Colliders



**Cos'è
il MODELLO
STANDARD**

Cos'è il **MODELLO** **STANDARD**

Una teoria che
descrive la Natura



Cos'è il **MODELLO** **STANDARD**

Una teoria che
descrive la Natura



verificata
sperimentalmente



Cos'è il **MODELLO** **STANDARD** delle **Particelle Elementari?**

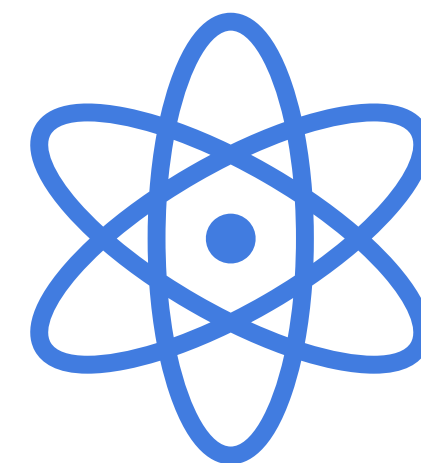
Una teoria che
descrive la Natura



verificata
sperimentalmente



Su scala microscopica

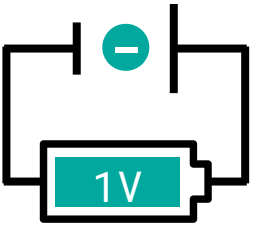


Particelle Elementari

$$E = h\nu = h\frac{c}{\lambda}$$

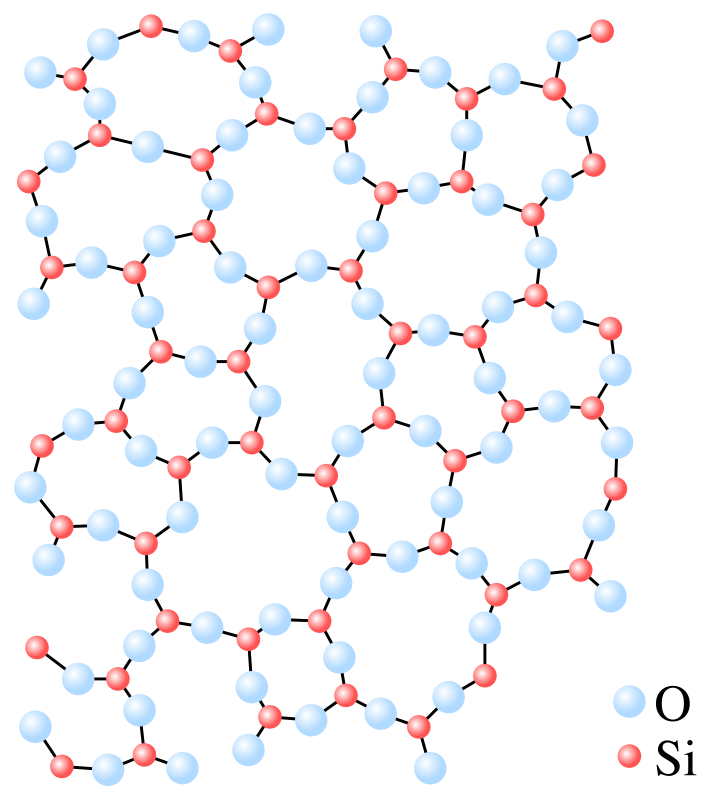
unità di misura

$$1 \text{ eV} = 1.6 \times 10^{-19} \text{ J}$$



$$h = 4.135667696 \dots \times 10^{-15} \text{ eV s}$$

Legami
molecolari



$\sim 10^{-9} \text{ m}$

0 (keV)

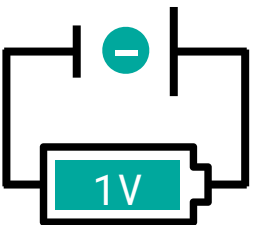
Struttura della
Materia

Particelle Elementari

$$E = h\nu = h\frac{c}{\lambda}$$

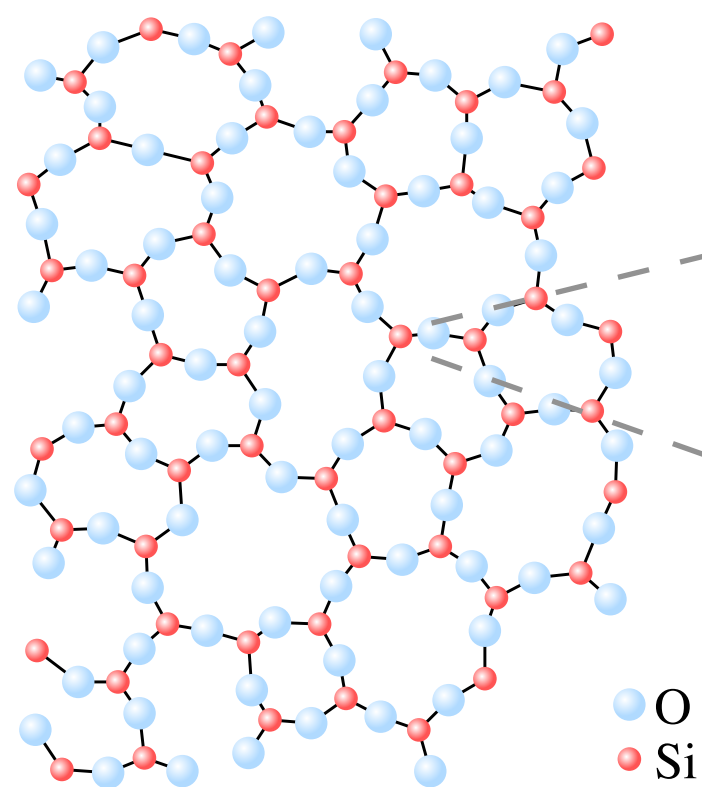
unità di misura

$$1 \text{ eV} = 1.6 \times 10^{-19} \text{ J}$$



$$h = 4.135667696 \dots \times 10^{-15} \text{ eV s}$$

Legami
molecolari

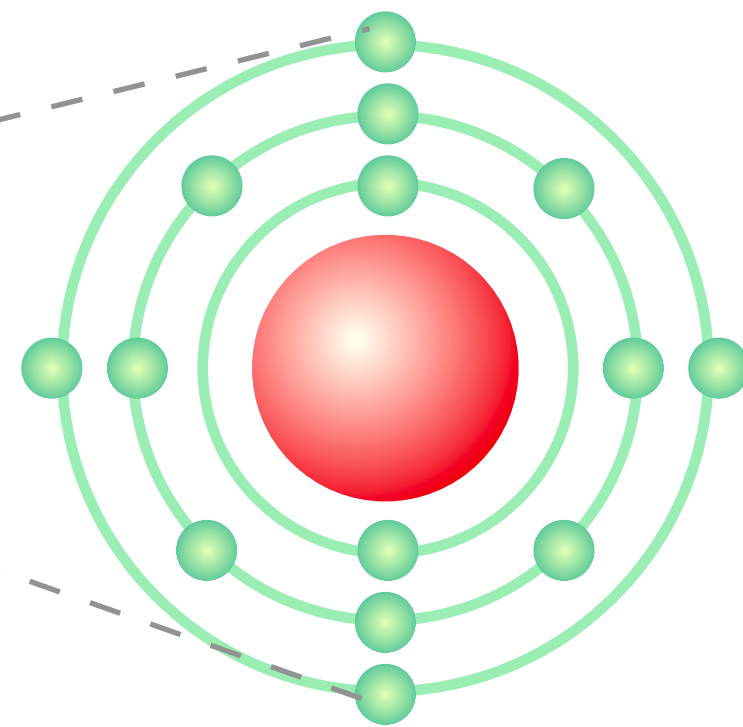


$\sim 10^{-9} \text{ m}$

0 (keV)

Struttura della
Materia

Atomi



$\sim 10^{-10} \text{ m}$

0 (10-100 keV)

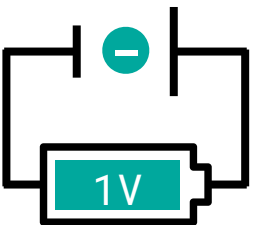
Orbitali atomici

Particelle Elementari

$$E = h\nu = h\frac{c}{\lambda}$$

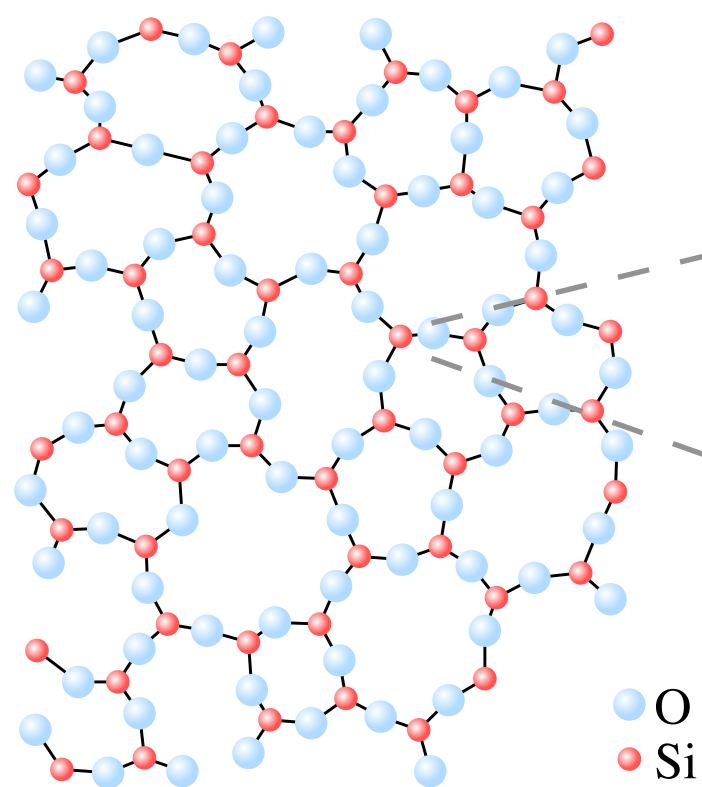
unità di misura

1 eV = 1.6 x 10⁻¹⁹ J



h = 4.135667696...x10⁻¹⁵ eV s

Legami
molecolari

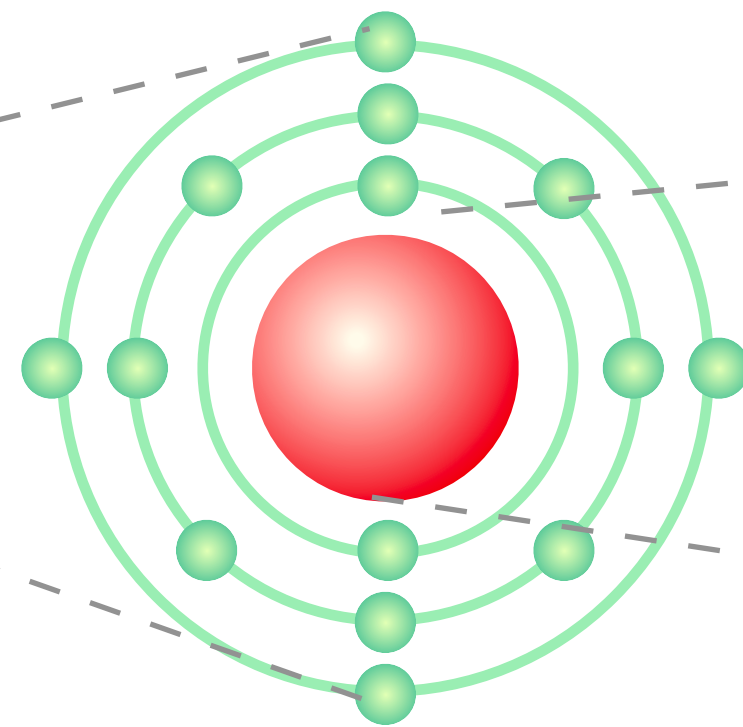


~10⁻⁹ m

0(keV)

Struttura della
Materia

Atomi

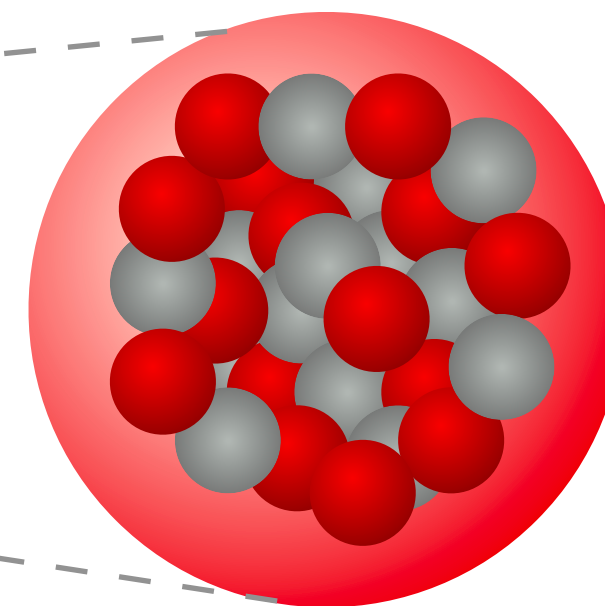


~10⁻¹⁰ m

0(10-100 keV)

Orbitali atomici

Nuclei atomici



~10⁻¹⁴ m

100 MeV

Fisica Nucleare

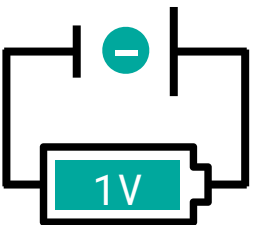
Particelle Elementari

$$E = h\nu = h\frac{c}{\lambda}$$

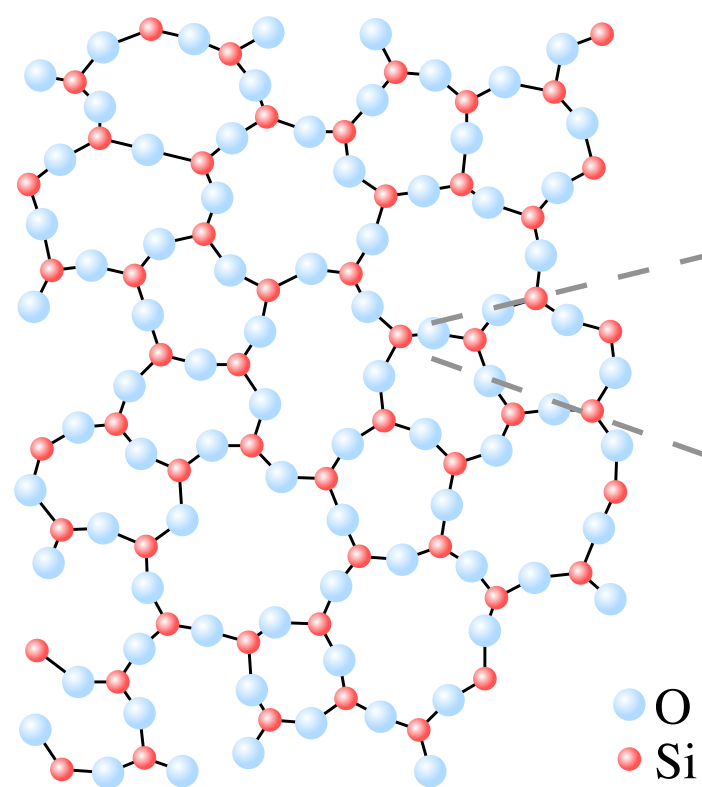
unità di misura

1 eV = 1.6×10^{-19} J

$h = 4.135667696 \dots \times 10^{-15}$ eV s



Legami
molecolari

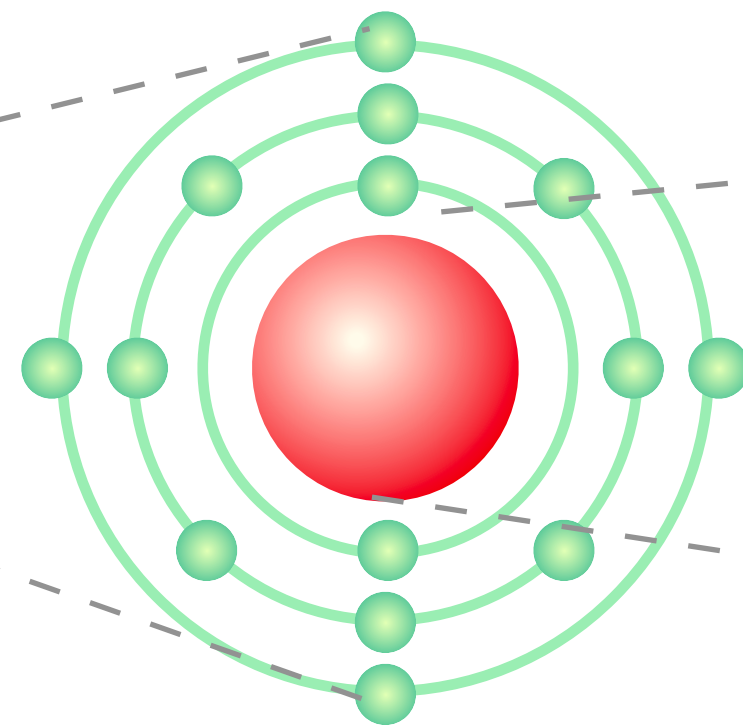


$\sim 10^{-9}$ m

0 (keV)

Struttura della
Materia

Atomi

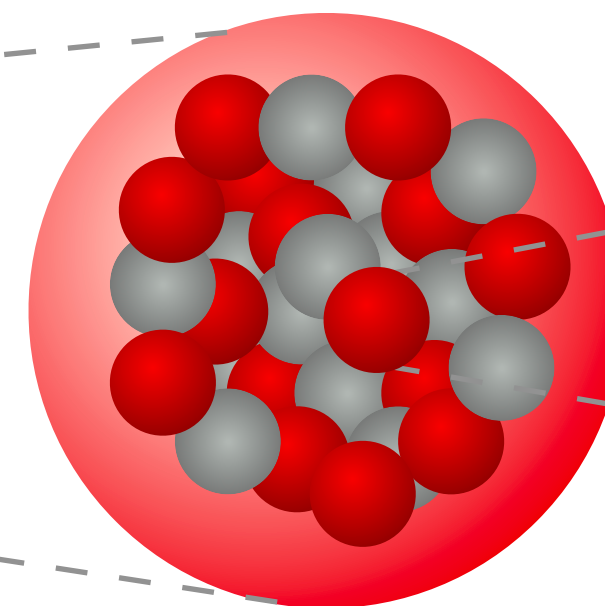


$\sim 10^{-10}$ m

0 (10-100 keV)

Orbitali atomici

Nuclei atomici

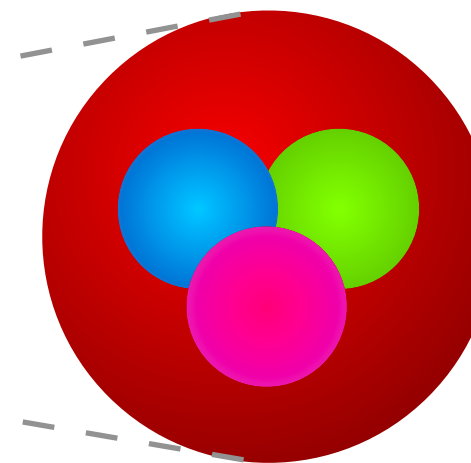


$\sim 10^{-14}$ m

100 MeV

Fisica Nucleare

Protoni



$\sim 10^{-15}$ m

1 GeV

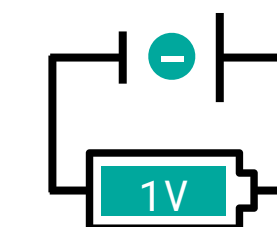


Particelle Elementari

$$E = h\nu = h\frac{c}{\lambda}$$

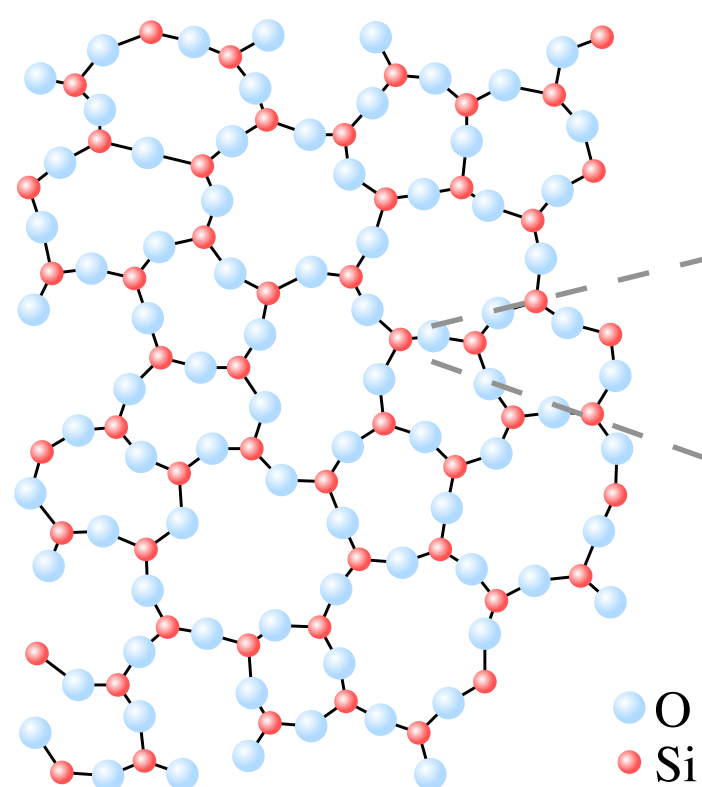
unità di misura

1 eV = 1.6×10^{-19} J



$h = 4.135667696 \dots \times 10^{-15}$ eV s

Legami
molecolari

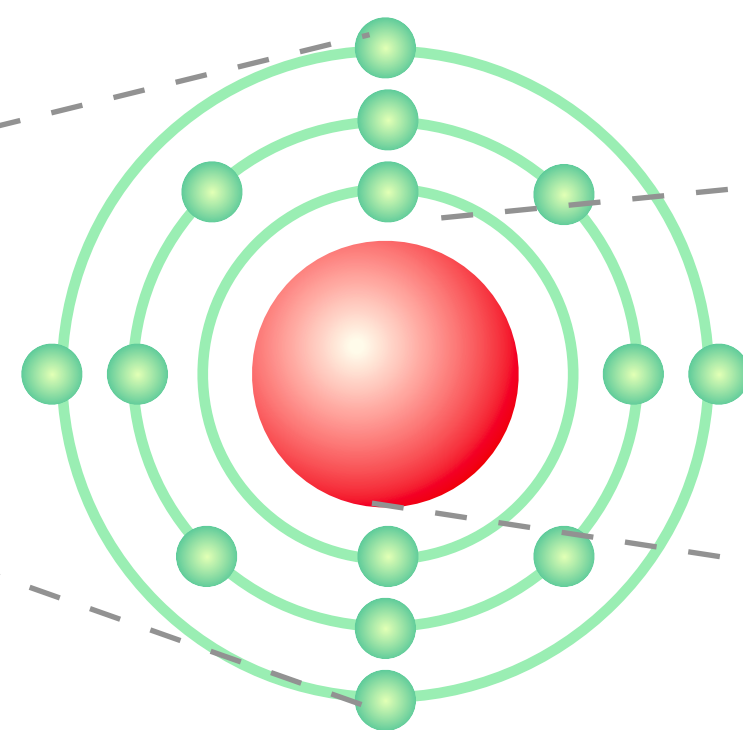


$\sim 10^{-9}$ m

0 (keV)

Struttura della
Materia

Atomi

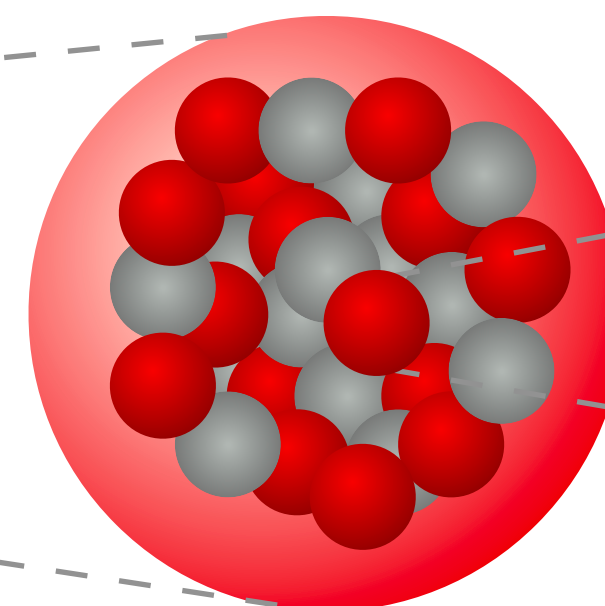


$\sim 10^{-10}$ m

0 (10-100 keV)

Orbitali atomici

Nuclei atomici

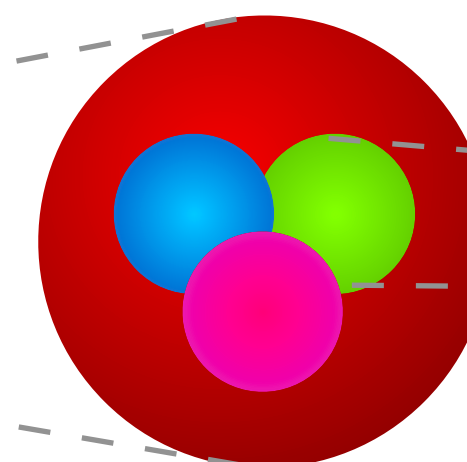


$\sim 10^{-14}$ m

100 MeV

Fisica Nucleare

Protoni



$\sim 10^{-15}$ m

1 GeV

Teoria Quantistica
dei Campi

Particelle
elementari



$< 10^{-17}$ m

0 (100 GeV)

Particelle Elementari

Puntiforme

non ulteriormente divisibile

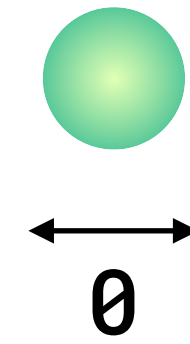


0

Particelle Elementari



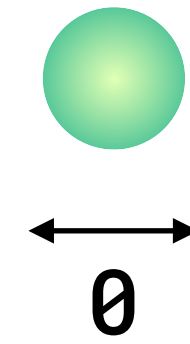
Puntiforme
non ulteriormente divisibile



Particelle Elementari



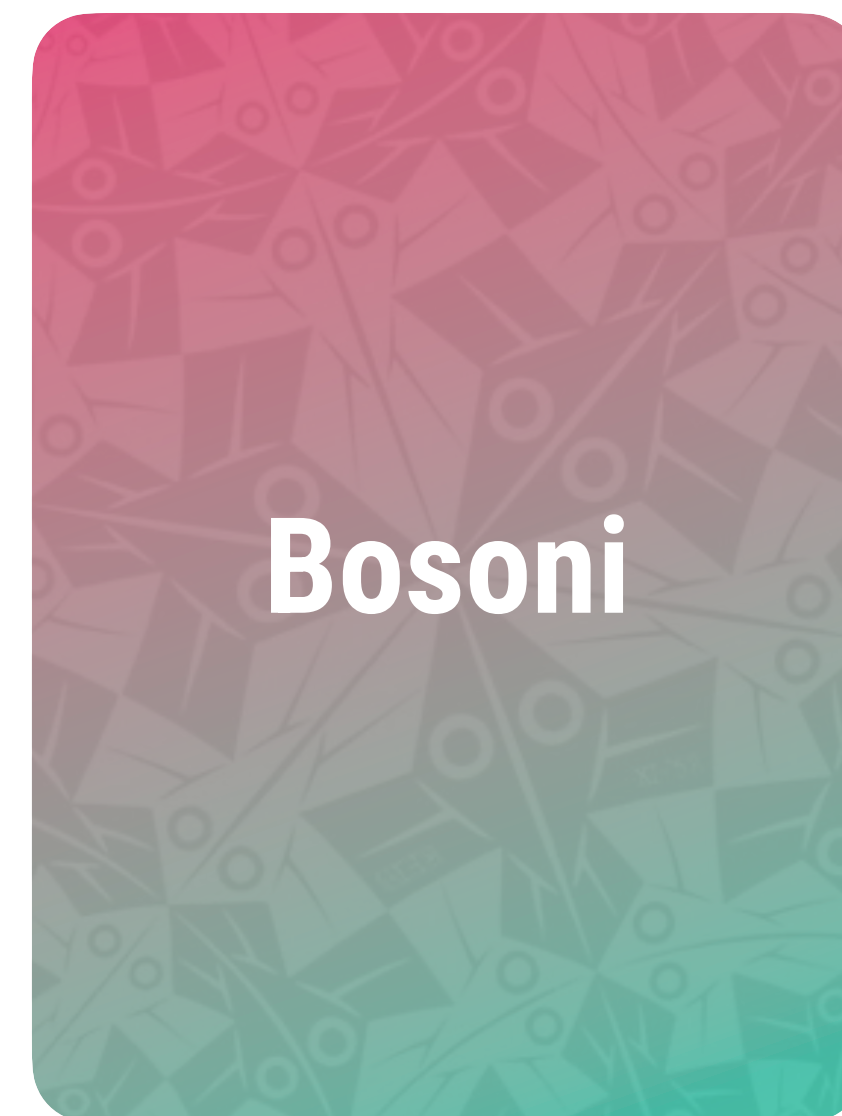
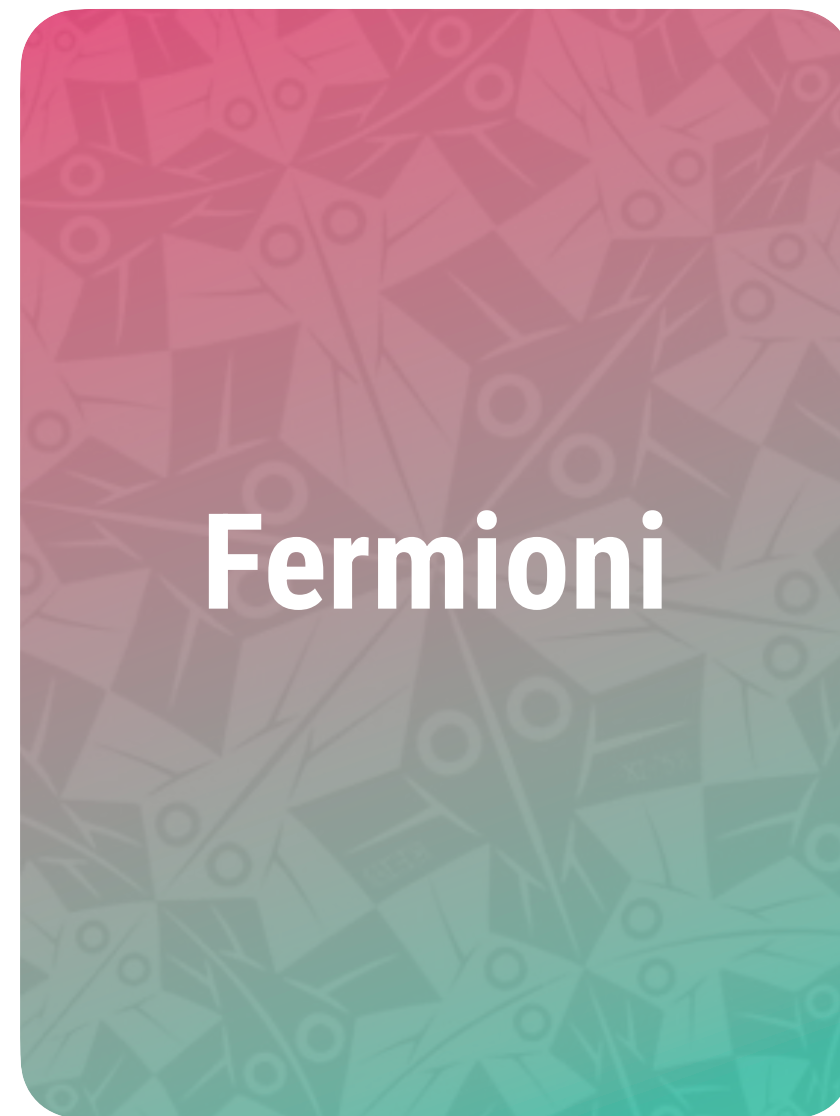
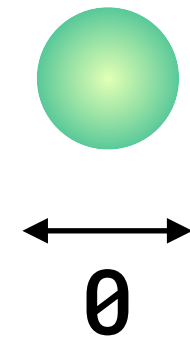
Puntiforme
non ulteriormente divisibile



Particelle Elementari



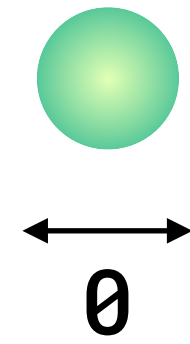
Puntiforme
non ulteriormente divisibile



Particelle Elementari



Puntiforme
non ulteriormente divisibile



F

$S = 1/2, 3/2, \dots n/2$
Spinori **F**

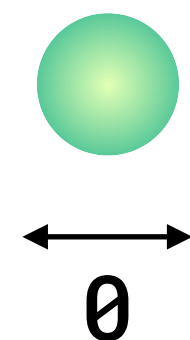
Materia ordinaria

Bosoni

Particelle Elementari



Puntiforme
non ulteriormente divisibile



F

$S = 1/2, 3/2, \dots n/2$
Spinori **F**

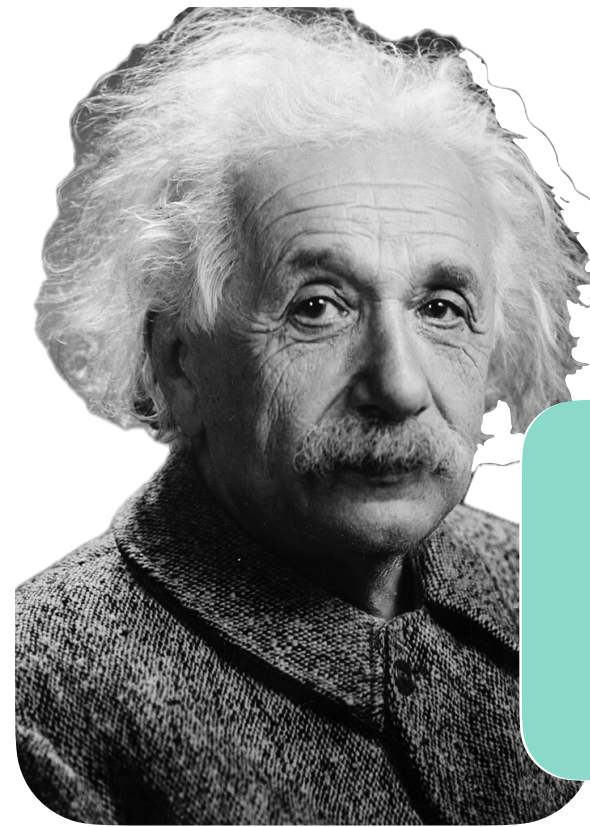
Materia ordinaria

B

$S = 0, 1, \dots n$
Vettori **B**

Forze

Particelle Elementari

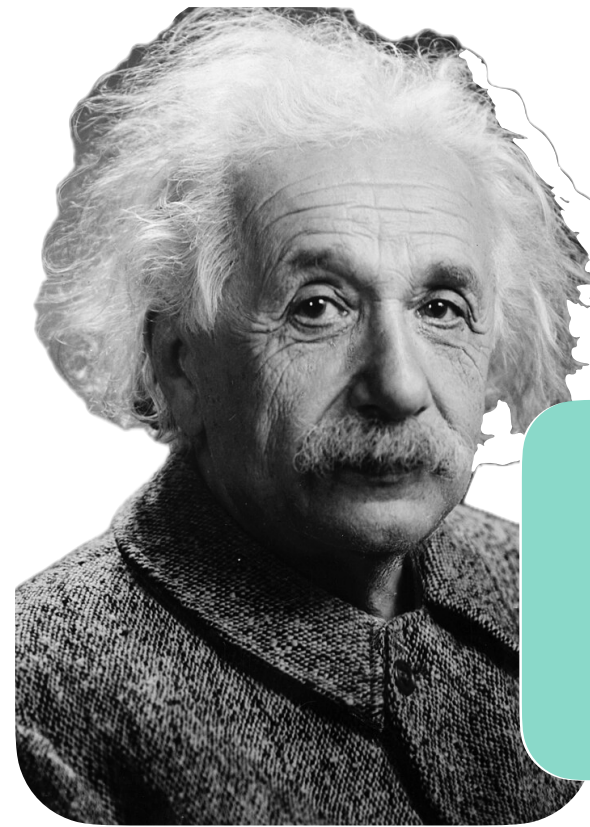


Relatività

$$E^2 = m^2c^4 + p^2c^2$$

Equivalenza massa-energia

Particelle Elementari



Relatività

$$E^2 = m^2c^4 + p^2c^2$$

Equivalenza massa-energia

+

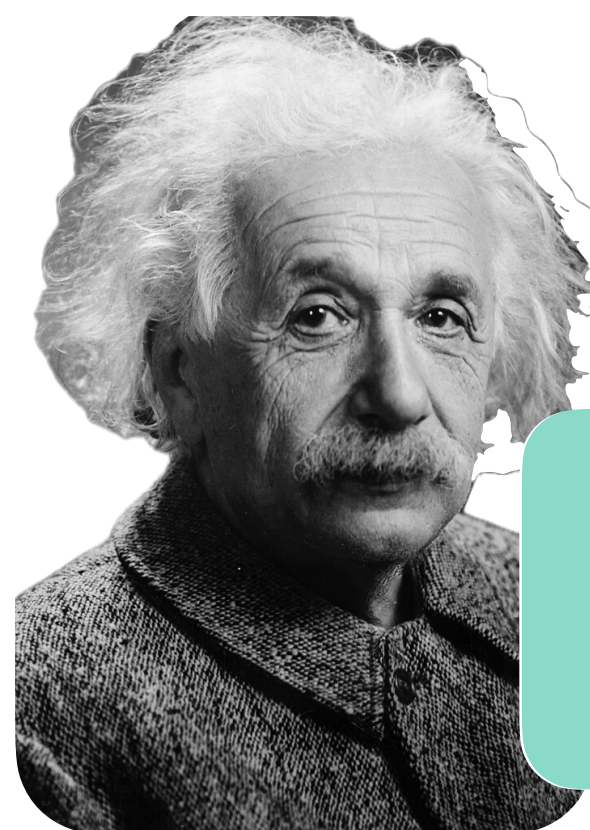


Meccanica Quantistica

$$\left(-\frac{\hbar^2}{2m} \nabla^2 + V \right) \psi = i \frac{\partial \psi}{\partial t}$$

Equazione di Schrödinger

Particelle Elementari



Relatività

$$E^2 = m^2c^4 + p^2c^2$$

Equivalenza massa-energia

+



Meccanica Quantistica

$$\left(-\frac{\hbar^2}{2m} \nabla^2 + V \right) \psi = i \frac{\partial \psi}{\partial t}$$

Equazione di Schrödinger



Teoria Quantistica dei Campi

$$(\gamma^\mu \partial_\mu - m)\psi = 0$$

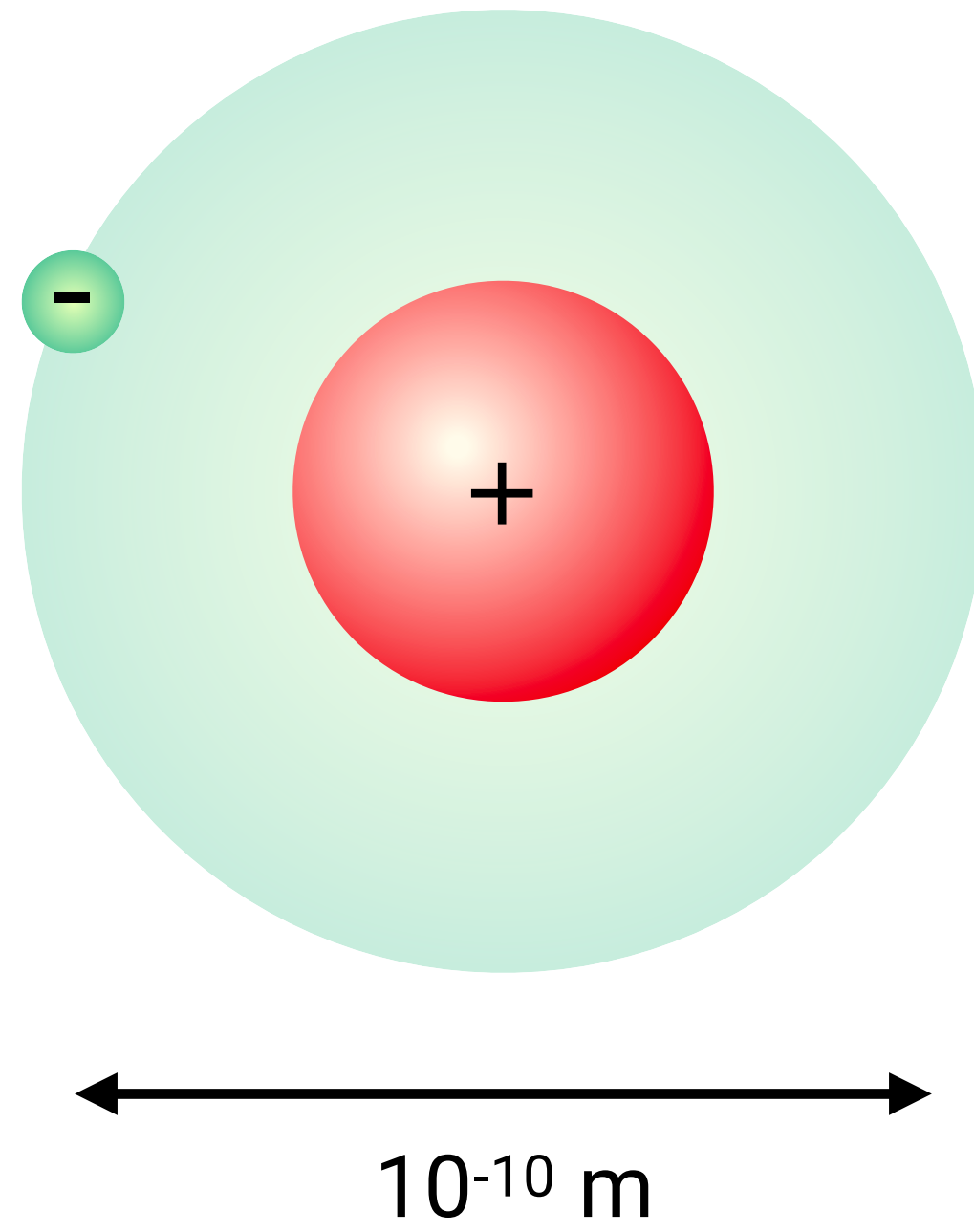
Eq. di Dirac

$$\psi = \psi(\vec{x}, t)$$

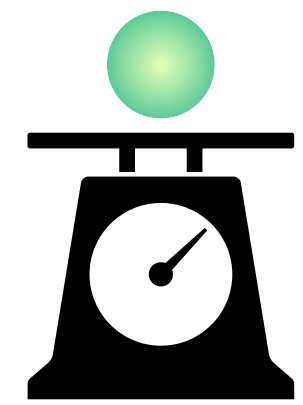
Eccitazioni di campi fondamentali

Le soluzioni dell'equazione prevedono
l'esistenza delle **antiparticelle**

Guardiamo in un atomo...



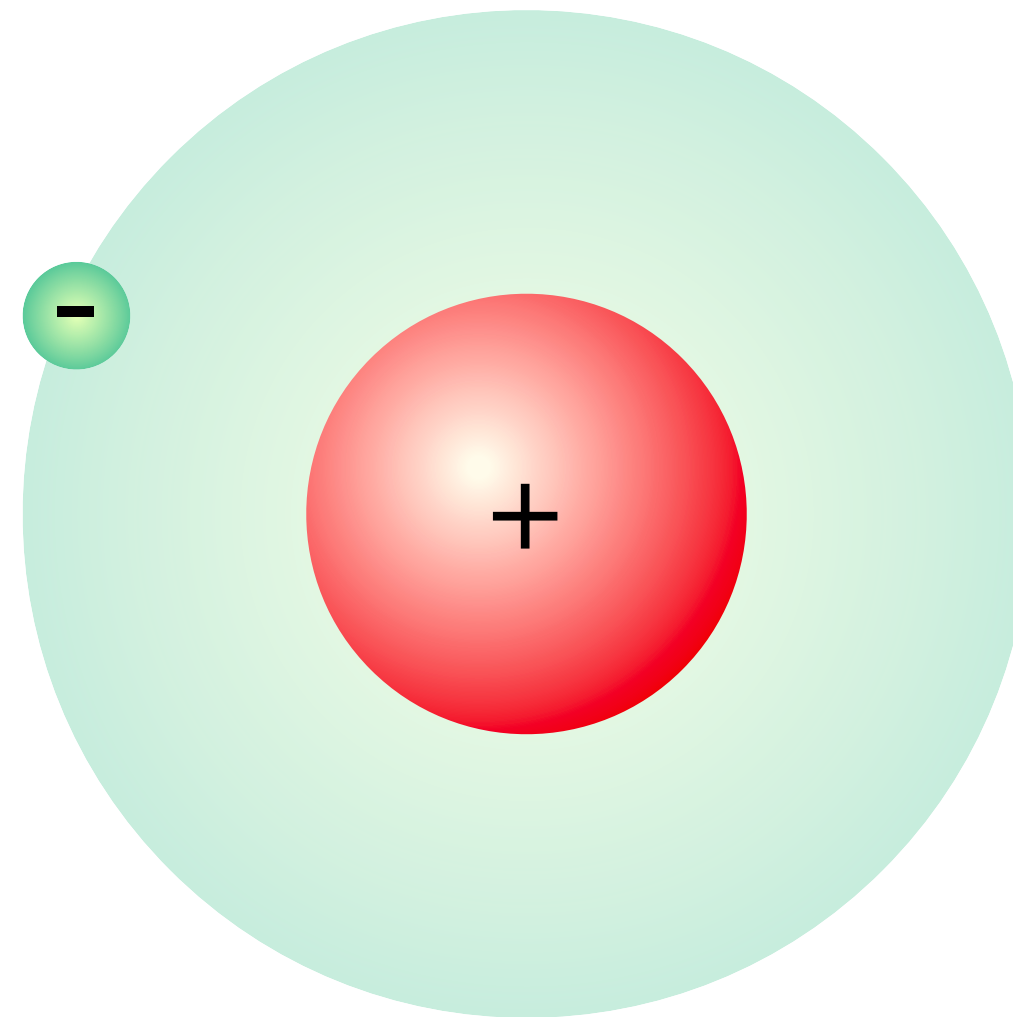
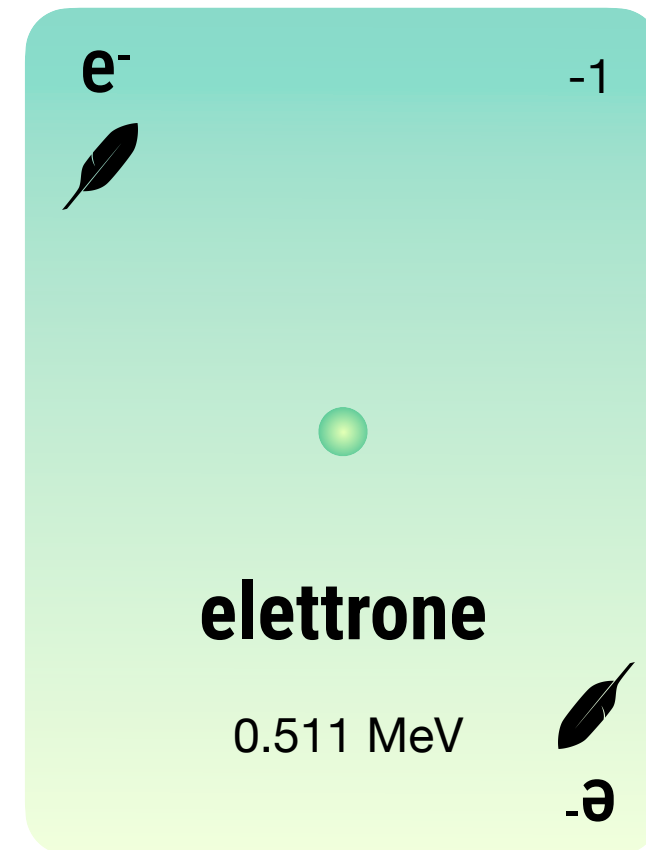
Il campo elettromagnetico



~0.5 MeV

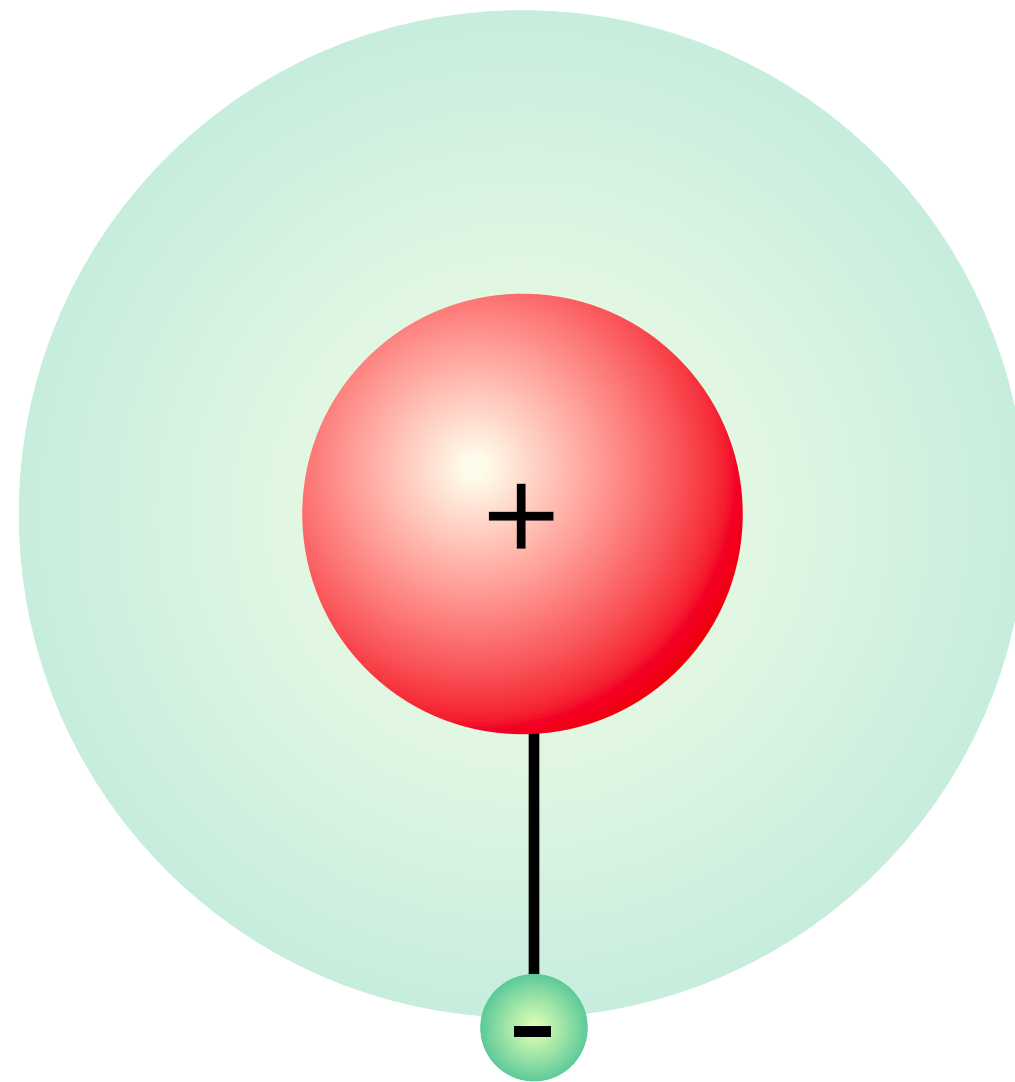
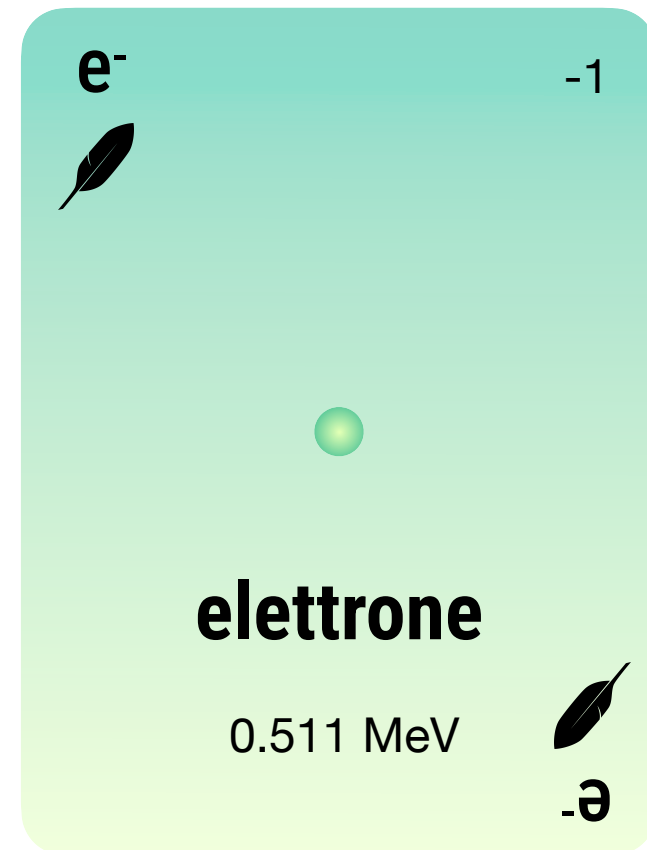
La particella carica
più leggera in natura!
(e anche stabile)

La materia ordinaria
a carica **negativa** è
fatta di elettroni



10⁻¹⁰ m

Il campo elettromagnetico



Classicamente
 L'elettrone è legato al nucleo attraverso la forza elettrica

$$F = \frac{1}{4\pi\epsilon_0} \frac{q_e q_N}{r^2}$$

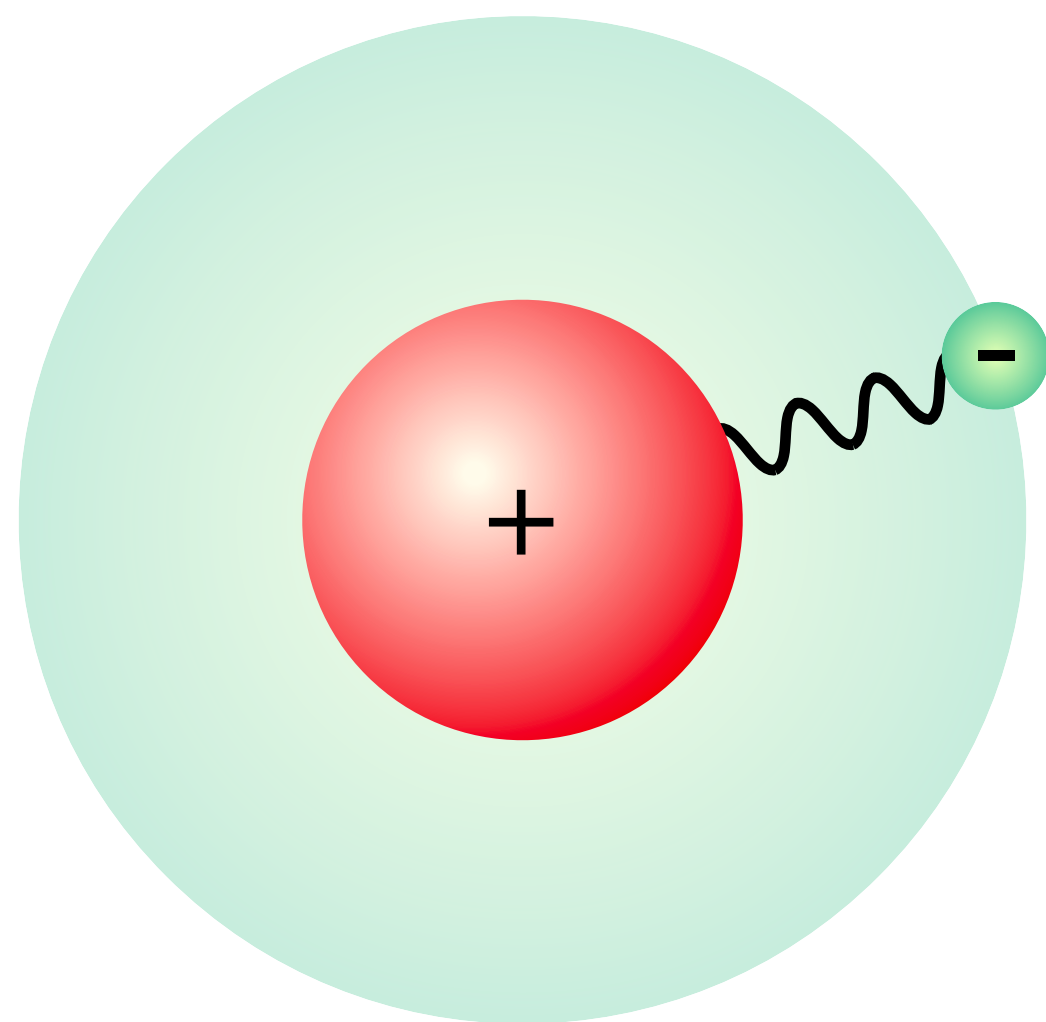
$$\begin{aligned} \nabla \times \vec{E} &= -\frac{\partial \vec{B}}{\partial t} \\ \nabla \cdot \vec{E} &= \frac{\rho}{\epsilon_0} \\ \nabla \times \vec{B} &= \mu_0 \epsilon_0 \frac{\partial \vec{E}}{\partial t} + \mu_0 \vec{J} \\ \nabla \cdot \vec{B} &= 0 \end{aligned}$$

Equazioni di Maxwell

$$F^{\mu\nu} = \begin{bmatrix} 0 & -E_x/c & -E_y/c & -E_z/c \\ E_x/c & 0 & -B_z & B_y \\ E_y/c & B_z & 0 & -B_x \\ E_z/c & -B_y & B_x & 0 \end{bmatrix}$$

Campo Elettromagnetico classico

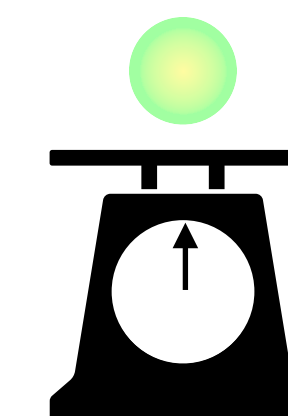
Il campo elettromagnetico



Quantisticamente
L'elettrone scambia
fotoni con il nucleo

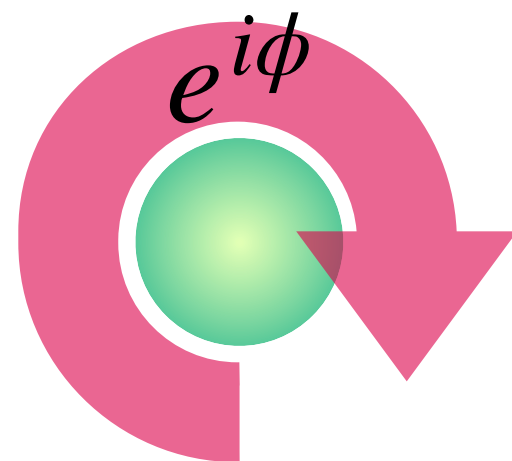
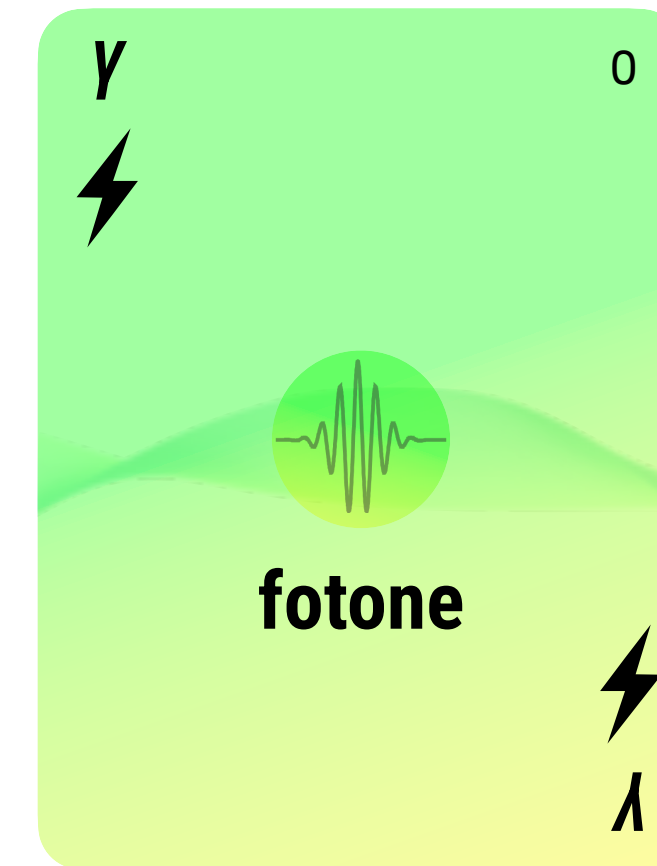
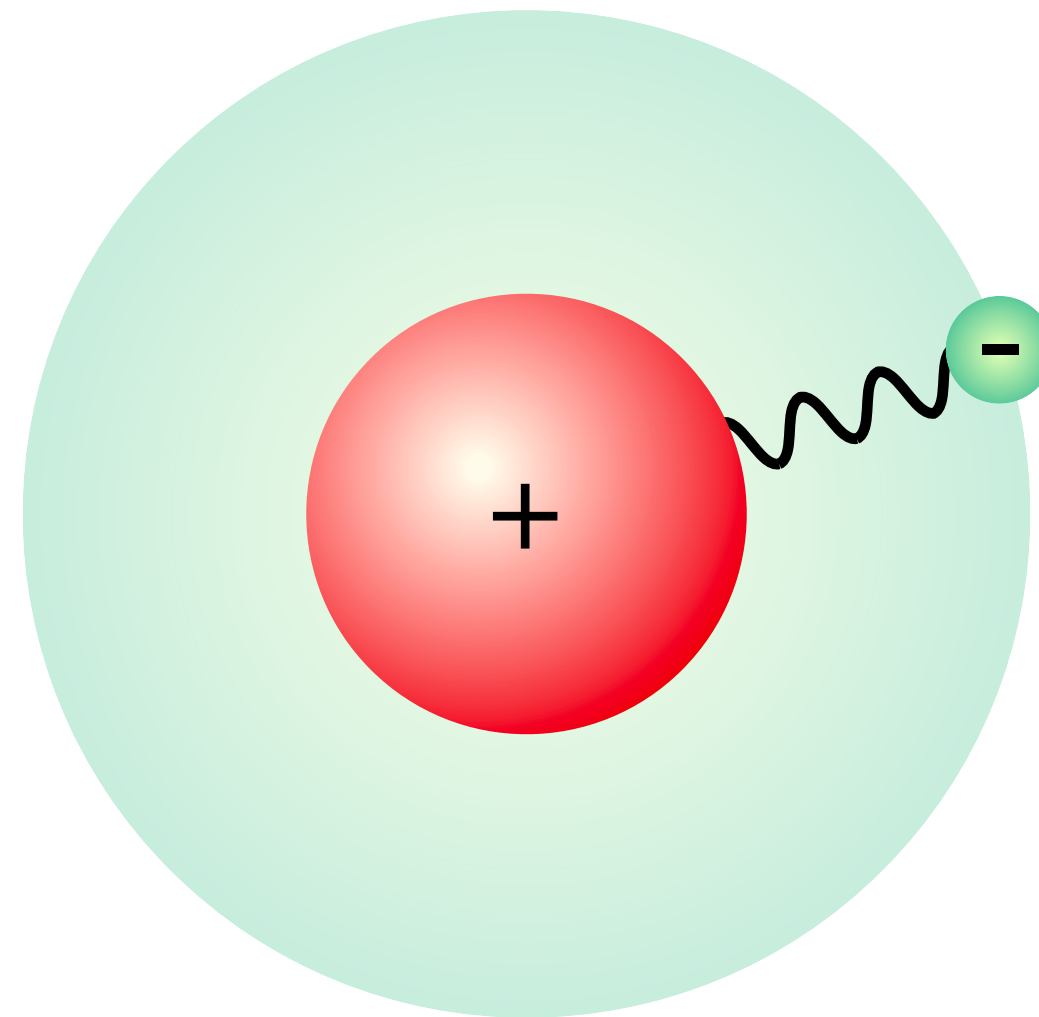
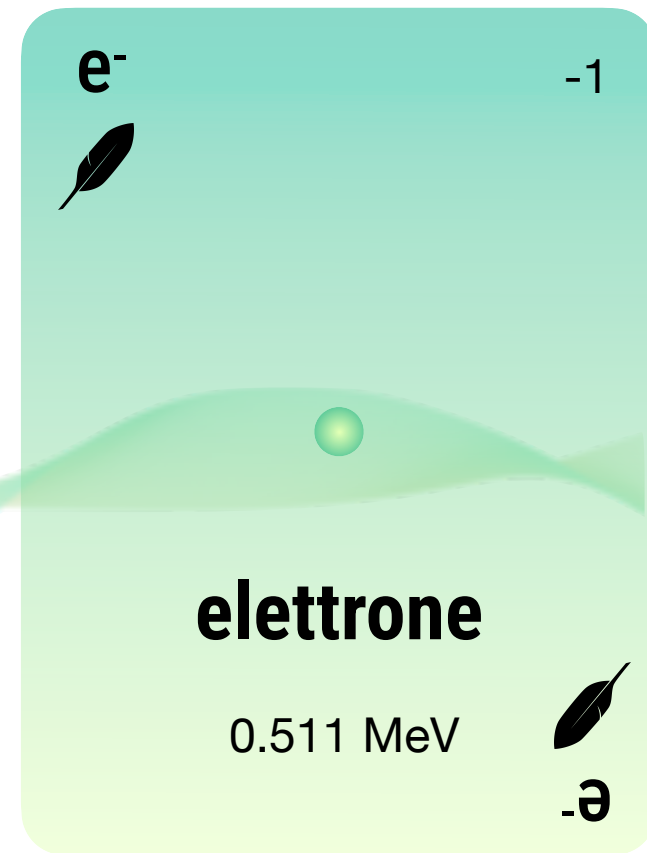


$$E^2 = \cancel{m^2 c^4} + p^2 c^2$$



0
si muove a v=c

Il campo elettromagnetico



Risultato dell'invarianza per "rotazioni" del campo dell'elettrone



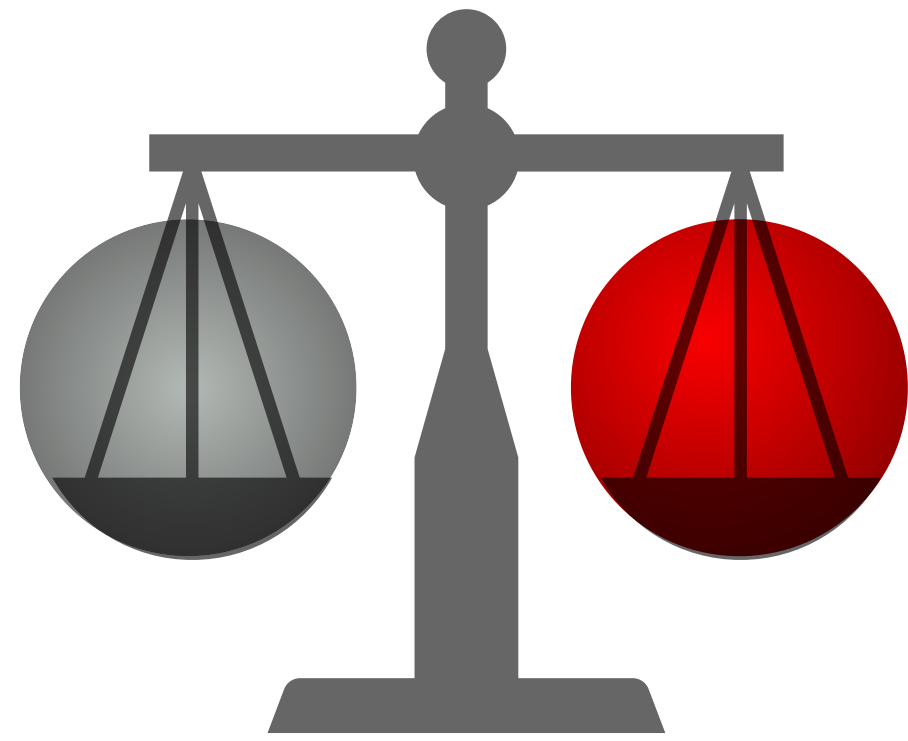
Elettrodinamica Quantistica

$$\mathcal{L} = -\frac{1}{4}F_{\mu\nu}F^{\mu\nu} - ej_{\mu}A^{\mu}$$

Il fotone è il **quanto** che media la forza elettromagnetica

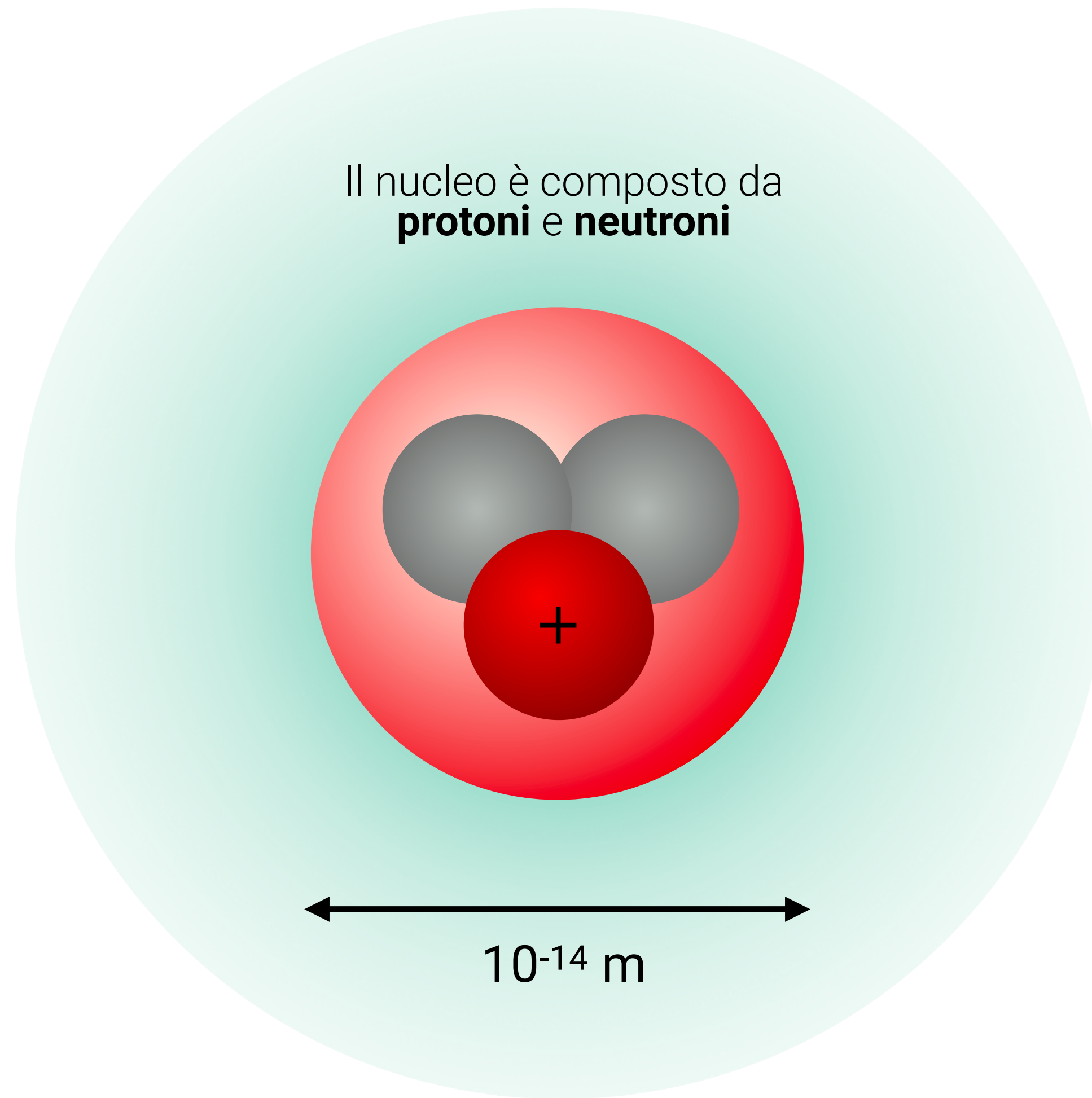
intensità proporzionale alla **carica**

Il nucleo

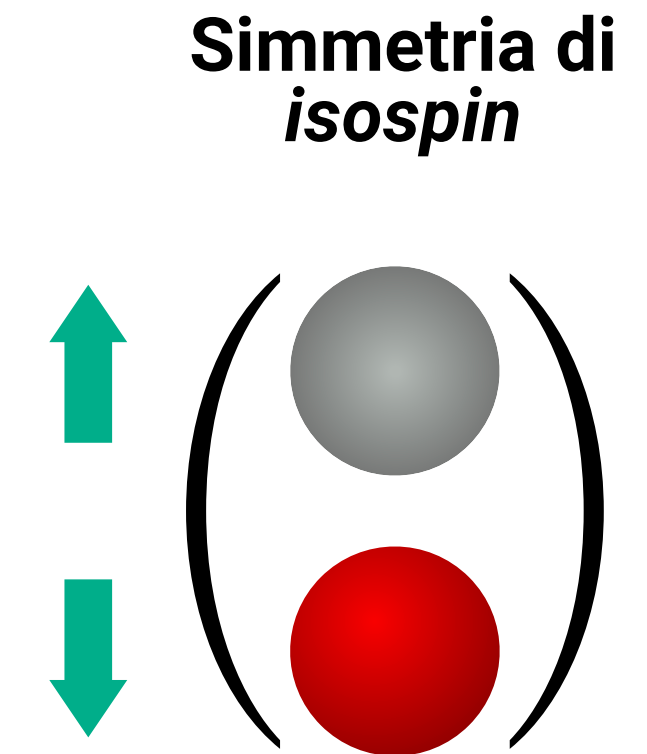


~ 1 GeV

~**2000 volte** la massa dell'elettrone!



La forza nucleare è circa uguale per **p** e **n**



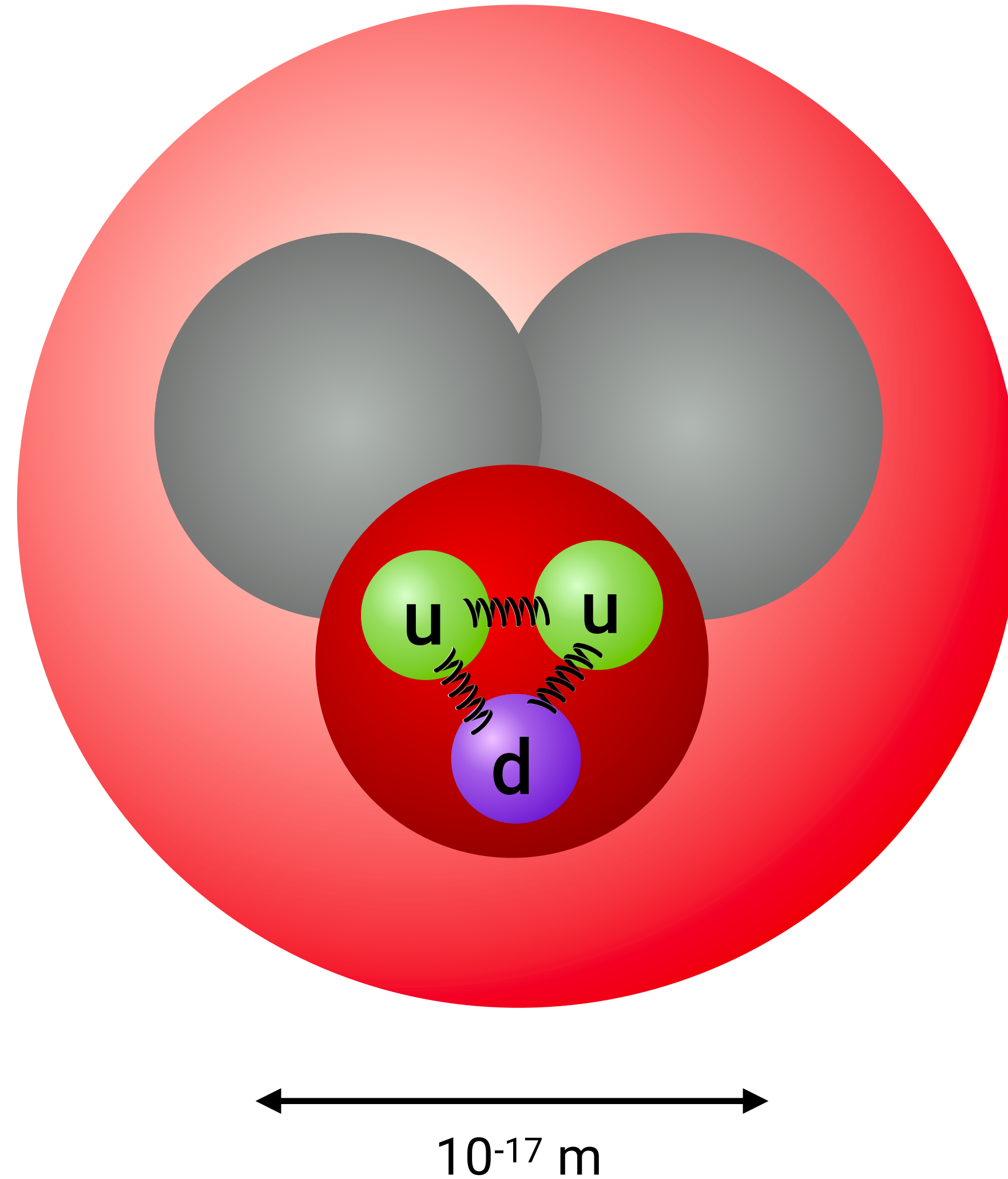
p e **n** sono due manifestazioni della stessa particella: il **nucleone**



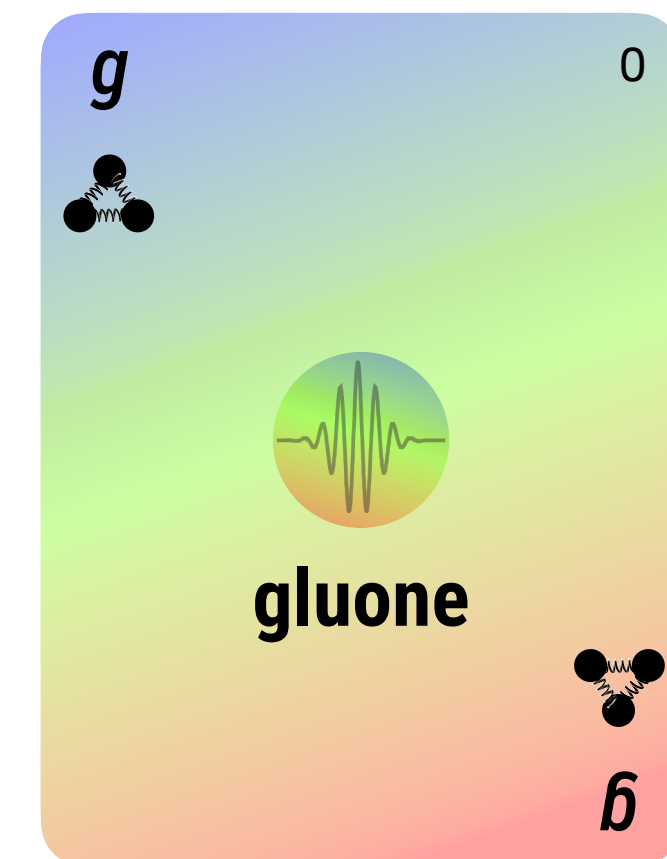
Dentro il nucleo

$$V_{\text{Yukawa}} = -g^2 \frac{e^{-\mu r}}{r}$$

I nucleoni interagiscono attraverso un potenziale residuo dell'**interazione forte**



Cromodinamica Quantistica



La forza forte è dovuta allo scambio di **gluoni**

Dentro il protone

I nucleoni non sono particelle elementari.
Al loro interno ci sono i **quark**

u $+2/3$

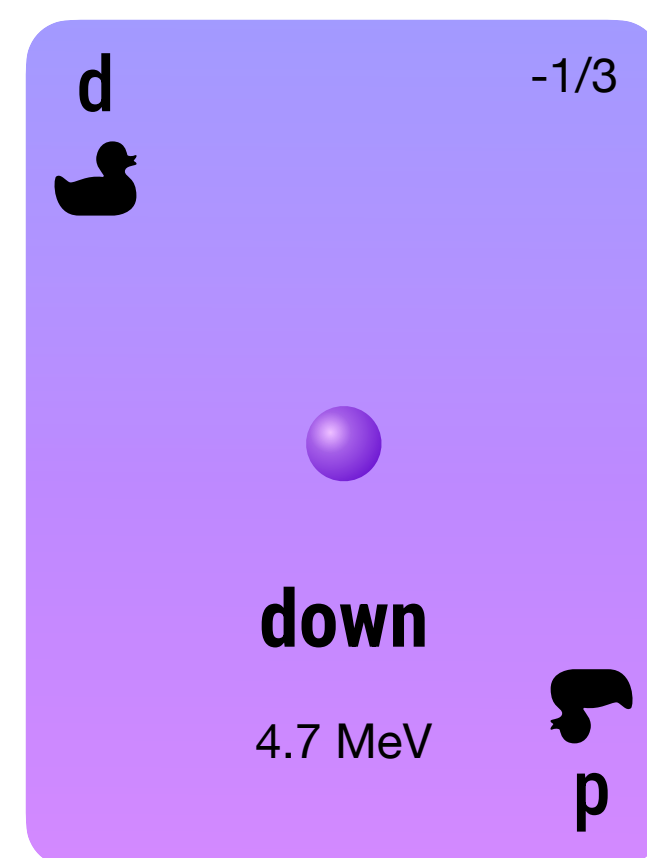


up
2.1 MeV

n

A purple card representing an up quark. It features a small black quark symbol at the top left, the letter 'u' at the top right, and a small purple dot in the center. The text 'up' and '2.1 MeV' are in the middle, and a larger black quark symbol with the letter 'n' below it is at the bottom right.

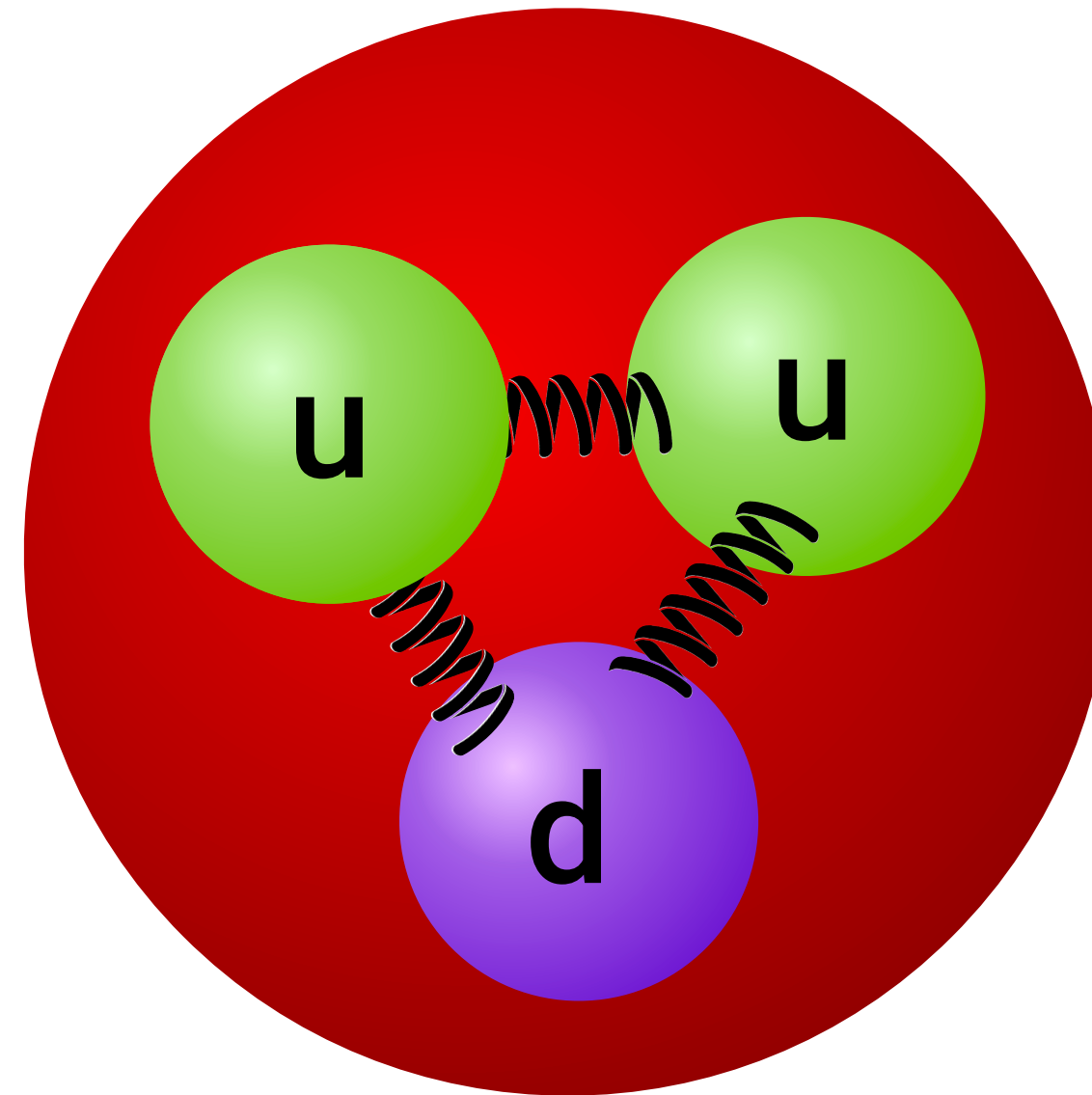
d $-1/3$



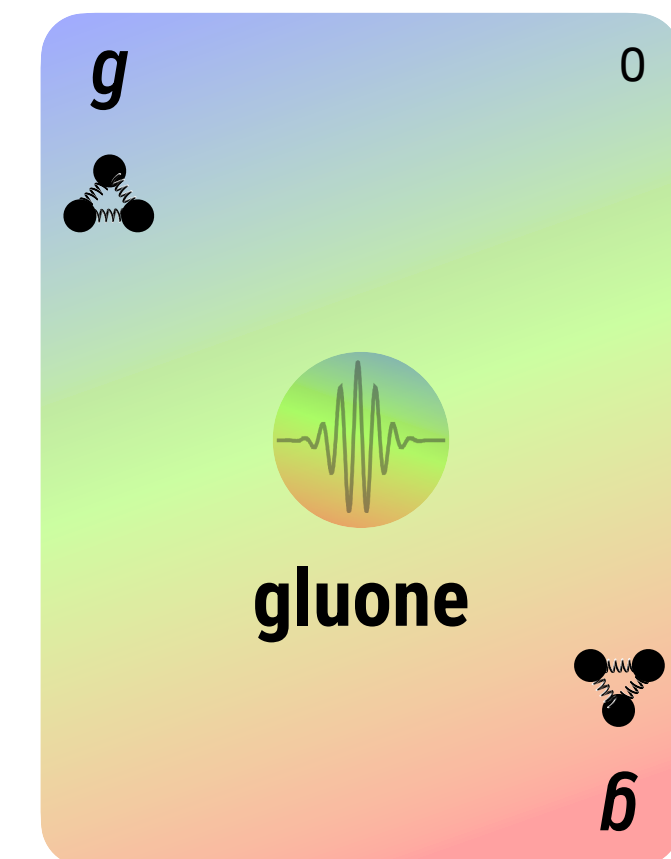
down
4.7 MeV

p

A purple card representing a down quark. It features a small black quark symbol at the top left, the letter 'd' at the top right, and a small purple dot in the center. The text 'down' and '4.7 MeV' are in the middle, and a larger black quark symbol with the letter 'p' below it is at the bottom right.



g 0

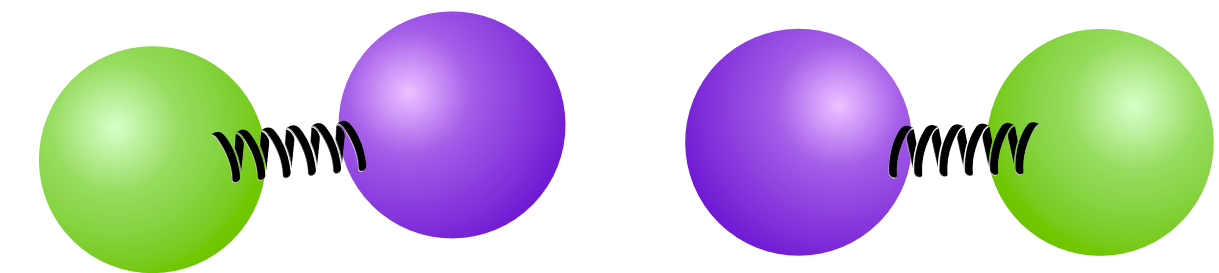
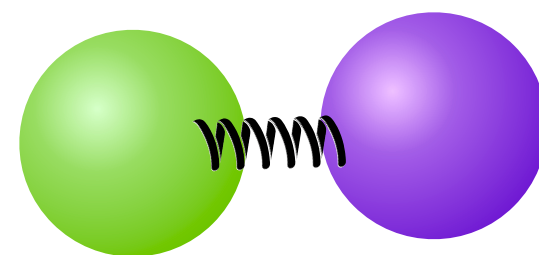


gluone

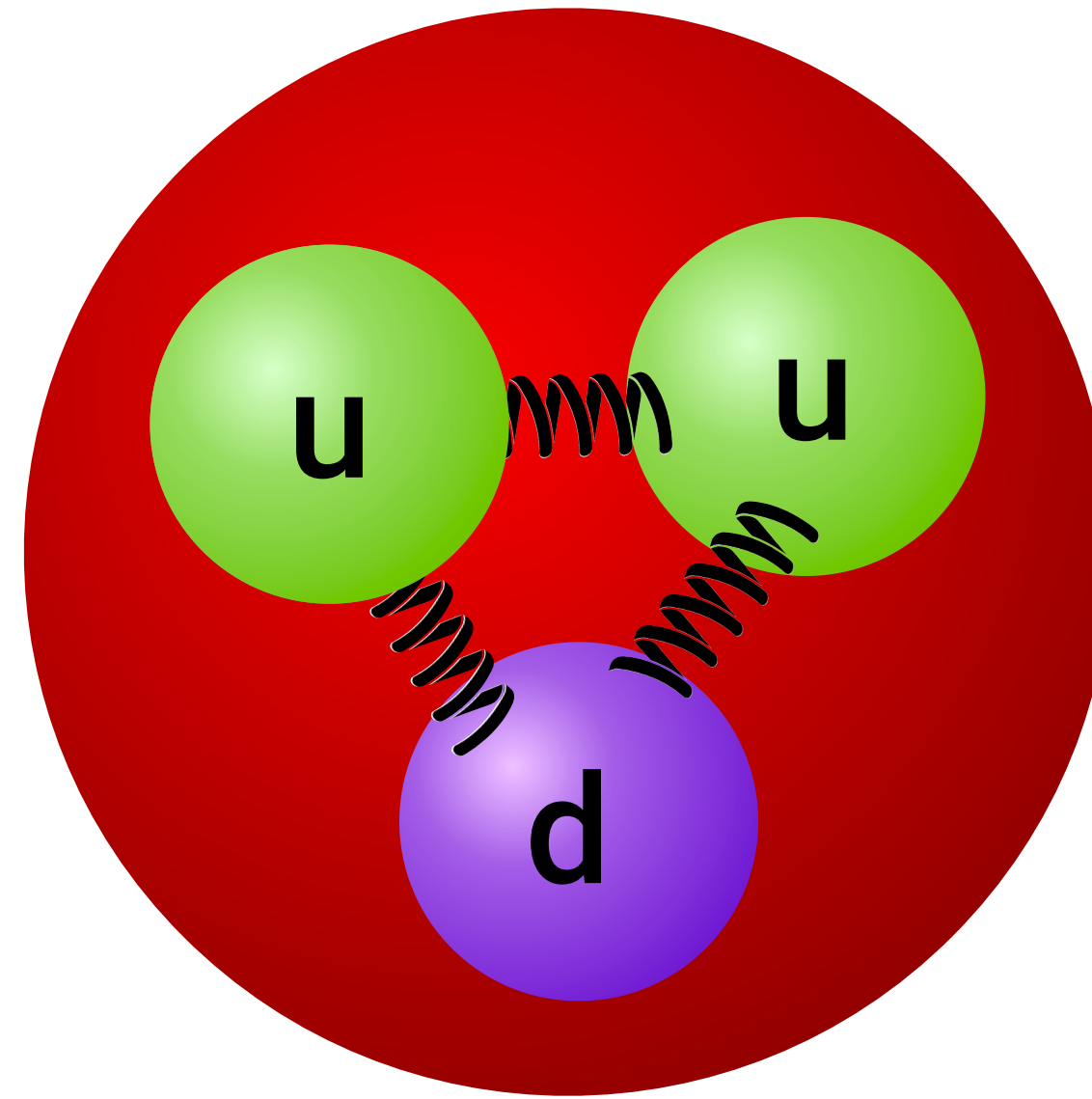
b

A vertical card with a color gradient from blue at the top to red at the bottom. It features a black gluon symbol at the top left, the letter 'g' at the top right, and a small black gluon symbol at the bottom right. The text 'gluone' is in the center, and a small black gluon symbol with the letter 'b' below it is at the bottom right.

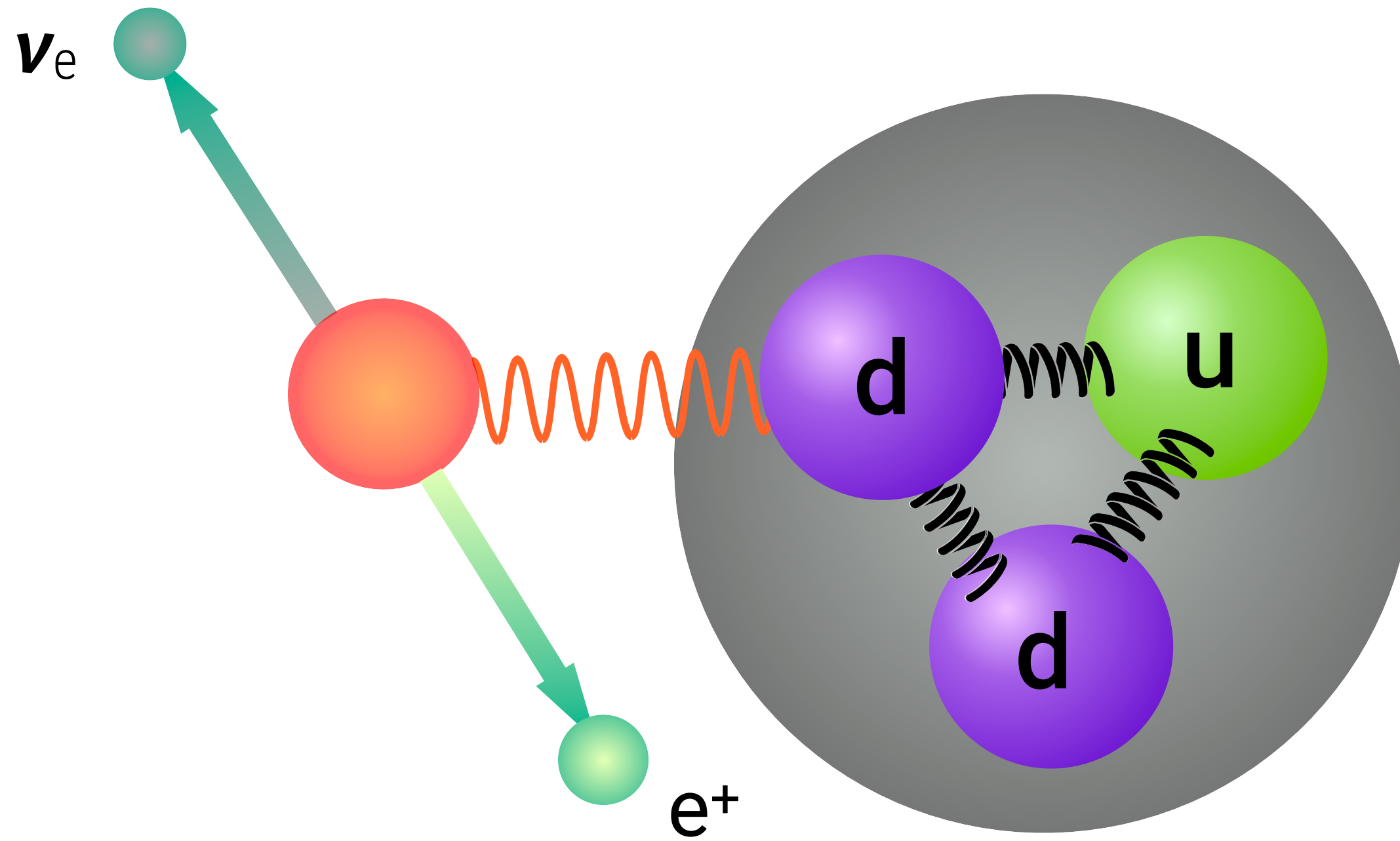
Sono particelle "appiccicose"!
con una **carica di colore**



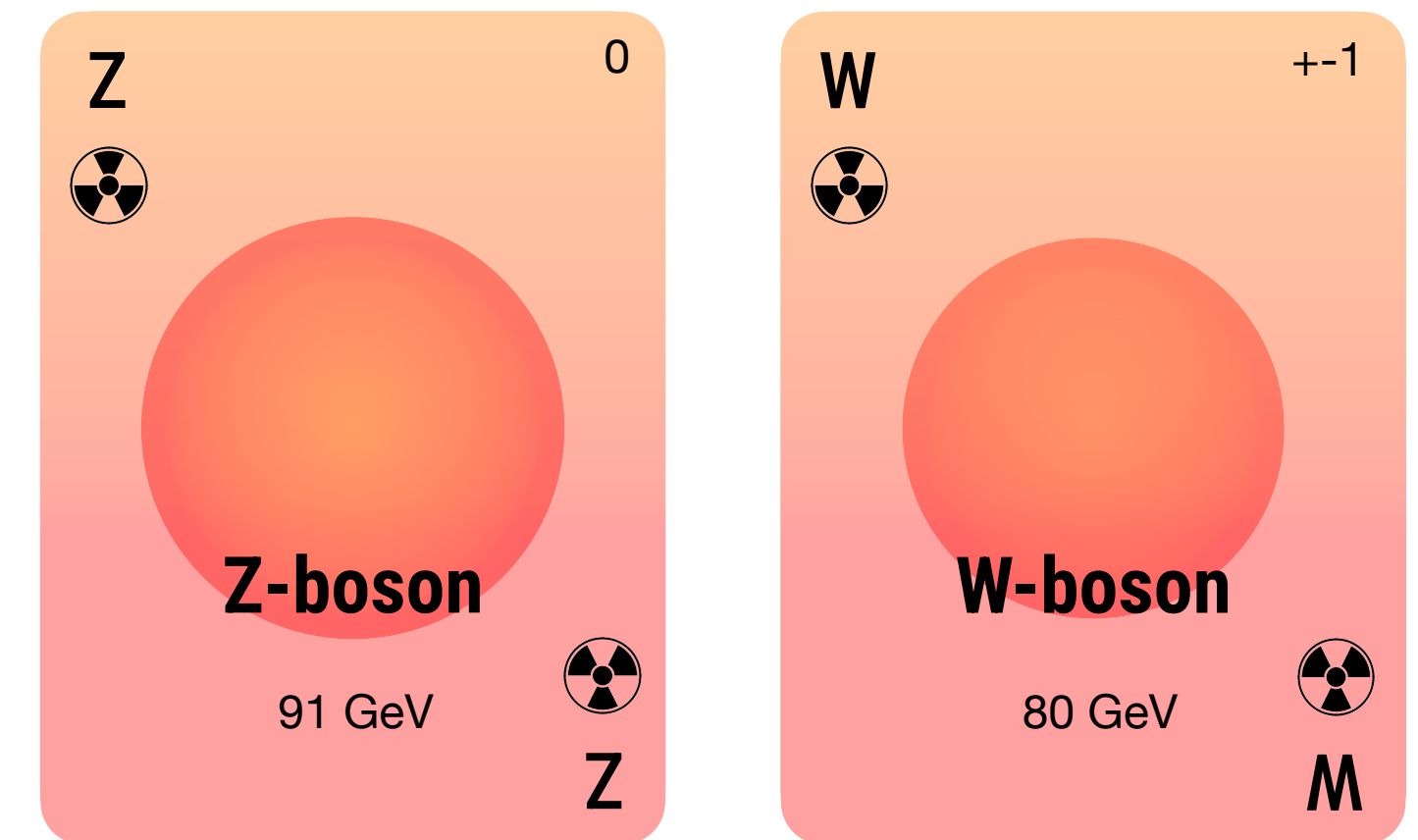
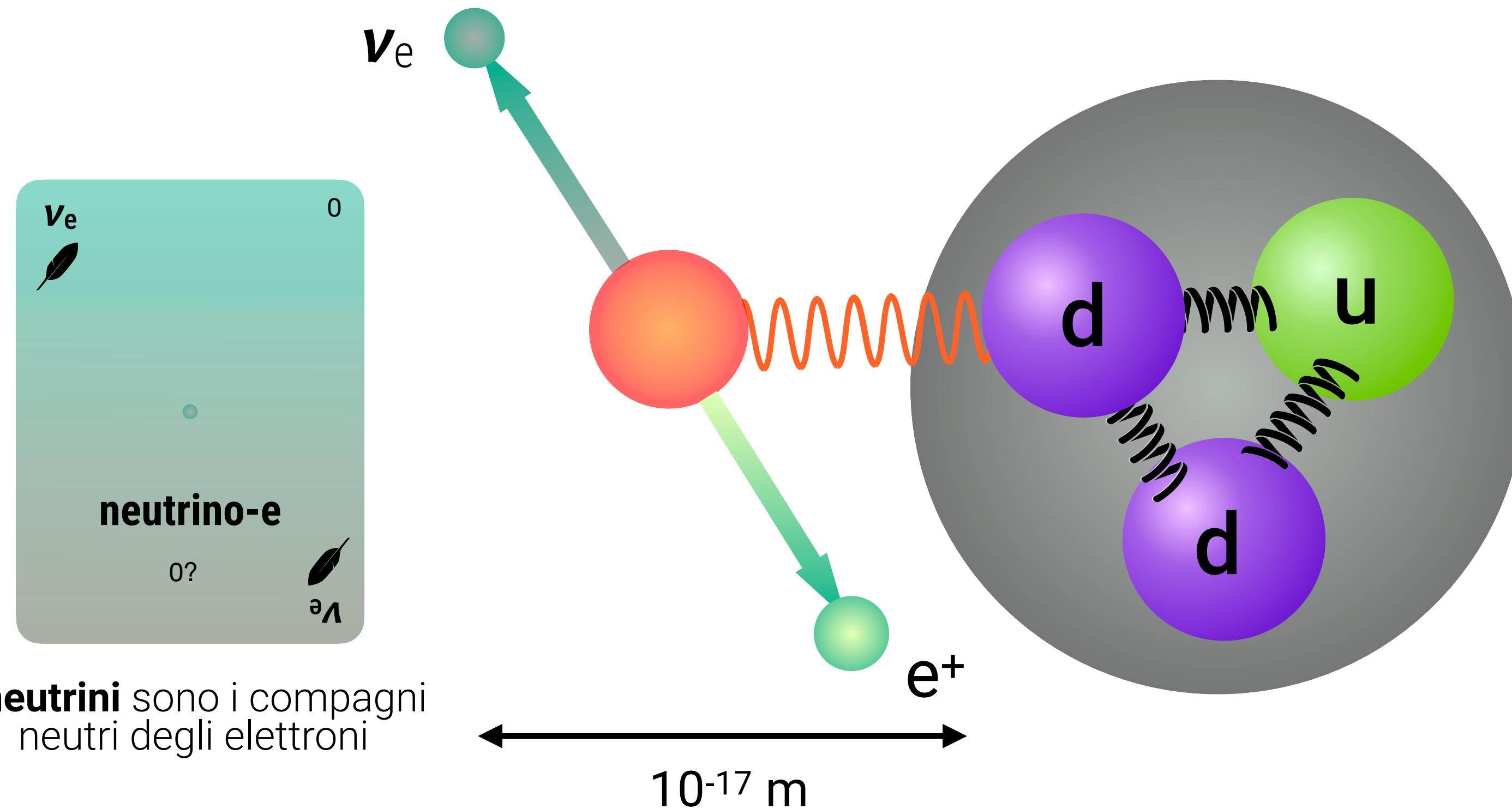
Dentro il protone



I decadimenti deboli

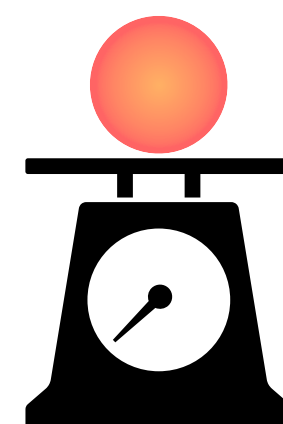


I decadimenti deboli



I bosoni **W** e **Z** sono i mediatori dei decadimenti nucleari

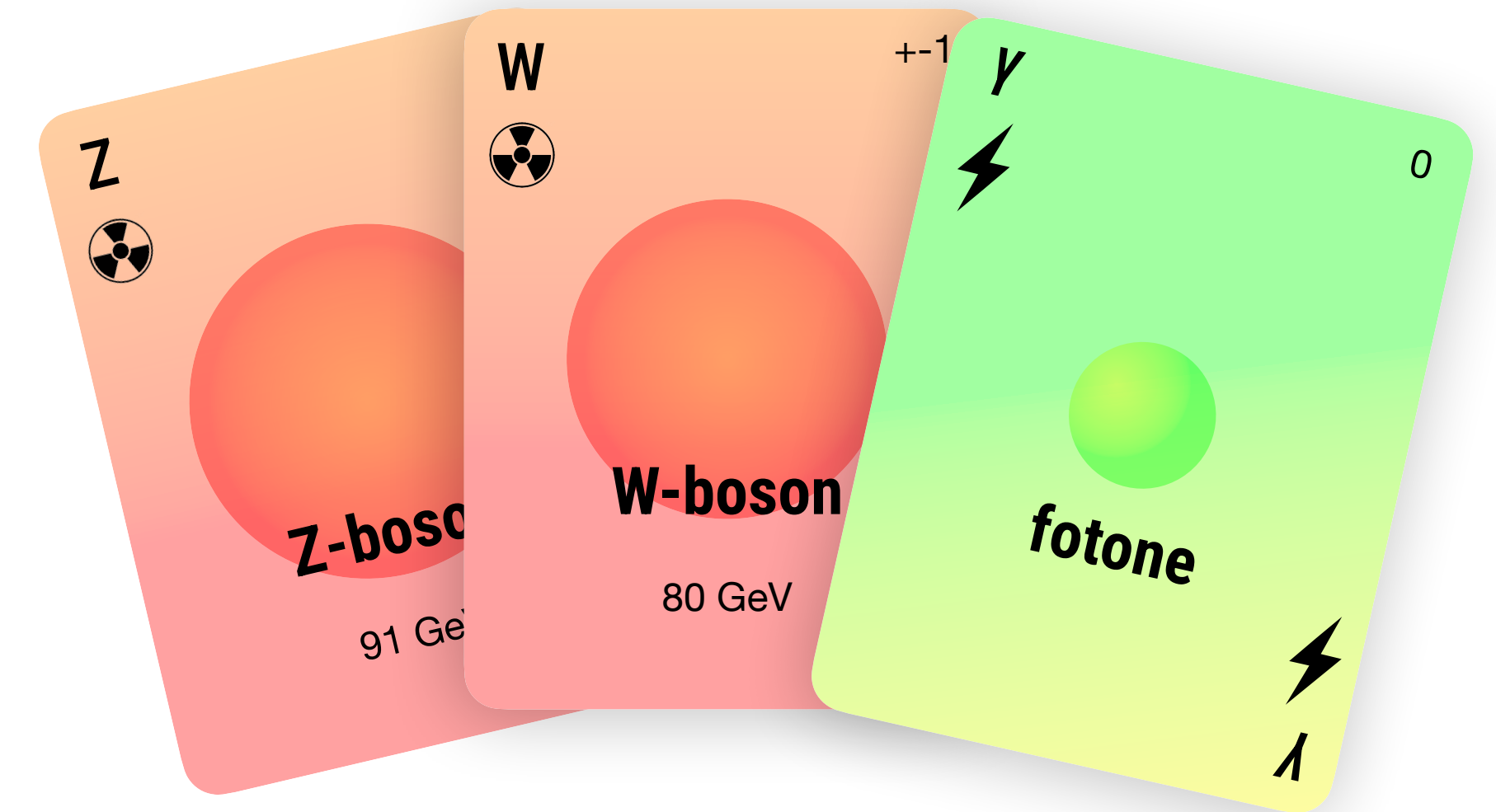
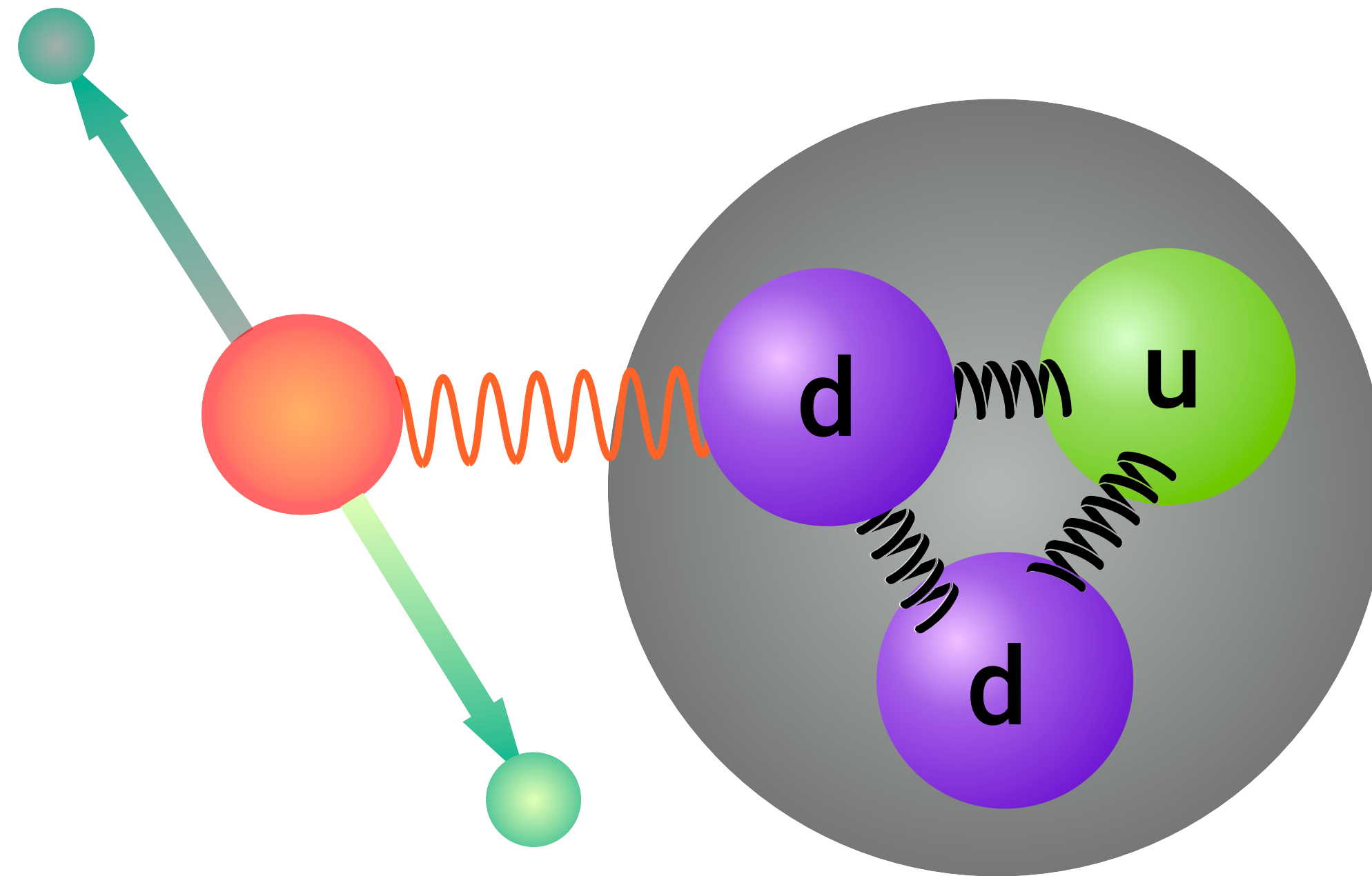
I **neutrini** sono i compagni neutri degli elettroni



$$\lambda \approx \frac{hc}{M_W}$$

Sono molto massivi:
forza a corto range e debole

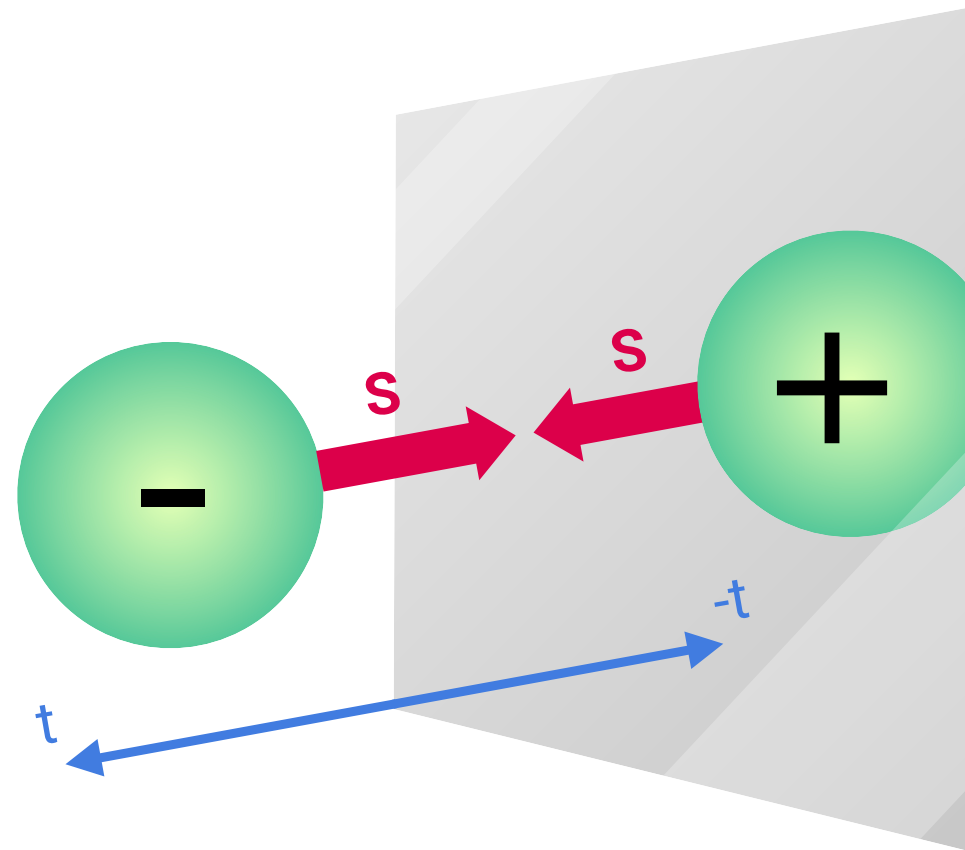
I decadimenti deboli



Unificazione elettrodebole
La forza debole ed elettromagnetica
sono facce della stessa medaglia!

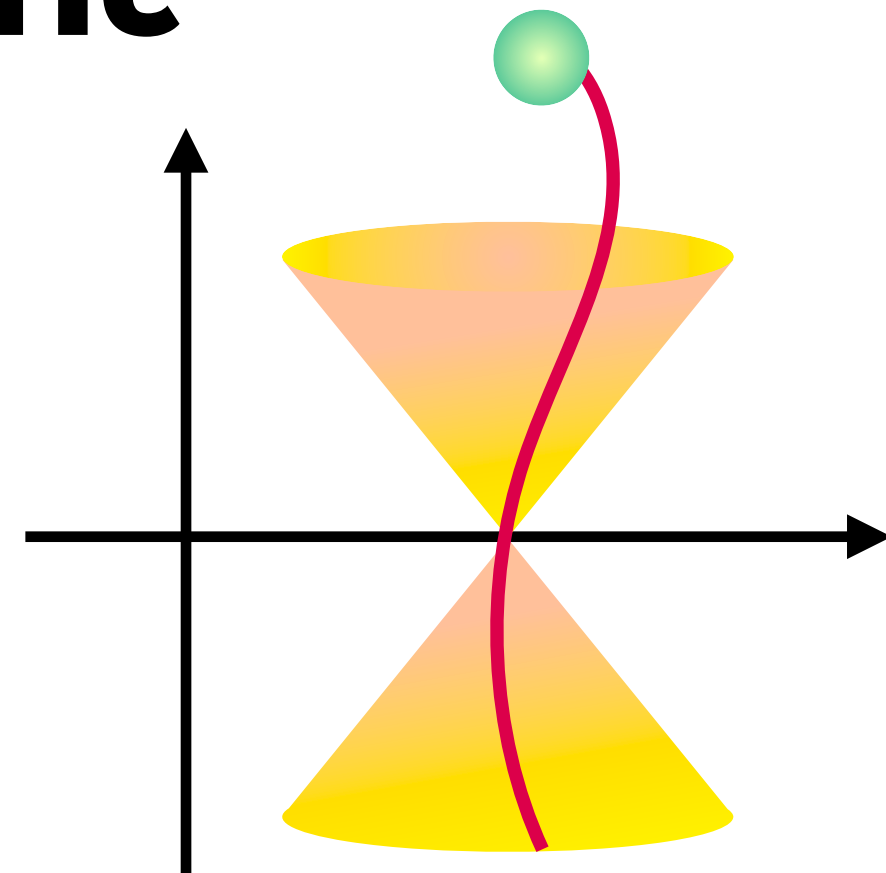


Una teoria fatta di simmetrie

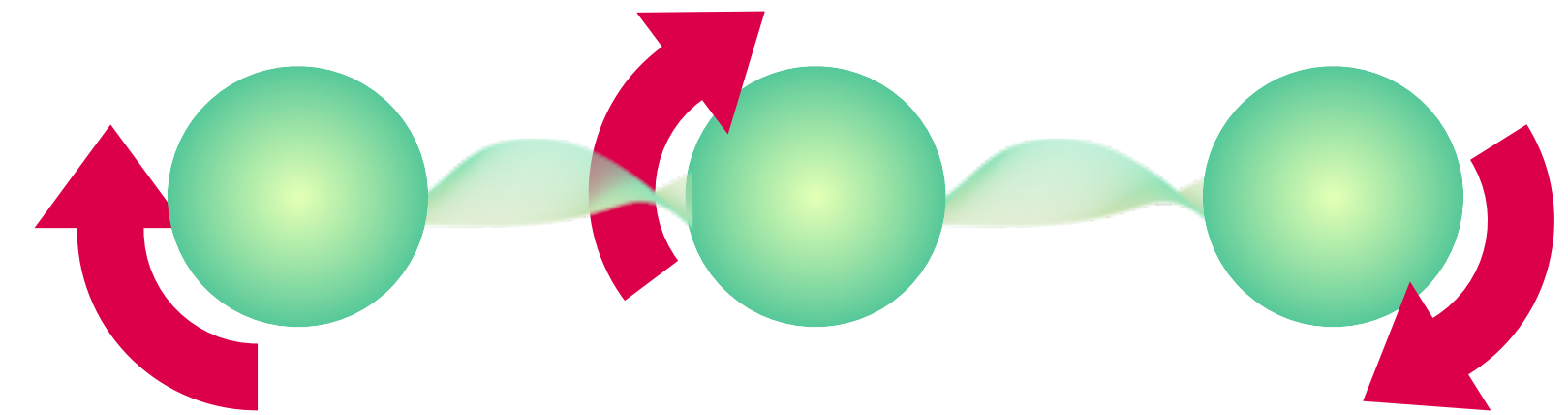


Carica $q \rightarrow -q$
Parità $\vec{x} \rightarrow -\vec{x}$
Tempo $t \rightarrow -t$

Le interazioni fondamentali sono uguali allo specchio

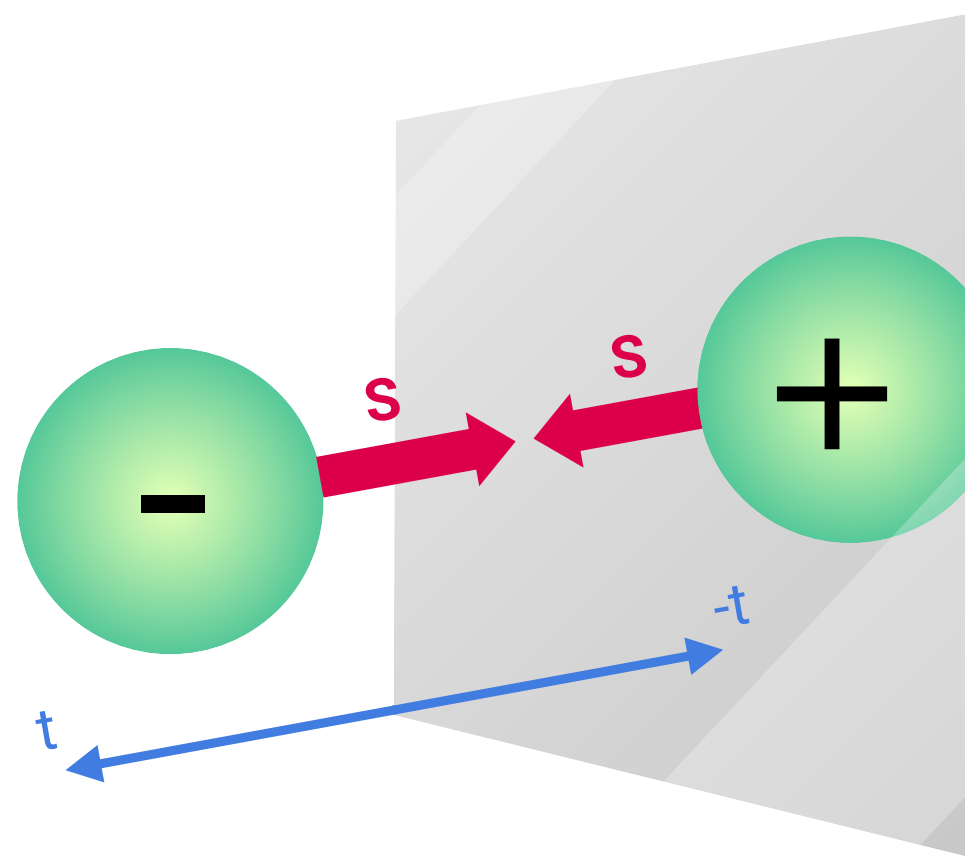


Rispettano le simmetrie dello spaziotempo



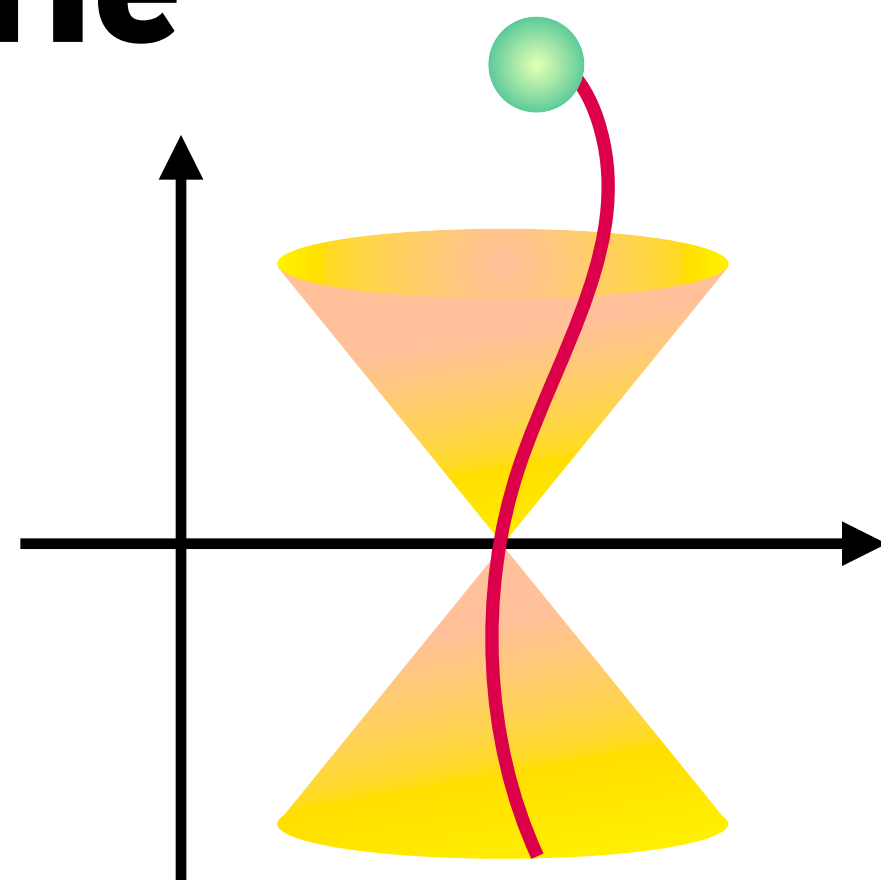
Le interazioni fondamentali sono ricavate a partire dalle **simmetrie di gauge**

Una teoria fatta di simmetrie

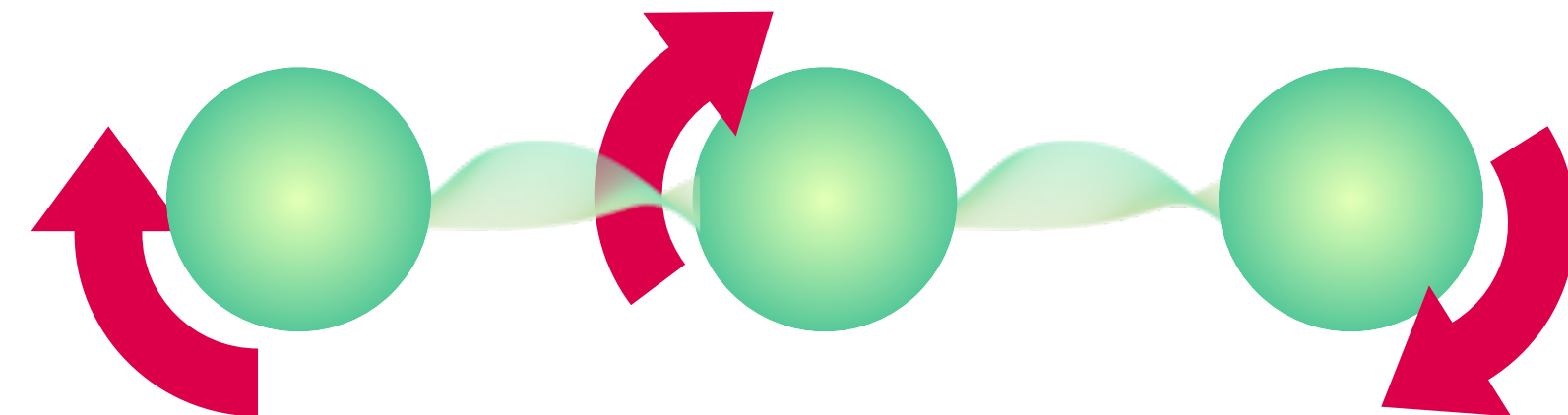


Carica $q \rightarrow -q$
Parità $\vec{x} \rightarrow -\vec{x}$
Tempo $t \rightarrow -t$

Le interazioni fondamentali sono uguali allo specchio



Rispettano le simmetrie dello spaziotempo



Le interazioni fondamentali sono ricavate a partire dalle **simmetrie di gauge**

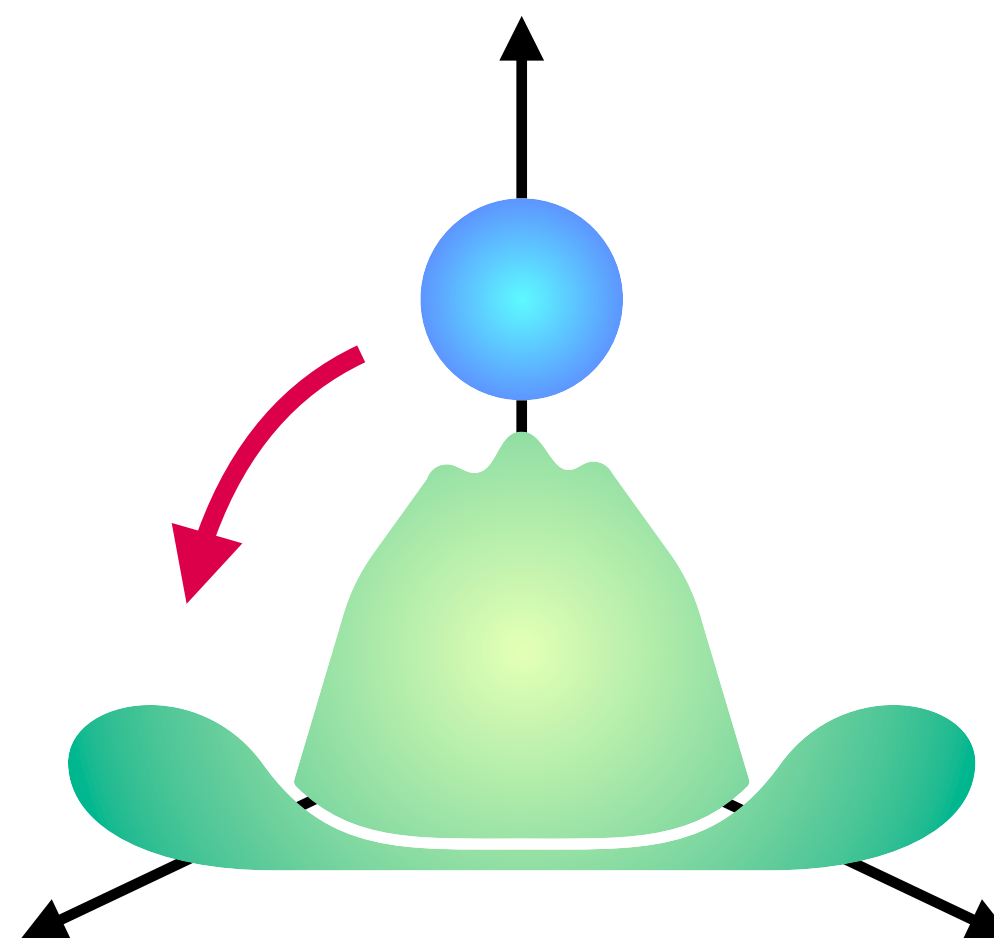
ma alcune si rompono...



$$V(\phi) = -\mu^2 |\phi|^2 + \lambda |\phi|^4$$

una funzione che dopo la **rottura spontanea di simmetria** assume un particolare valore

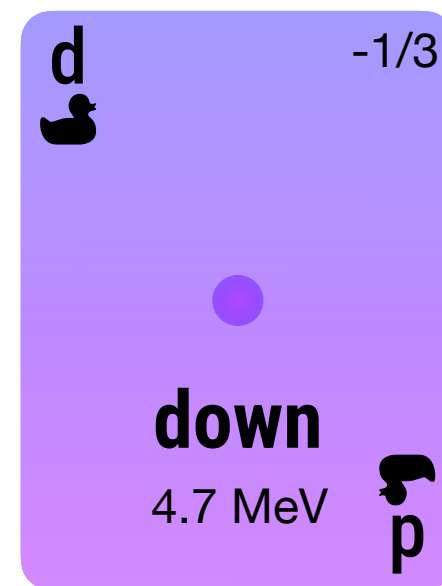
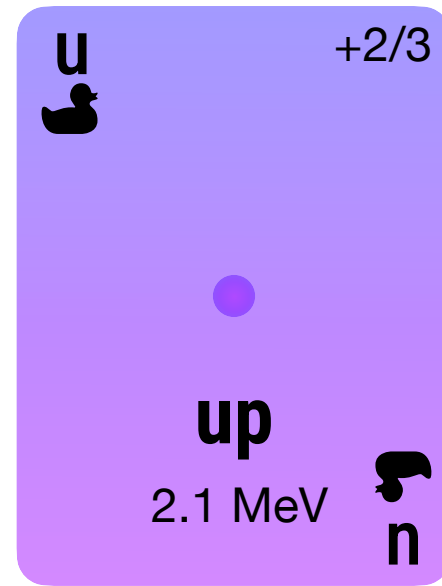
le particelle elementari acquistano **massa**



Il Modello Standard delle Particelle

La materia di cui siamo fatti

Quark



Leptoni



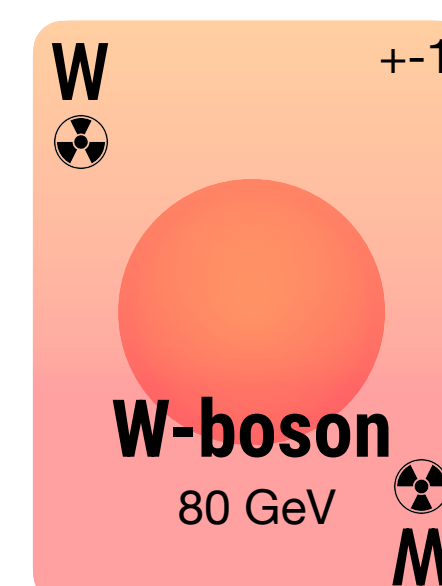
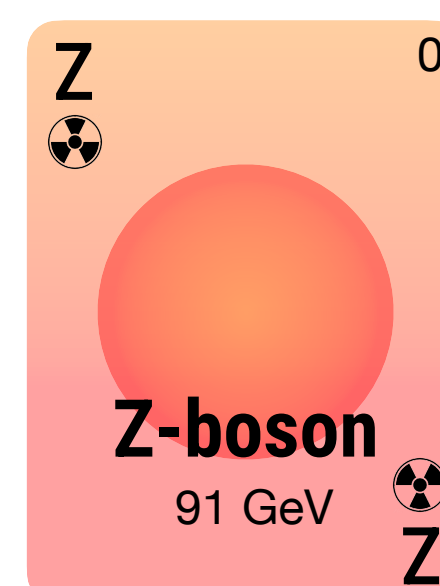
E le sue interazioni



Strong Force



Electroweak Force



Higgs Mechanism

Il Modello Standard delle Particelle

Quark

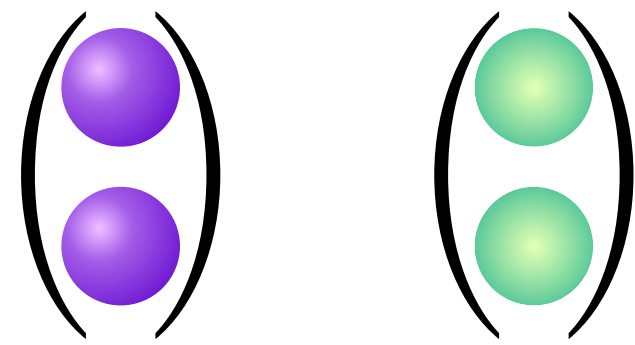
$\frac{2}{3}$
up
2.1 MeV

$-\frac{1}{3}$
down
4.7 MeV

-1
elettrone
0.511 MeV

Leptoni

0
neutrino-e
0?



Da argomenti di simmetria quark e leptoni sono organizzati in doppietti

$+2$
Z⁰

Si osservano altre 2 generazioni di materia

0
Z-boson
91 GeV

$+ -1$
W-boson
80 GeV

0
gluone

0
fotone

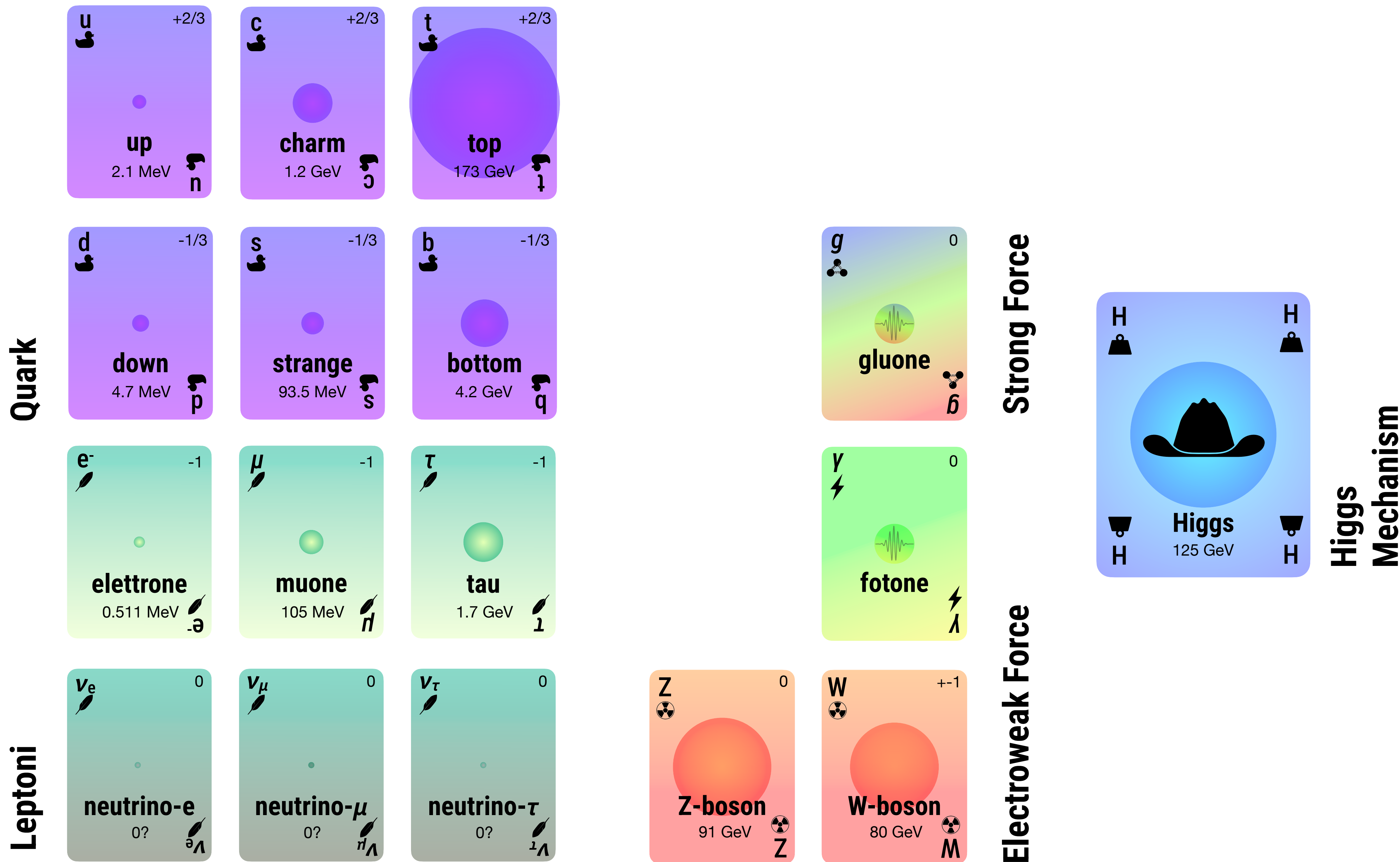
Strong Force

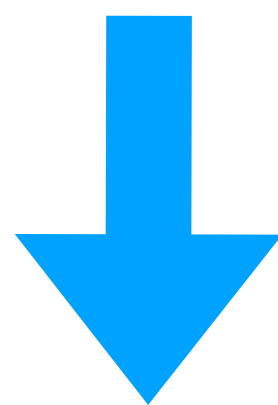
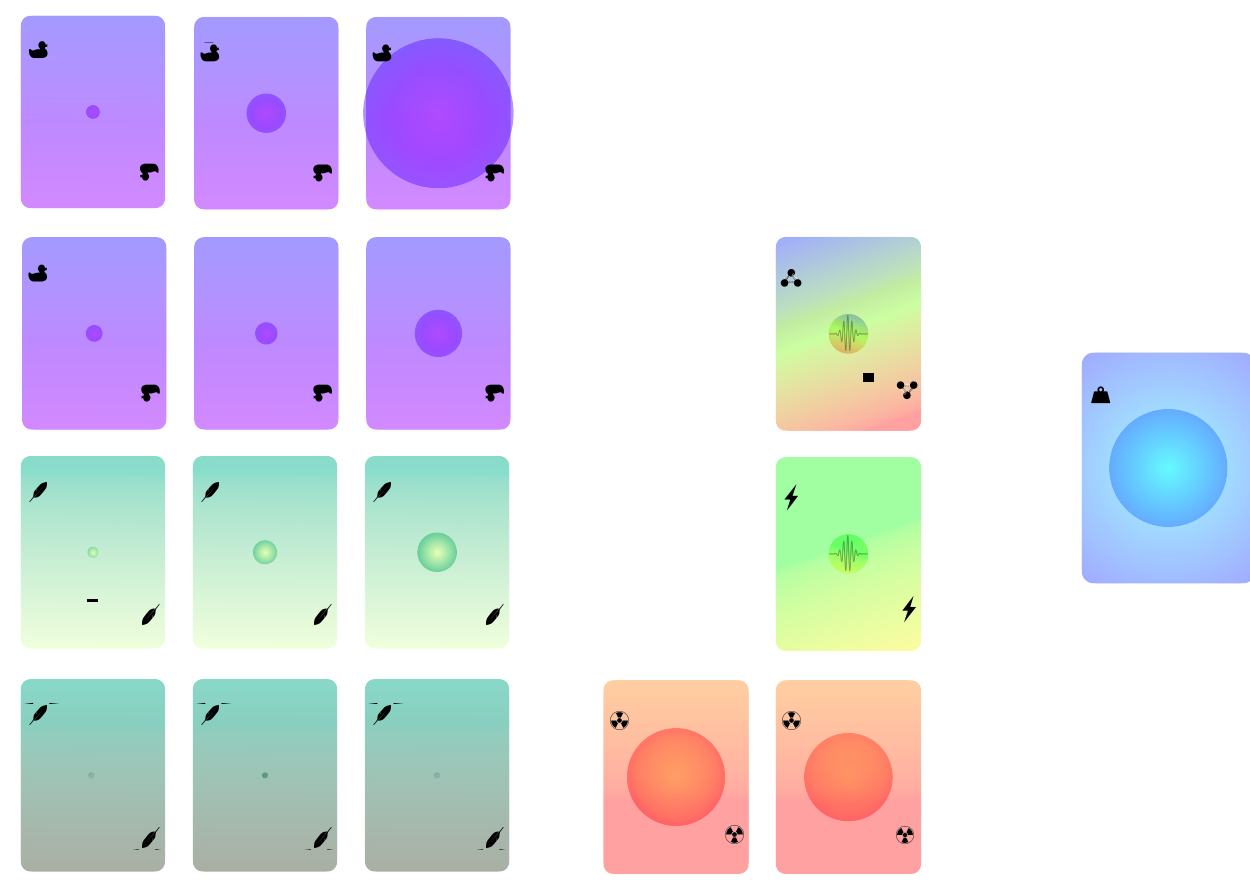
Electroweak Force

Higgs
125 GeV

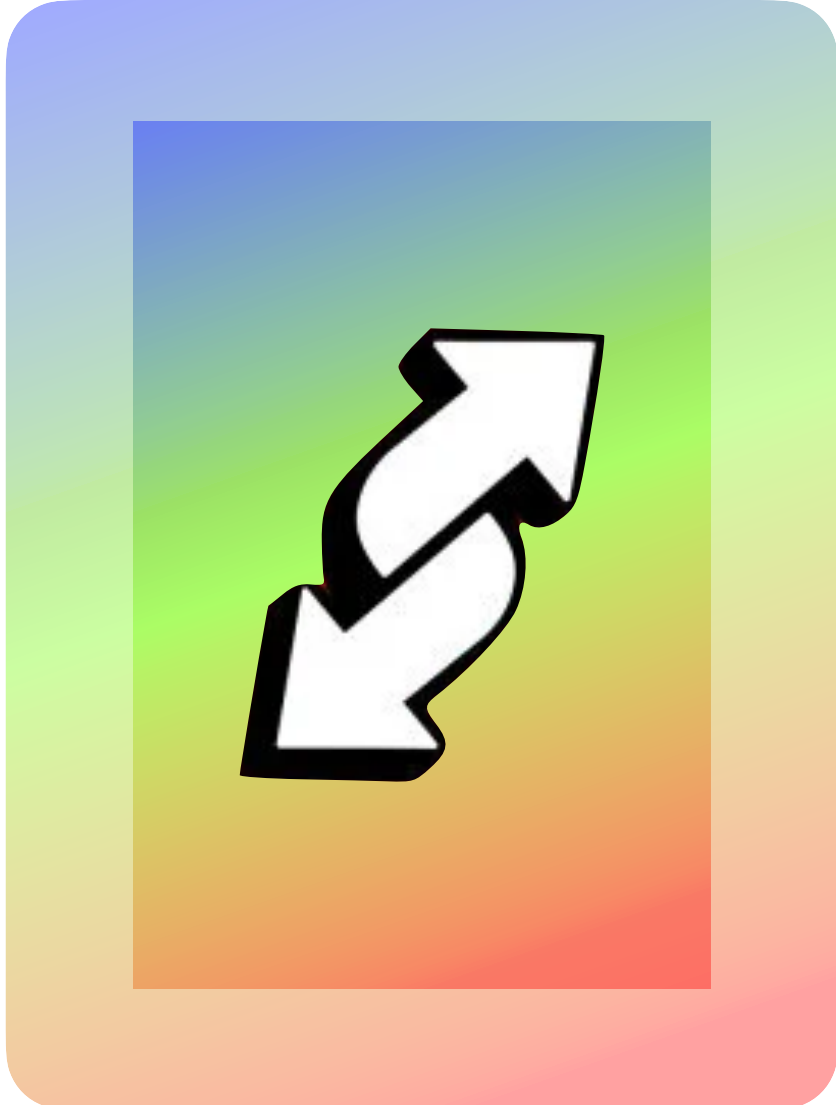
Higgs Mechanism

Il Modello Standard delle Particelle

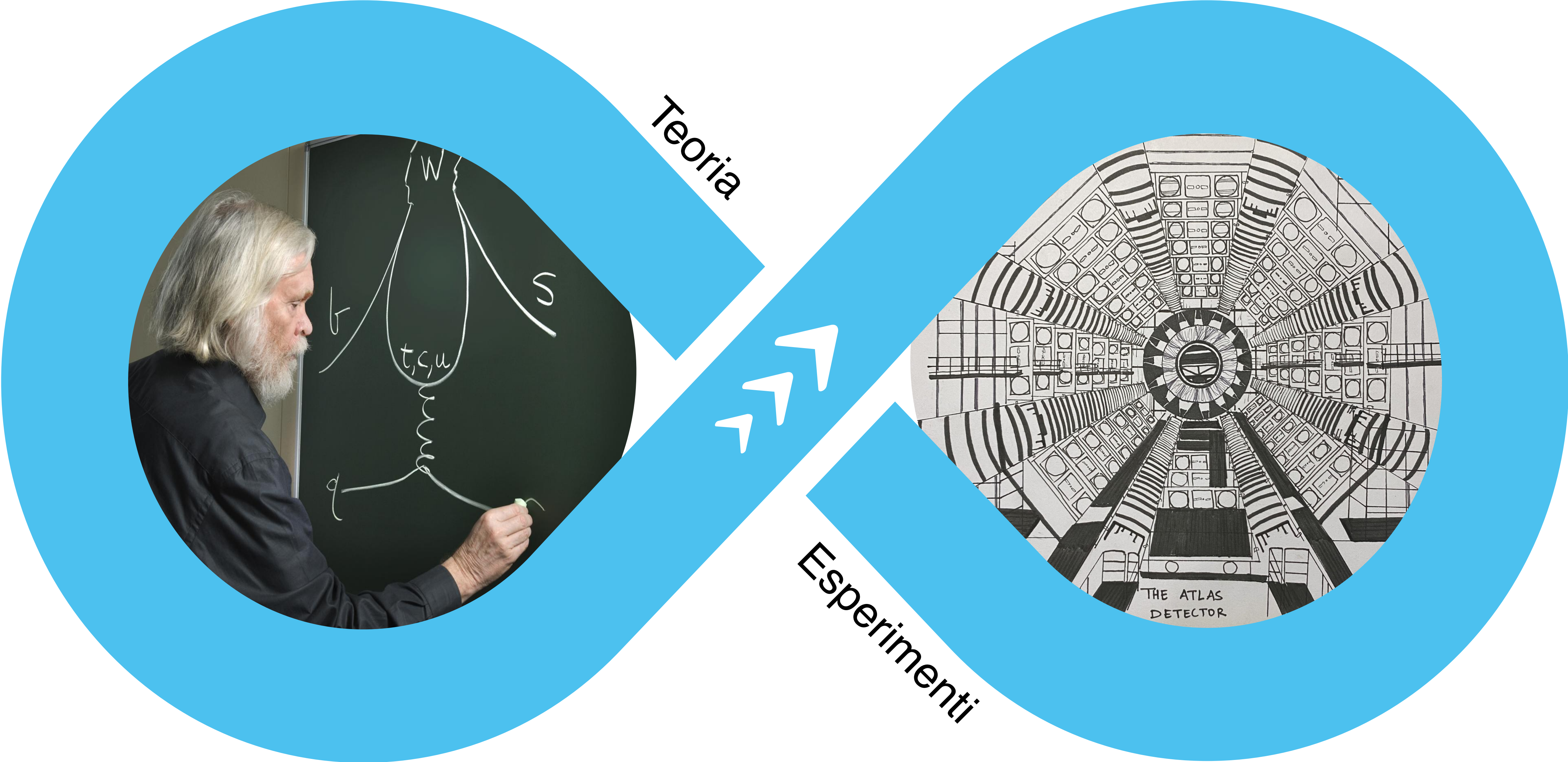




Ma...
il **MODELLO**
STANDARD
...funziona?

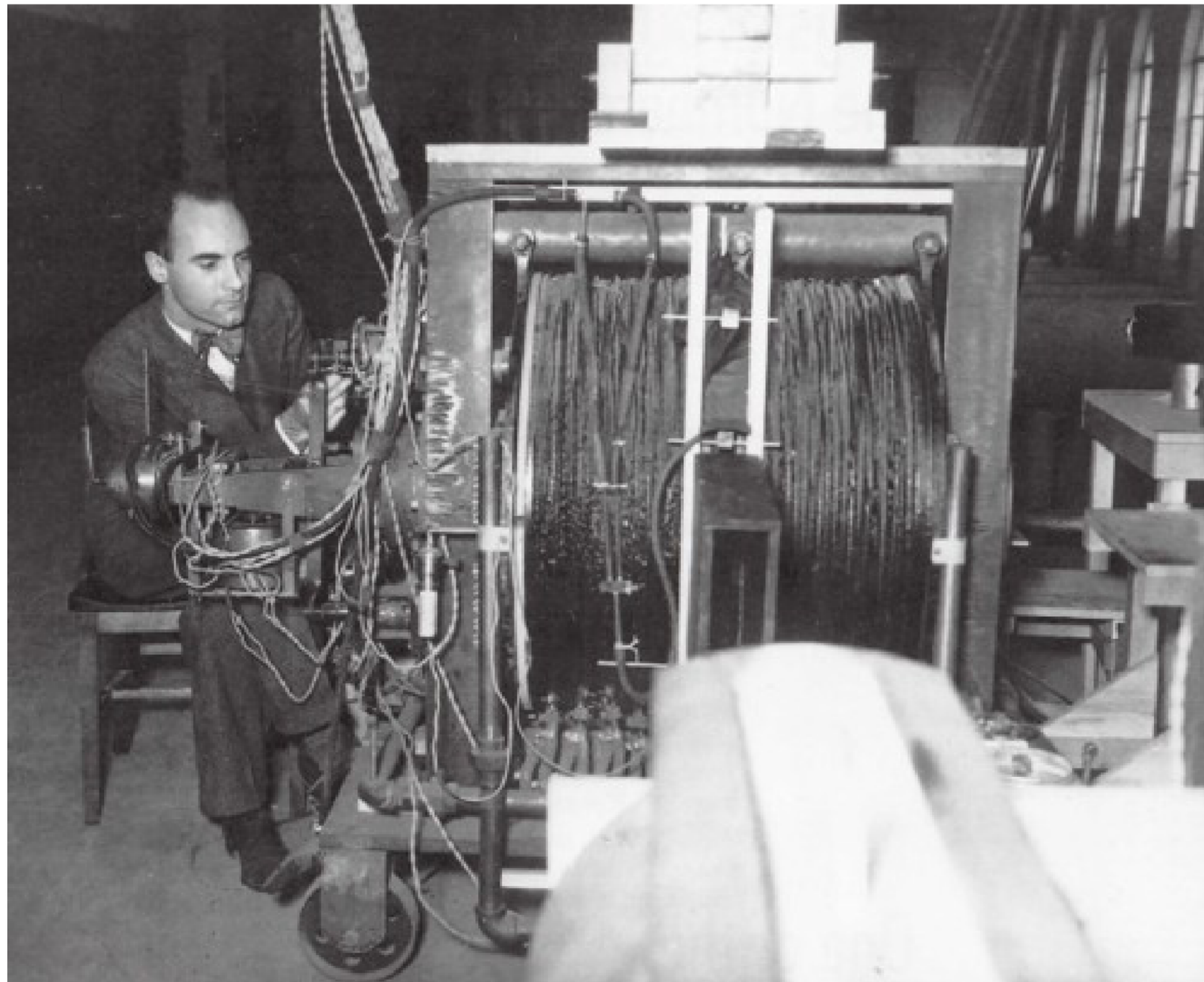


Il metodo scientifico



Gli esperimenti

Scoperta del positrone (antimateria)
Anderson, 1932



e^- -1



elettrone

0.511 MeV 

$-e$

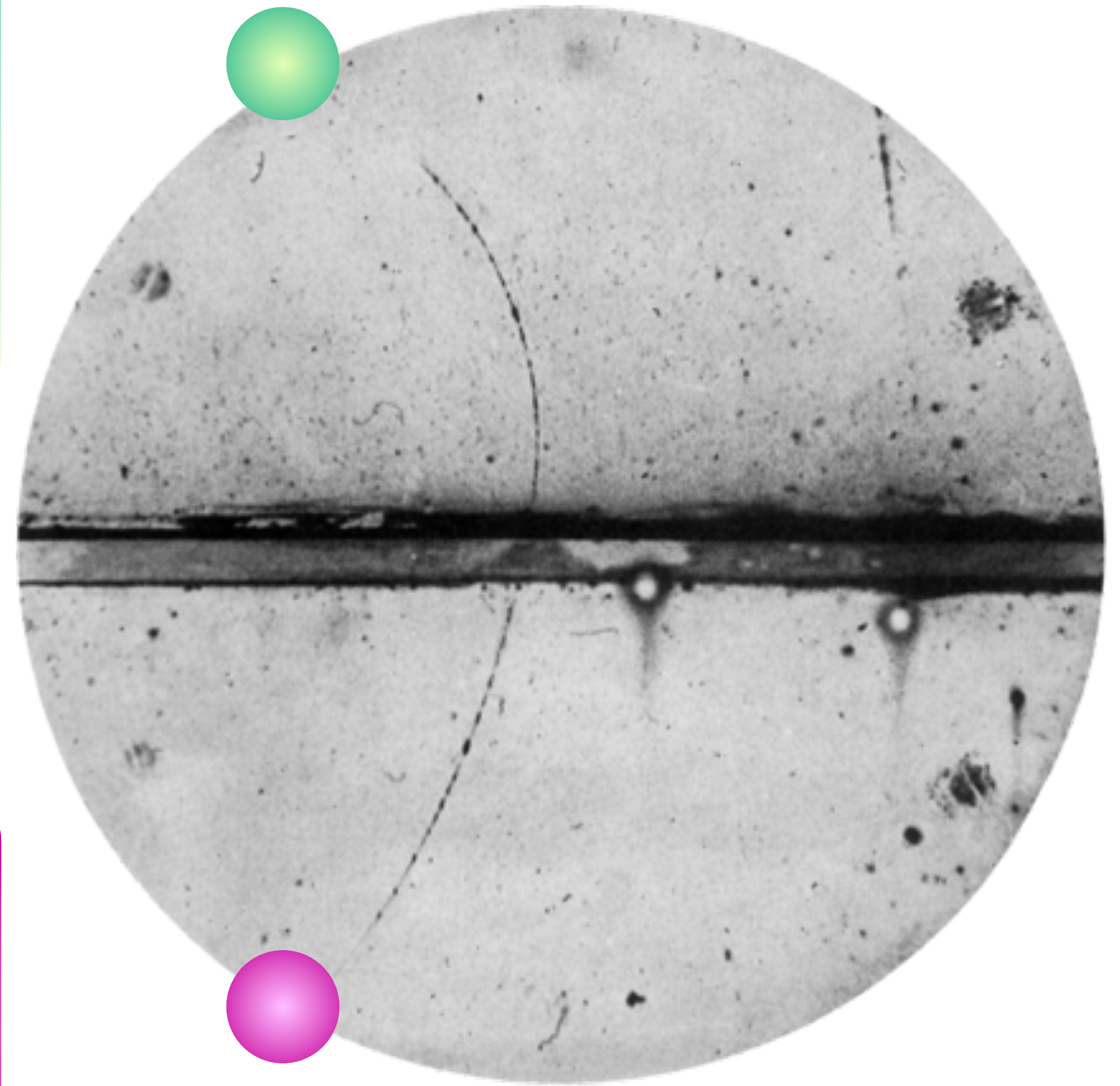
e^+ +1



Positrone

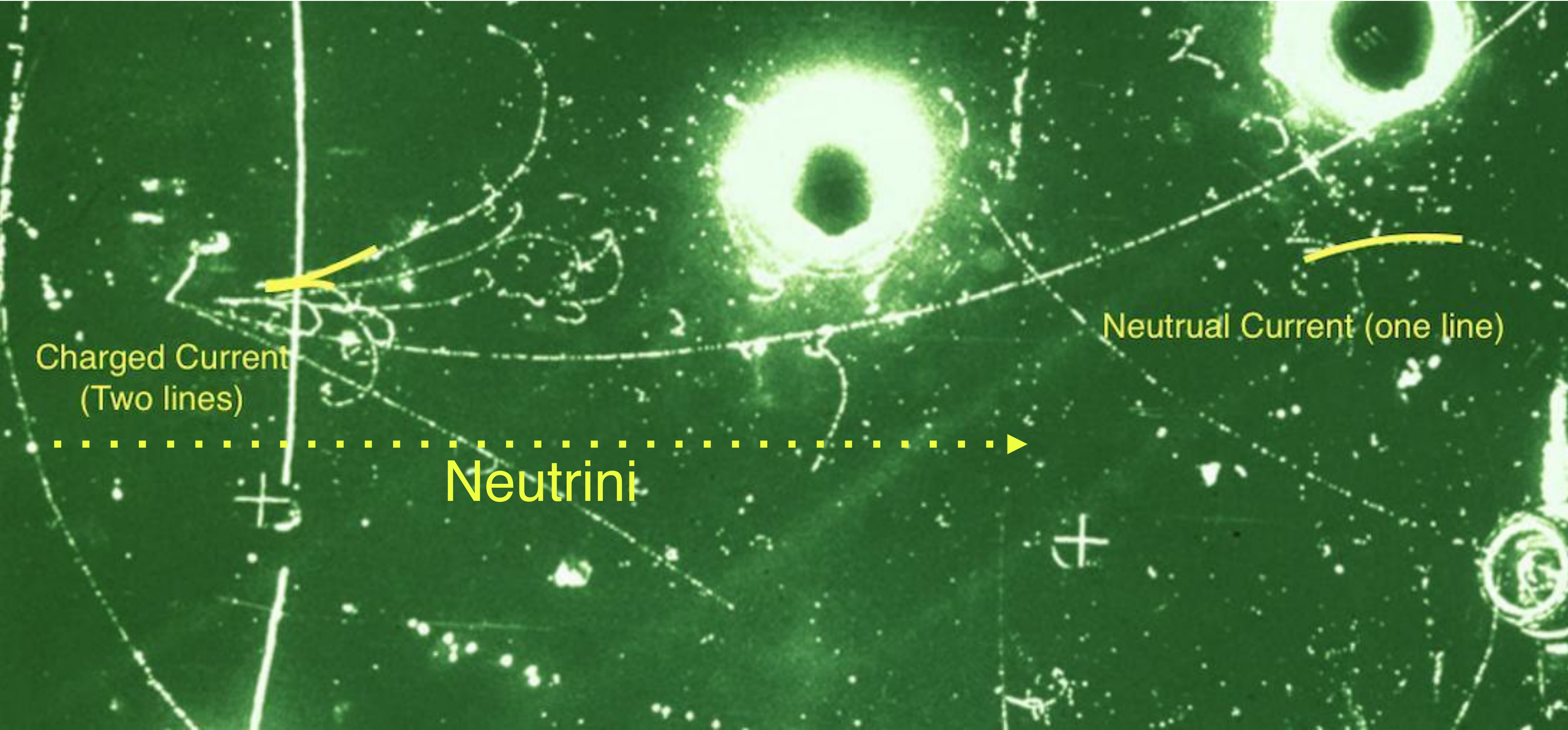
0.511 MeV 

$+e$

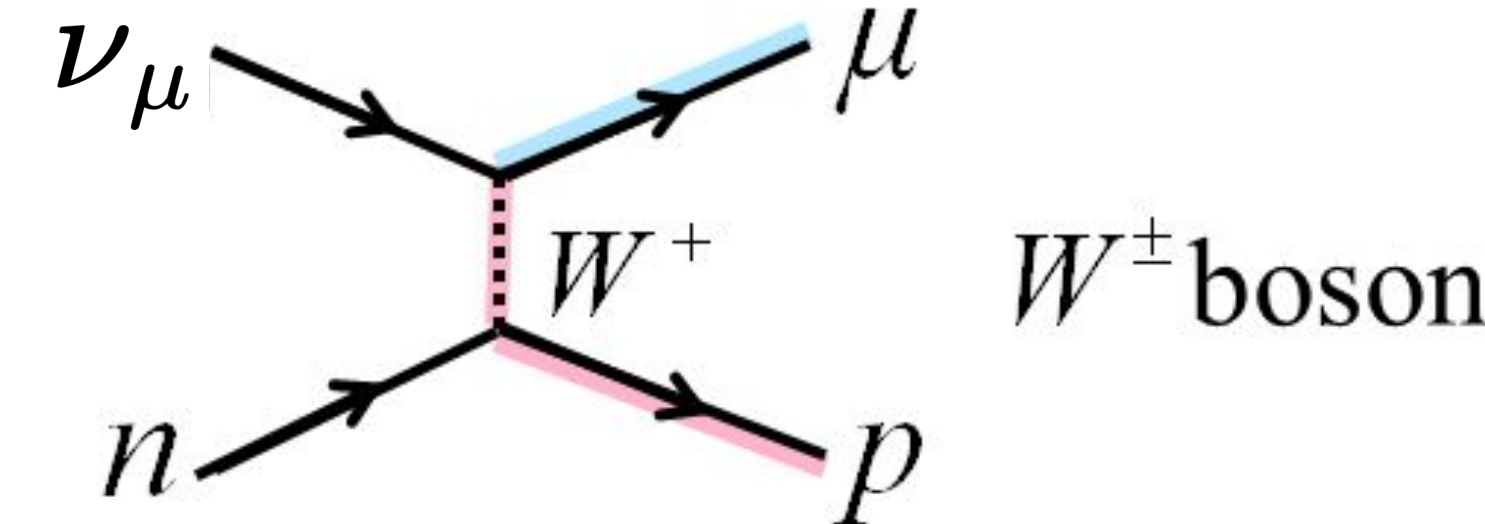
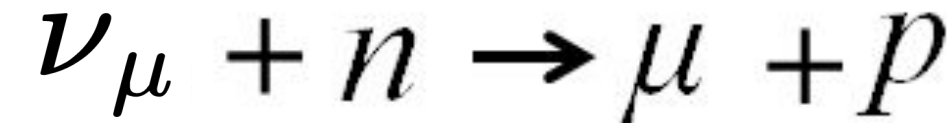


Gli esperimenti

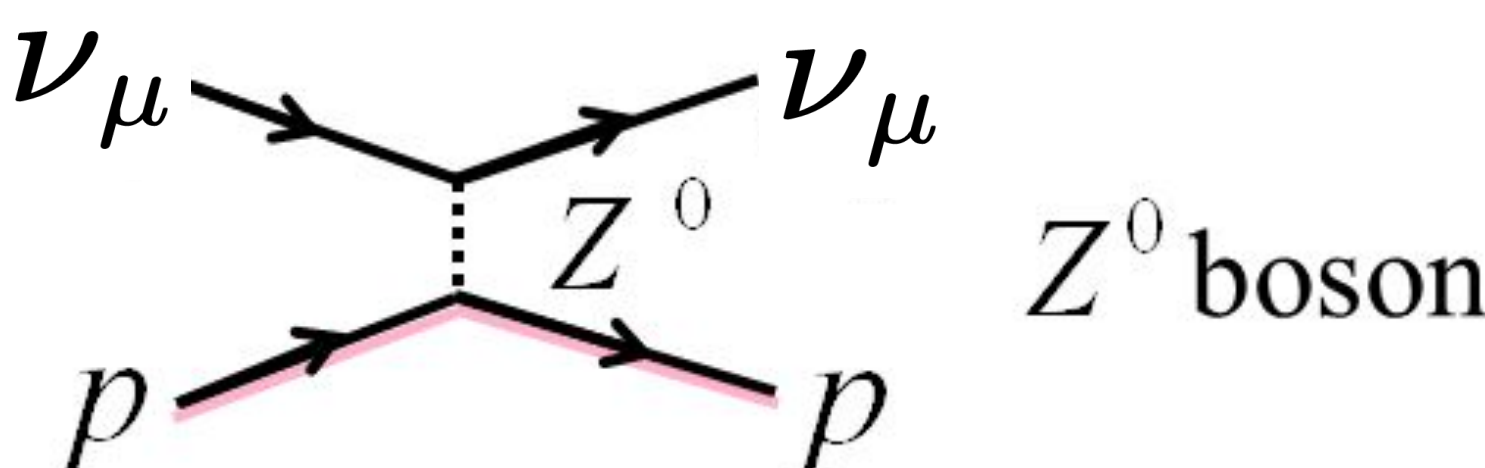
Gargamelle, scoperta delle correnti deboli neutre (1973)



Corrente debole carica

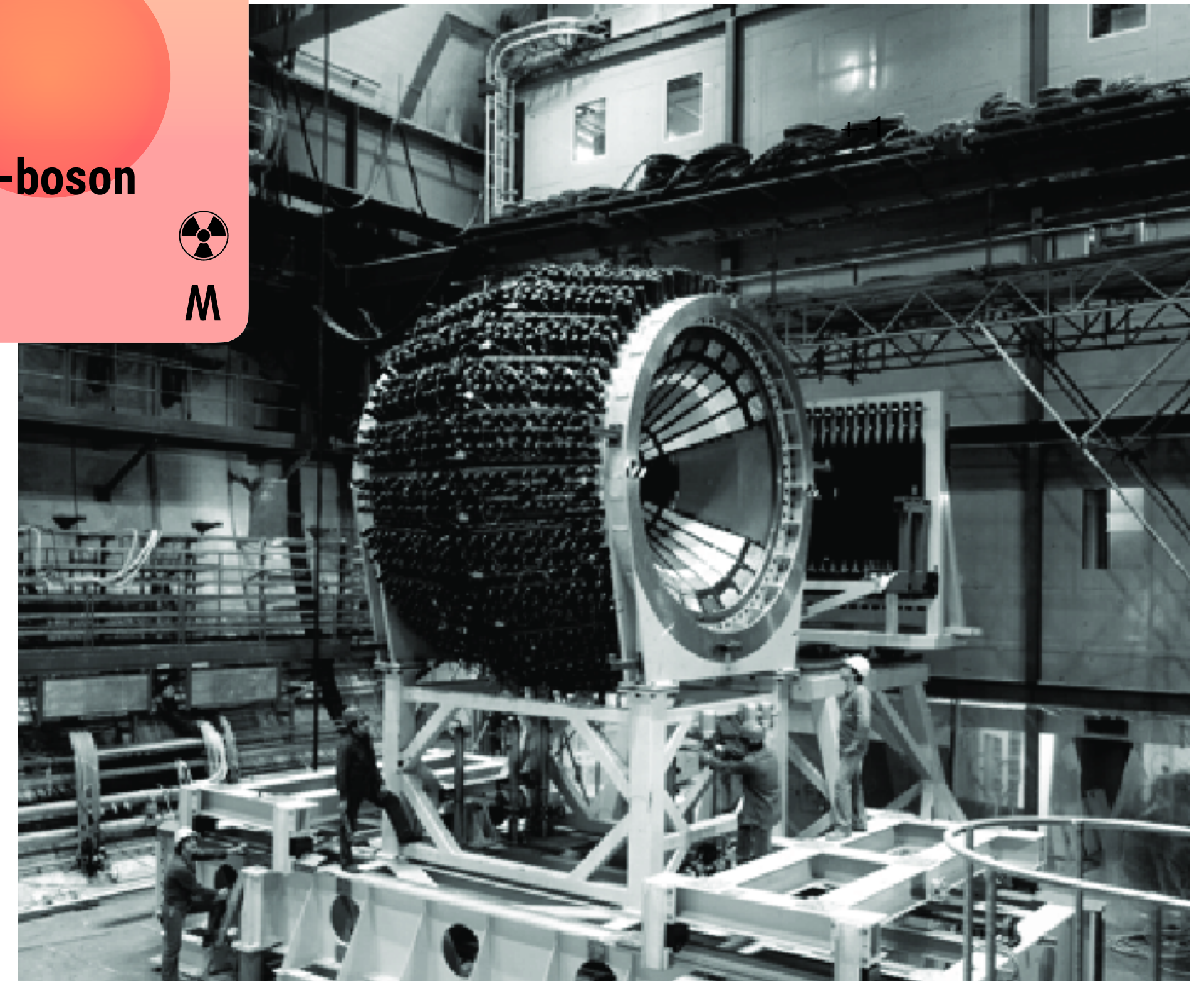
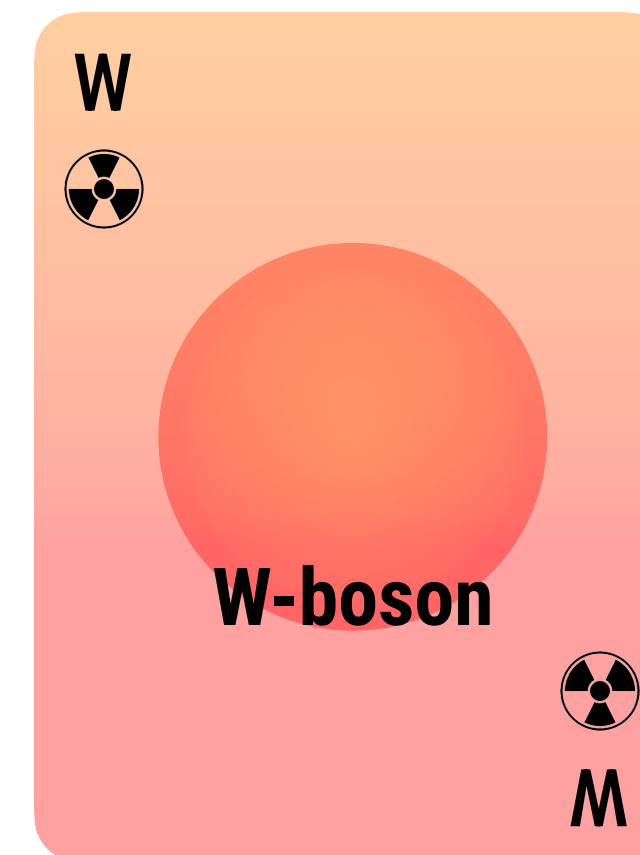
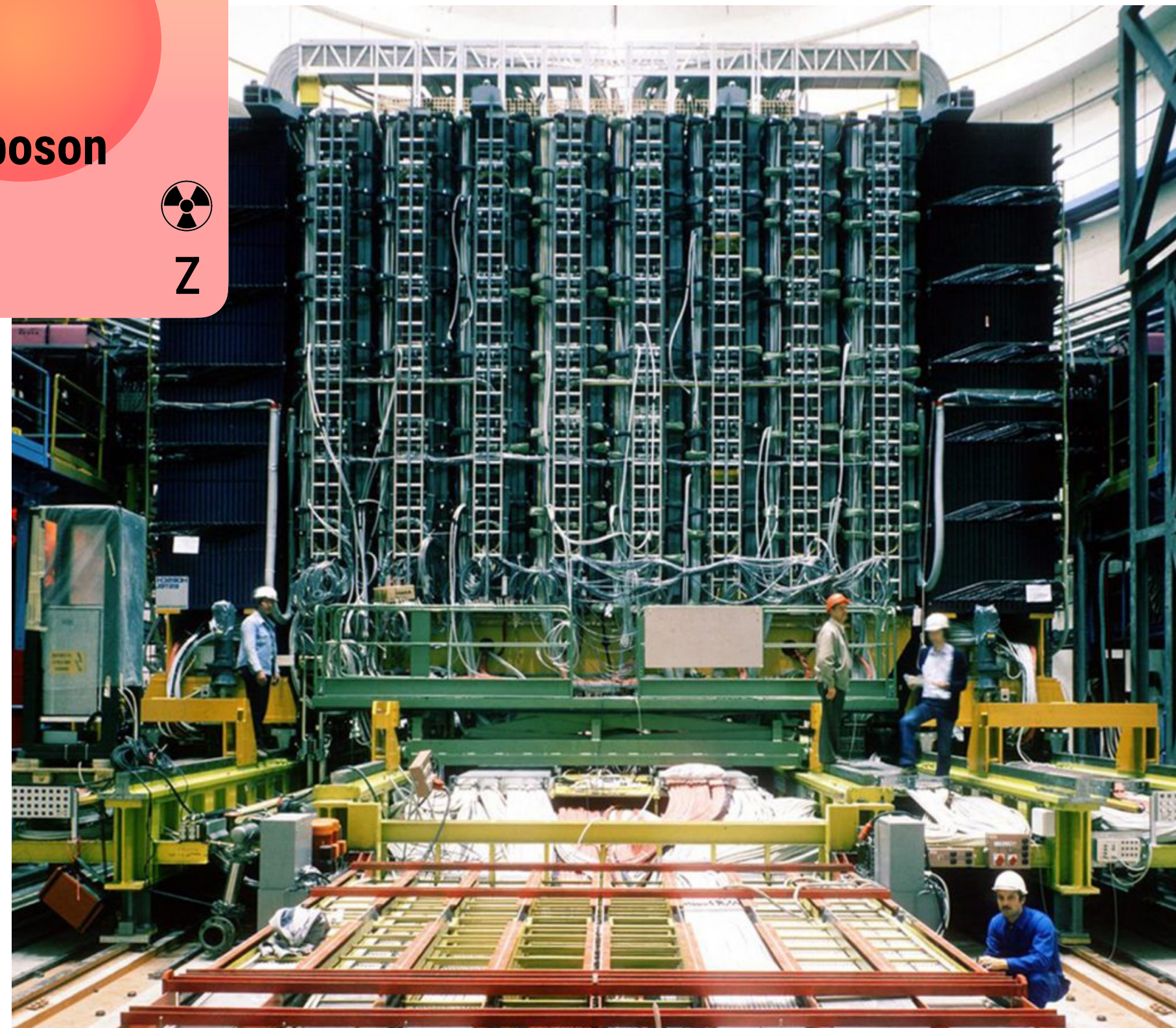
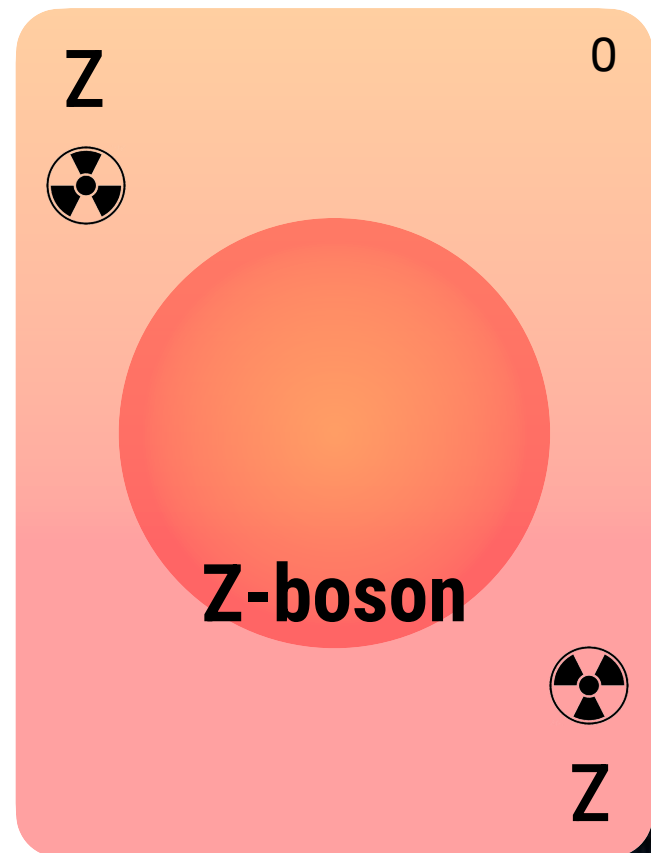
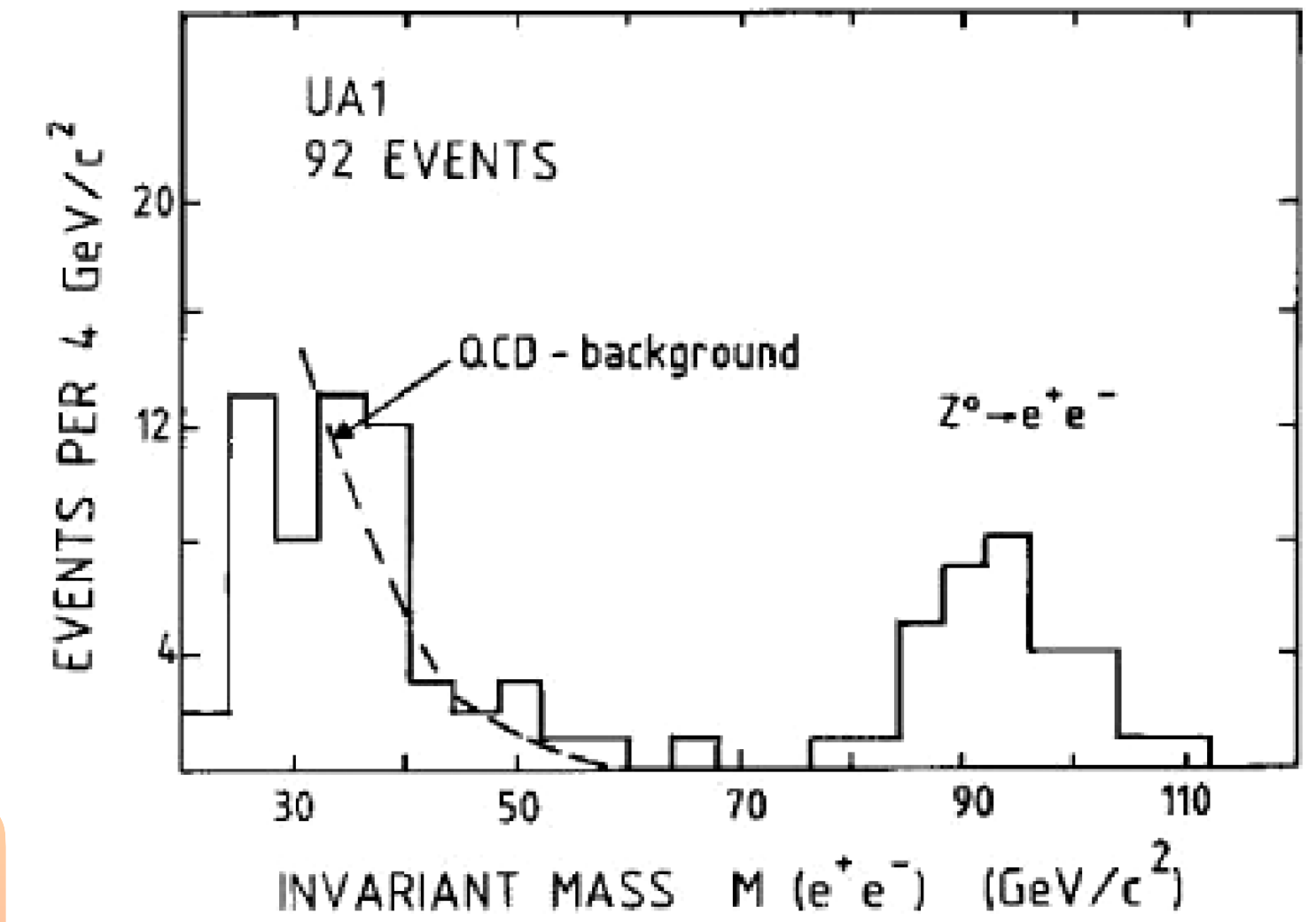


Corrente debole neutra



Gli esperimenti

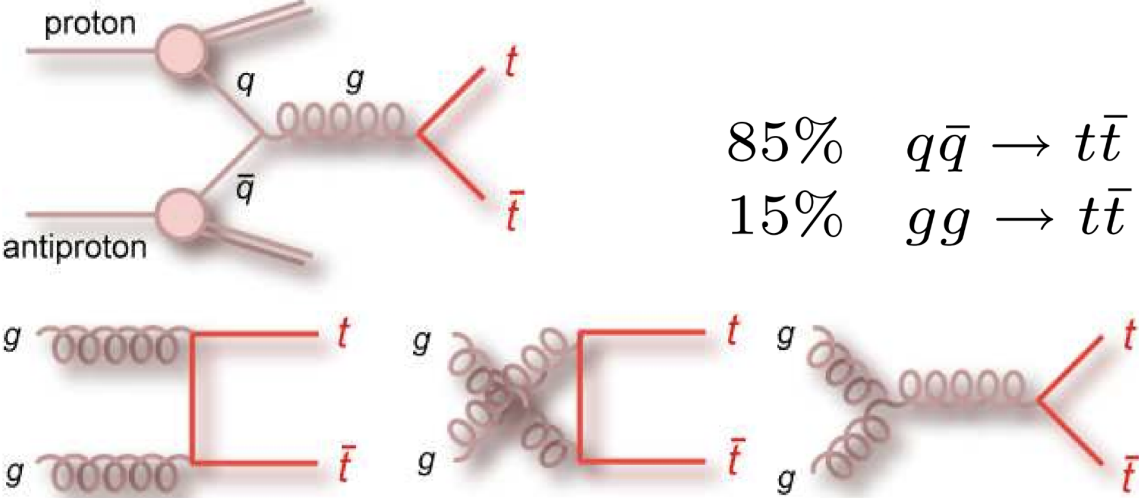
UA1 e UA2, scoperta dei bosoni $W^{+/-}$ e Z^0 (1983)



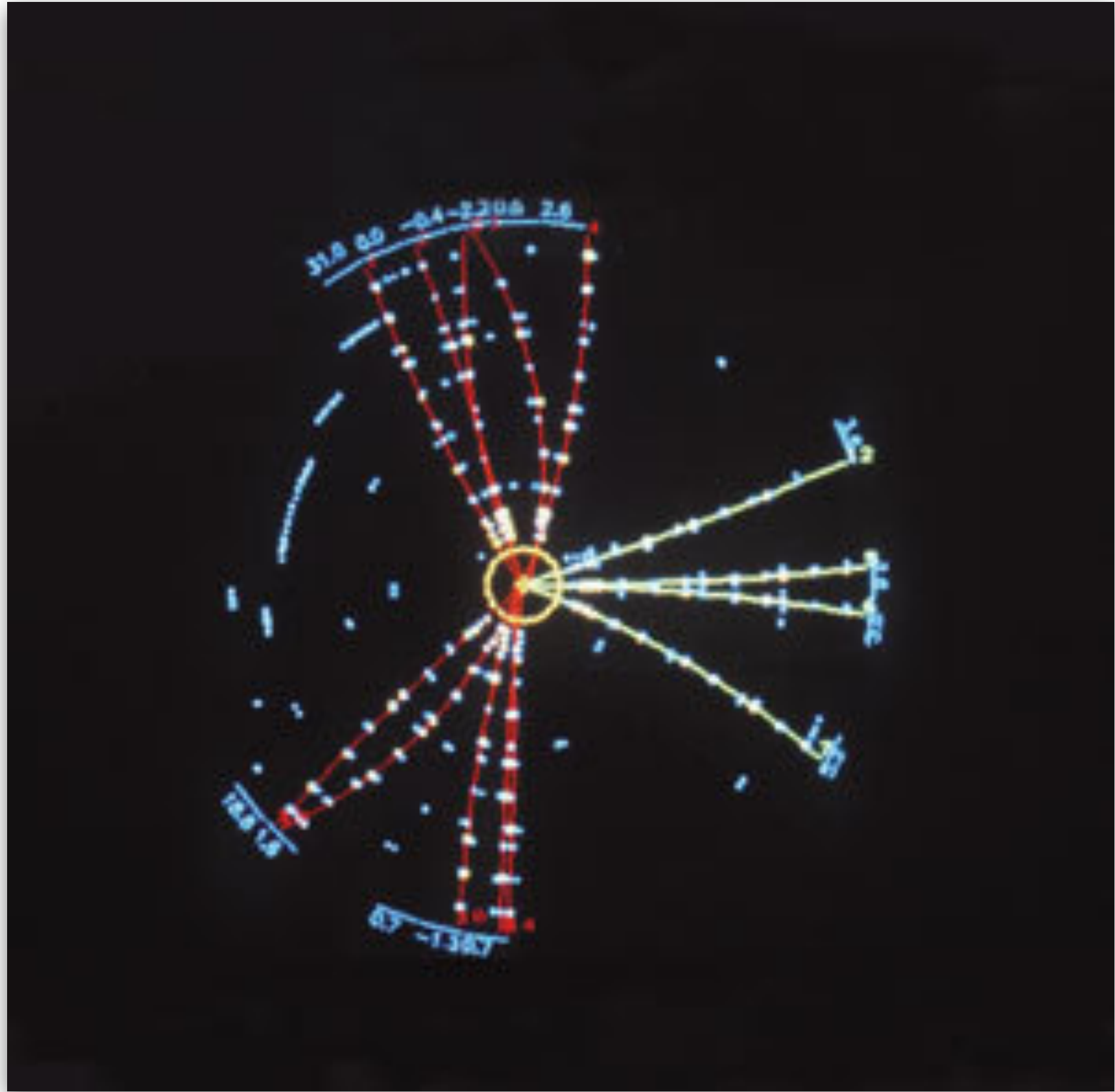
Gli esperimenti

Esistenza dei **gluoni**,
 quark **charm**, e **terza famiglia** di quark e leptoni (tau e neutrino tau, quark bottom e top)

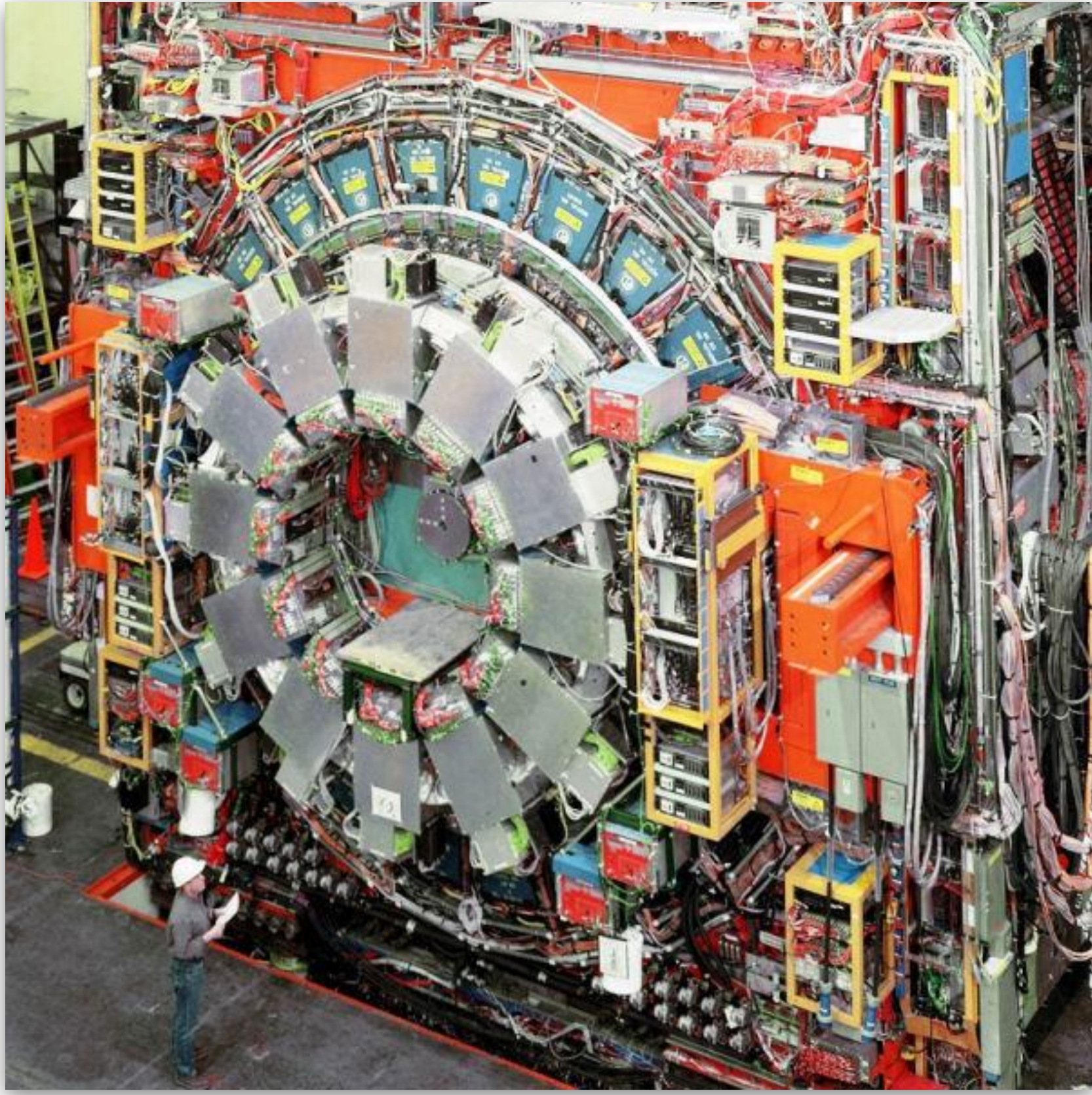
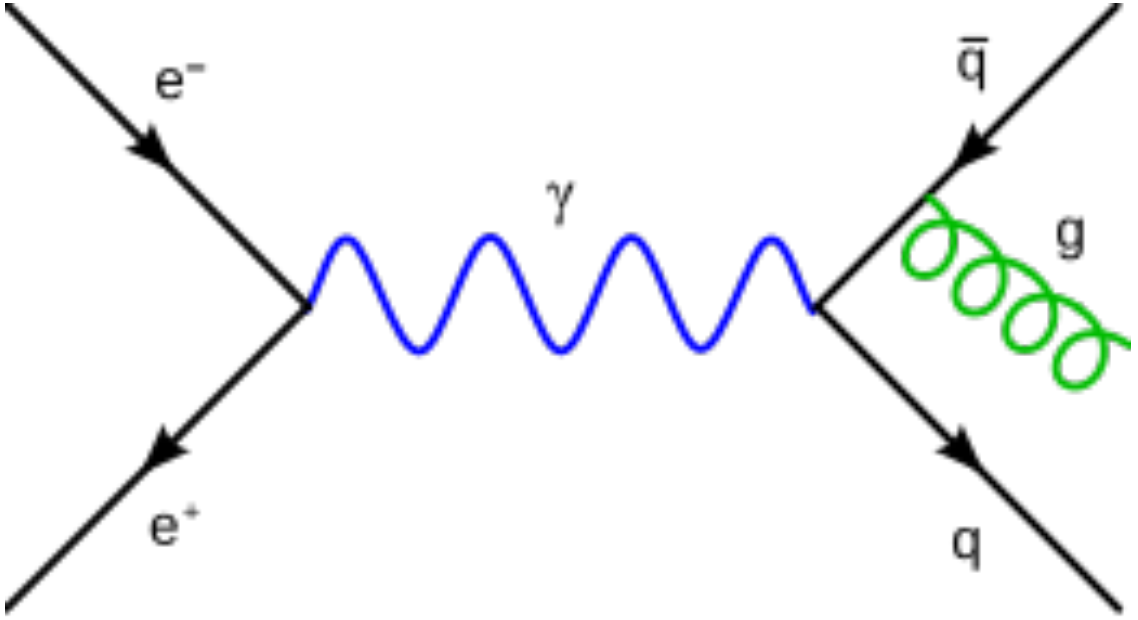
Strong top production



Scoperta del quark top
 @ Tevatron (1995)

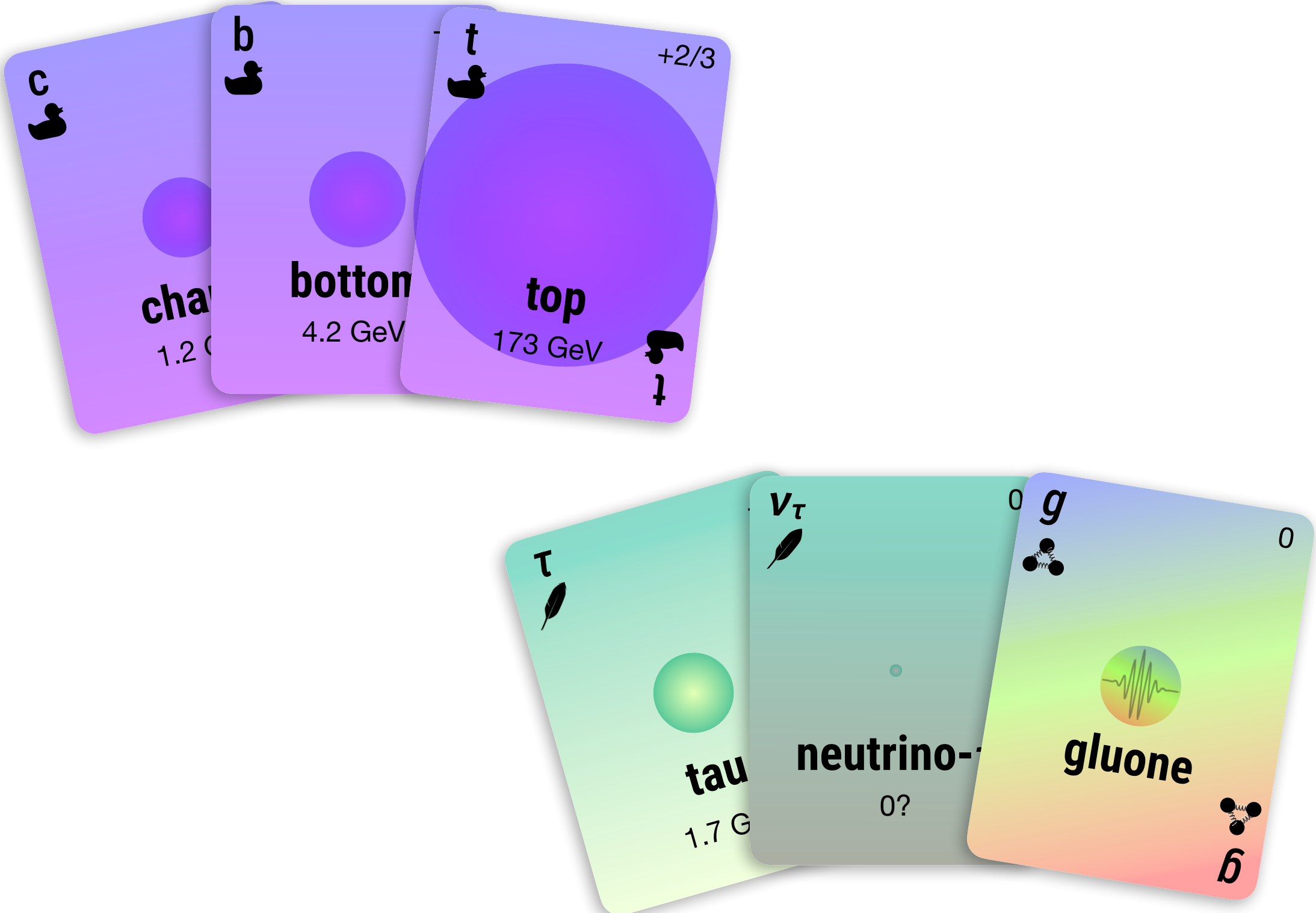


Scoperta del gluone
 @ DESY (1979)

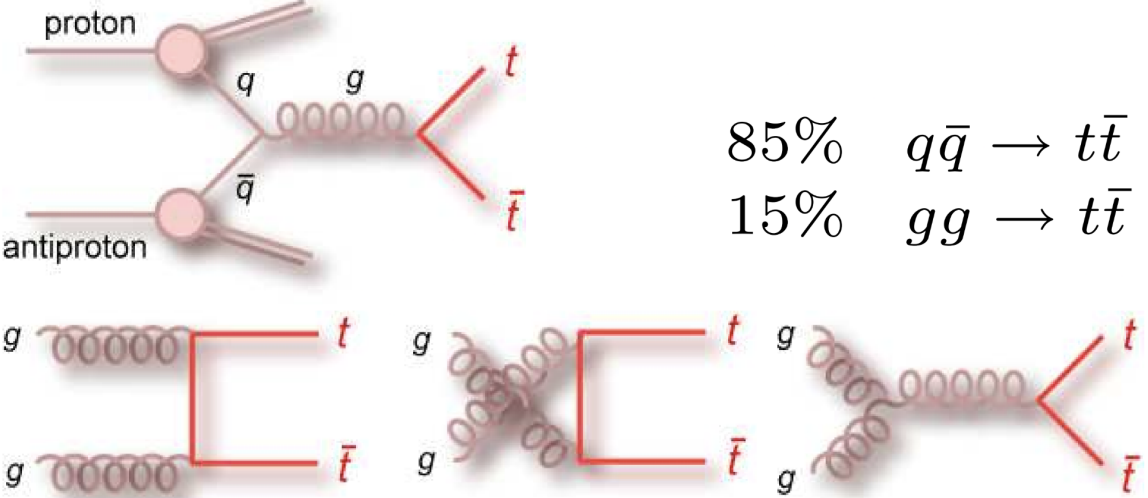


Gli esperimenti

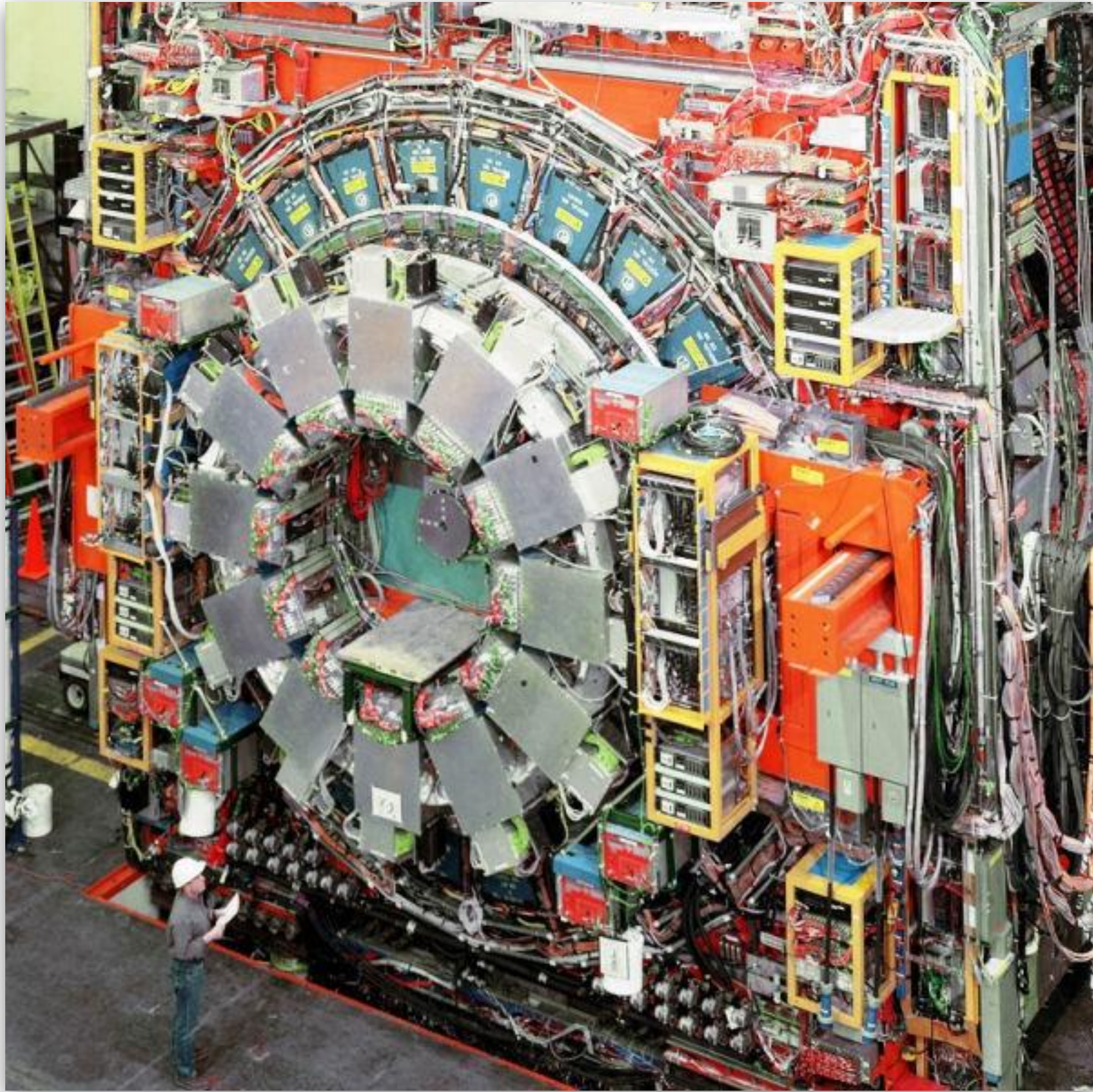
Esistenza dei **gluoni**,
quark **charm**, e **terza famiglia** di quark e leptoni (tau e neutrino tau, quark bottom e top)



Strong top production

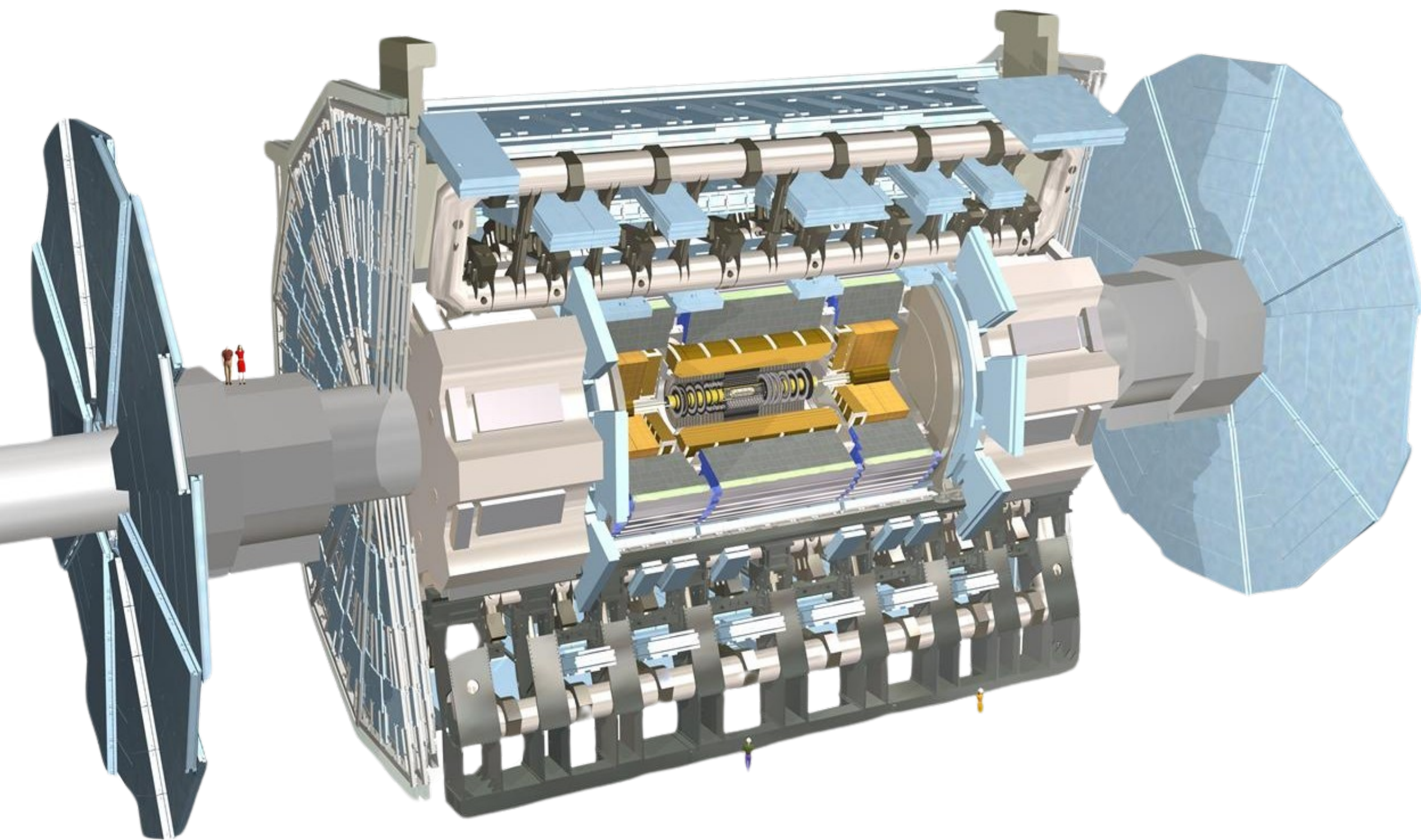


Scoperta del quark top
@ Tevatron (1995)



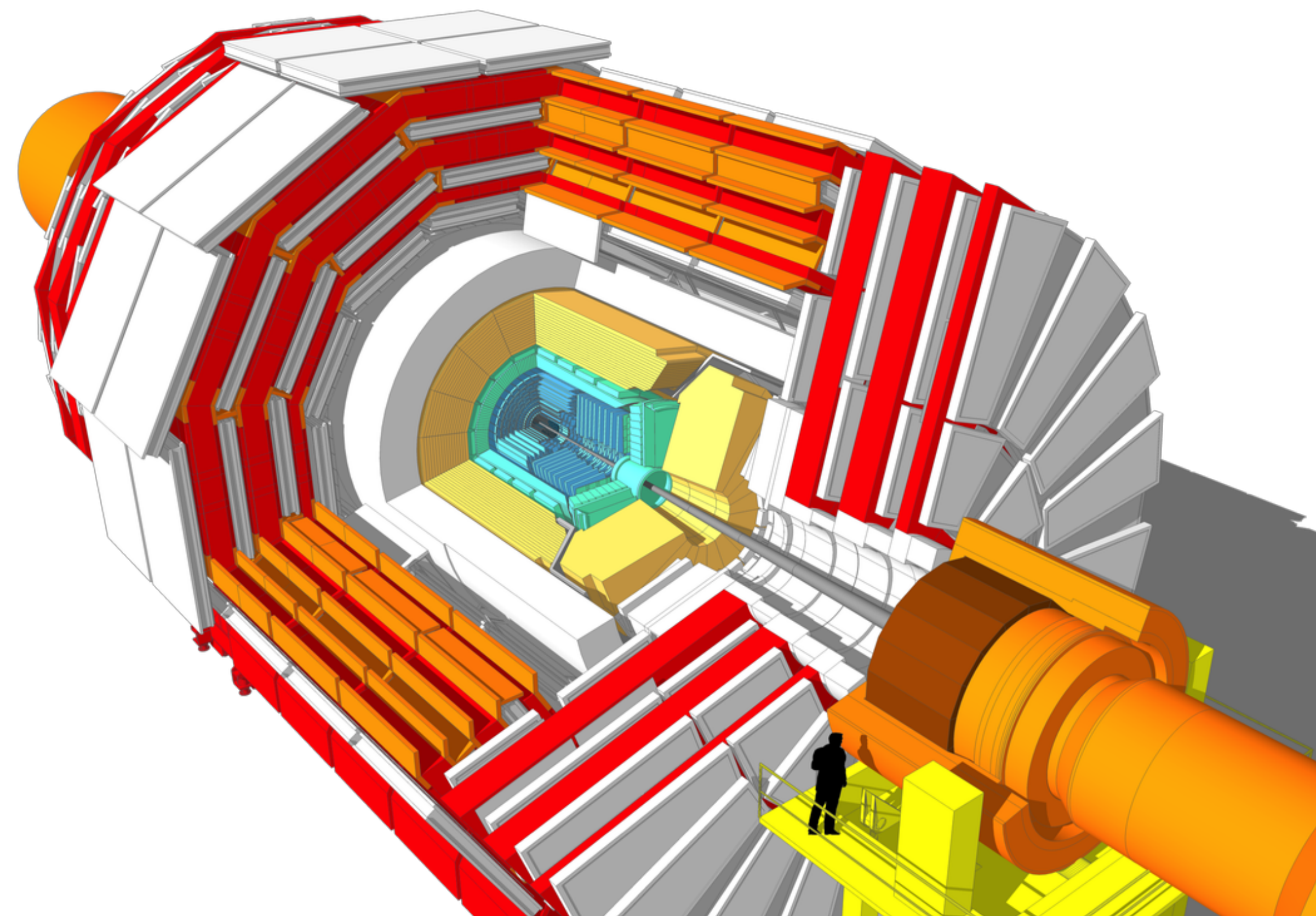
Gli esperimenti

ATLAS e CMS, scoperta del bosone di Higgs (2012)



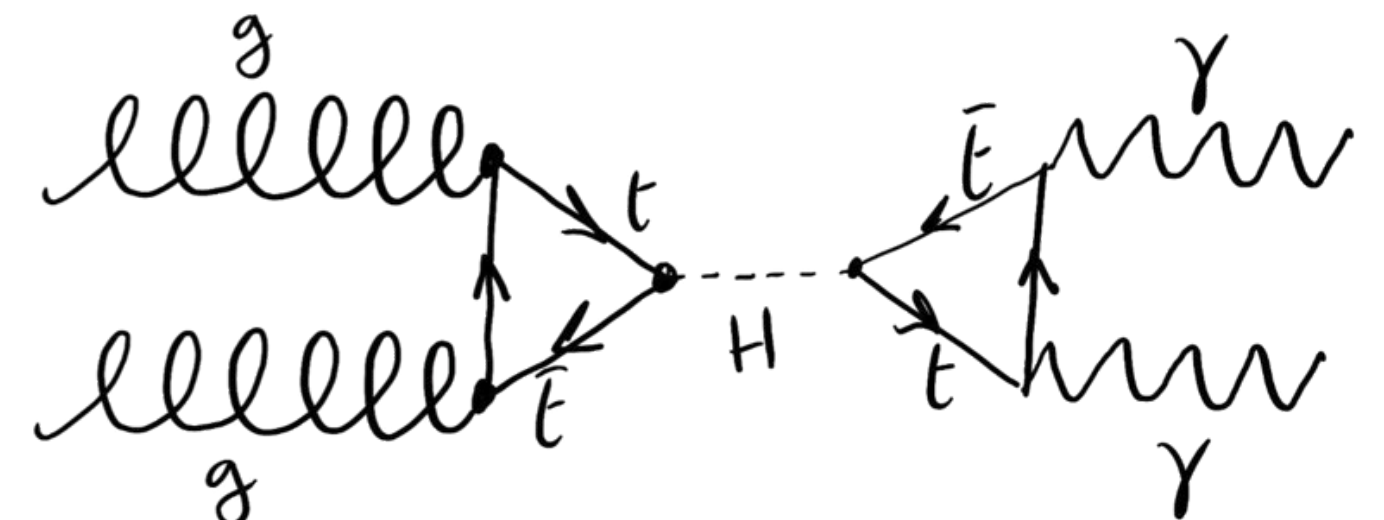
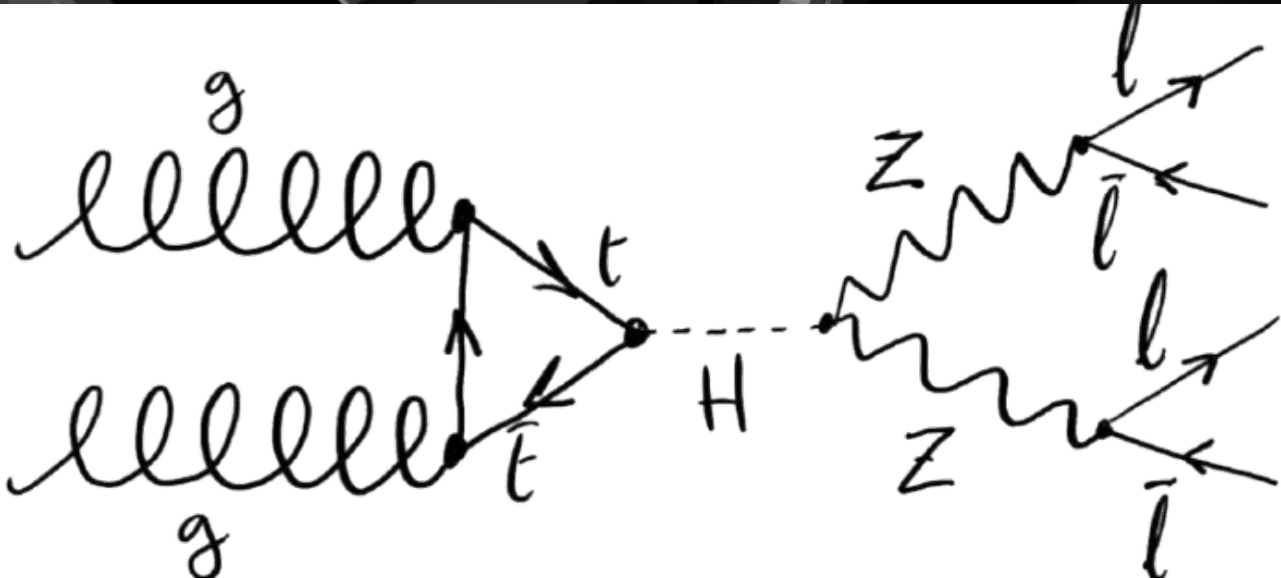
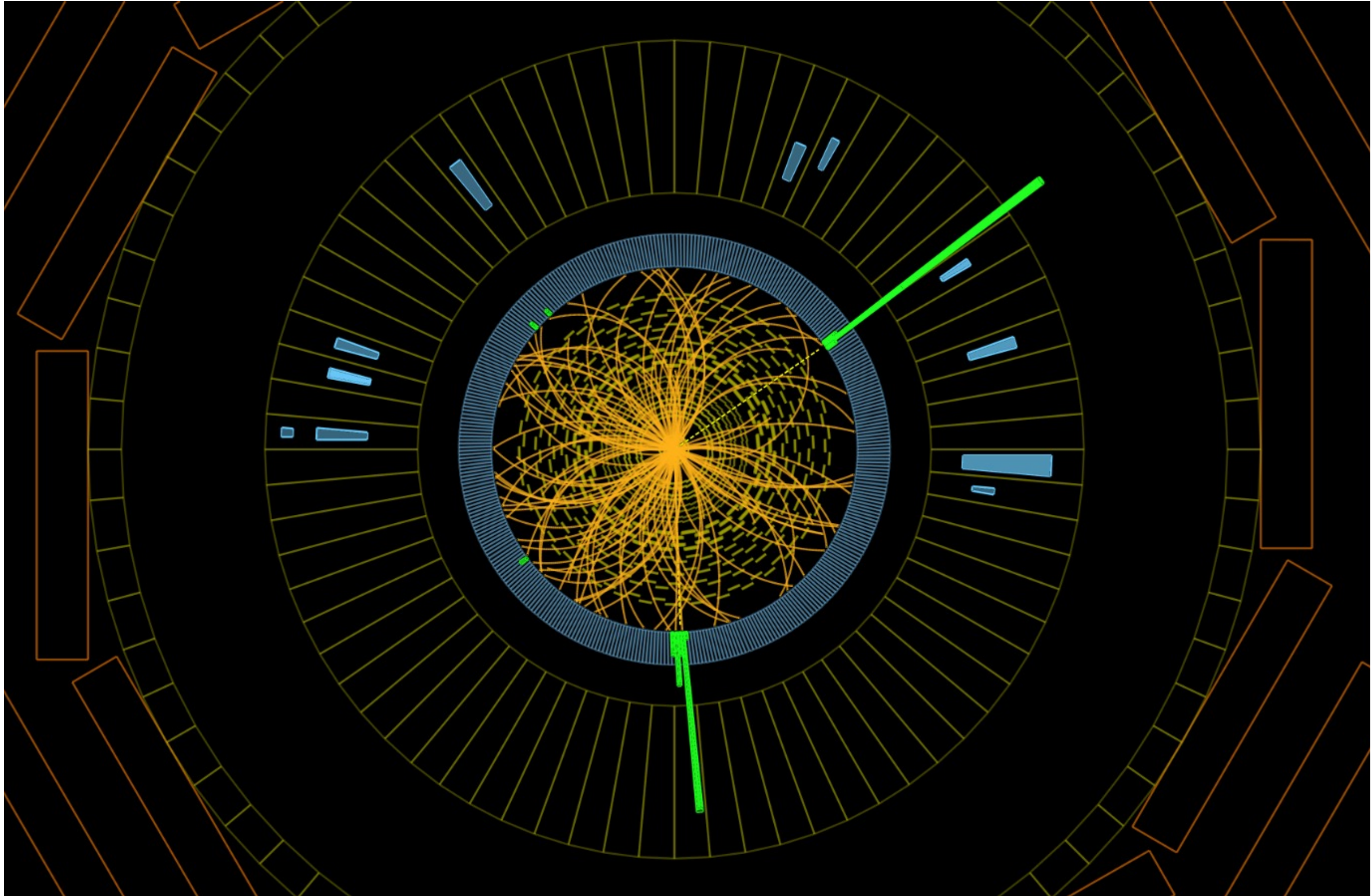
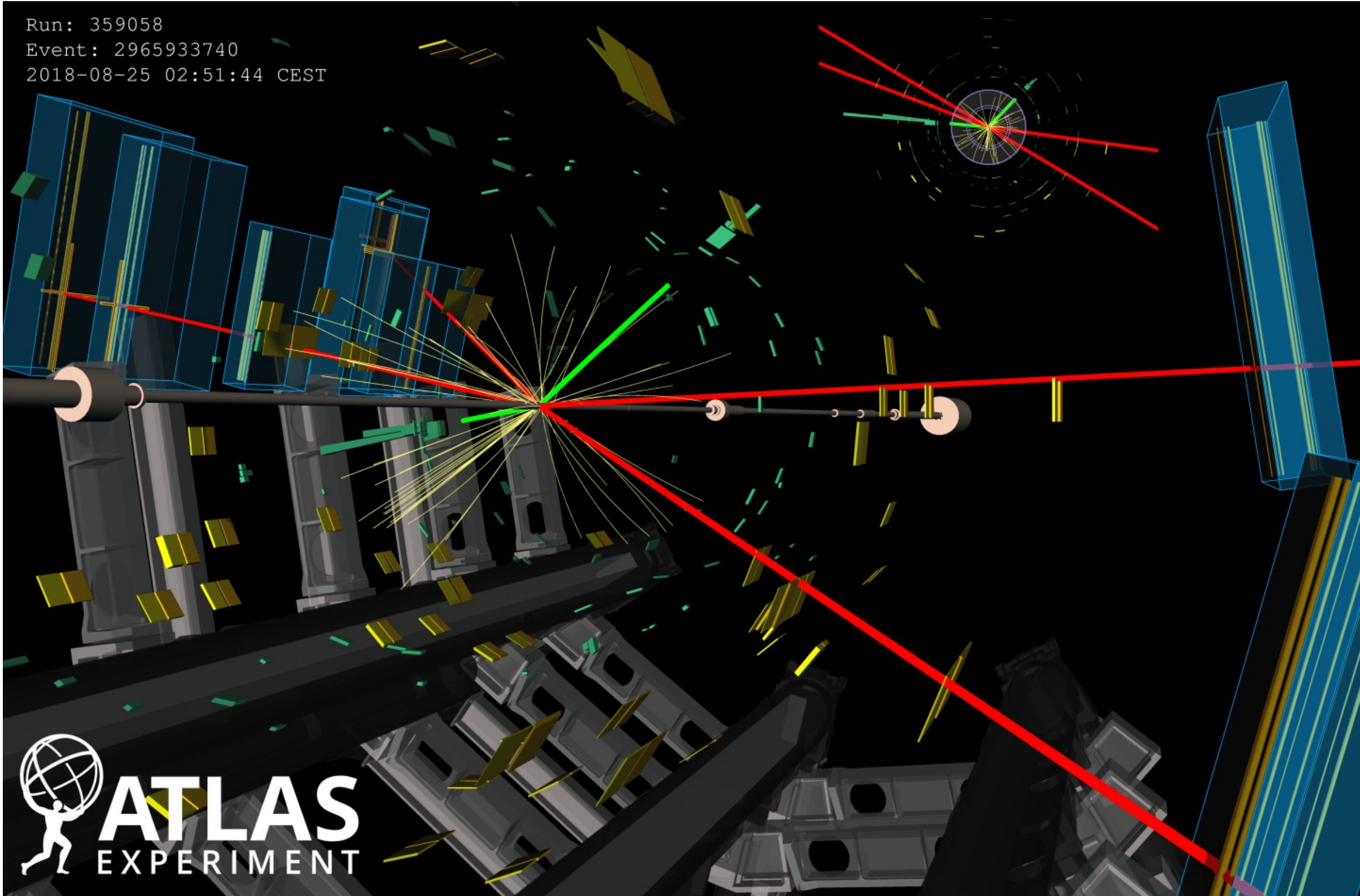
ATLAS

CMS



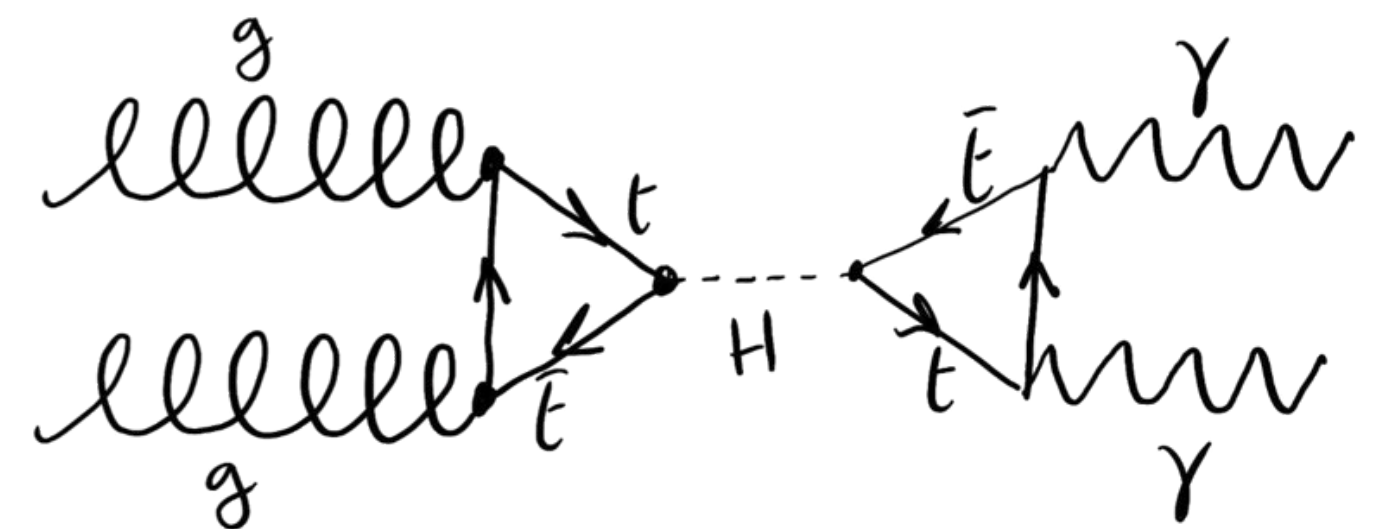
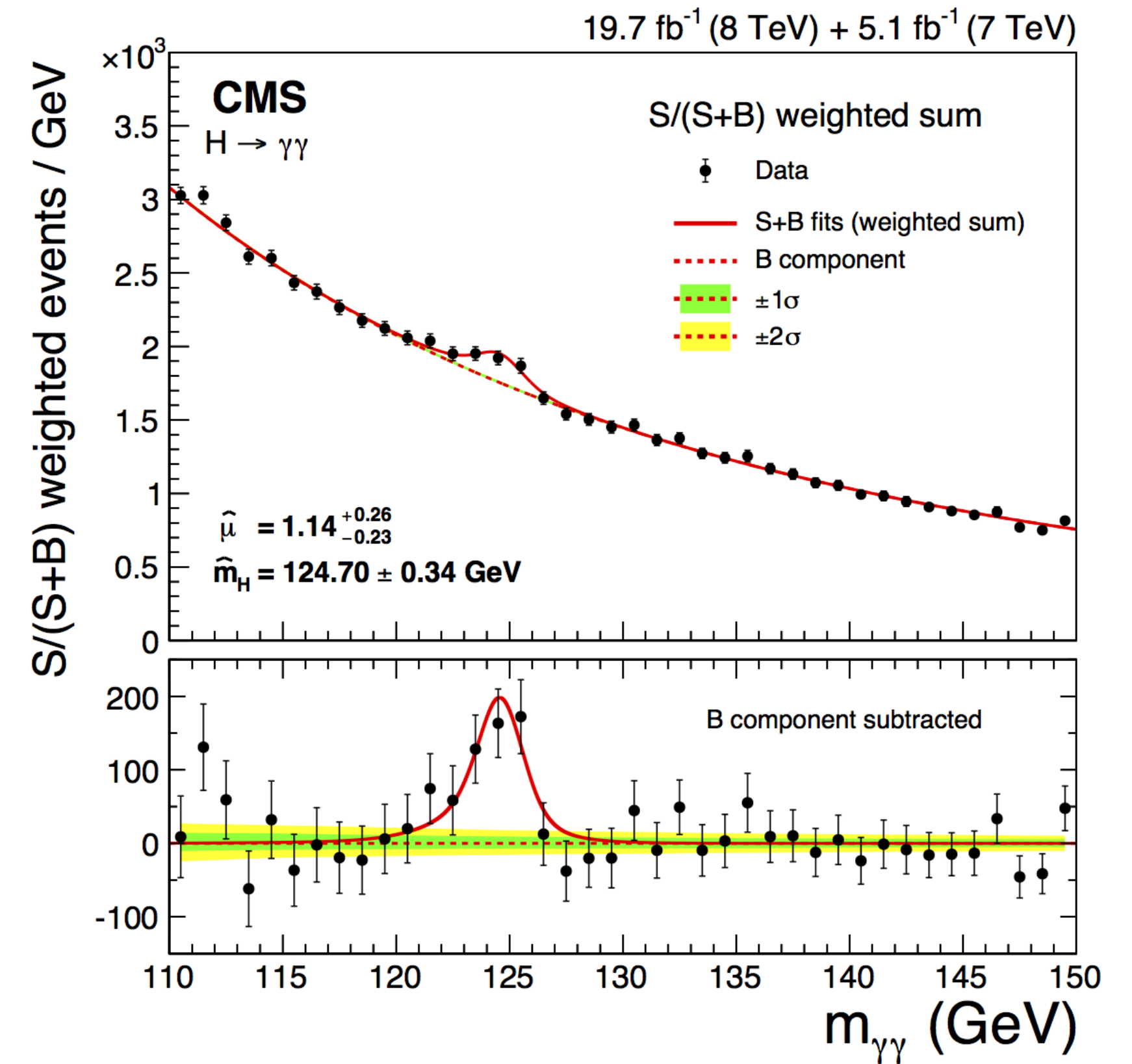
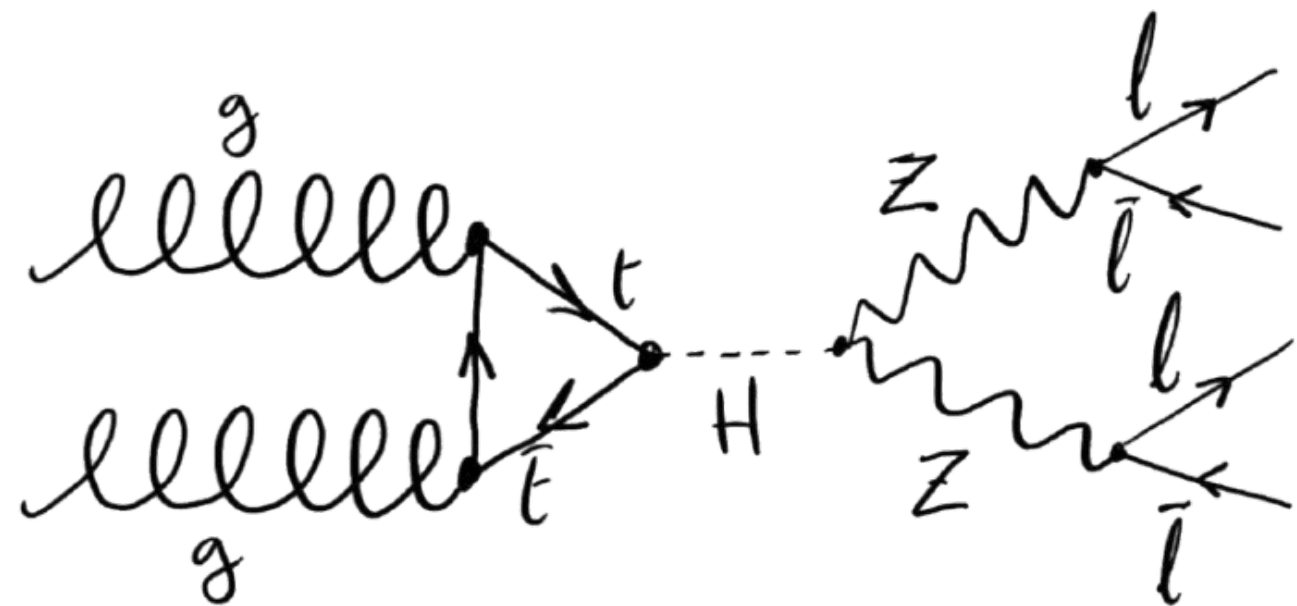
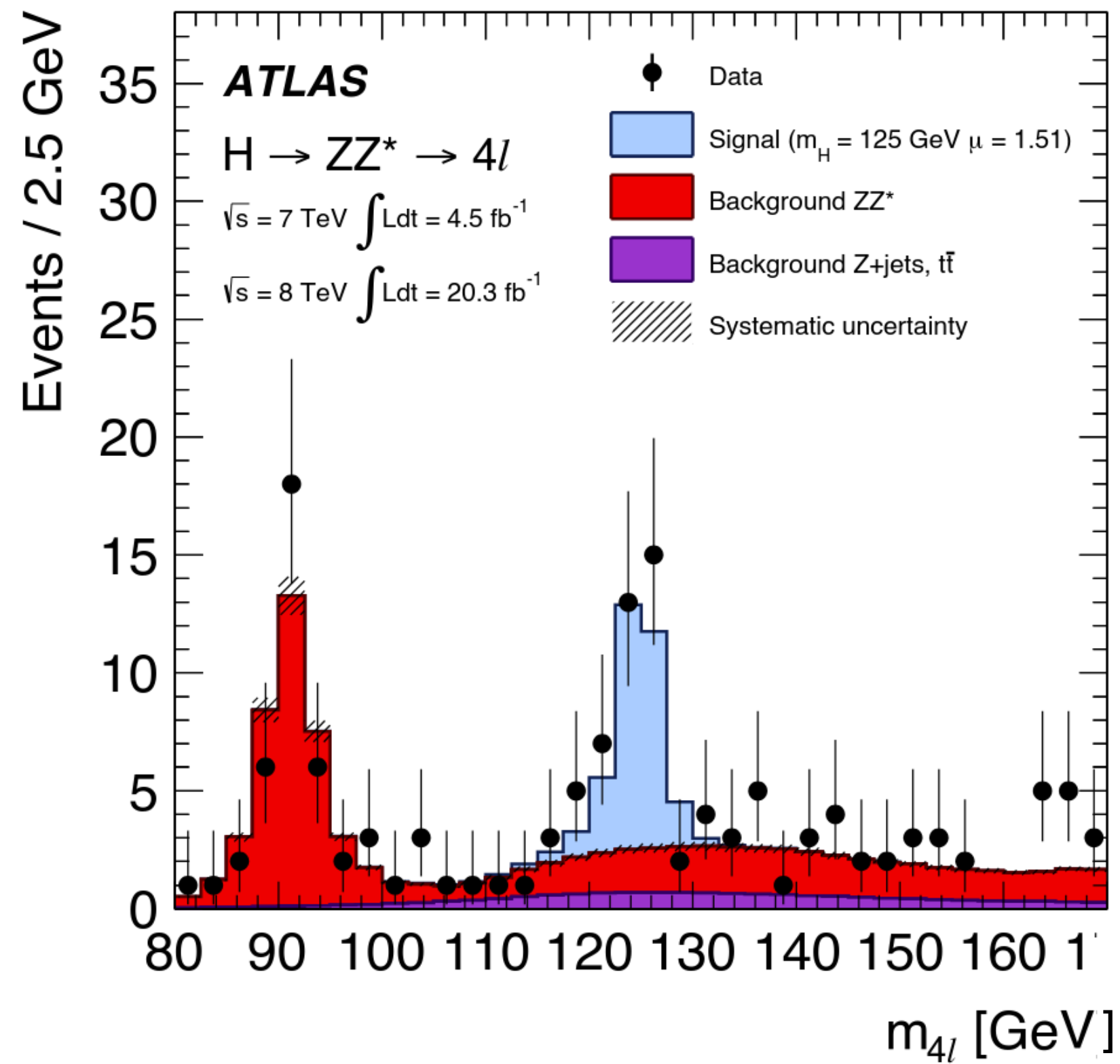
Gli esperimenti

ATLAS e CMS, scoperta del bosone di Higgs (2012)



Gli esperimenti

ATLAS e CMS, scoperta del bosone di Higgs (2012)



Come ci si confronta con la teoria?

Numero di Eventi
Che misuriamo

$$N = \sigma \cdot L$$

$$\begin{aligned} \mathcal{L} = & -\frac{1}{4} F_{\mu\nu} F^{\mu\nu} \\ & + i \bar{\Psi} \not{D} \Psi + h.c. \\ & + \bar{\Psi}_i \gamma_{ij} \Psi_j \phi + h.c. \\ & + |D_\mu \phi|^2 - V(\phi) \end{aligned}$$

Luminosità

La macchina che vogliamo utilizzare (acceleratore)

Sezione d'urto

(il Modello Standard o un'altra teoria che vogliamo testare)

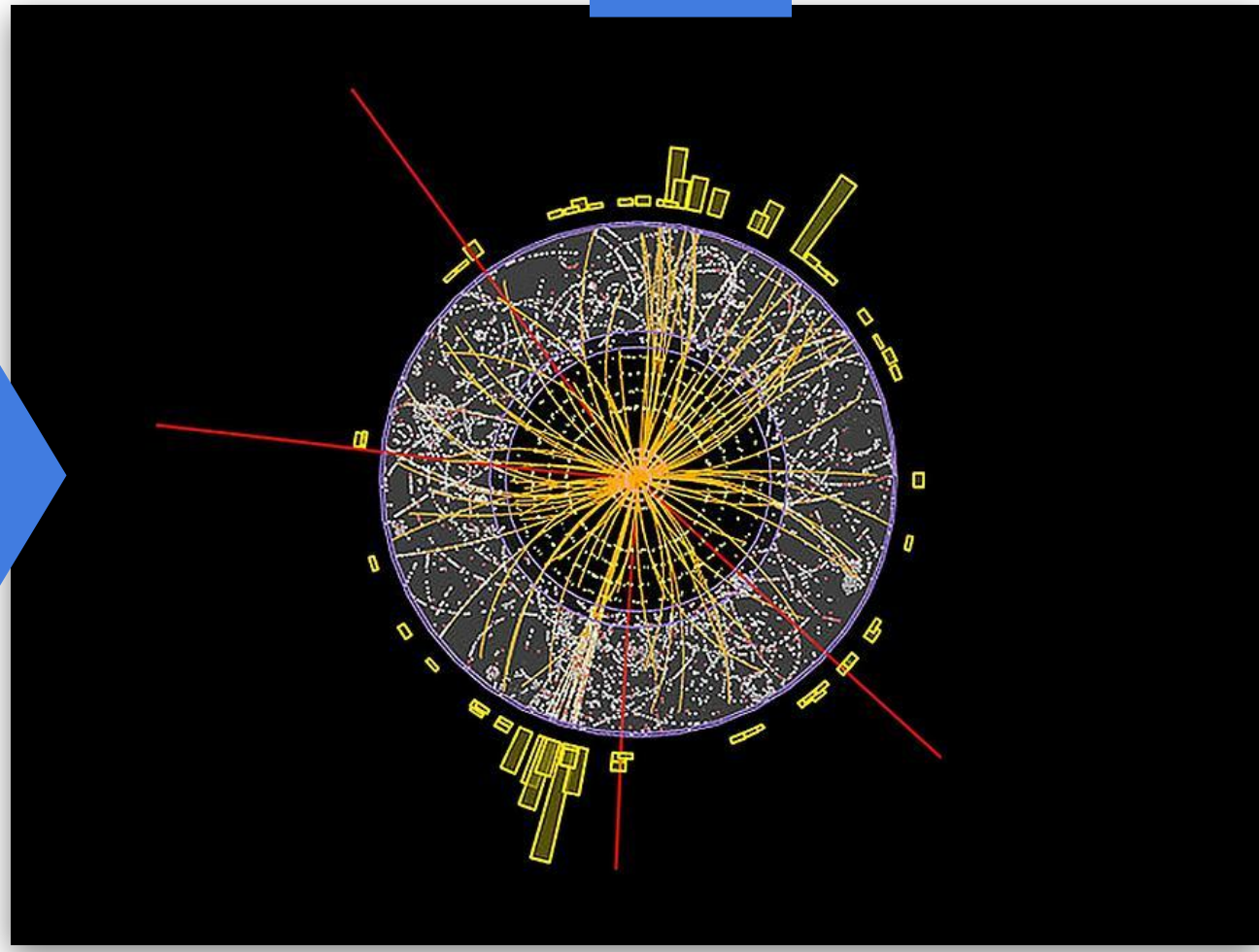
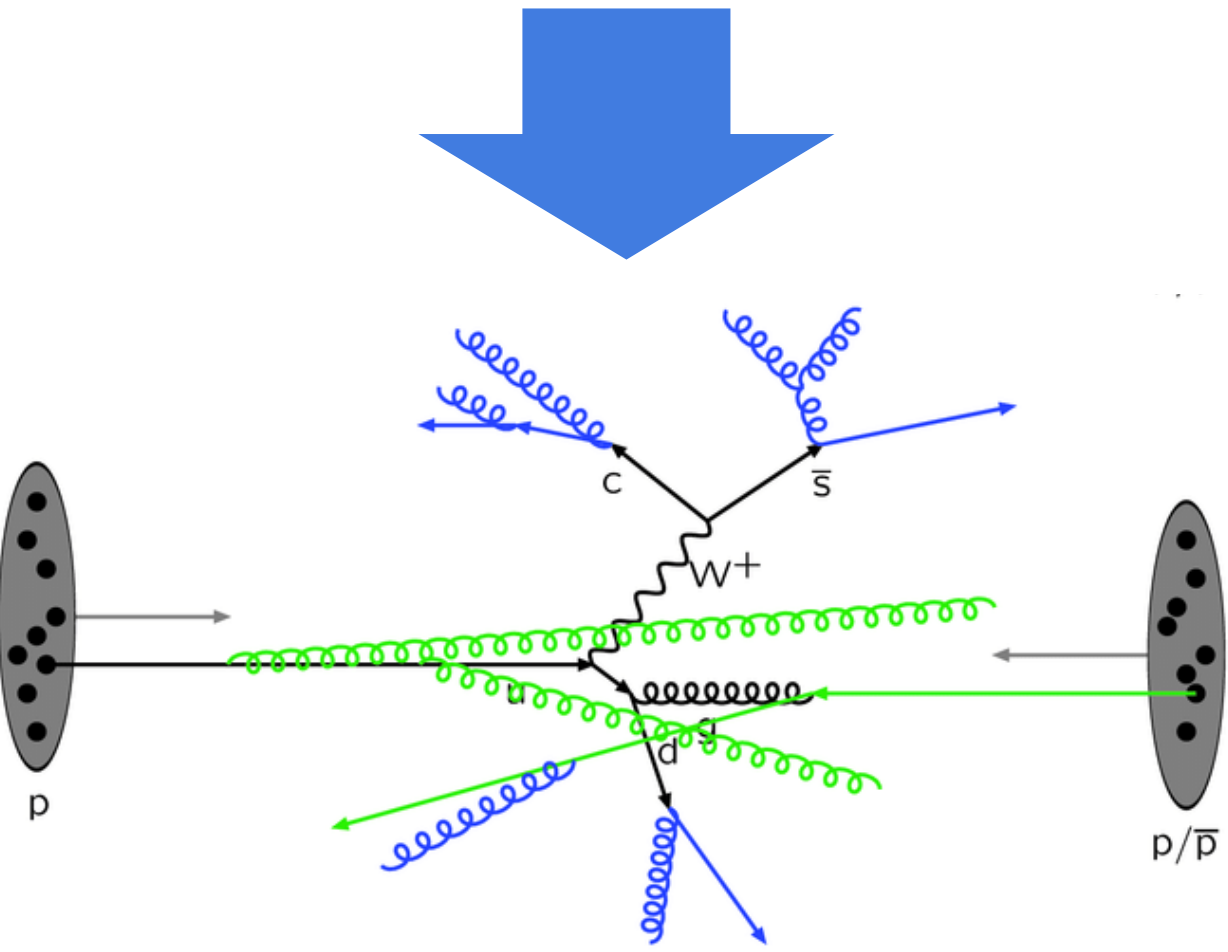
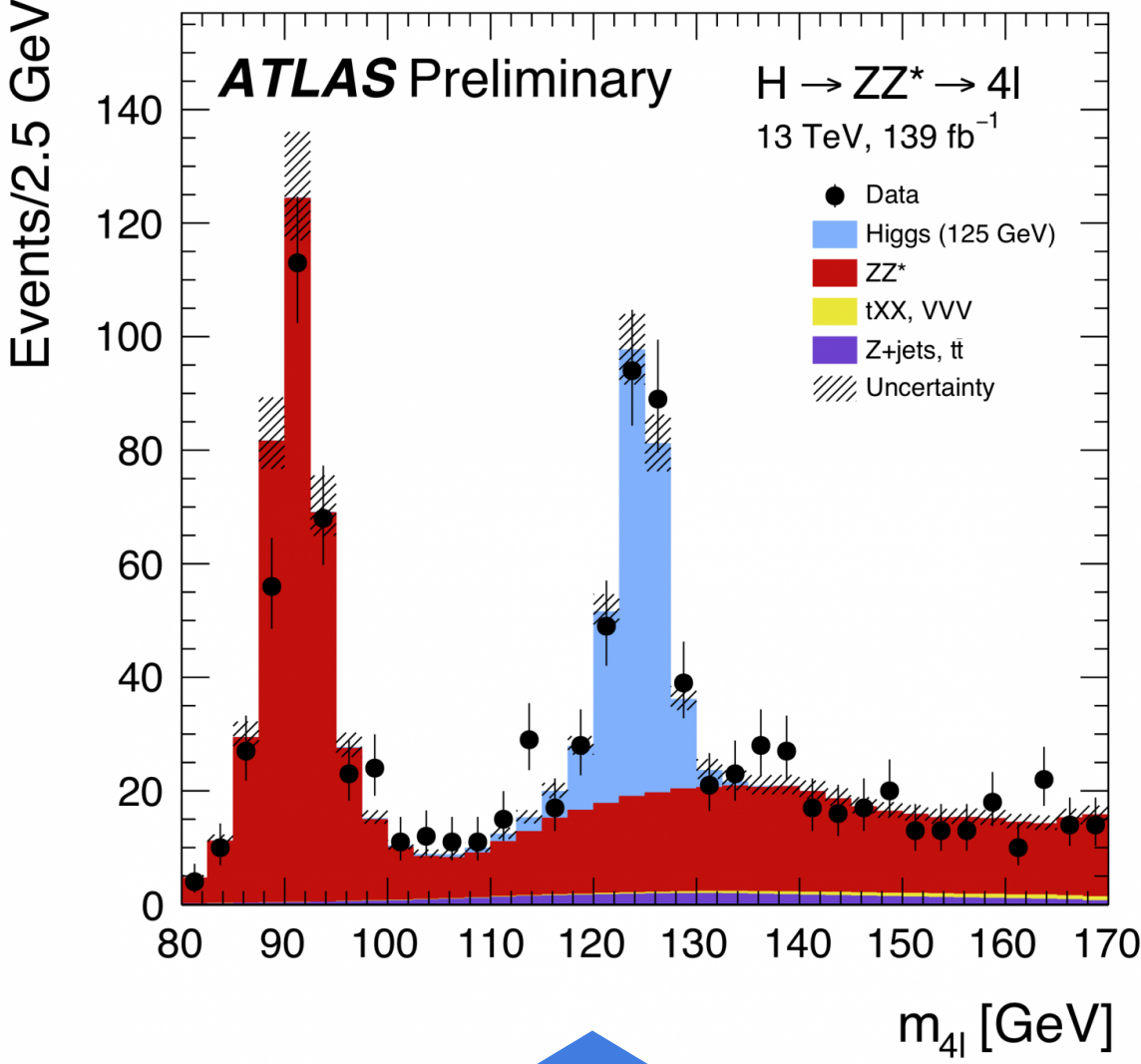


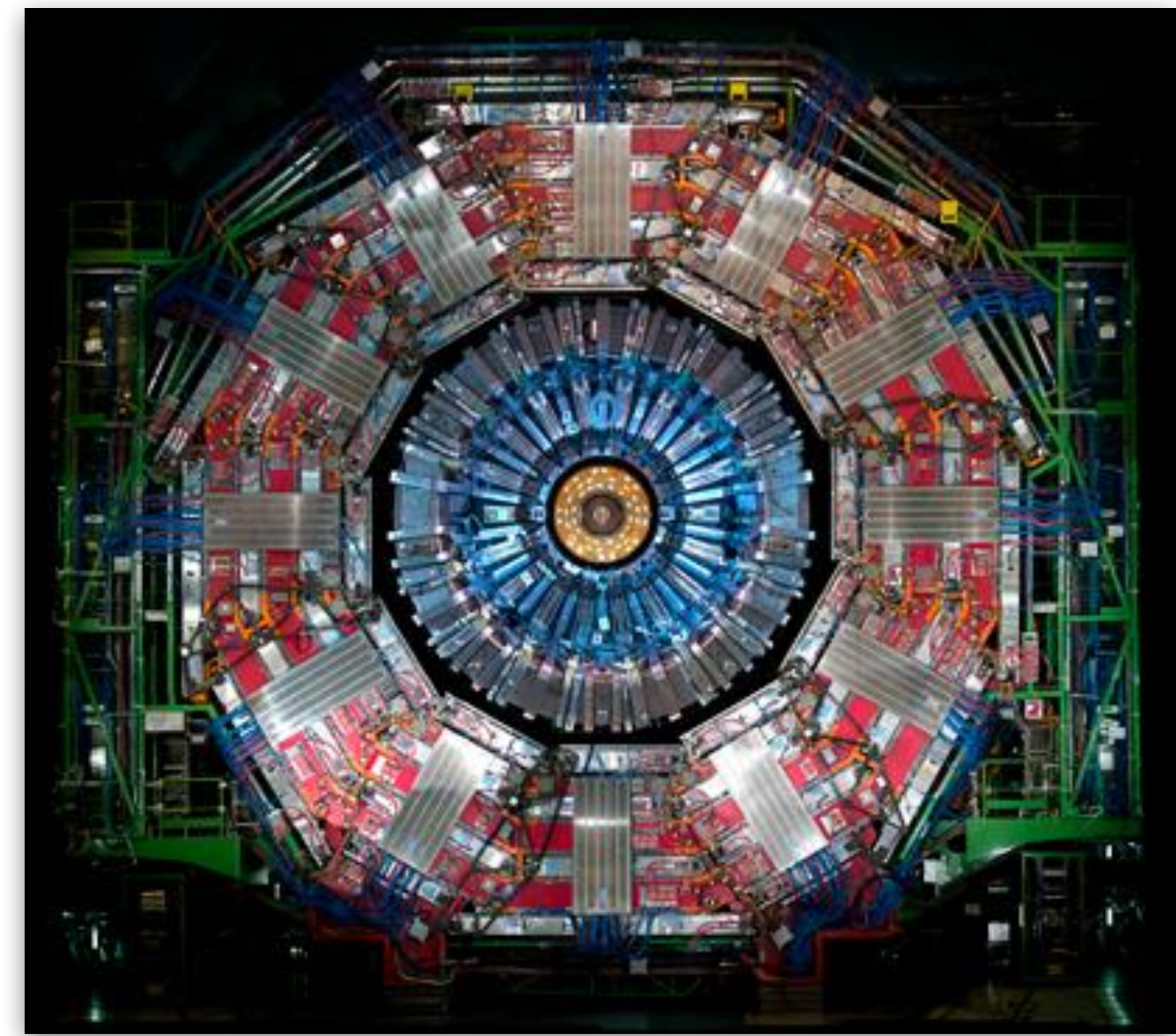
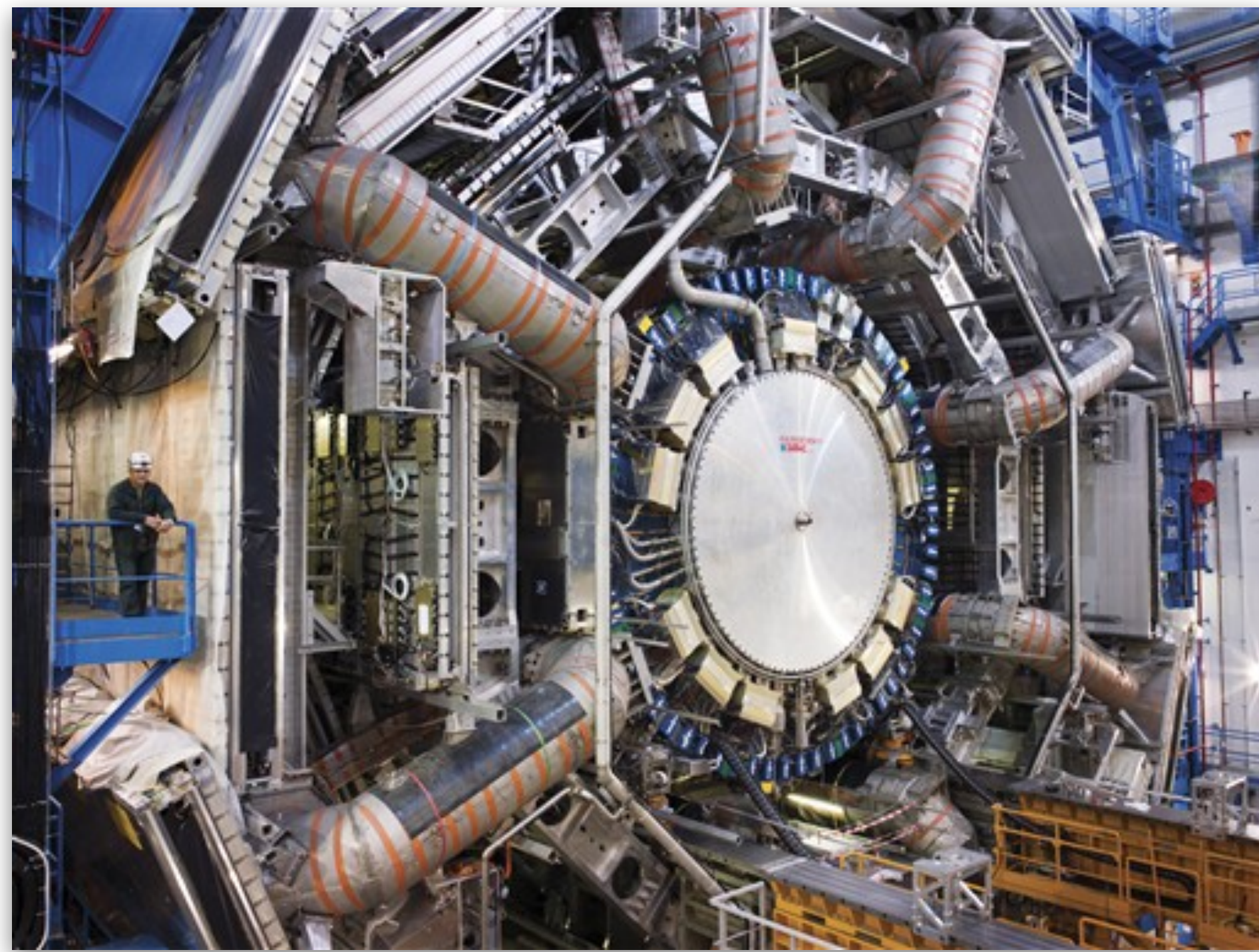
Come ci si confronta con la teoria?

Numero di Eventi
Che misuriamo

$$N = \sigma \cdot L$$

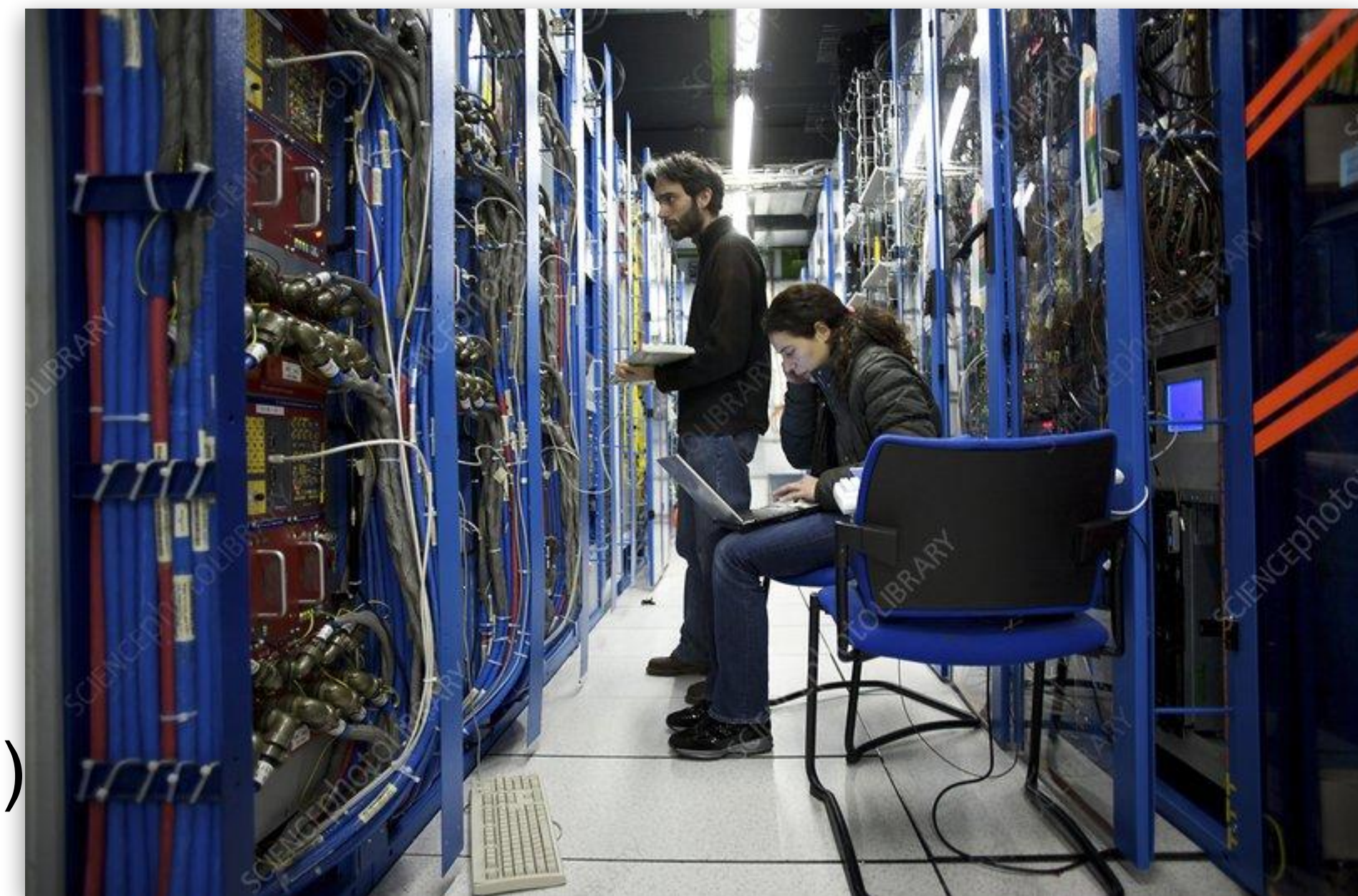
$$\mathcal{L} = -\frac{1}{4} F_{\mu\nu} F^{\mu\nu} + i\bar{\Psi}\not{D}\Psi + h.c. + \bar{\Psi}_i \gamma_{ij} \Psi_j \phi + h.c. + |D_\mu \phi|^2 - V(\phi)$$

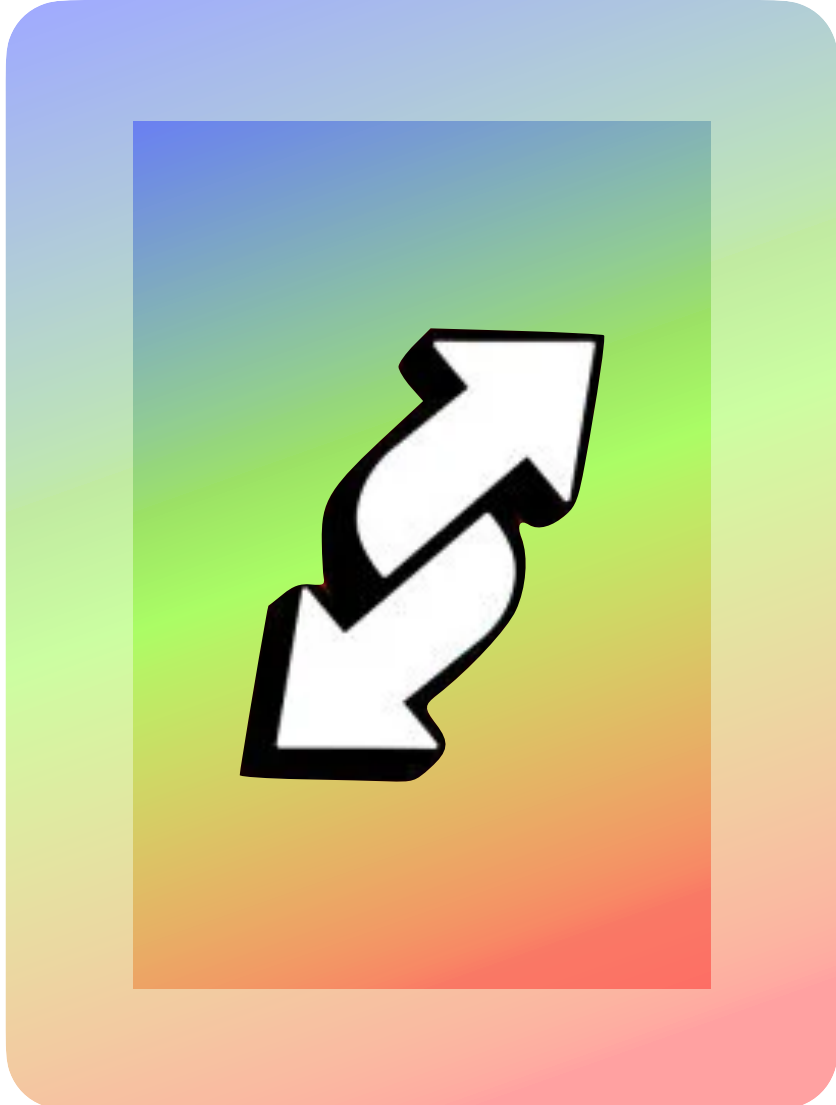




Uno ($O(1000)$) sperimentale all'opera:

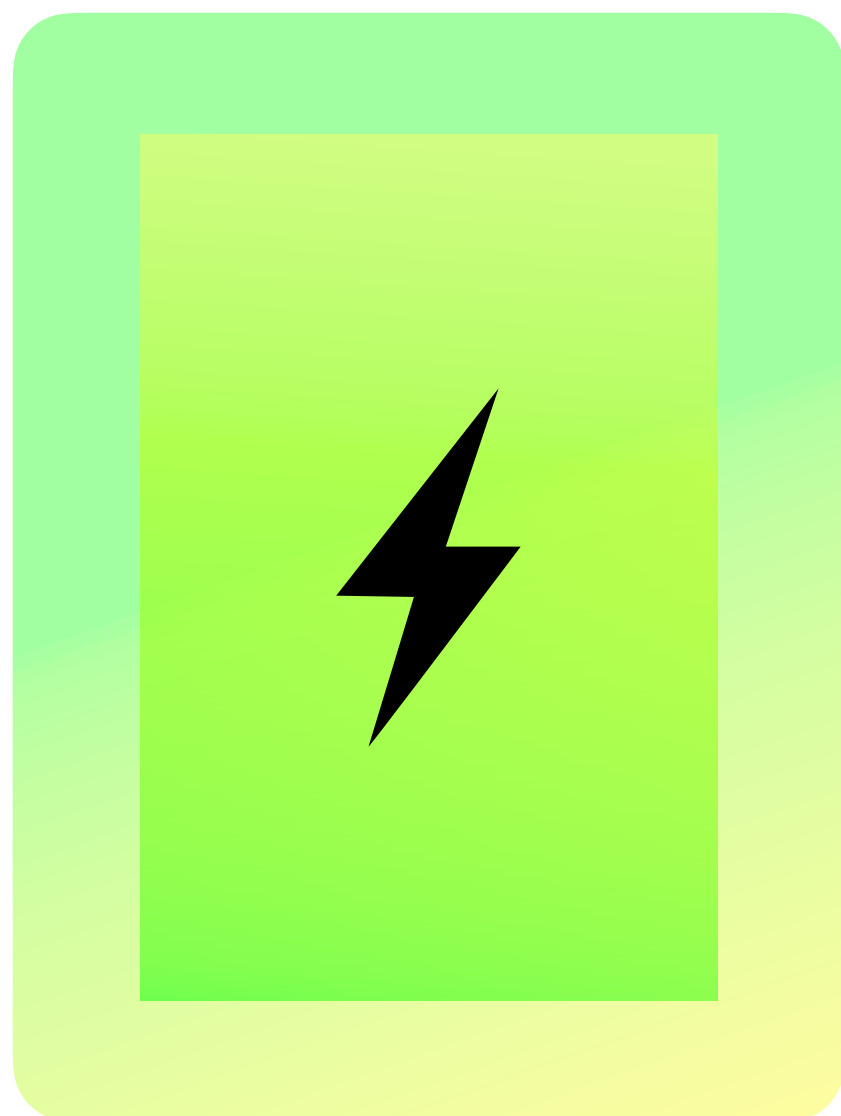
- Hardware ed elettronica di basso/alto livello
- Acquisizione dati, processing & computing
- Analisi dei dati raccolti
- Confronto con fenomenologia e simulazioni Monte Carlo
- Statistica
- Sviluppo tecniche di analisi (unfolding, machine learning, ecc.)
- E (tantissimo) altro



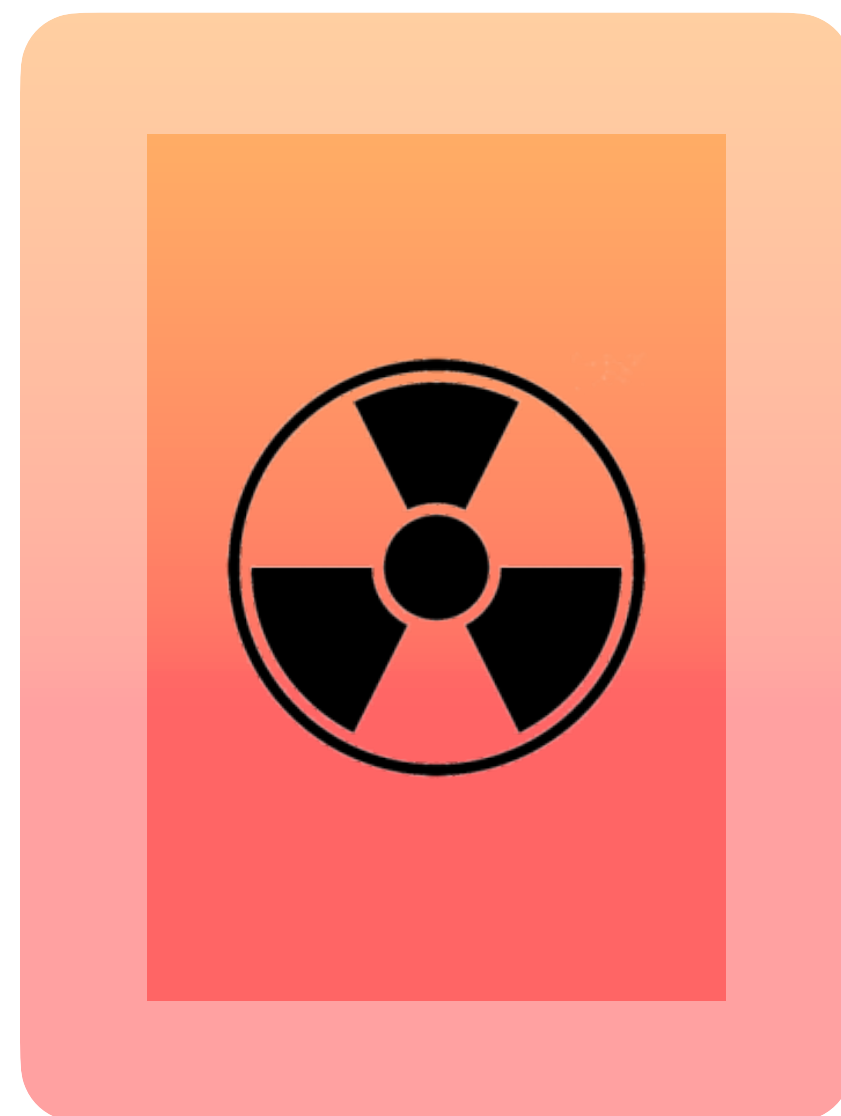


E la gravità?

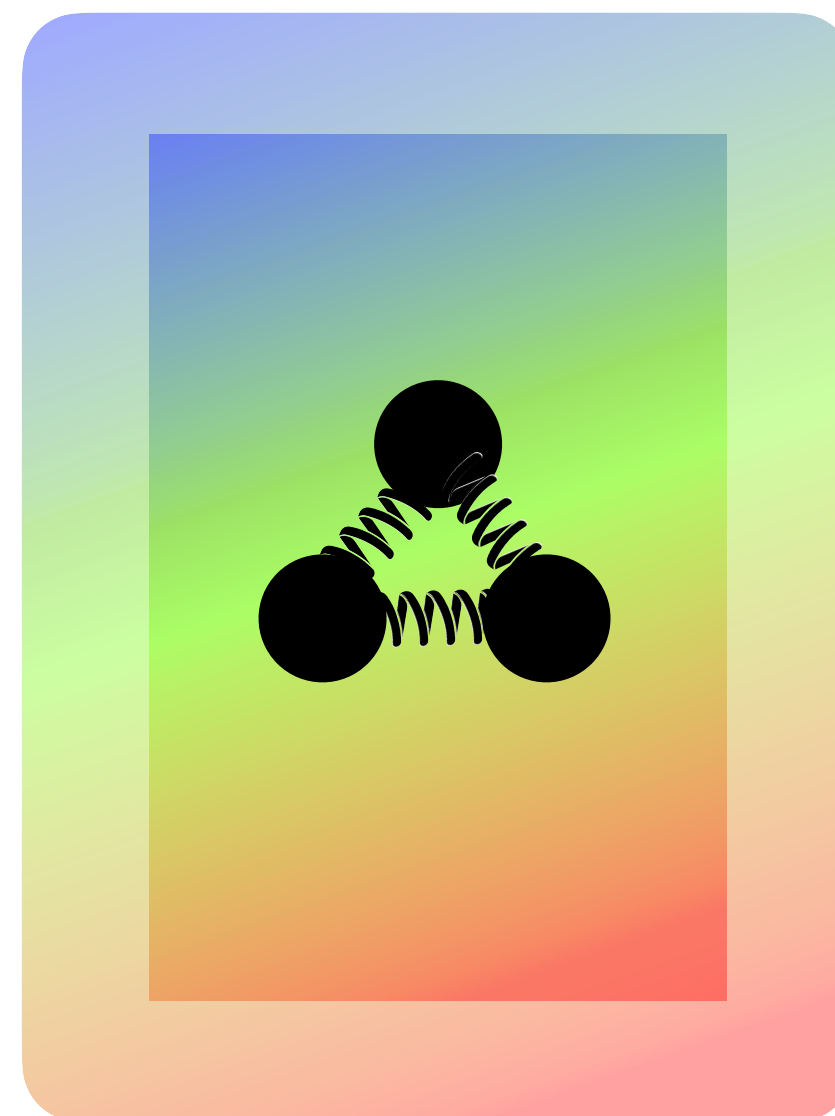
Il Modello Standard descrive
3 delle 4 interazioni fondamentali
nello spaziotempo **piatto**



Elettromagnetismo



Debole



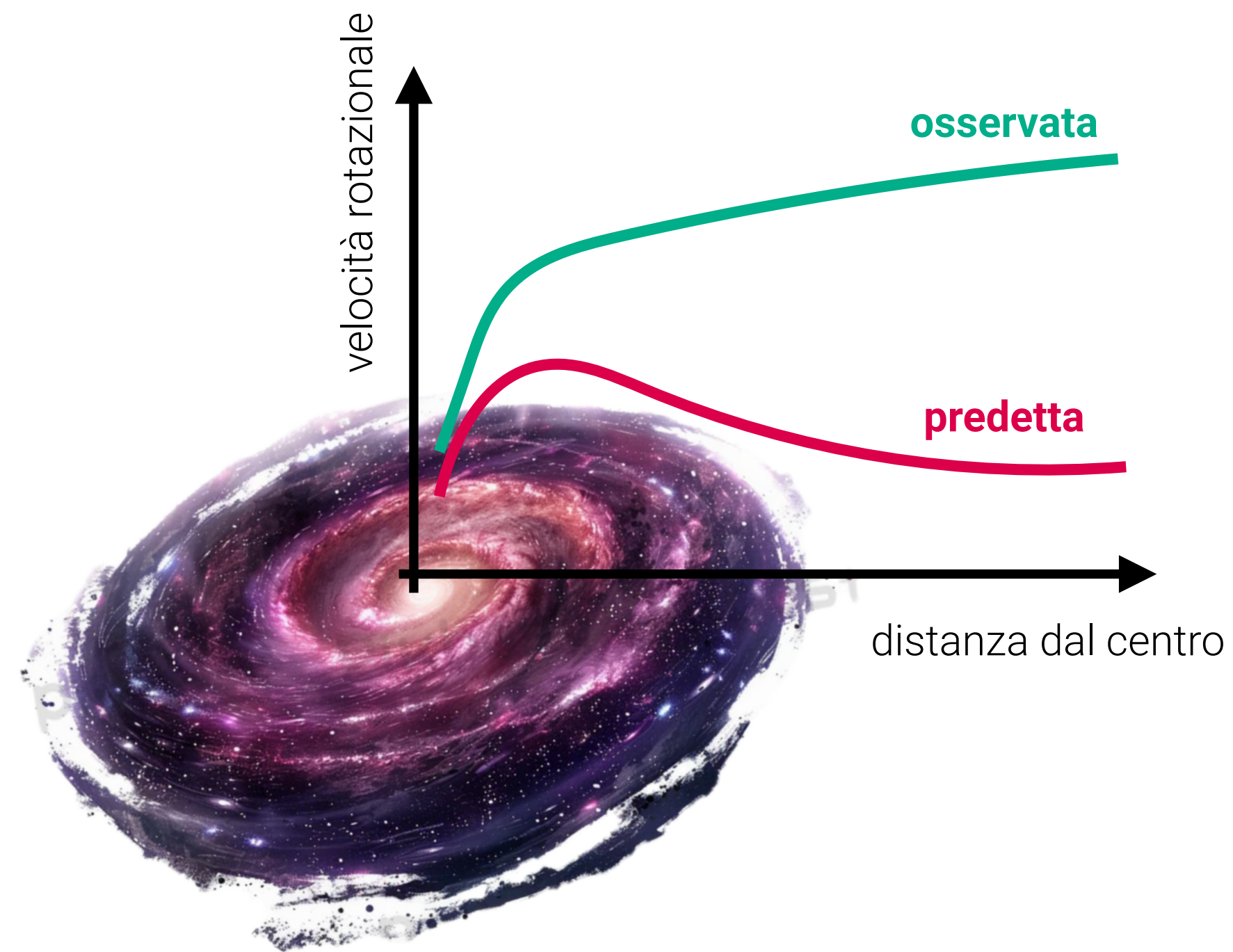
Forte



Gravità

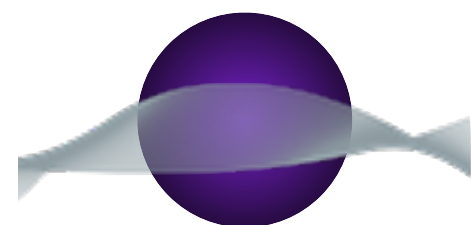
I tentativi di descrivere la gravità
con lo stesso formalismo del
modello standard **falliscono**

Materia e energia oscure

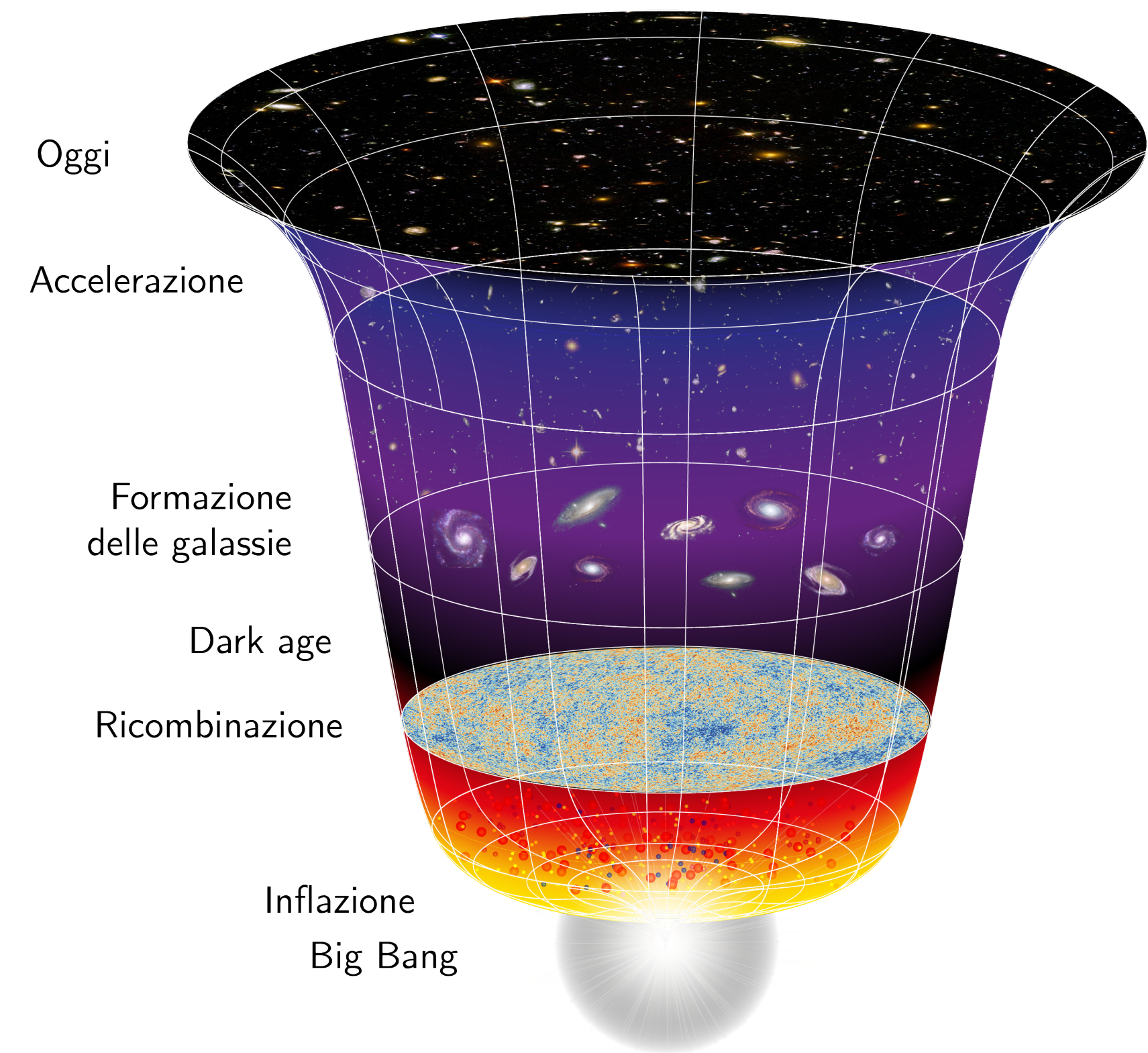


La materia osservata è solo il 5% della materia contenuta nelle galassie:
materia oscura

Nessuna particella del MS può spiegare questo fenomeno

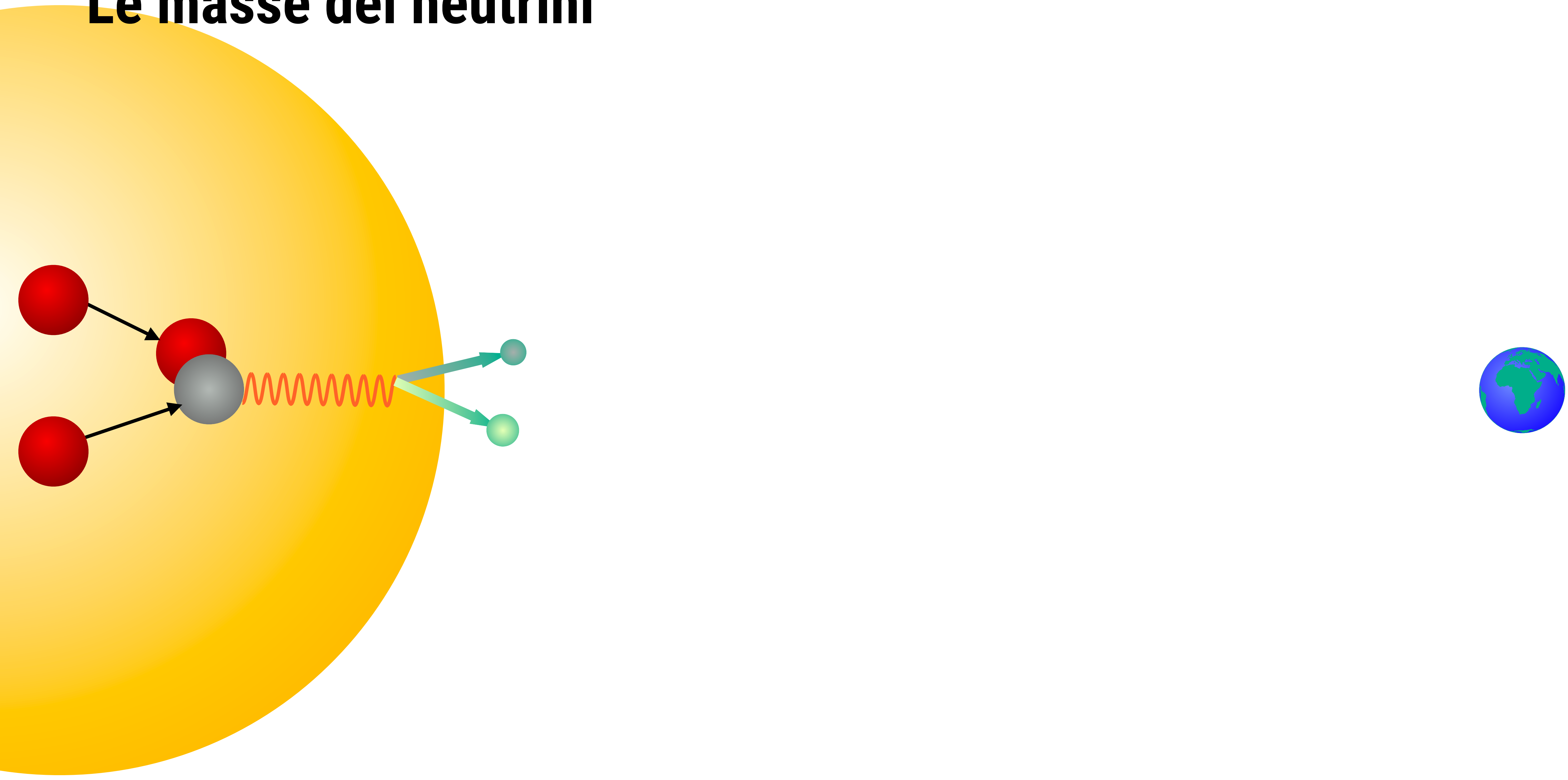


L'universo si espande in modo accelerato:
energia oscura

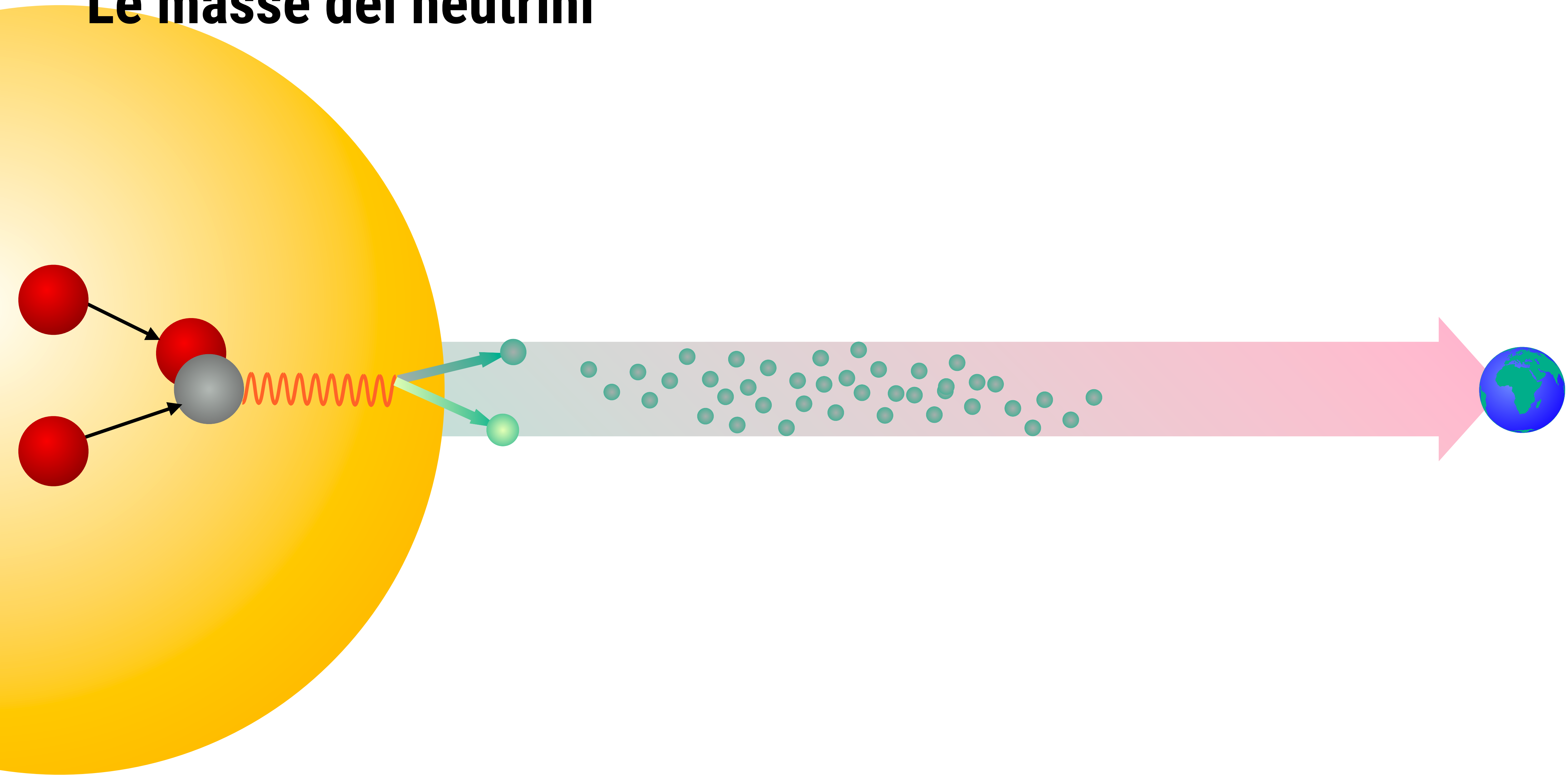


Inflazione
potrebbe avere origine particellare non spiegata dal MS

Le masse dei neutrini



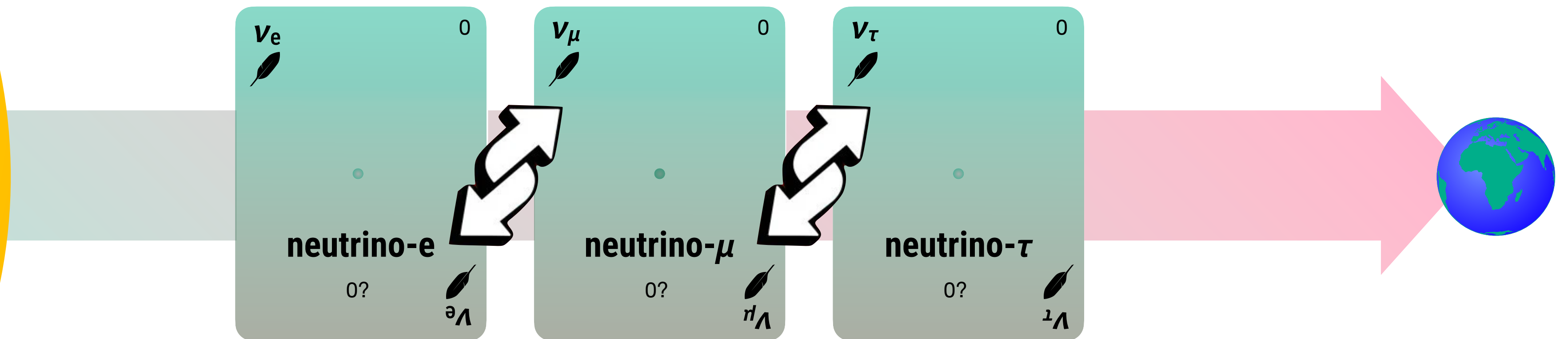
Le masse dei neutrini



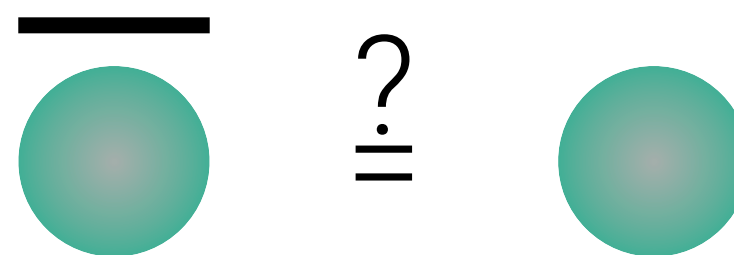
Le masse dei neutrini

Oscillazioni dei neutrini
sperimentalmente si osserva che i
neutrini hanno massa

$$P(\nu_i \rightarrow \nu_j) \propto \sin\left(\frac{\Delta m_{ij}^2 L}{E}\right)$$

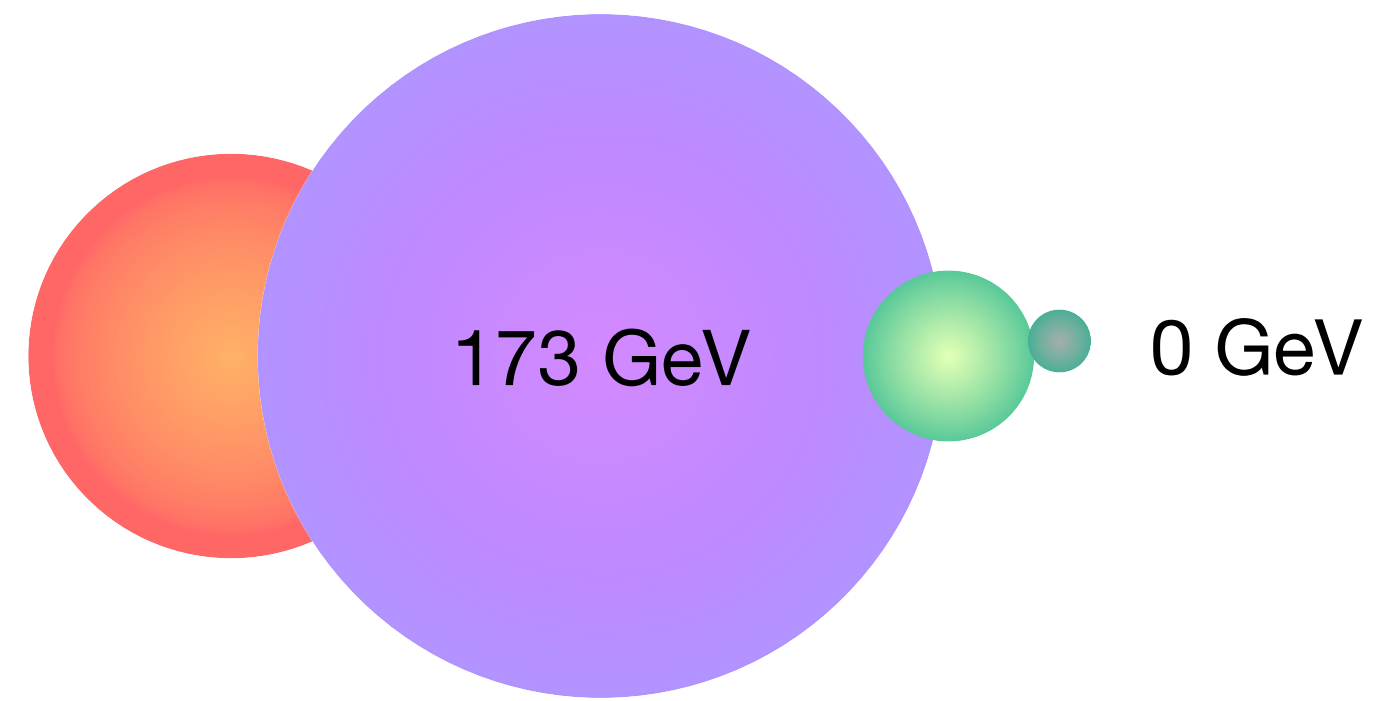


Nel MS $m_\nu = 0$.
Unica particella elementare **neutra**

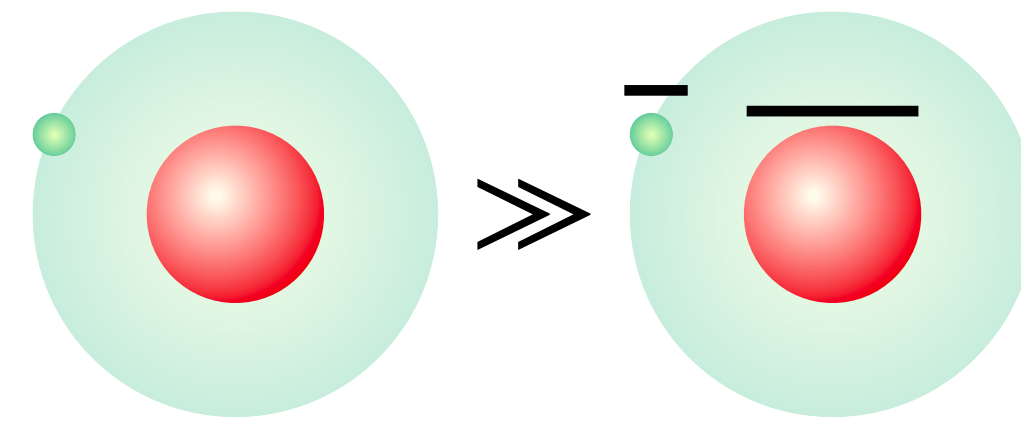


Non è chiaro se sia
l'**antiparticella di se stessa**

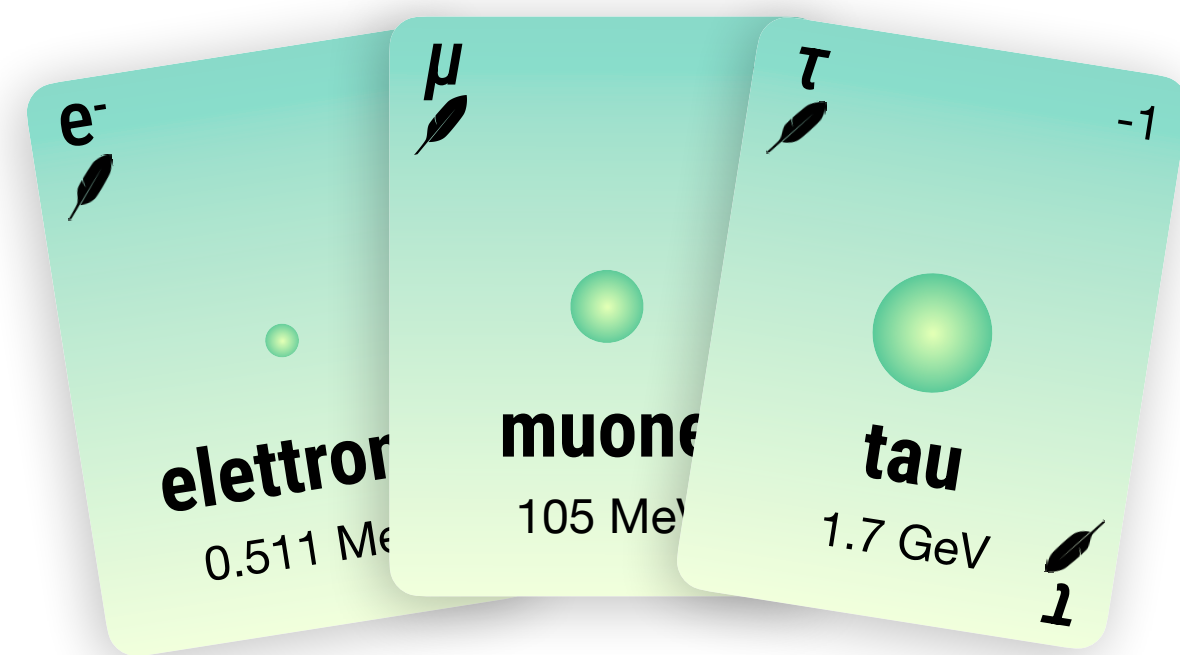
E altri problemi...



I valori delle masse sono **parametri liberi**



Asimmetria materia/**antimateria**



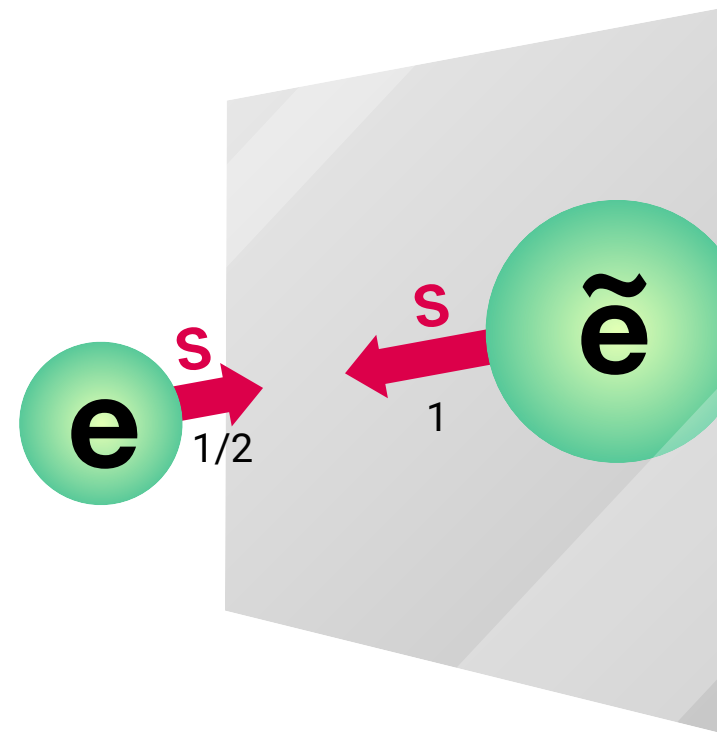
Perché ci sono tre **generazioni** di materia?



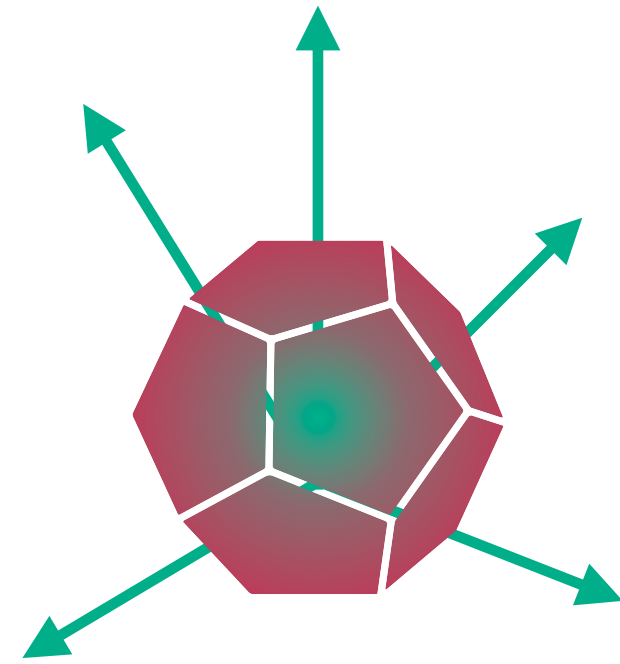
Higgs è elementare o **composito**?

E possibili soluzioni

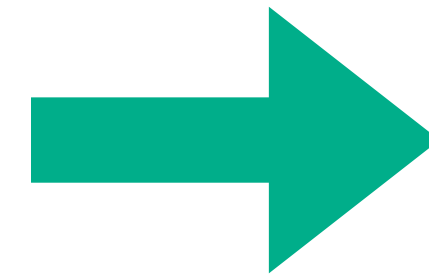
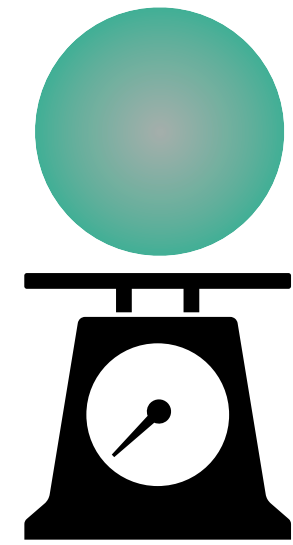
Supersimmetrie



Dimensioni extra



Neutrini pesanti



Nuovi modelli teorici

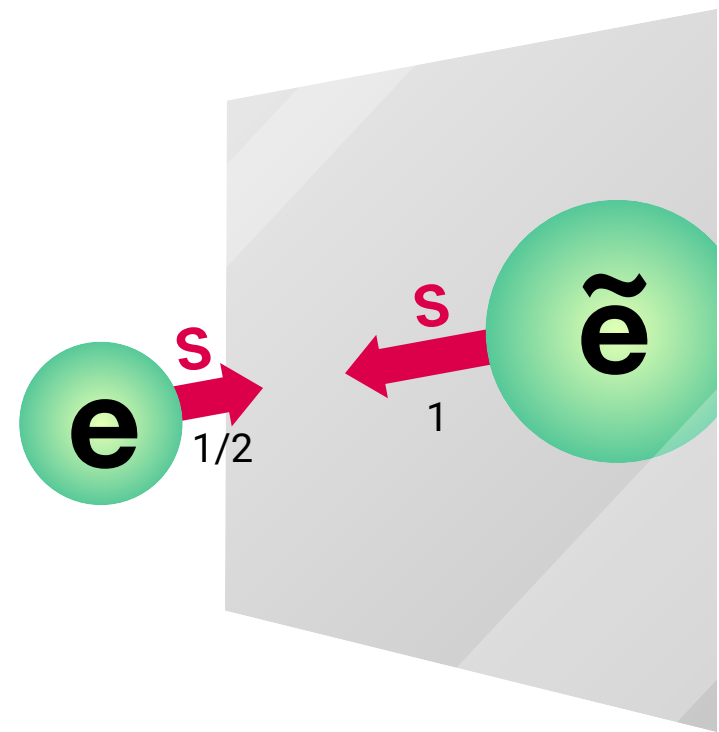


Nuove particelle

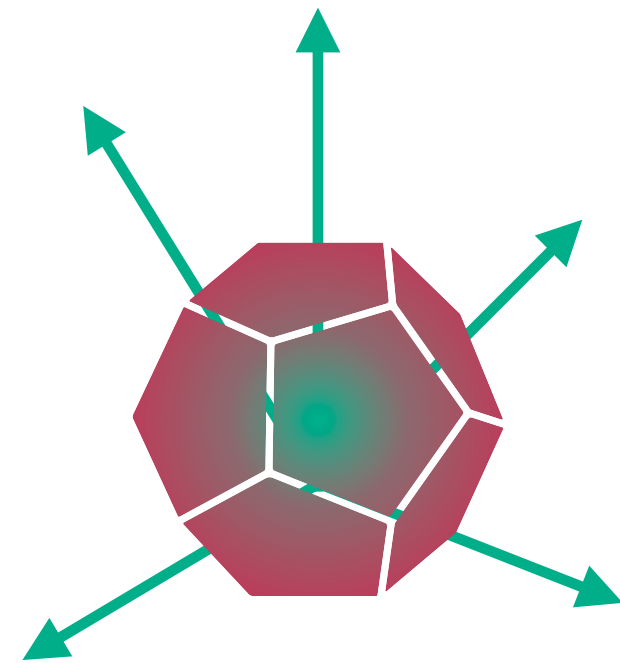


E possibili soluzioni

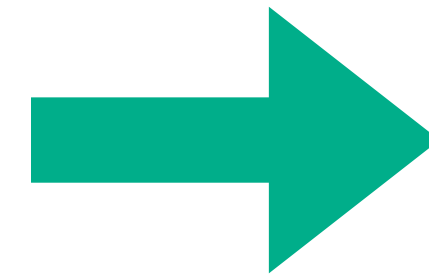
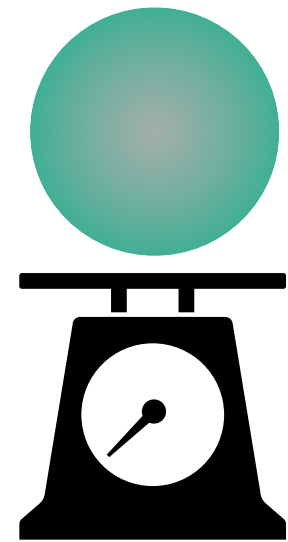
Supersimmetrie



Dimensioni extra



Neutrini pesanti



Nuovi modelli teorici

Nuove particelle

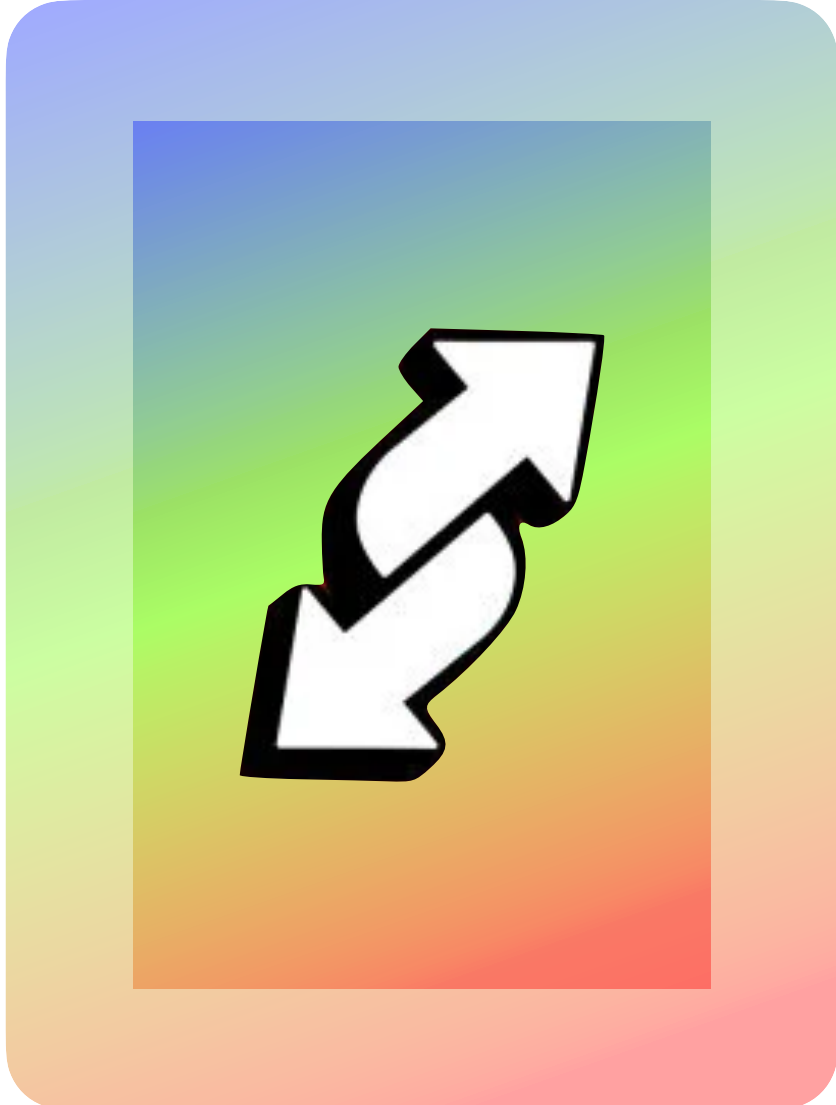
Il Modello standard potrebbe essere solo il **limite a "bassa" energia** di una teoria più completa



Ma se le carte sono mescolate... non sappiamo dove cercare!

**il MODELLO
STANDARD
È MORTO**

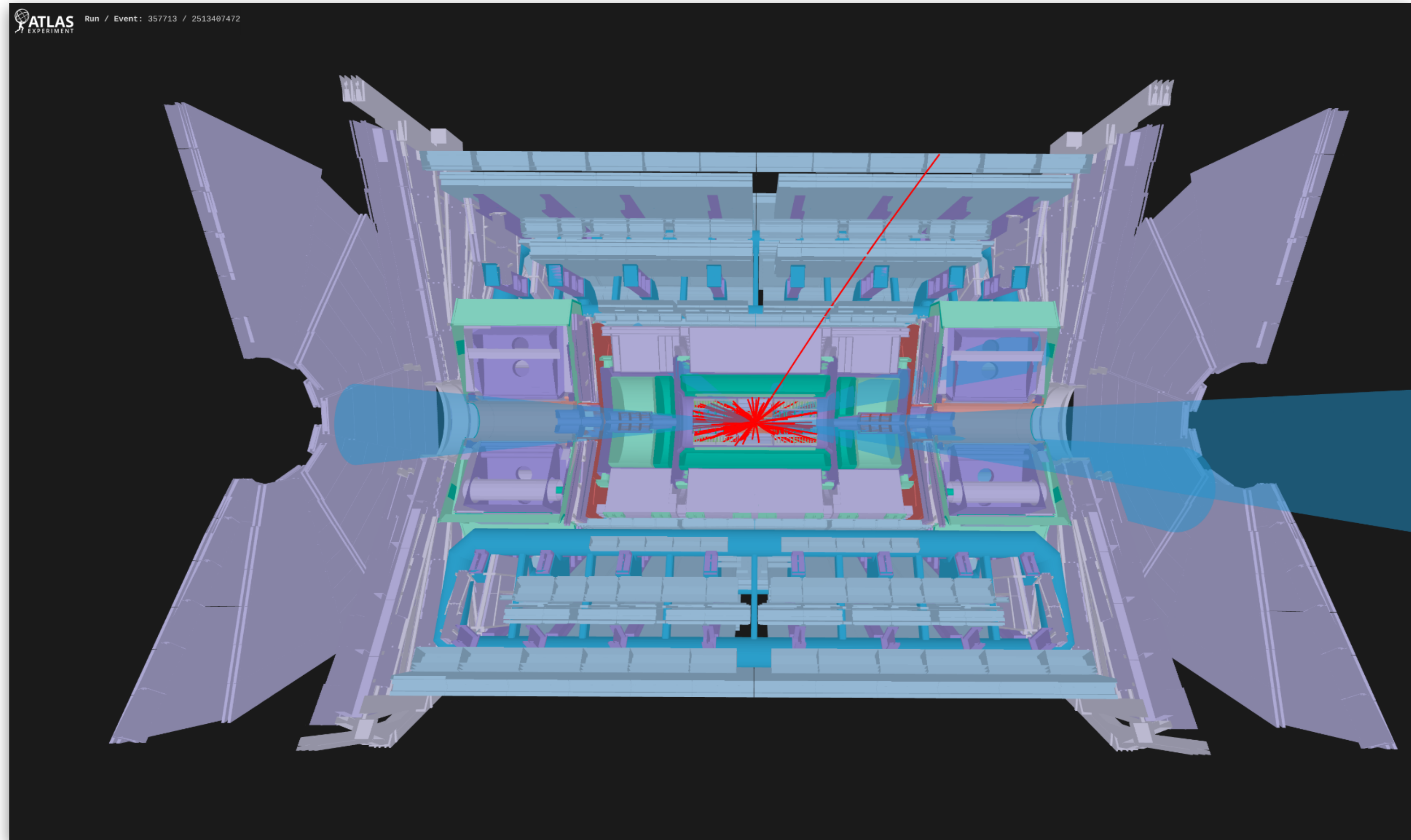
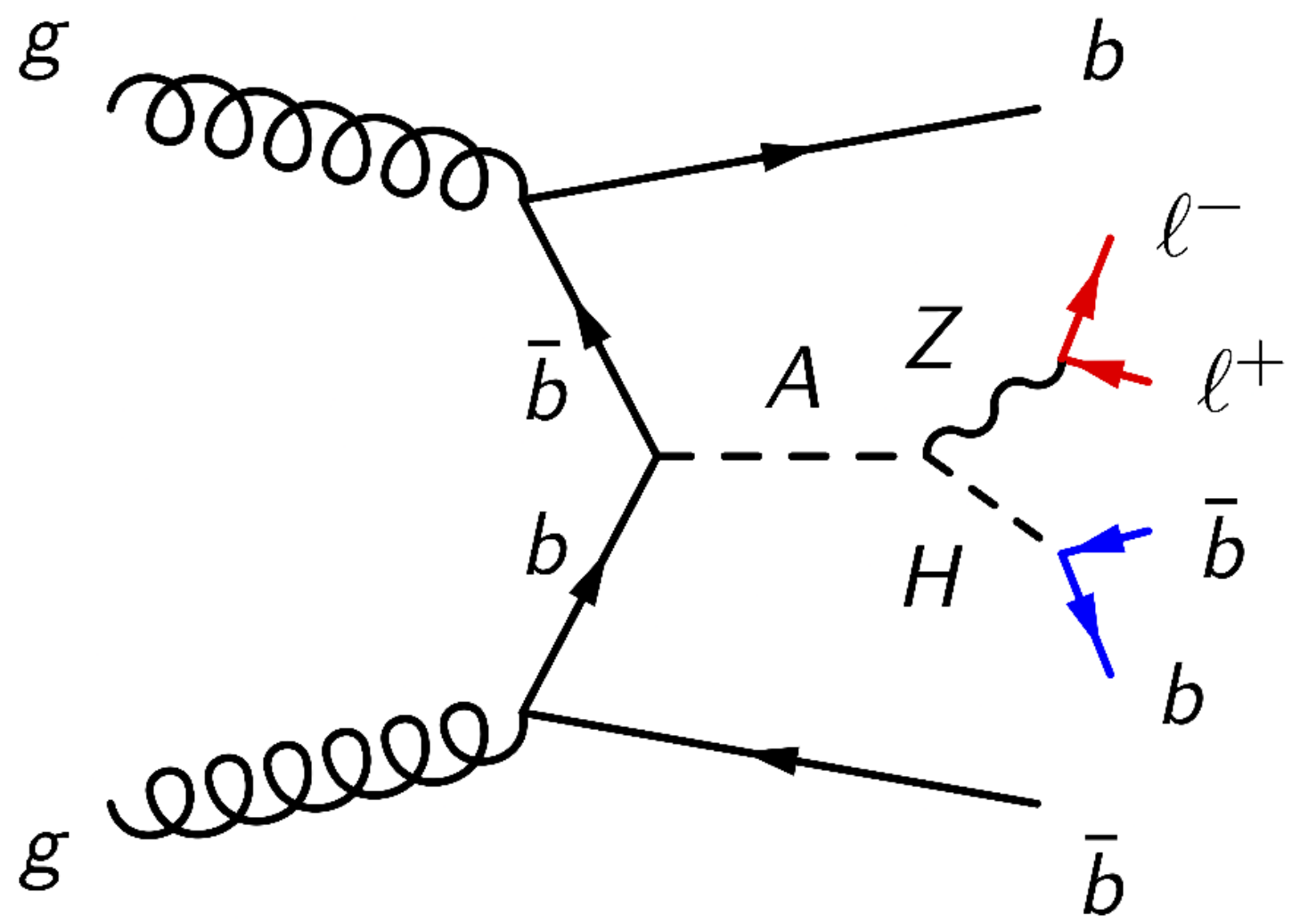
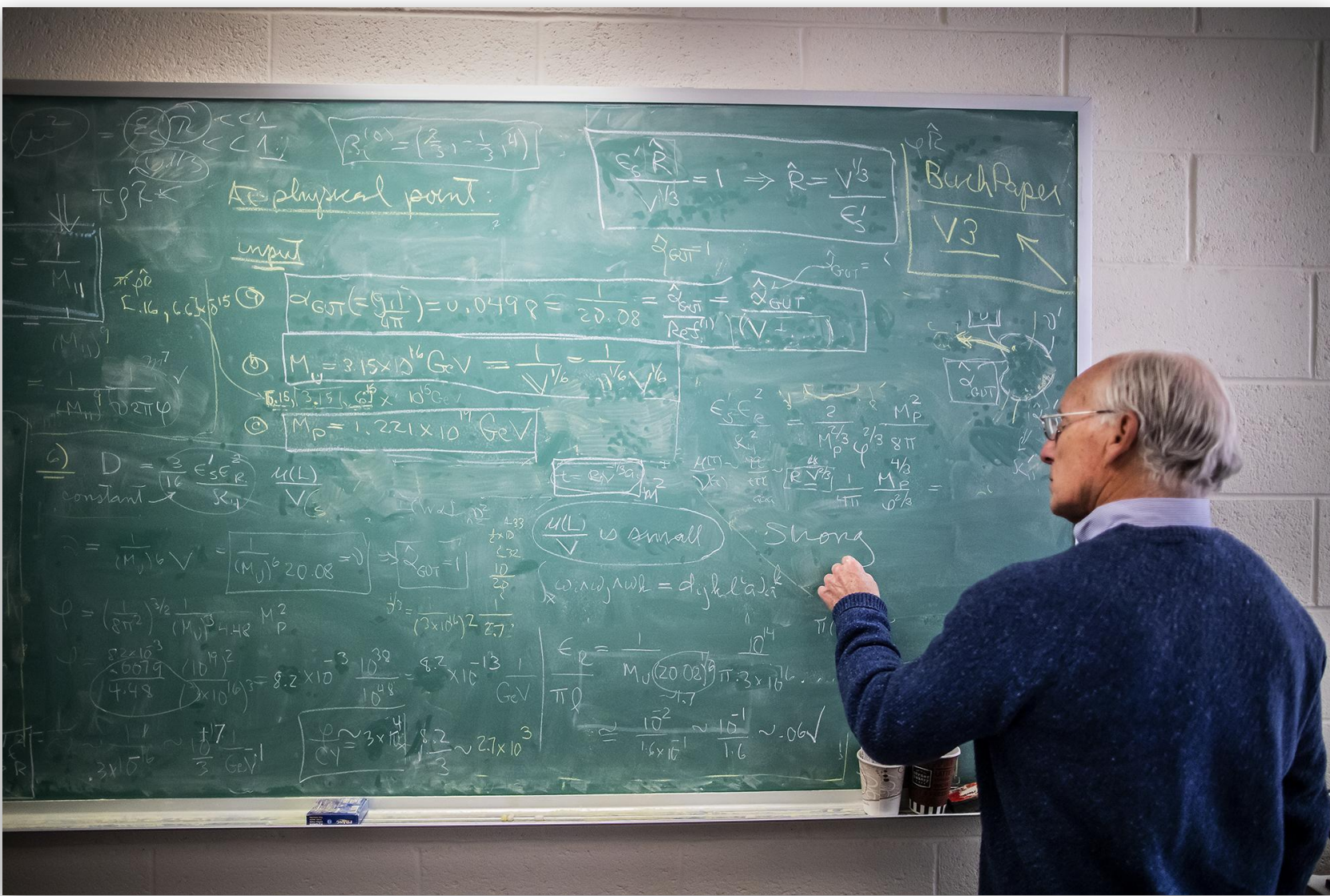




Ricerche dirette e indirette

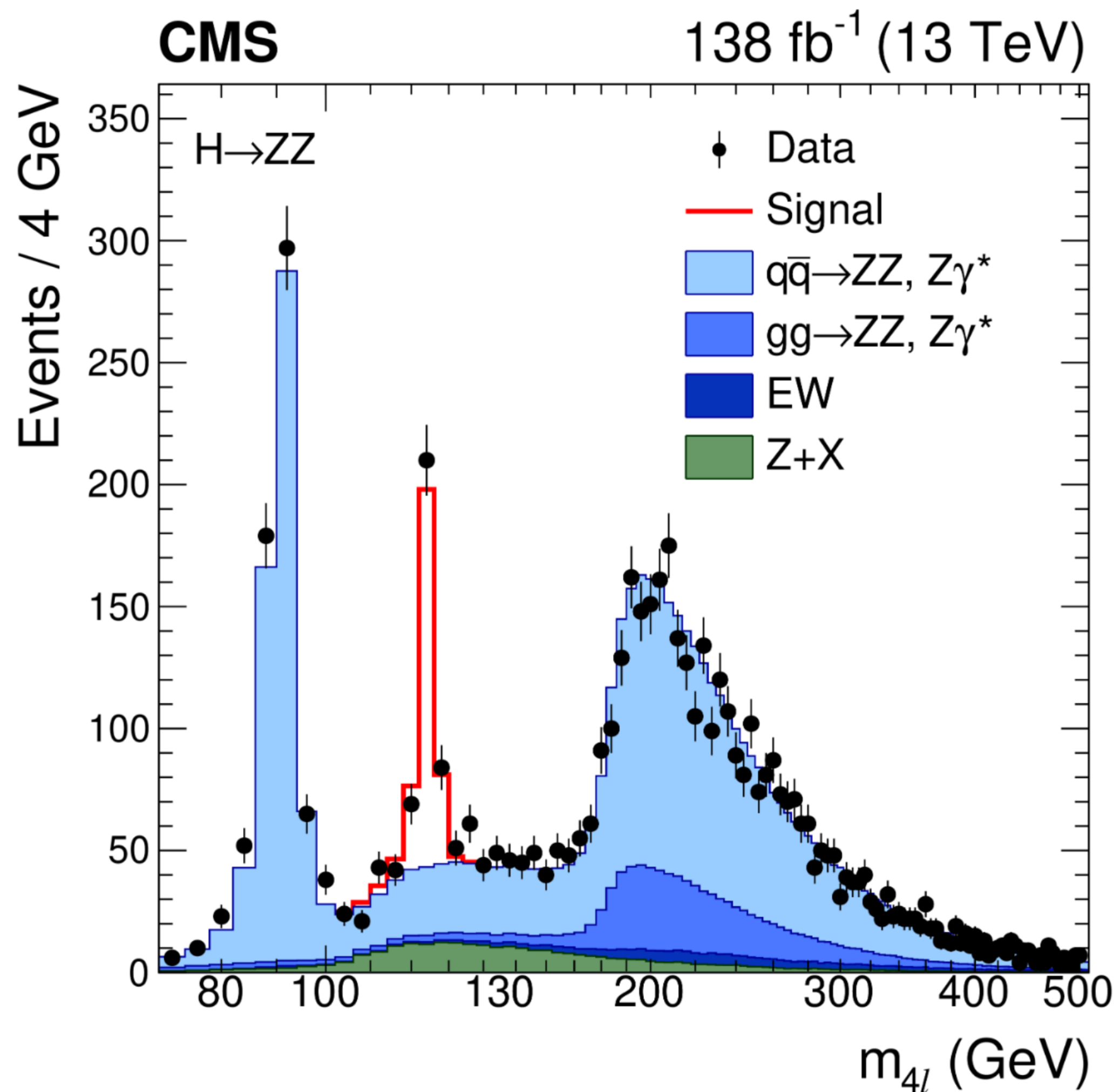


Ricerca diretta

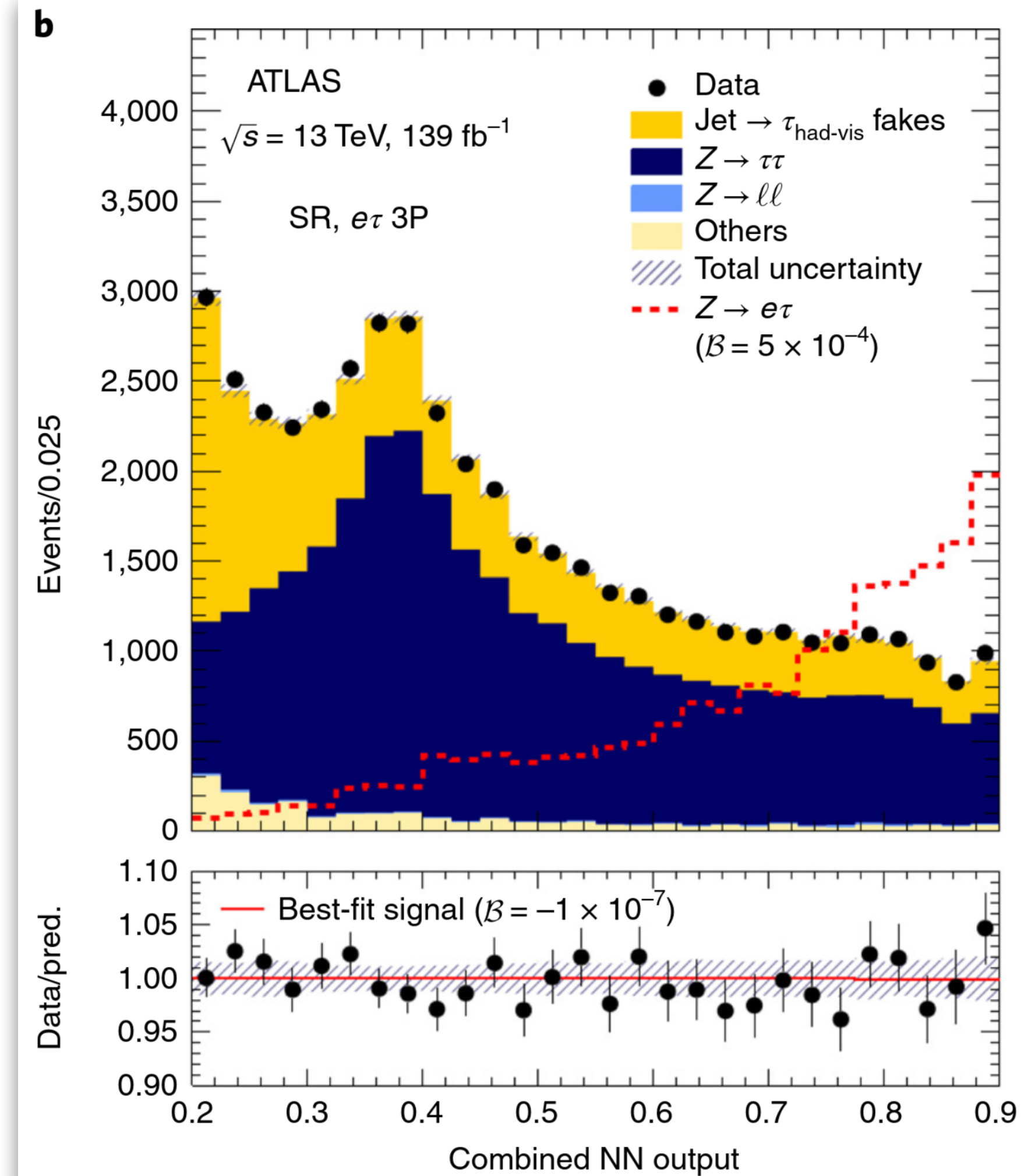


Ricerche dirette

Quando va bene



Quando va meno bene



ATLAS SUSY Searches* - 95% CL Lower Limits

July 2024

ATLAS Preliminary

$\sqrt{s} = 13$ TeV

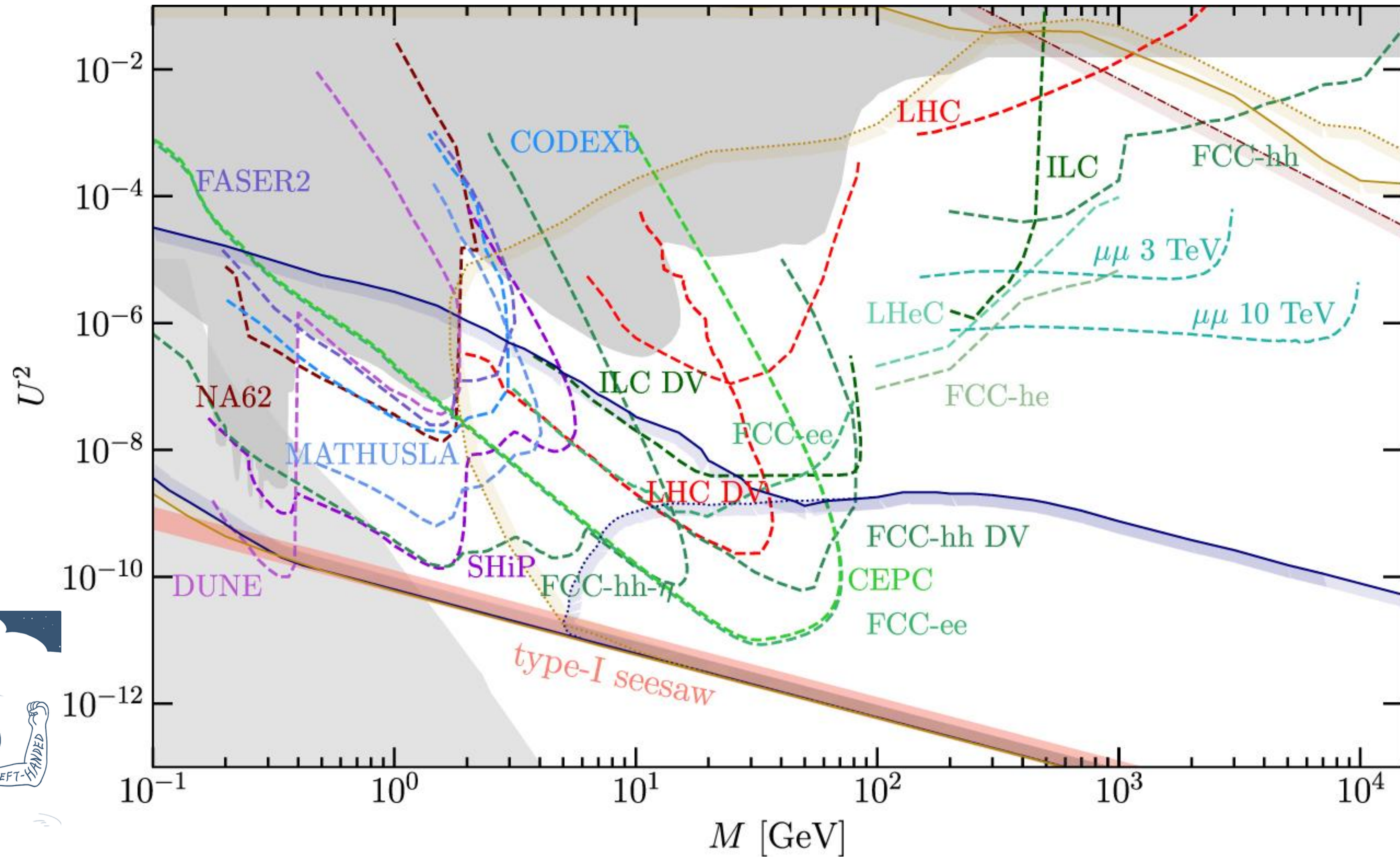
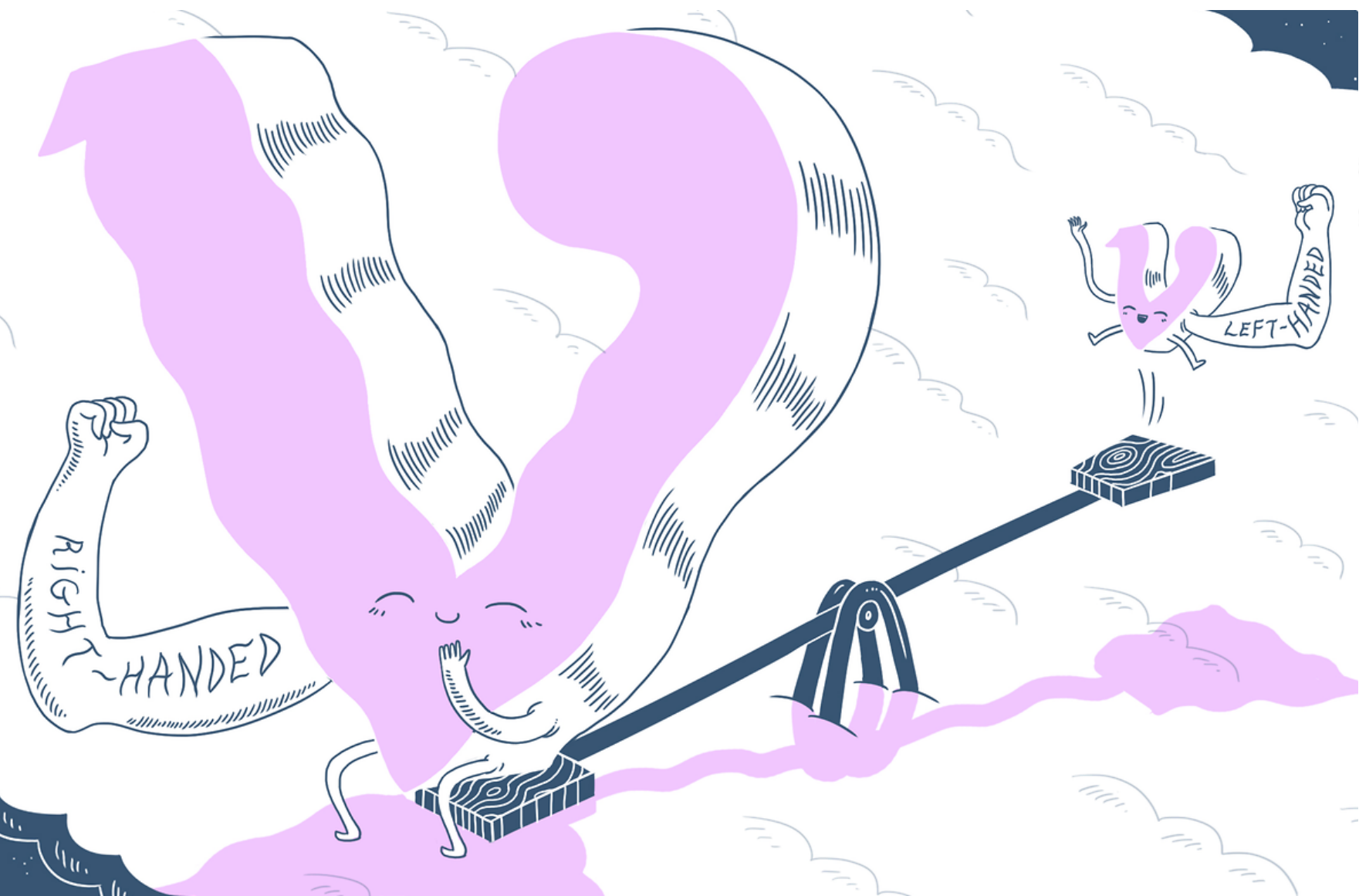
| Model | Signature | $\int \mathcal{L} dt$ [fb ⁻¹] | Mass limit | Reference | | | |
|--|---|---|--|------------------------------|---|---|--|
| Inclusive Searches | $\tilde{q}\tilde{q}, \tilde{q} \rightarrow q\tilde{\chi}_1^0$ | 0 e, μ mono-jet | 2-6 jets 1-3 jets E_T^{miss} | 140 140 | \tilde{q} [1x, 8x Degen.] 1.0 1.85 \tilde{q} [8x Degen.] 0.9 | $m(\tilde{\chi}_1^0) < 400$ GeV $m(\tilde{q}) - m(\tilde{\chi}_1^0) = 5$ GeV | 2010.14293 2102.10874 |
| | $\tilde{g}\tilde{g}, \tilde{g} \rightarrow q\tilde{q}\tilde{\chi}_1^0$ | 0 e, μ | 2-6 jets E_T^{miss} | 140 | \tilde{g} 2.3 \tilde{g} Forbidden 1.15-1.95 | $m(\tilde{\chi}_1^0) = 0$ GeV $m(\tilde{\chi}_1^0) = 1000$ GeV | 2010.14293 2010.14293 |
| | $\tilde{g}\tilde{g}, \tilde{g} \rightarrow q\tilde{q}W\tilde{\chi}_1^0$ | 1 e, μ | 2-6 jets | 140 | \tilde{g} 2.2 | $m(\tilde{\chi}_1^0) < 600$ GeV | 2101.01629 |
| | $\tilde{g}\tilde{g}, \tilde{g} \rightarrow q\tilde{q}(\ell\ell)\tilde{\chi}_1^0$ | $ee, \mu\mu$ | 2 jets E_T^{miss} | 140 | \tilde{g} 2.2 | $m(\tilde{\chi}_1^0) < 700$ GeV | 2204.13072 |
| | $\tilde{g}\tilde{g}, \tilde{g} \rightarrow q\tilde{q}WZ\tilde{\chi}_1^0$ | 0 e, μ | 7-11 jets E_T^{miss} | 140 | \tilde{g} 1.97 | $m(\tilde{\chi}_1^0) < 600$ GeV | 2008.06032 |
| | $\tilde{g}\tilde{g}, \tilde{g} \rightarrow q\tilde{q}WZ\tilde{\chi}_1^0$ | SS e, μ | 6 jets | 140 | \tilde{g} 1.15 | $m(\tilde{g}) - m(\tilde{\chi}_1^0) = 200$ GeV | 2307.01094 |
| | $\tilde{g}\tilde{g}, \tilde{g} \rightarrow t\tilde{t}\tilde{\chi}_1^0$ | 0-1 e, μ SS e, μ | 3 b 6 jets E_T^{miss} | 140 140 | \tilde{g} 2.45 \tilde{g} 1.25 | $m(\tilde{\chi}_1^0) < 500$ GeV $m(\tilde{g}) - m(\tilde{\chi}_1^0) = 300$ GeV | 2211.08028 1909.08457 |
| | 3 rd gen. squarks direct production | $\tilde{b}_1\tilde{b}_1$ | 0 e, μ | 2 b E_T^{miss} | 140 | \tilde{b}_1 1.255 \tilde{b}_1 0.68 | $m(\tilde{\chi}_1^0) < 400$ GeV 10 GeV $< \Delta m(\tilde{b}_1, \tilde{\chi}_1^0) < 20$ GeV |
| $\tilde{b}_1\tilde{b}_1, \tilde{b}_1 \rightarrow b\tilde{\chi}_2^0 \rightarrow bh\tilde{\chi}_1^0$ | | 0 e, μ 2 τ | 6 b 2 b E_T^{miss} | 140 140 | \tilde{b}_1 Forbidden 0.23-1.35 \tilde{b}_1 0.13-0.85 | $\Delta m(\tilde{\chi}_2^0, \tilde{\chi}_1^0) = 130$ GeV, $m(\tilde{\chi}_1^0) = 100$ GeV $\Delta m(\tilde{\chi}_2^0, \tilde{\chi}_1^0) = 130$ GeV, $m(\tilde{\chi}_1^0) = 0$ GeV | 1908.03122 2103.08189 |
| $\tilde{t}_1\tilde{t}_1, \tilde{t}_1 \rightarrow t\tilde{\chi}_1^0$ | | 0-1 e, μ | ≥ 1 jet E_T^{miss} | 140 | \tilde{t}_1 1.25 | $m(\tilde{\chi}_1^0) = 1$ GeV | 2004.14060, 2012.03799 |
| $\tilde{t}_1\tilde{t}_1, \tilde{t}_1 \rightarrow Wb\tilde{\chi}_1^0$ | | 1 e, μ | 3 jets/1 b E_T^{miss} | 140 | \tilde{t}_1 Forbidden 1.05 | $m(\tilde{\chi}_1^0) = 500$ GeV | 2012.03799, 2401.13430 |
| $\tilde{t}_1\tilde{t}_1, \tilde{t}_1 \rightarrow \tilde{\tau}_1 b\nu, \tilde{\tau}_1 \rightarrow \tau\tilde{G}$ | | 1-2 τ | 2 jets/1 b E_T^{miss} | 140 | \tilde{t}_1 Forbidden 1.4 | $m(\tilde{\tau}_1) = 800$ GeV | 2108.07665 |
| $\tilde{t}_1\tilde{t}_1, \tilde{t}_1 \rightarrow c\tilde{\chi}_1^0 / \tilde{c}\tilde{c}, \tilde{c} \rightarrow c\tilde{\chi}_1^0$ | | 0 e, μ 0 e, μ | 2 c mono-jet E_T^{miss} | 36.1 140 | \tilde{c} 0.85 \tilde{t}_1 0.55 | $m(\tilde{\chi}_1^0) = 0$ GeV $m(\tilde{t}_1, \tilde{c}) - m(\tilde{\chi}_1^0) = 5$ GeV | 1805.01649 2102.10874 |
| $\tilde{t}_1\tilde{t}_1, \tilde{t}_1 \rightarrow t\tilde{\chi}_2^0, \tilde{\chi}_2^0 \rightarrow Z/h\tilde{\chi}_1^0$ | | 1-2 e, μ | 1-4 b E_T^{miss} | 140 | \tilde{t}_1 0.067-1.18 | $m(\tilde{\chi}_2^0) = 500$ GeV | 2006.05880 |
| $\tilde{t}_2\tilde{t}_2, \tilde{t}_2 \rightarrow \tilde{t}_1 + Z$ | | 3 e, μ | 1 b E_T^{miss} | 140 | \tilde{t}_2 Forbidden 0.86 | $m(\tilde{\chi}_1^0) = 360$ GeV, $m(\tilde{t}_1) - m(\tilde{\chi}_1^0) = 40$ GeV | 2006.05880 |
| EW direct | $\tilde{\chi}_1^\pm \tilde{\chi}_2^0$ via WZ | Multiple ℓ /jets $ee, \mu\mu$ | ≥ 1 jet E_T^{miss} | 140 140 | $\tilde{\chi}_1^\pm / \tilde{\chi}_2^0$ 0.96 $\tilde{\chi}_1^\pm / \tilde{\chi}_2^0$ 0.205 | $m(\tilde{\chi}_1^\pm) = 0$, wino-bino $m(\tilde{\chi}_1^\pm) - m(\tilde{\chi}_1^0) = 5$ GeV, wino-bino | 2106.01676, 2108.07586 1911.12606 |
| | $\tilde{\chi}_1^\pm \tilde{\chi}_1^\mp$ via WW | 2 e, μ | E_T^{miss} | 140 | $\tilde{\chi}_1^\pm$ 0.42 | $m(\tilde{\chi}_1^\pm) = 0$, wino-bino | 1908.08215 |
| | $\tilde{\chi}_1^\pm \tilde{\chi}_2^0$ via Wh | Multiple ℓ /jets | E_T^{miss} | 140 | $\tilde{\chi}_1^\pm / \tilde{\chi}_2^0$ Forbidden 1.06 | $m(\tilde{\chi}_1^\pm) = 70$ GeV, wino-bino | 2004.10894, 2108.07586 |
| | $\tilde{\chi}_1^\pm \tilde{\chi}_1^\mp$ via $\tilde{\ell}_L/\tilde{\nu}$ | 2 e, μ | E_T^{miss} | 140 | $\tilde{\chi}_1^\pm$ 1.0 | $m(\tilde{\ell}, \tilde{\nu}) = 0.5(m(\tilde{\chi}_1^\pm) + m(\tilde{\chi}_1^0))$ | 1908.08215 |
| | $\tilde{\tau}\tilde{\tau}, \tilde{\tau} \rightarrow \tau\tilde{\chi}_1^0$ | 2 τ | E_T^{miss} | 140 | $\tilde{\tau}$ [$\tilde{\tau}_R \tilde{\tau}_R$] 0.35 0.5 | $m(\tilde{\chi}_1^0) = 0$ | 2402.00603 |
| | $\tilde{\ell}_{L,R} \tilde{\ell}_{L,R}, \tilde{\ell} \rightarrow \ell\tilde{\chi}_1^0$ | 2 e, μ $ee, \mu\mu$ | 0 jets ≥ 1 jet E_T^{miss} | 140 140 | $\tilde{\ell}$ 0.7 $\tilde{\ell}$ 0.26 | $m(\tilde{\chi}_1^0) = 0$ $m(\tilde{\ell}) - m(\tilde{\chi}_1^0) = 10$ GeV | 1908.08215 1911.12606 |
| | $\tilde{H}\tilde{H}, \tilde{H} \rightarrow h\tilde{G}/Z\tilde{G}$ | 0 e, μ 4 e, μ 0 e, μ 2 e, μ | ≥ 3 b 0 jets ≥ 2 large jets E_T^{miss} | 140 140 140 140 | \tilde{H} 0.94 \tilde{H} 0.55 \tilde{H} 0.45-0.93 \tilde{H} 0.77 | $\text{BR}(\tilde{\chi}_1^0 \rightarrow h\tilde{G}) = 1$ $\text{BR}(\tilde{\chi}_1^0 \rightarrow Z\tilde{G}) = 1$ $\text{BR}(\tilde{\chi}_1^0 \rightarrow Z\tilde{G}) = 1$ $\text{BR}(\tilde{\chi}_1^0 \rightarrow Z\tilde{G}) = \text{BR}(\tilde{\chi}_1^0 \rightarrow h\tilde{G}) = 0.5$ | 2401.14922 2103.11684 2108.07586 2204.13072 |
| | Long-lived particles | Direct $\tilde{\chi}_1^\pm \tilde{\chi}_1^\mp$ prod., long-lived $\tilde{\chi}_1^\pm$ | Disapp. trk | 1 jet E_T^{miss} | 140 | $\tilde{\chi}_1^\pm$ 0.66 $\tilde{\chi}_1^\pm$ 0.21 | Pure Wino Pure higgsino |
| Stable \tilde{g} R-hadron | | pixel dE/dx | E_T^{miss} | 140 | \tilde{g} 2.05 | | 2205.06013 |
| Metastable \tilde{g} R-hadron, $\tilde{g} \rightarrow q\tilde{q}\tilde{\chi}_1^0$ | | pixel dE/dx | E_T^{miss} | 140 | \tilde{g} [$\tau(\tilde{g}) = 10$ ns] 2.2 | $m(\tilde{\chi}_1^0) = 100$ GeV | 2205.06013 |
| $\tilde{\ell}\tilde{\ell}, \tilde{\ell} \rightarrow \ell\tilde{G}$ | | Displ. lep pixel dE/dx | E_T^{miss} E_T^{miss} | 140 140 | $\tilde{\ell}, \tilde{\mu}$ 0.74 $\tilde{\tau}$ 0.36 $\tilde{\tau}$ 0.36 | $\tau(\tilde{\ell}) = 0.1$ ns $\tau(\tilde{\ell}) = 0.1$ ns $\tau(\tilde{\ell}) = 10$ ns | ATLAS-CONF-2024-011 ATLAS-CONF-2024-011 2205.06013 |
| RPV | $\tilde{\chi}_1^\pm \tilde{\chi}_1^\mp / \tilde{\chi}_1^0, \tilde{\chi}_1^\pm \rightarrow Z\ell \rightarrow \ell\ell\ell$ | 3 e, μ | E_T^{miss} | 140 | $\tilde{\chi}_1^\pm / \tilde{\chi}_1^0$ [BR(Z τ)=1, BR(Z e)=1] 0.625 1.05 | Pure Wino | 2011.10543 |
| | $\tilde{\chi}_1^\pm \tilde{\chi}_1^\mp / \tilde{\chi}_2^0 \rightarrow WW/Z\ell\ell\nu\nu$ | 4 e, μ | 0 jets E_T^{miss} | 140 | $\tilde{\chi}_1^\pm / \tilde{\chi}_2^0$ [$\lambda_{133} \neq 0, \lambda_{12k} \neq 0$] 0.95 1.55 | $m(\tilde{\chi}_1^0) = 200$ GeV | 2103.11684 |
| | $\tilde{g}\tilde{g}, \tilde{g} \rightarrow q\tilde{q}\tilde{\chi}_1^0, \tilde{\chi}_1^0 \rightarrow q\tilde{q}\tilde{\chi}_1^0$ | ≥ 8 jets | E_T^{miss} | 140 | \tilde{g} [$m(\tilde{\chi}_1^0) = 50$ GeV, 1250 GeV] 1.6 2.34 | Large λ'_{112} | 2401.16333 |
| | $\tilde{u}\tilde{u}, \tilde{u} \rightarrow t\tilde{\chi}_1^0, \tilde{\chi}_1^0 \rightarrow tbs$ | Multiple | E_T^{miss} | 36.1 | \tilde{u} [$\lambda'_{333} = 2e-4, 1e-2$] 0.55 1.05 | $m(\tilde{\chi}_1^0) = 200$ GeV, bino-like | ATLAS-CONF-2018-003 |
| | $\tilde{u}\tilde{u}, \tilde{u} \rightarrow b\tilde{\chi}_1^\pm, \tilde{\chi}_1^\pm \rightarrow bbs$ | $\geq 4b$ | E_T^{miss} | 140 | \tilde{u} Forbidden 0.95 | $m(\tilde{\chi}_1^\pm) = 500$ GeV | 2010.01015 |
| | $\tilde{t}_1\tilde{t}_1, \tilde{t}_1 \rightarrow bs$ | 2 jets + 2 b | E_T^{miss} | 36.7 | \tilde{t}_1 [qq, bs] 0.42 0.61 | | 1710.07171 |
| | $\tilde{t}_1\tilde{t}_1, \tilde{t}_1 \rightarrow q\ell$ | 2 e, μ 1 μ | 2 b DV | 140 136 | \tilde{t}_1 1.0 0.4-1.85 \tilde{t}_1 [1e-10 < $\lambda'_{23k} < 1e-8, 3e-10 < \lambda'_{23k} < 3e-9$] 1.0 1.6 | $\text{BR}(\tilde{t}_1 \rightarrow b\ell/b\mu) > 20\%$ $\text{BR}(\tilde{t}_1 \rightarrow q\mu) = 100\%, \cos\theta_i = 1$ | 2406.18367 2003.11956 |
| $\tilde{\chi}_1^\pm / \tilde{\chi}_2^0 / \tilde{\chi}_1^0, \tilde{\chi}_{1,2}^0 \rightarrow tbs, \tilde{\chi}_1^\pm \rightarrow bbs$ | 1-2 e, μ | ≥ 6 jets E_T^{miss} | 140 | $\tilde{\chi}_1^0$ 0.2-0.32 | Pure higgsino | 2106.09609 | |

10⁻¹ 1 Mass scale [TeV]

*Only a selection of the available mass limits on new states or phenomena is shown. Many of the limits are based on simplified models, c.f. refs. for the assumptions made.

Esempi di analisi fatte in ATLAS per ricerca di supersimmetrie

Limiti sull'angolo di mixing di un possibile neutrino di Majorana con il corrispondente neutrino presente nel modello standard, per diverse possibili masse



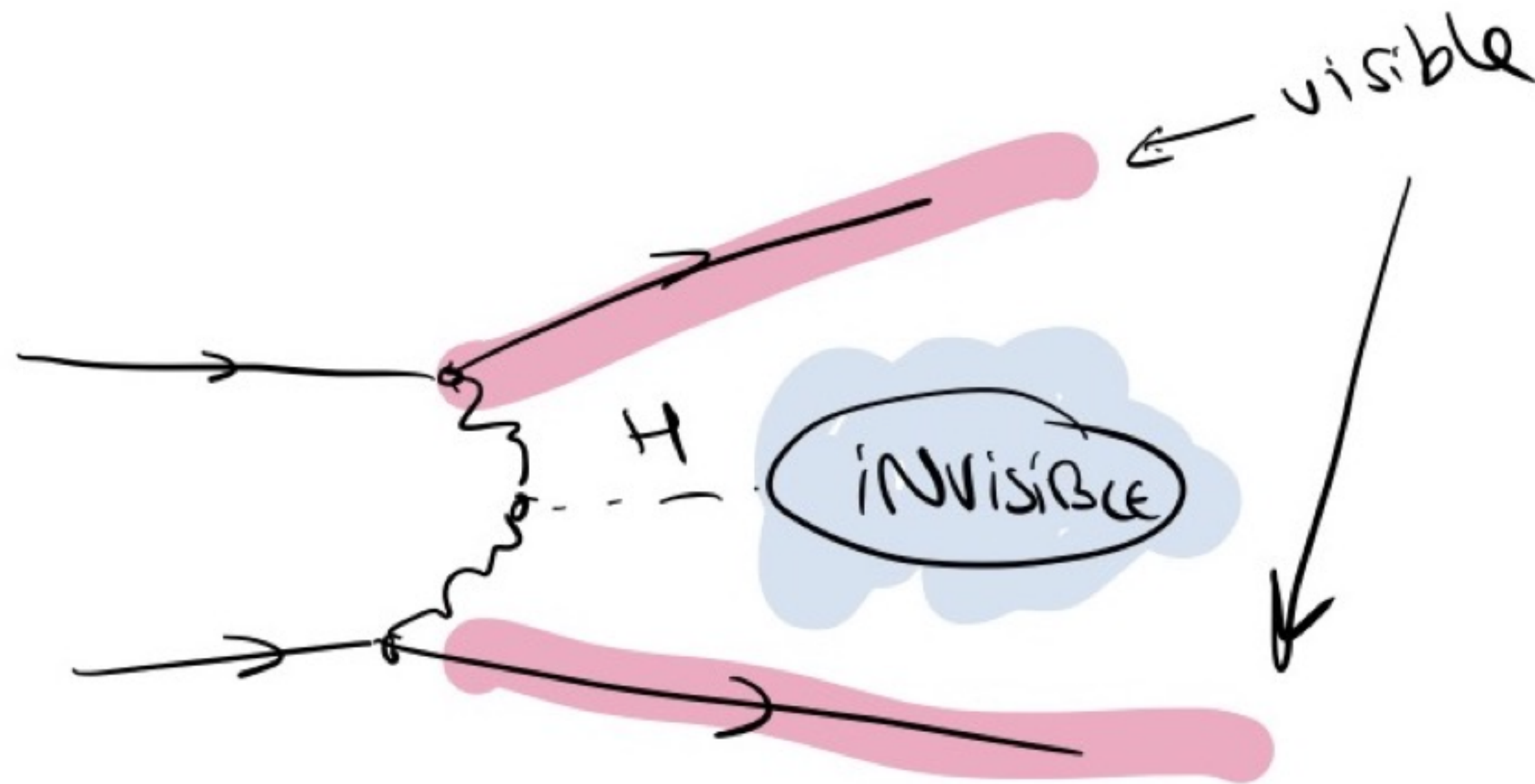
EXECUTIVE SUMMARY

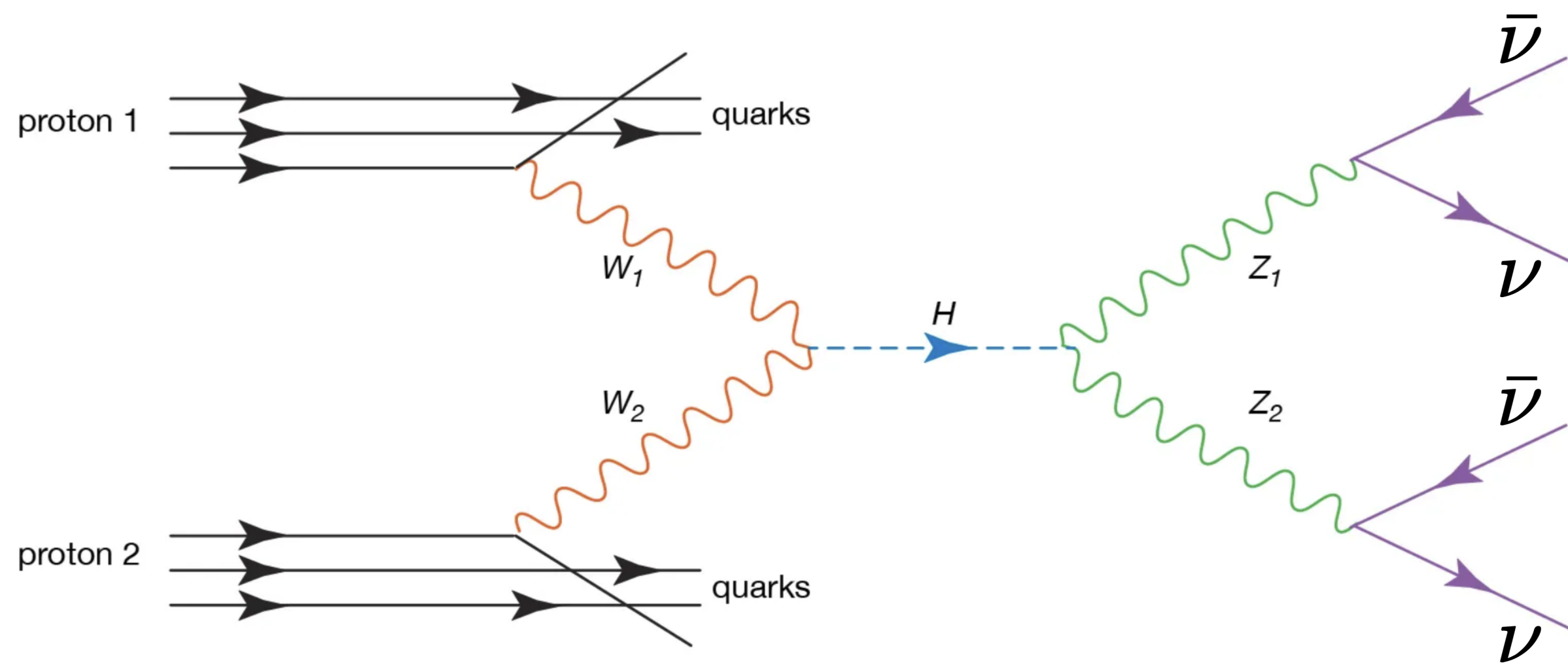
We haven't found Supersymmetry

We haven't found Dark Matter either

Let me elaborate on that...

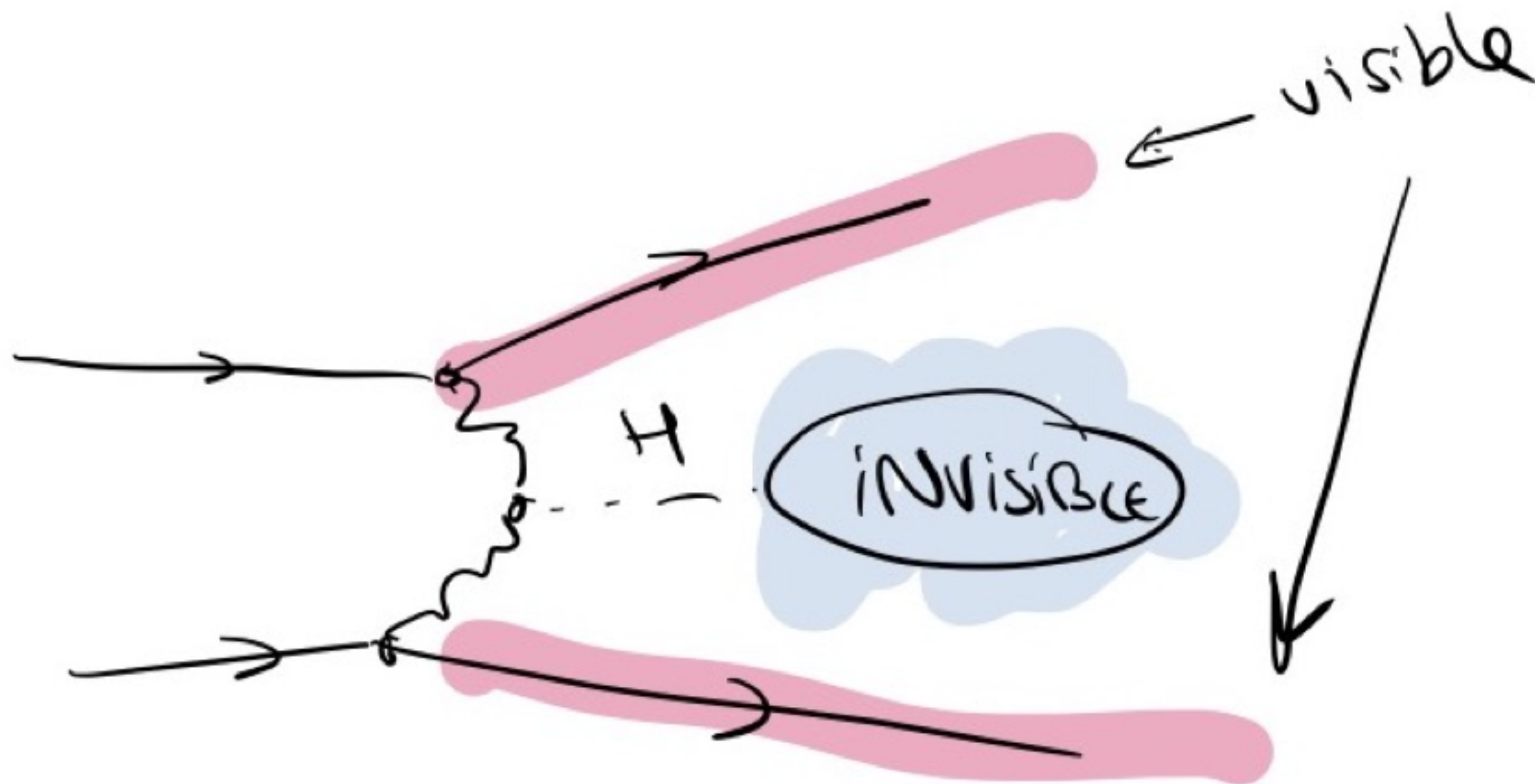
Ricerche indirette





Percentuale di decadimenti prevista dal MS: $\sim 0.12\%$

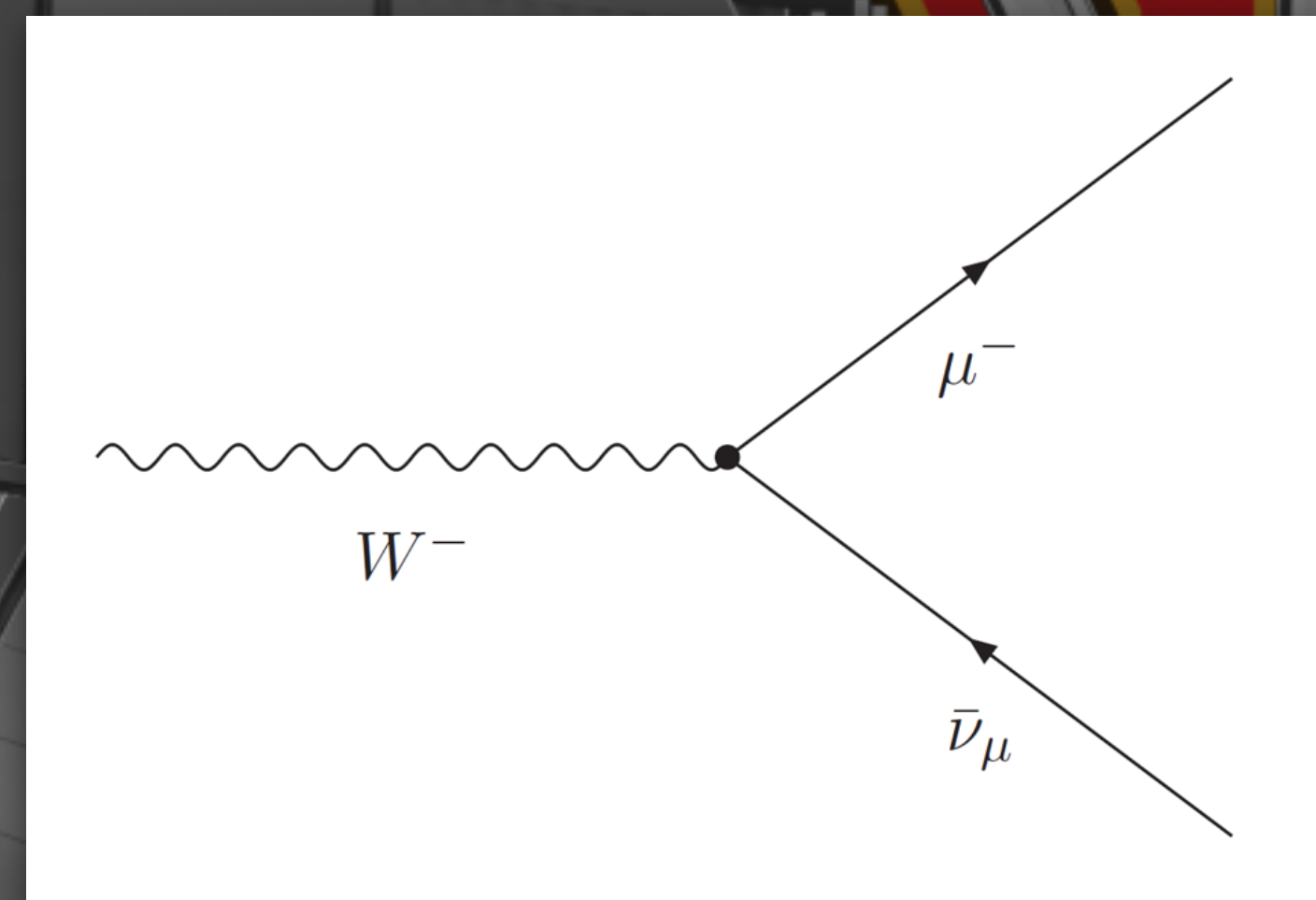
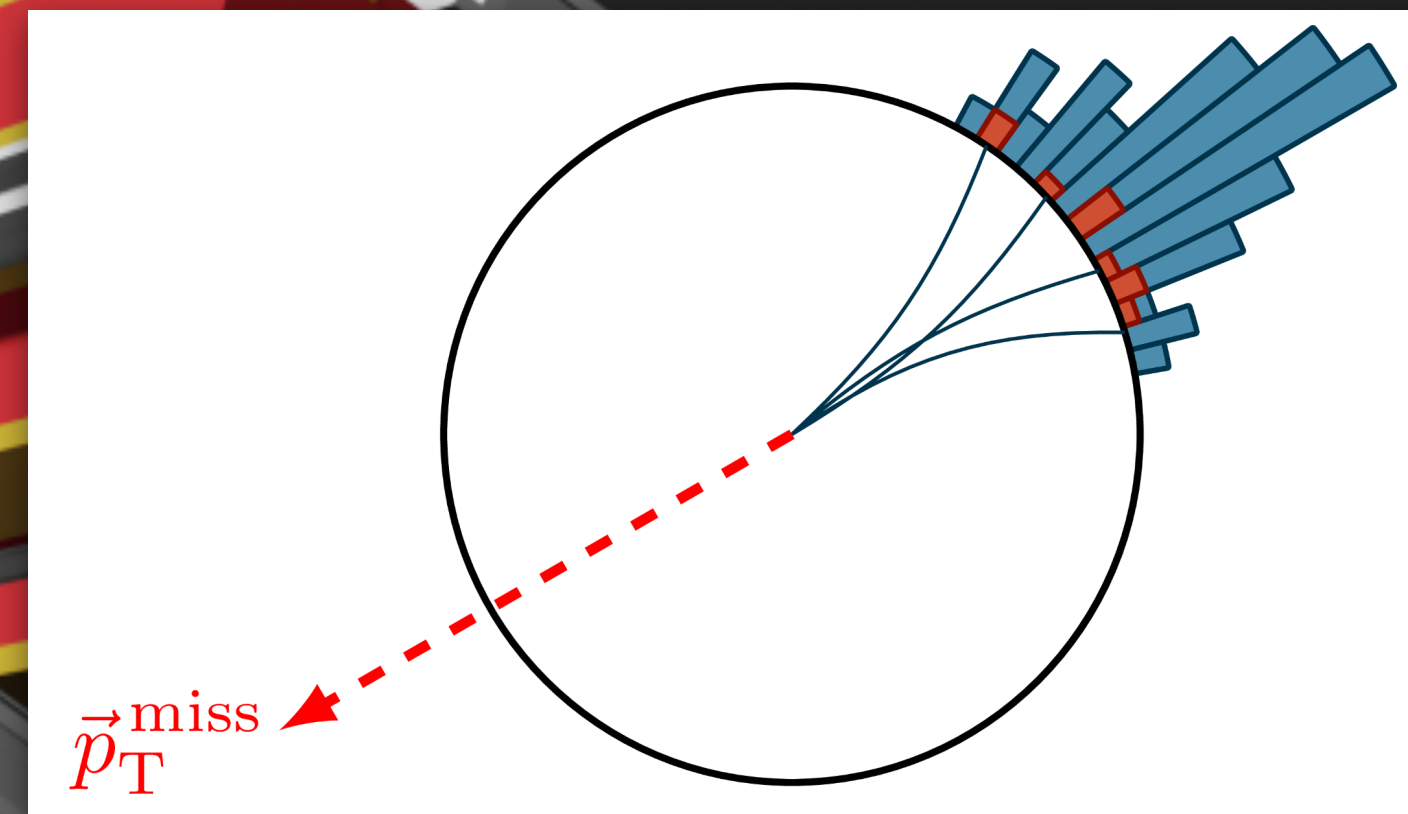
$$H \rightarrow ZZ^* \rightarrow \nu\bar{\nu}\nu\bar{\nu}$$



Ricerche indirette

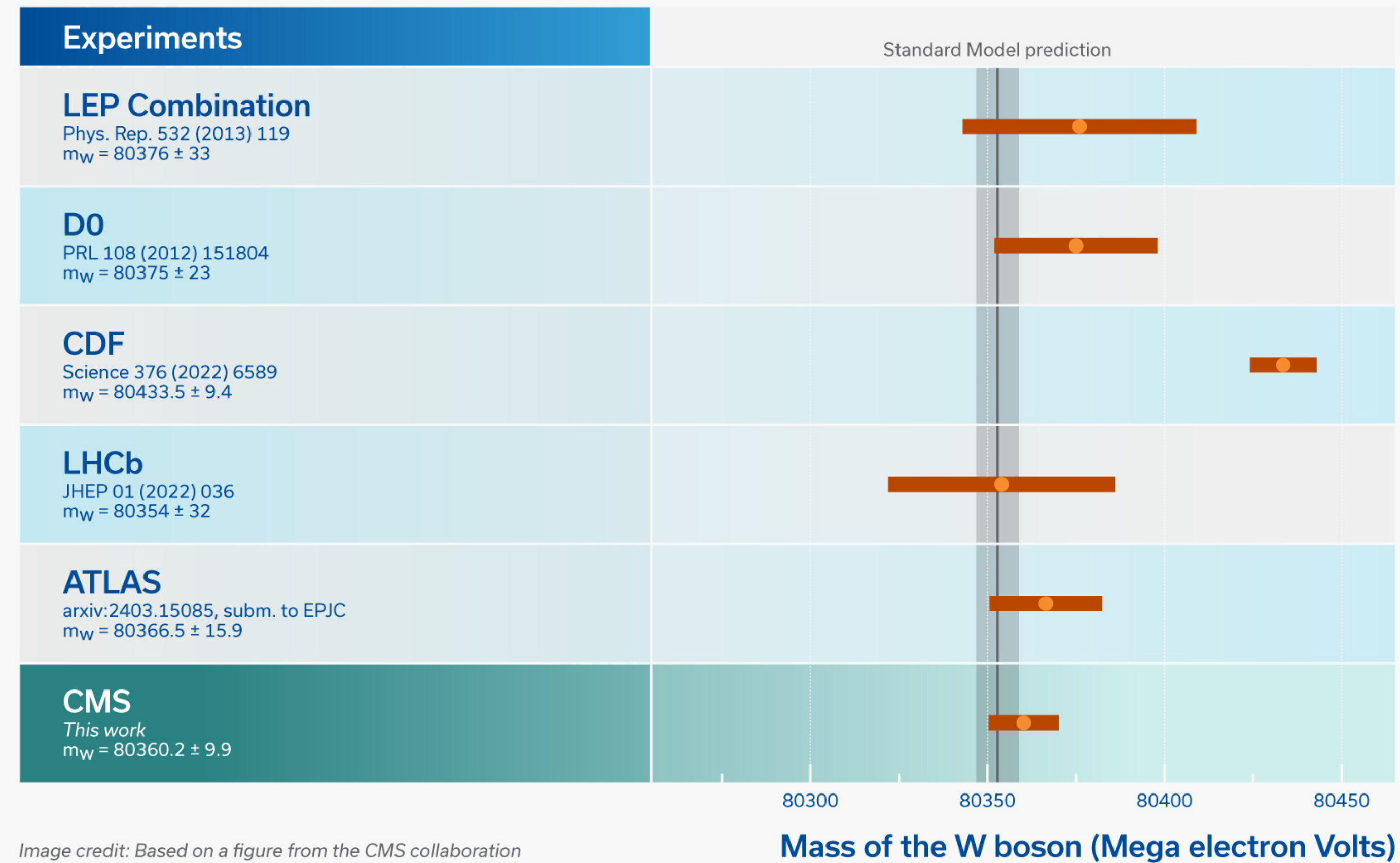


Massa del bosone W



Massa del bosone W

Comparison of W boson mass measurements



[nature](#) > [news](#) > article

NEWS | 17 September 2024

‘The standard model is not dead’: ultra-precise particle measurement thrills physicists

CERN’s calculation of the W boson’s mass agrees with theory, contradicting a previous anomaly that had raised the possibility of new physics.

By [Elizabeth Gibney](#)



VIVA
il MODELLO
STANDARD!



Il momento magnetico anomalo del muone

$$\vec{\mu} = g \frac{Qe}{2m_\mu} \frac{\vec{\sigma}}{2}$$

Momento magnetico
associato allo **spin**
di una particella

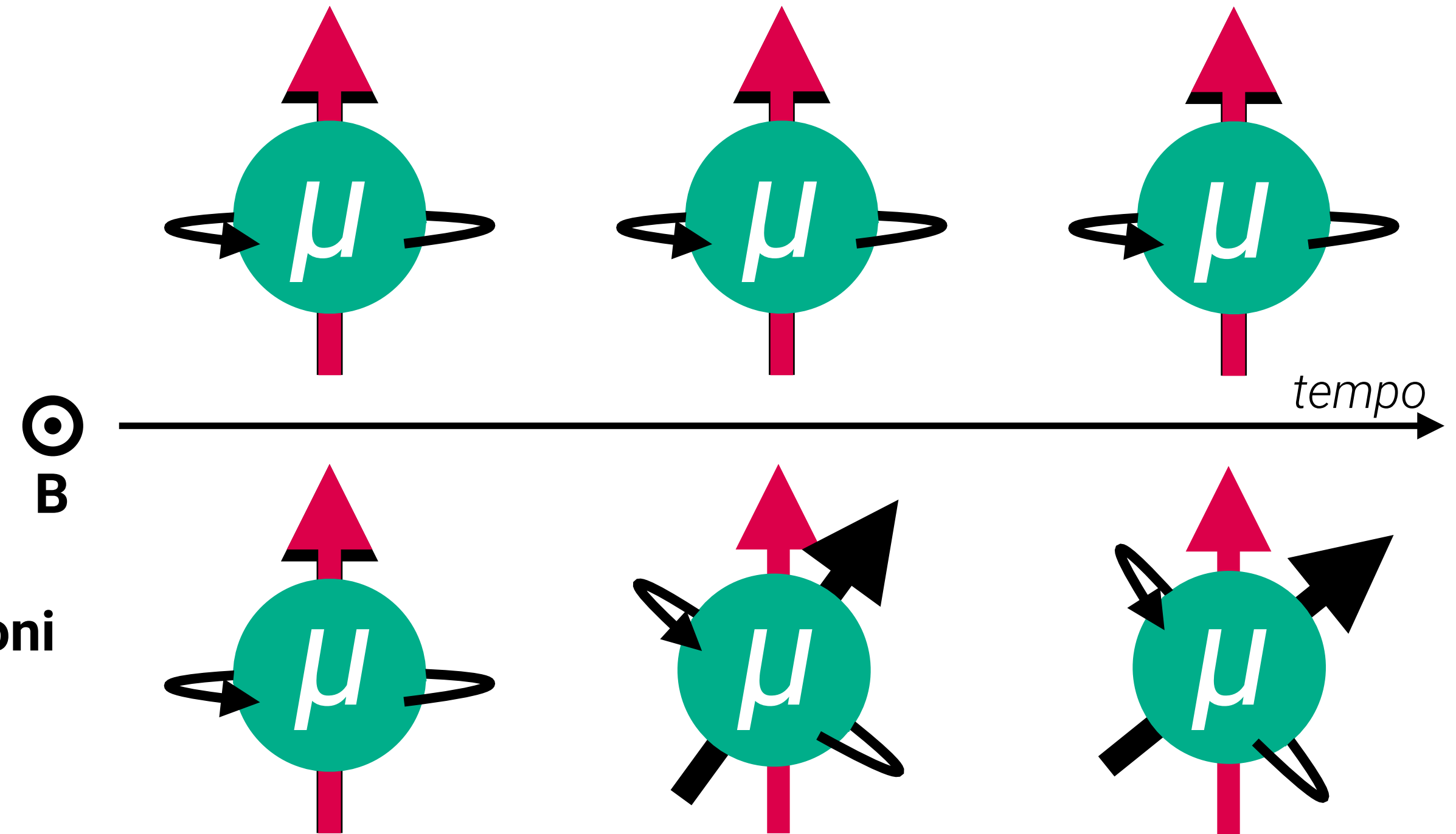
$$a_\mu = \frac{(g - 2)_\mu}{2} \neq 0$$



Dirac
g=2



Correzioni
g!≠2



$$a_\mu (\text{exp}) = 116\,592\,059(22) \times 10^{-11}$$

Ma perché $a_\mu \neq 0$?

Muone + Campo Magnetico

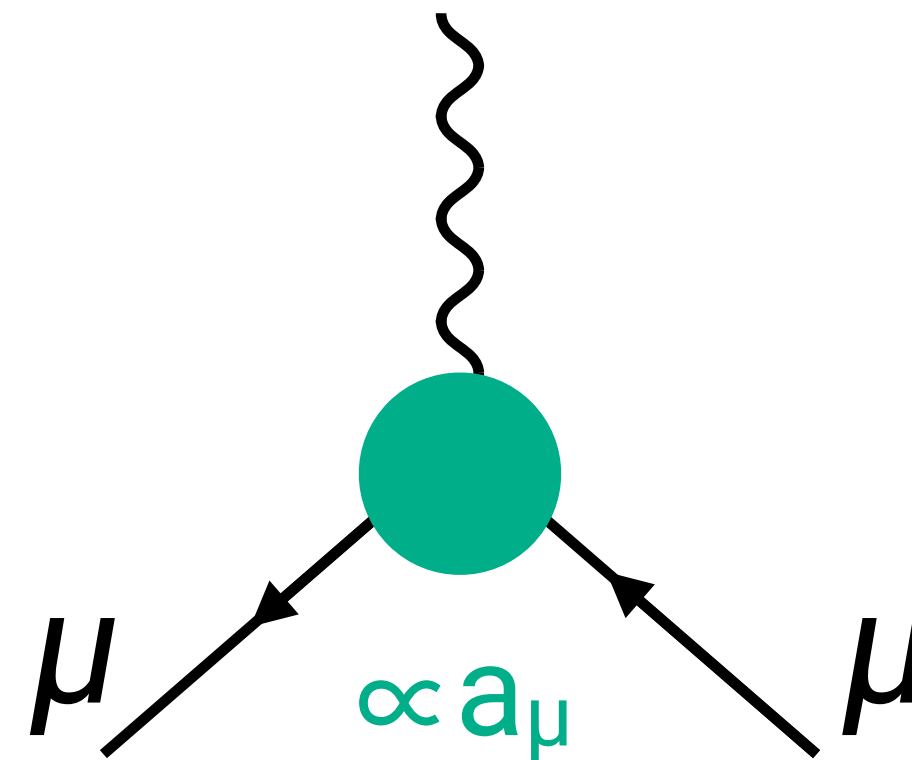


Lagrangiana

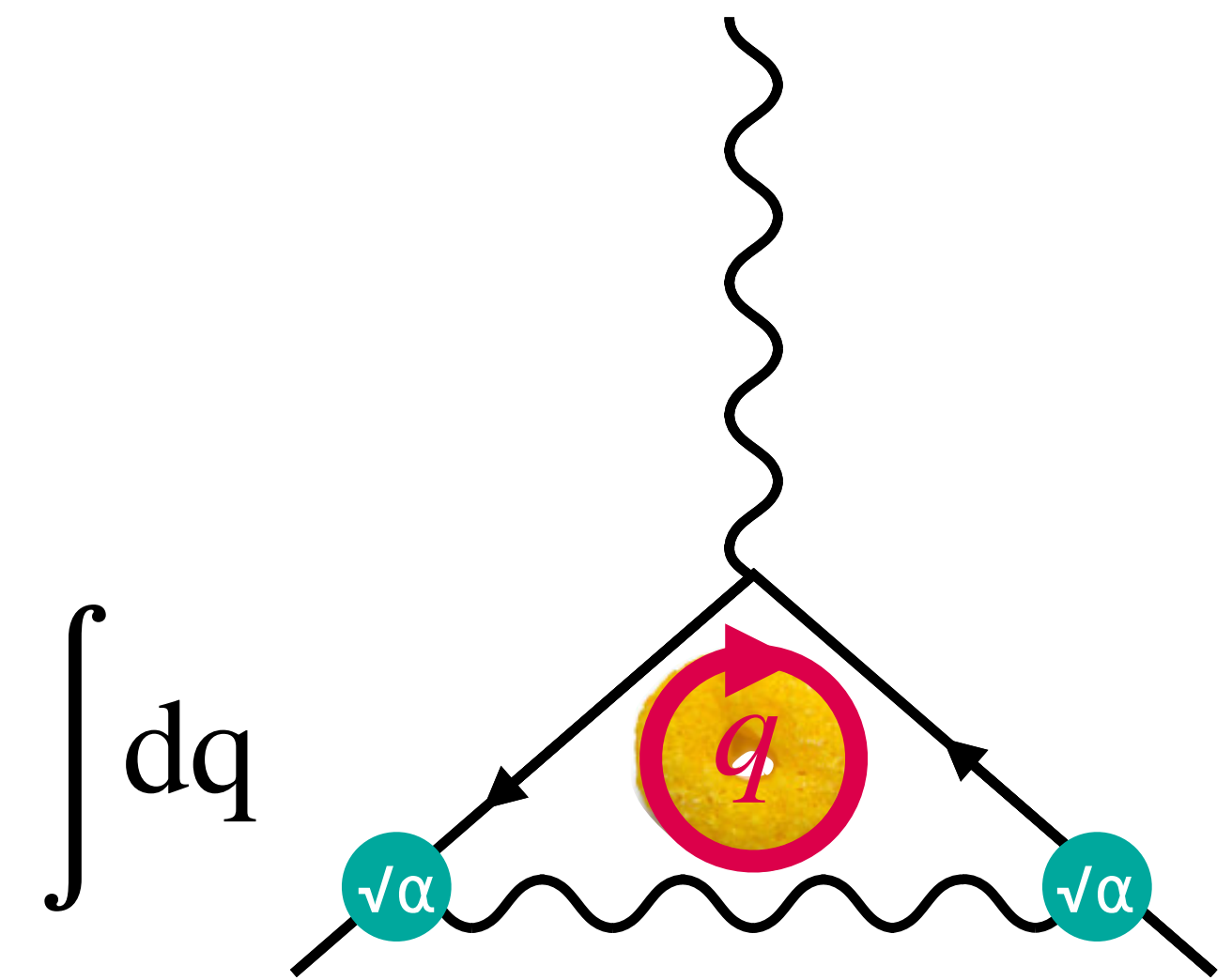
una funzione che descrive le proprietà della teoria

$$\mathcal{L} = -\frac{1}{4}F_{\mu\nu}F^{\mu\nu} - ej_\mu A^\mu + \bar{\psi}(\gamma^\mu \partial_\mu - m)\psi$$

Fattore di Forma
elettromagnetico



Diagrammi di Feynman
per rappresentare le interazioni



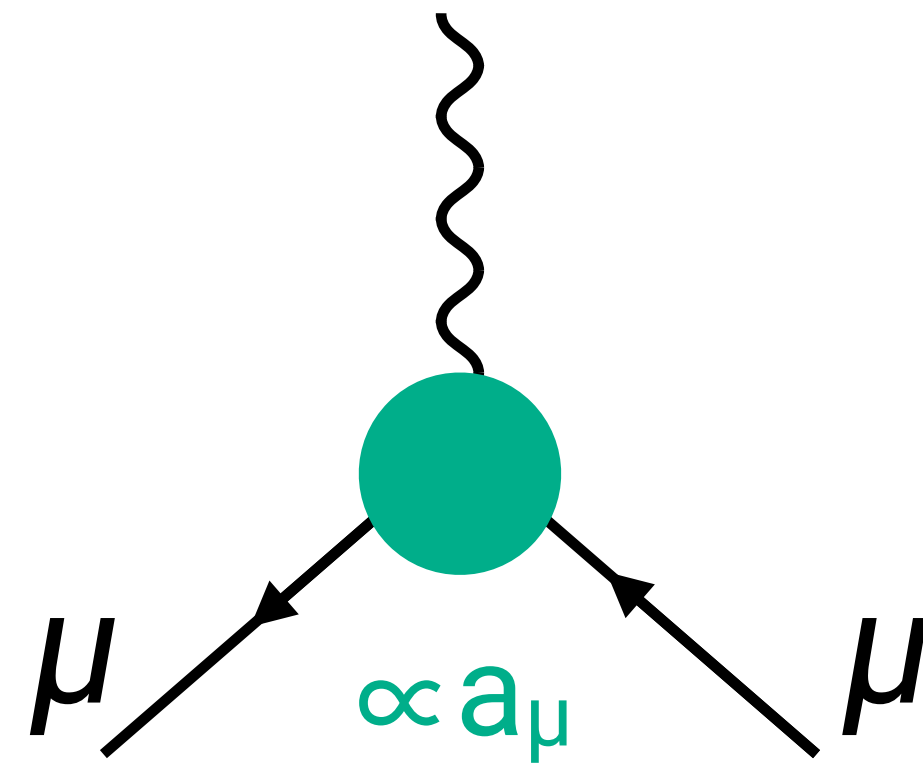
Loop

ogni volta che ho una linea chiusa devo integrare su tutti i possibili valori del momento

Ma perché $a_\mu \neq 0$?



Non è una teoria esatta
I conti possono essere espansi in
una "Serie di Taylor"



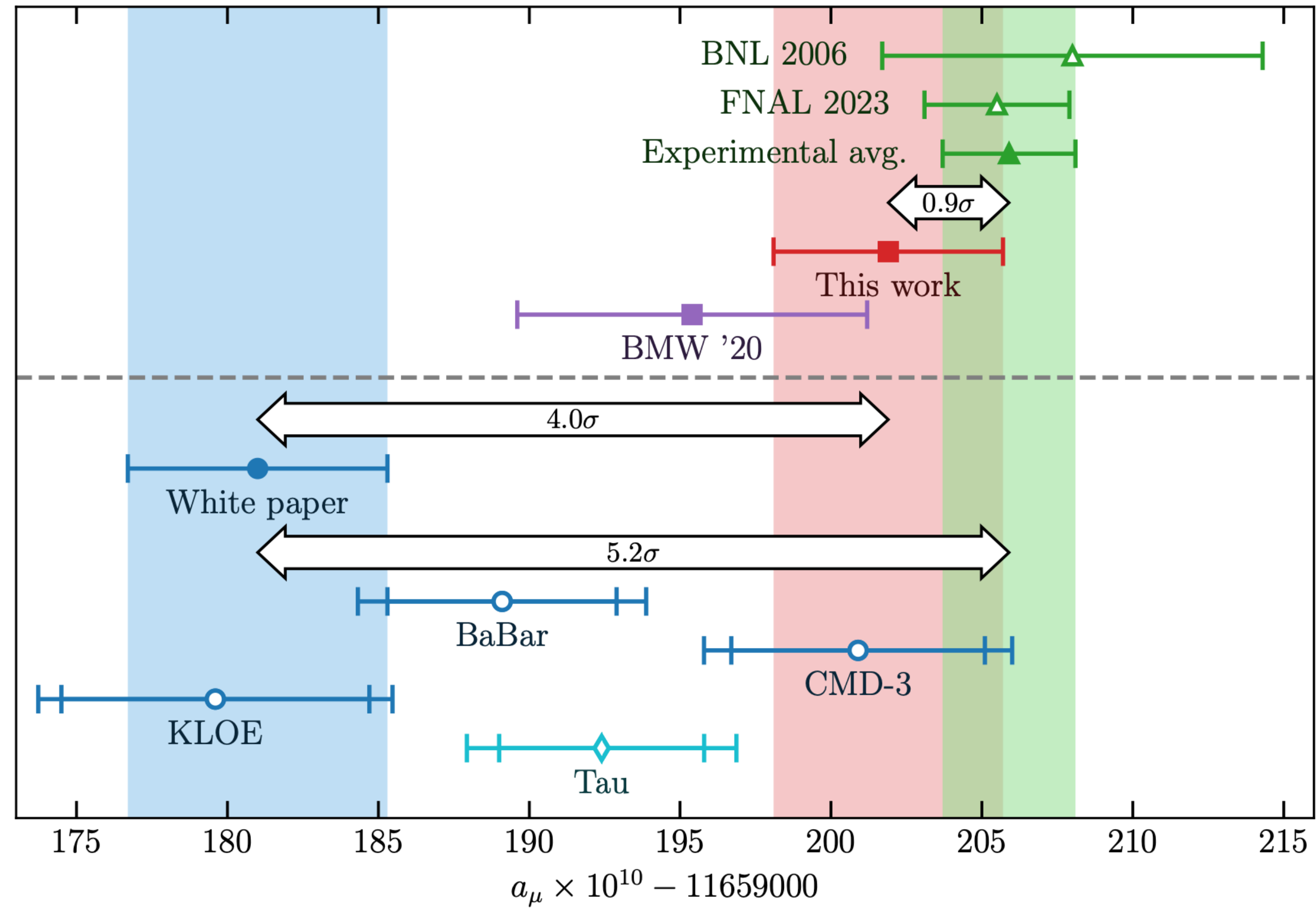
Intensità della forza

$$\alpha = e^2/4\pi = 1/137$$

È un numero piccolo, quindi un
buon parametro di espansione

$$0 + \frac{\alpha}{\pi} \text{ (green donut) } + \left(\frac{\alpha}{\pi}\right)^2 \text{ (green and orange donuts) } + \left(\frac{\alpha}{\pi}\right)^3 \text{ (green, orange, and yellow donuts) } + \left(\frac{\alpha}{\pi}\right)^4 \text{ (green, orange, yellow, and brown donuts) } + \left(\frac{\alpha}{\pi}\right)^5 \text{ (green, orange, yellow, and brown donuts) }$$
A small image of a man with grey hair, wearing a dark sweater, smiling and holding a white donut. He is positioned in the fourth term of the series expansion.

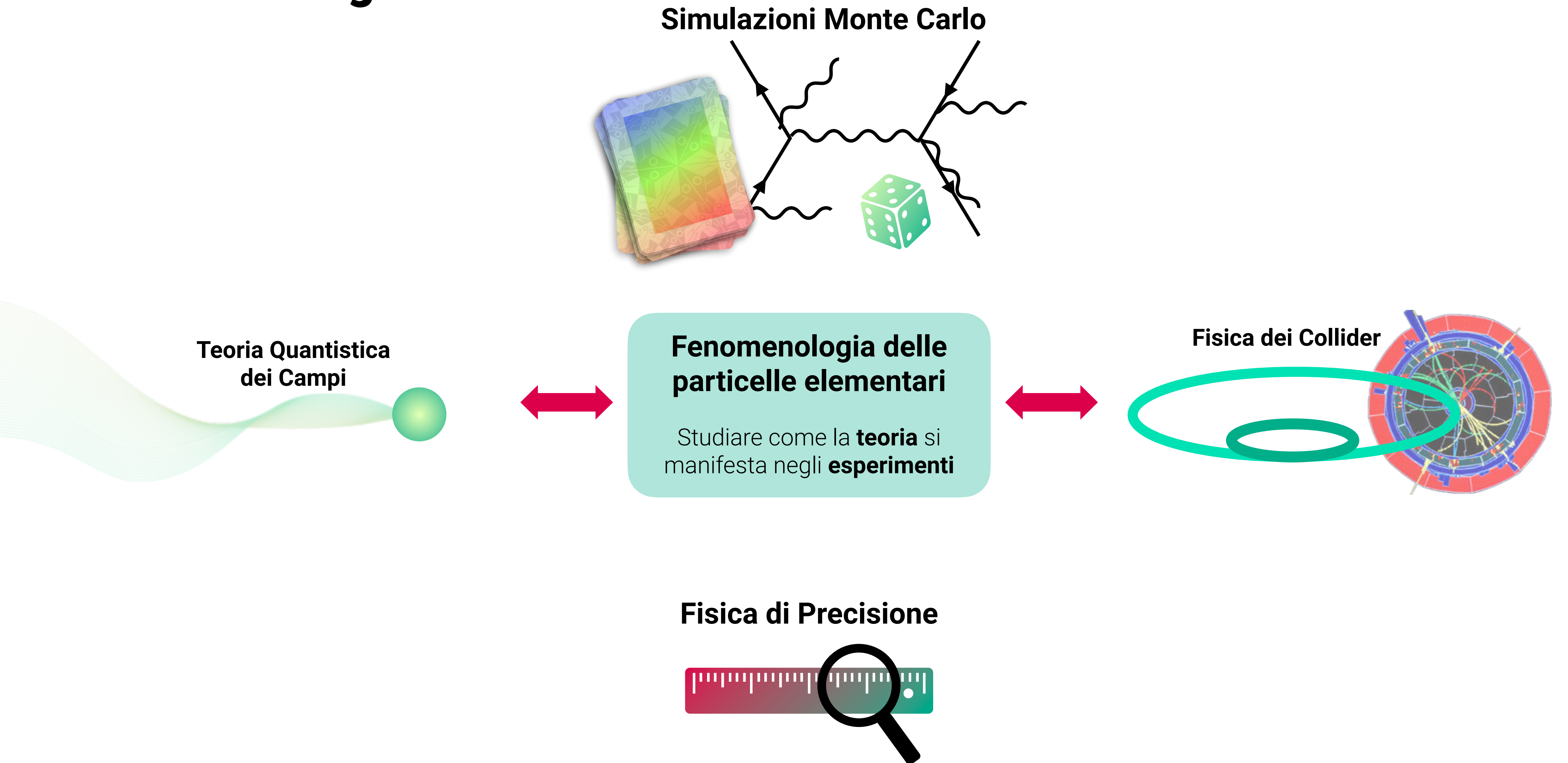
Se si fanno esperimenti...



il MODELLO STANDARD è VIVO & MORTO

$$\frac{1}{\sqrt{2}} \left[\begin{array}{c} \text{W} \\ \uparrow \\ \text{King} \\ \downarrow \\ \text{M} \end{array} \right] \pm \left[\begin{array}{c} \text{W} \\ \uparrow \\ \text{King} \\ \downarrow \\ \text{M} \end{array} \right]$$

Fenomenologia



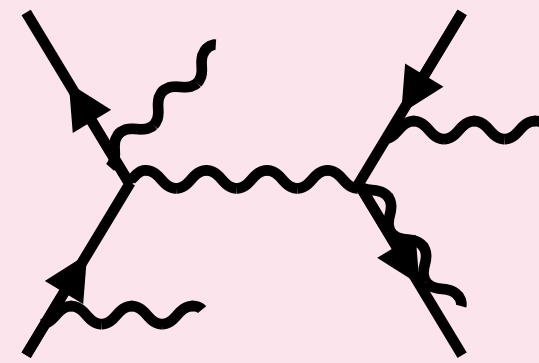
Fenomenologia del MS a Pavia

Calame, Chiesa, Montagna, Nicrosini, Piccinini

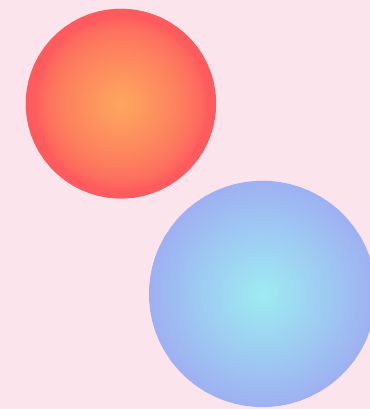
Teoria Quantistica dei Campi



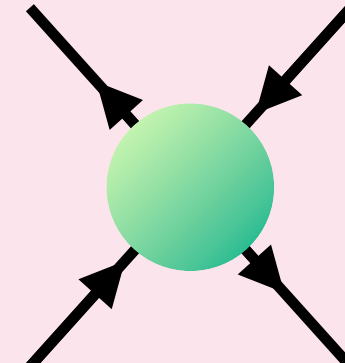
Rinormalizzazione



Tecniche di
risommazione

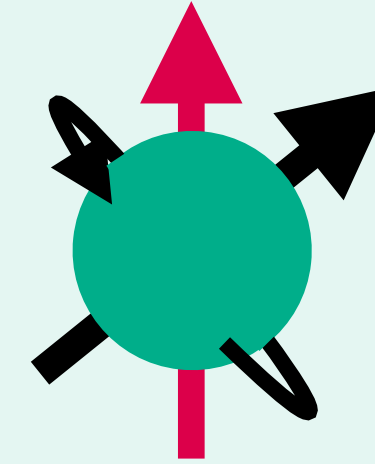


Fisica
elettrodebole



Teorie
effettive

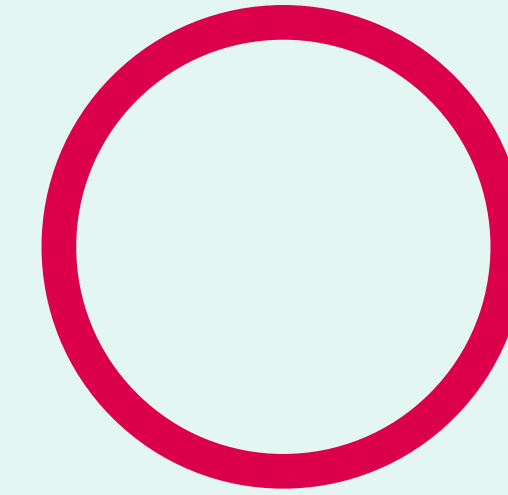
Applicazioni



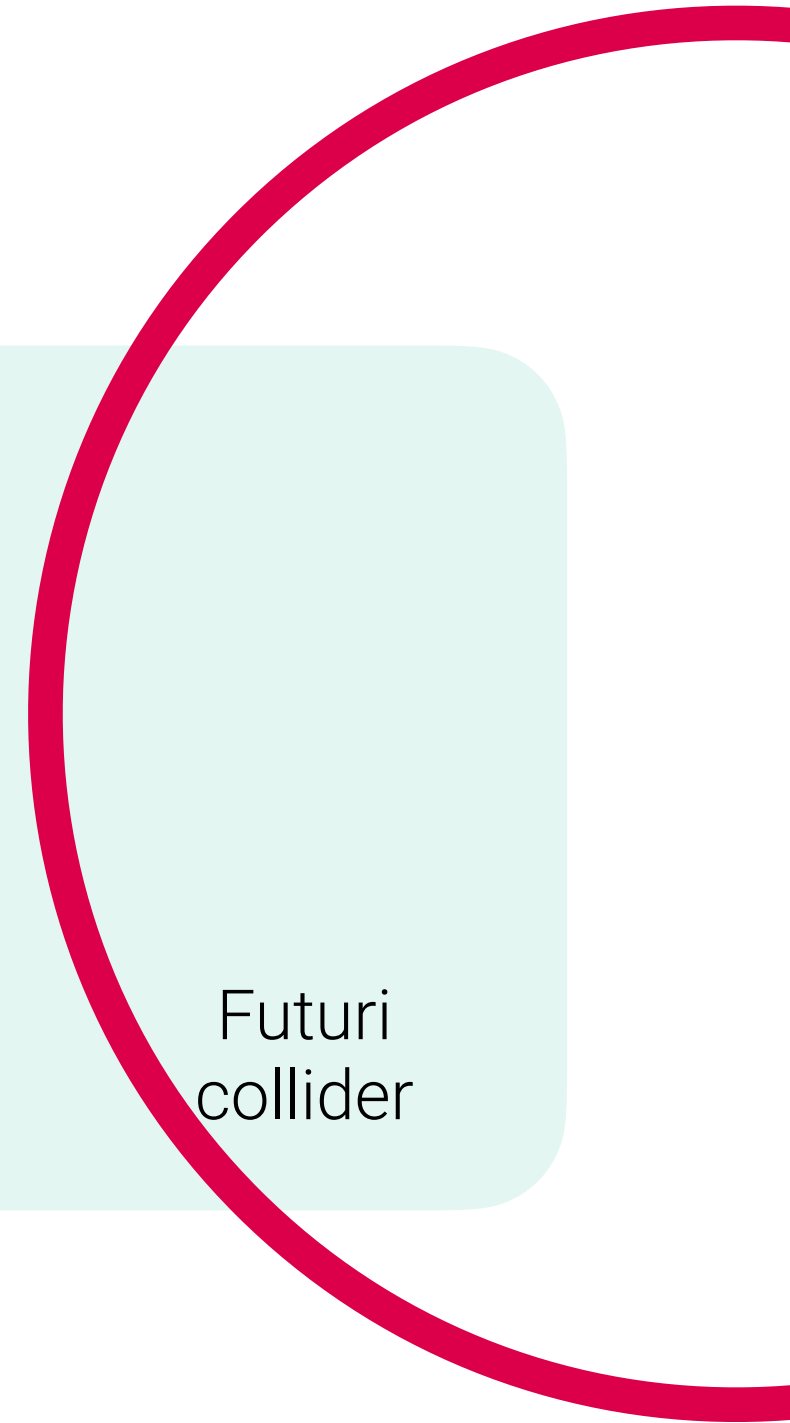
MUonE



Collider e+e-
a bassa energia



LHC



Futuri
collider

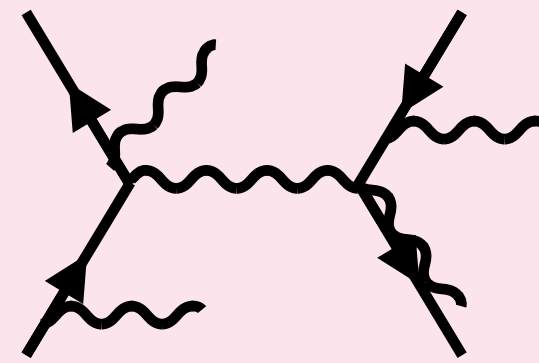
Fenomenologia del MS a Pavia

Calame, Chiesa, Montagna, Nicrosini, Piccinini

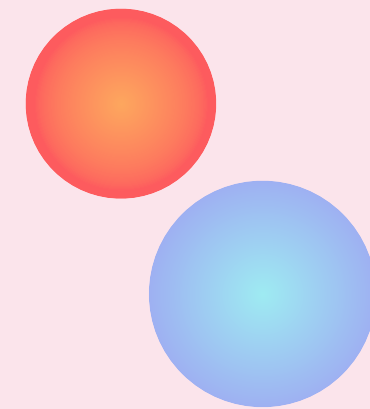
Teoria Quantistica dei Campi



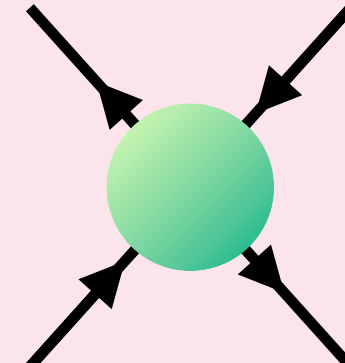
Rinormalizzazione



Tecniche di
risommazione

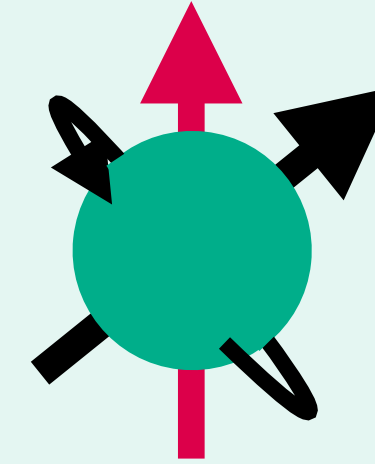


Fisica
elettrodebole



Teorie
effettive

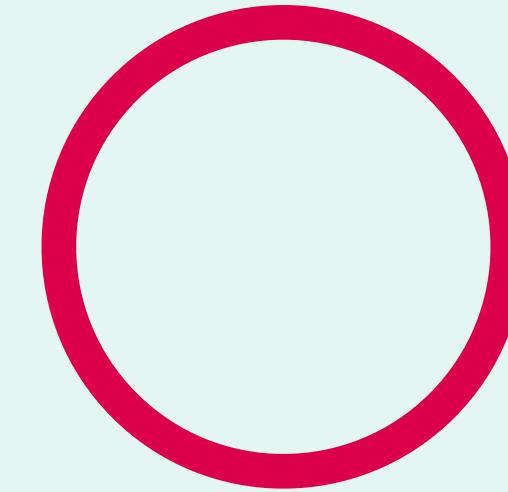
Applicazioni



MUonE



Collider e+e-
a bassa energia



LHC

Futuri
collider

BabaYaga@NLO

Mesmer

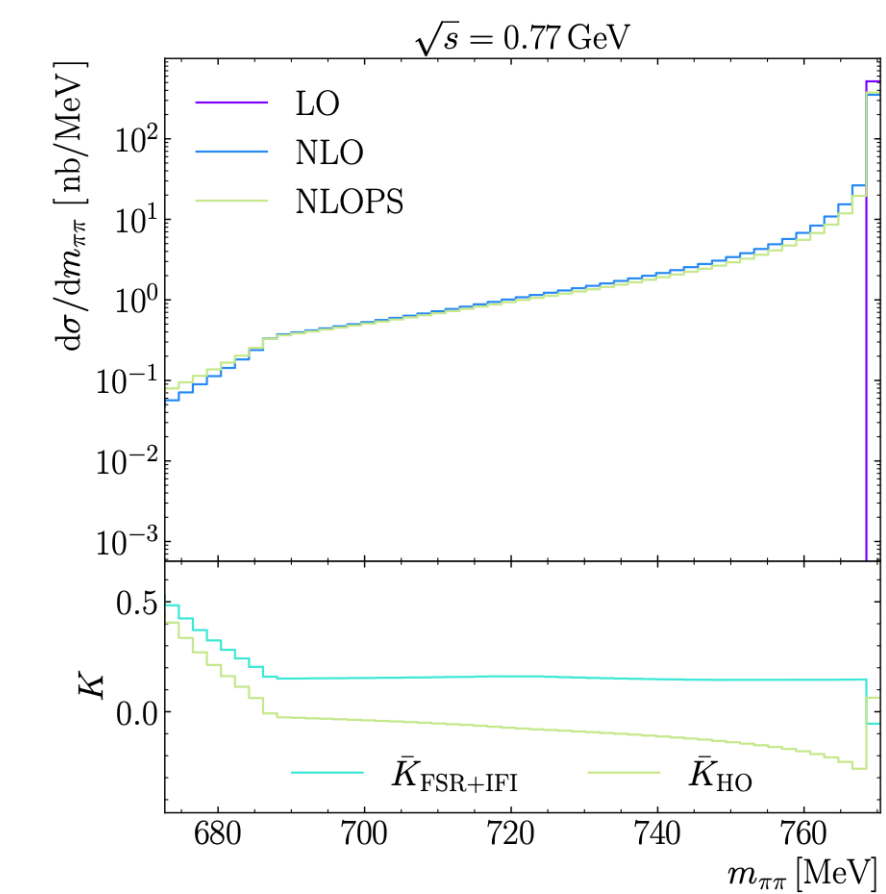
PowegBOX

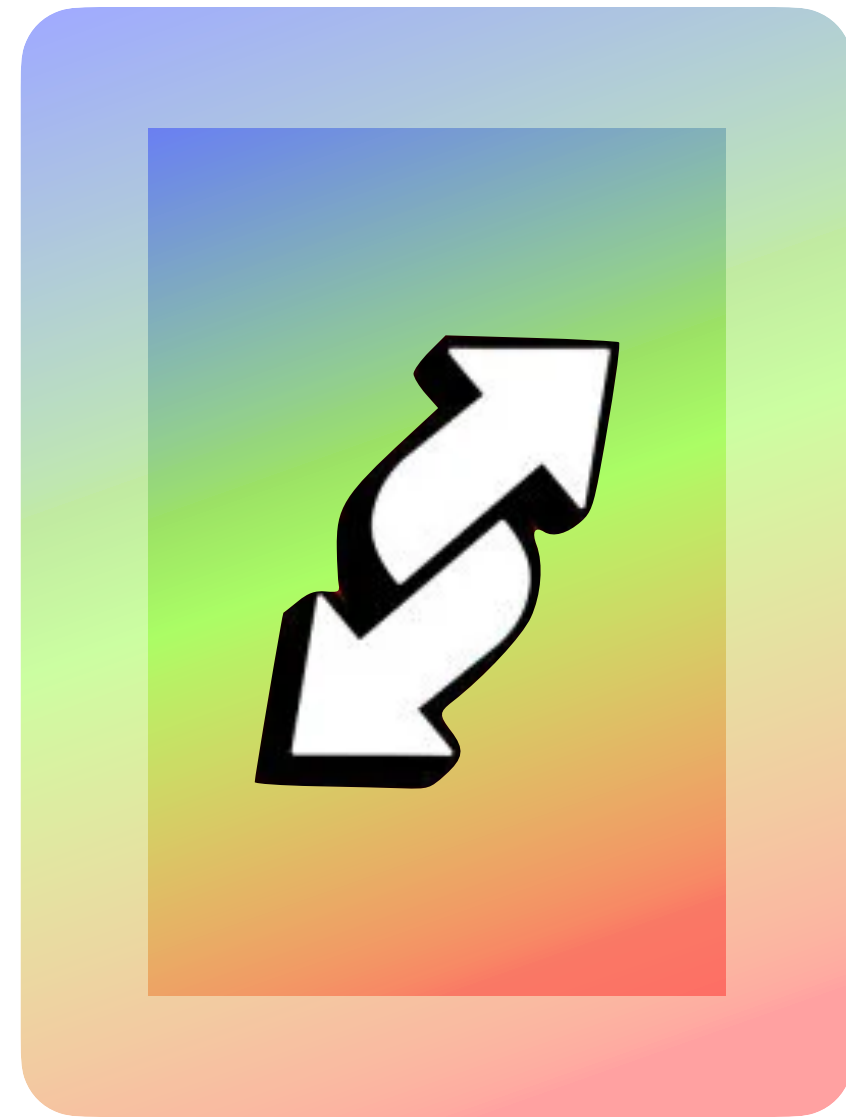
...

Horace

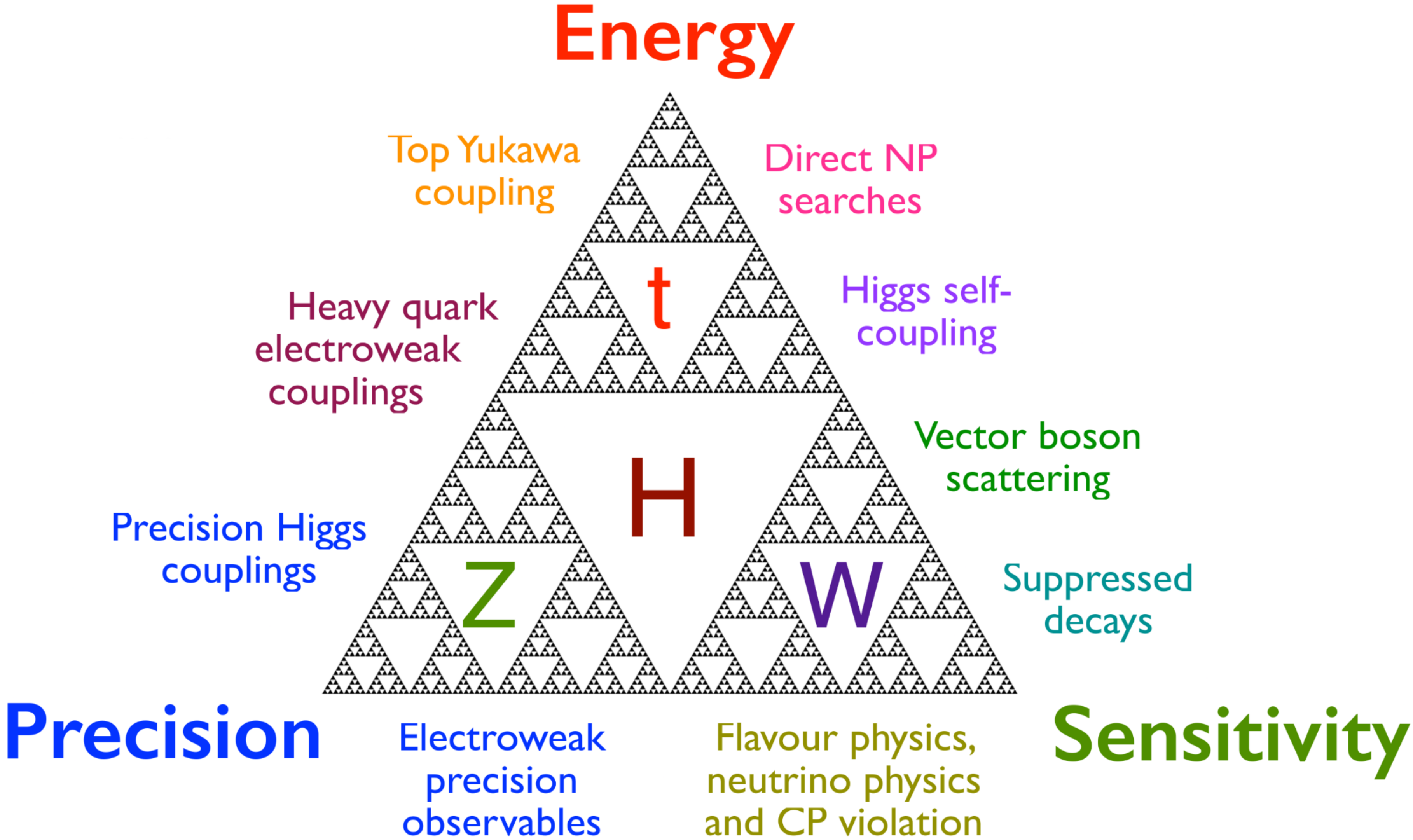
MessPV

Sviluppo di Monte Carlo





Cosa ci aspetta?



Cosa ci aspetta?

Forza di Lorentz

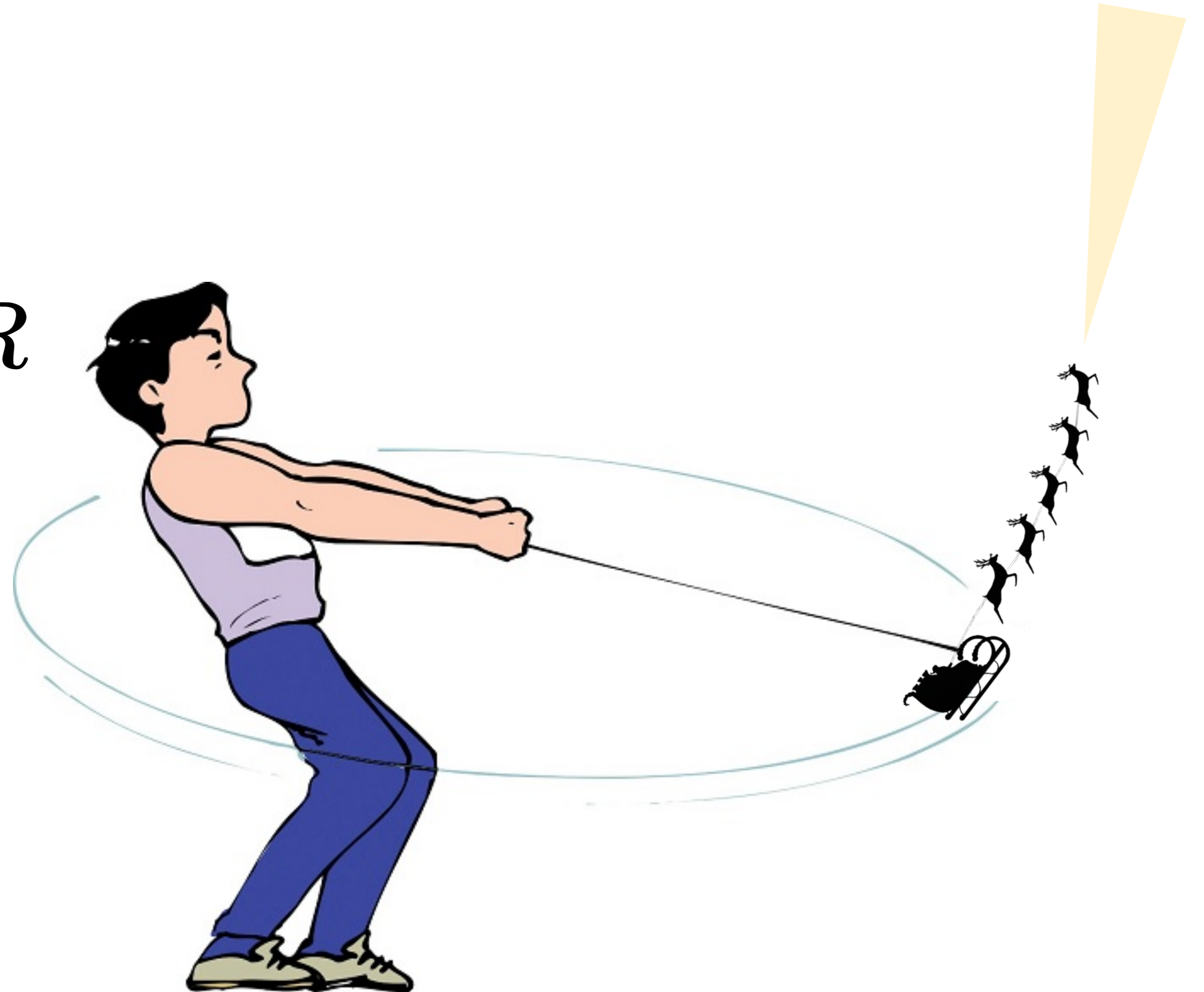
$$F_L = e v B$$

Forza Centrifuga

$$F_c = \frac{m v^2}{R}$$

$$\frac{p}{e} = B R$$

L'energia che ci serve per produrre nuove particelle



Cosa ci aspetta?

Forza di Lorentz

$$F_L = e v B$$

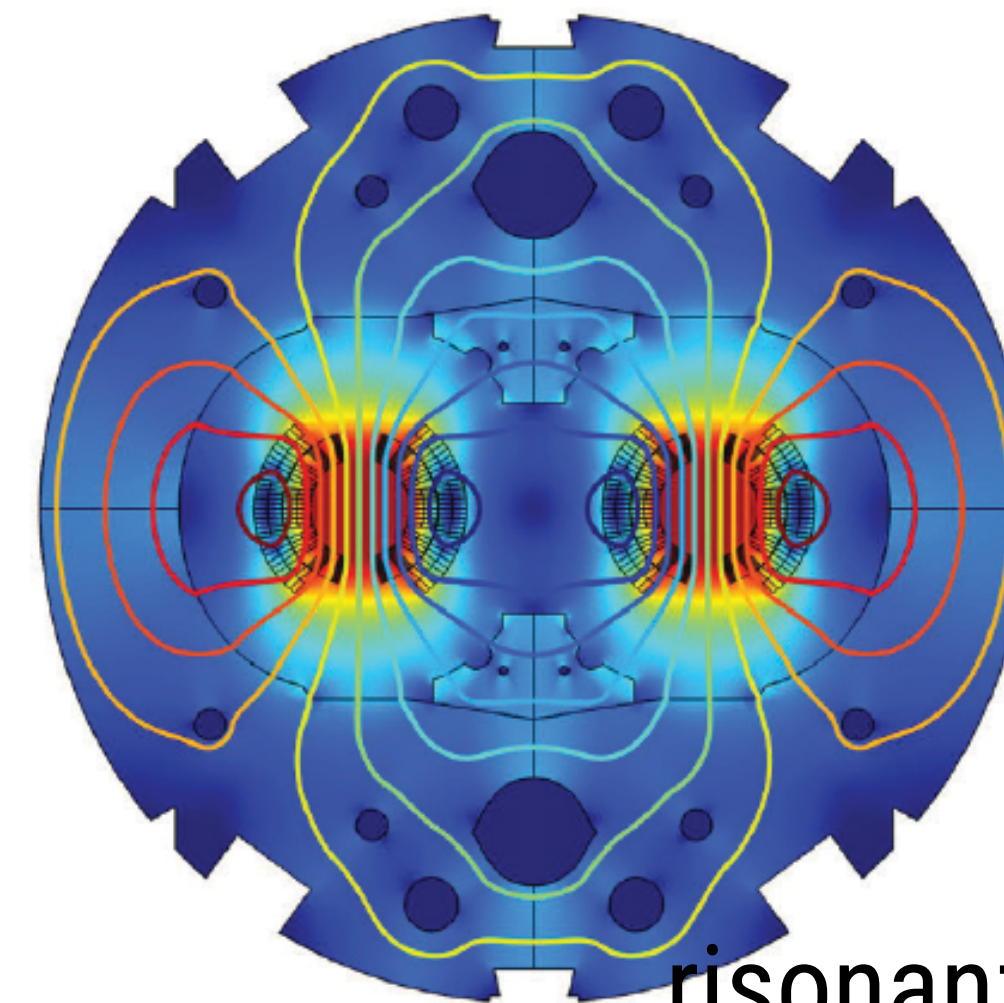
Forza Centrifuga

$$F_c = \frac{m v^2}{R}$$

$$\frac{p}{e} = B R$$

L'energia che ci serve per produrre nuove particelle

Il campo magnetico che siamo in grado di utilizzare



@ LHC: $B \sim 8.33 \text{ T}$
Magneti per risonanza magnetica $\sim 3 \text{ T}$

Cosa ci aspetta?



Forza di Lorentz

$$F_L = e v B$$

Forza Centrifuga

$$F_c = \frac{m v^2}{R}$$

$$\frac{p}{e} = B R$$



$$R \sim 4.3 \text{ km}$$

$$B \sim 8.3 \text{ T}$$

$$E \sim 14 \text{ TeV}$$

L'acceleratore che ci permettono di costruire

L'energia che ci serve per produrre nuove particelle

Cosa ci aspetta?

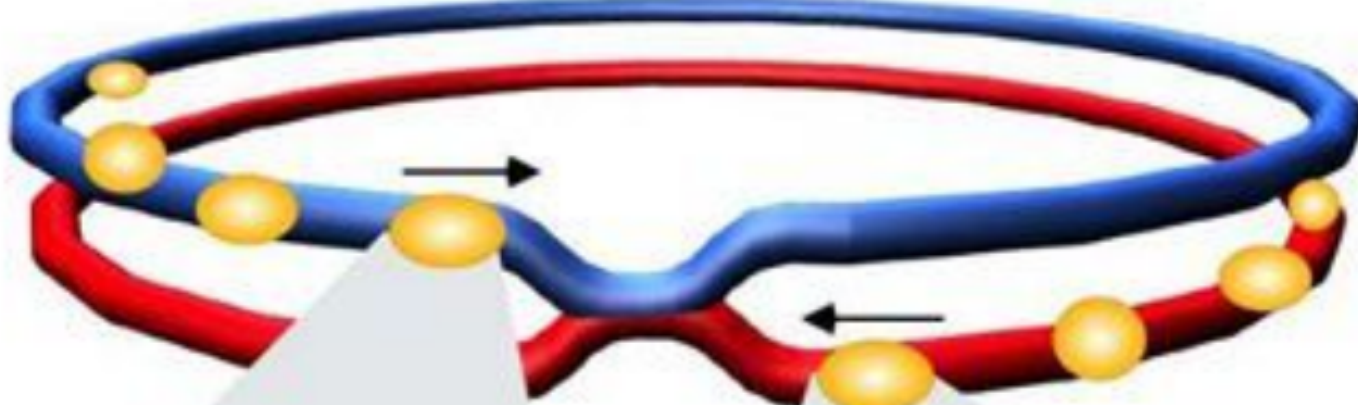
Frequenza di rivoluzione

Numero di particelle nei bunch

Numero di bunch

$$\mathcal{L} = \frac{N_1 N_2 f N_b}{4\pi\sigma_x\sigma_y}$$

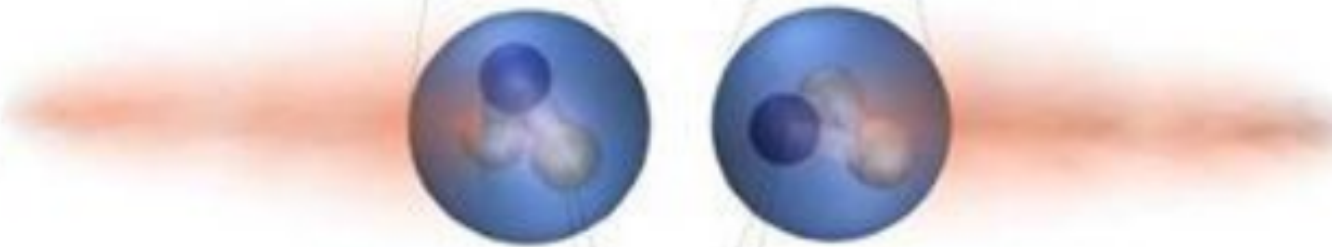
“Dimensione” dei bunch



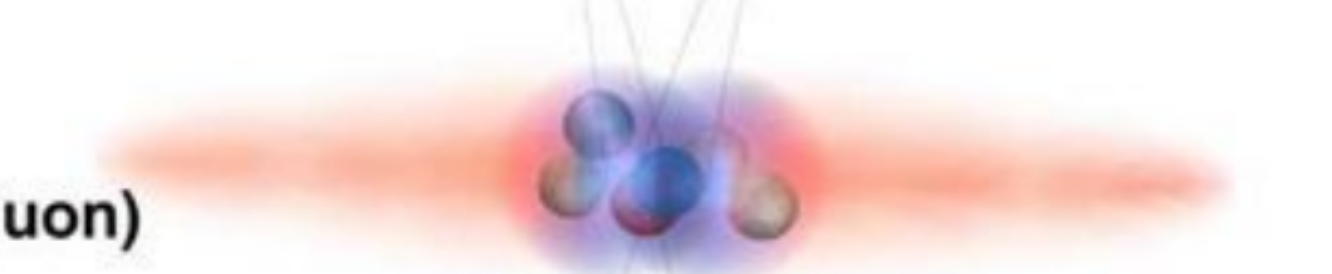
Bunch



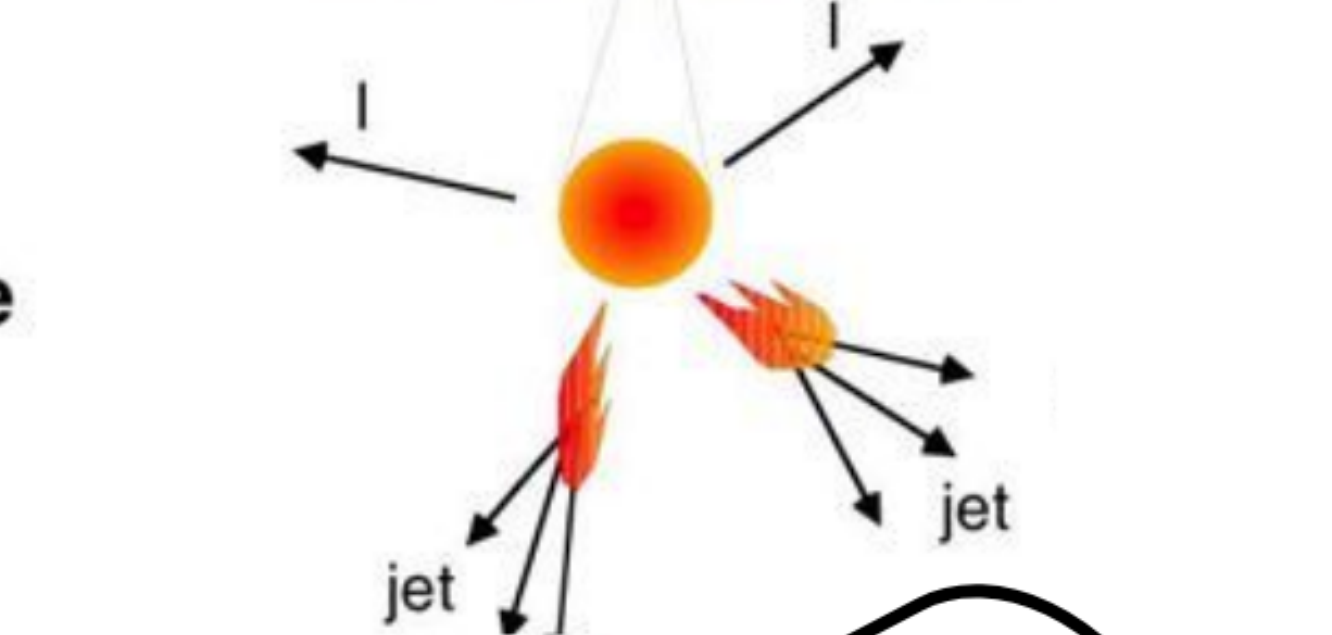
Proton



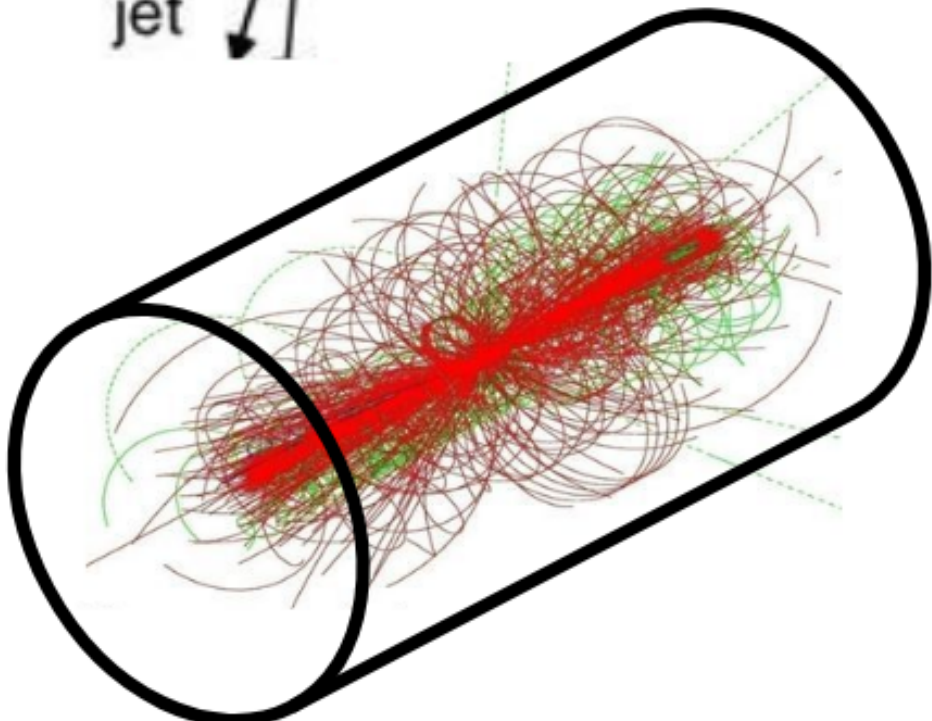
Parton (quark, gluon)



Particle



Detector signature



Cosa ci aspetta?



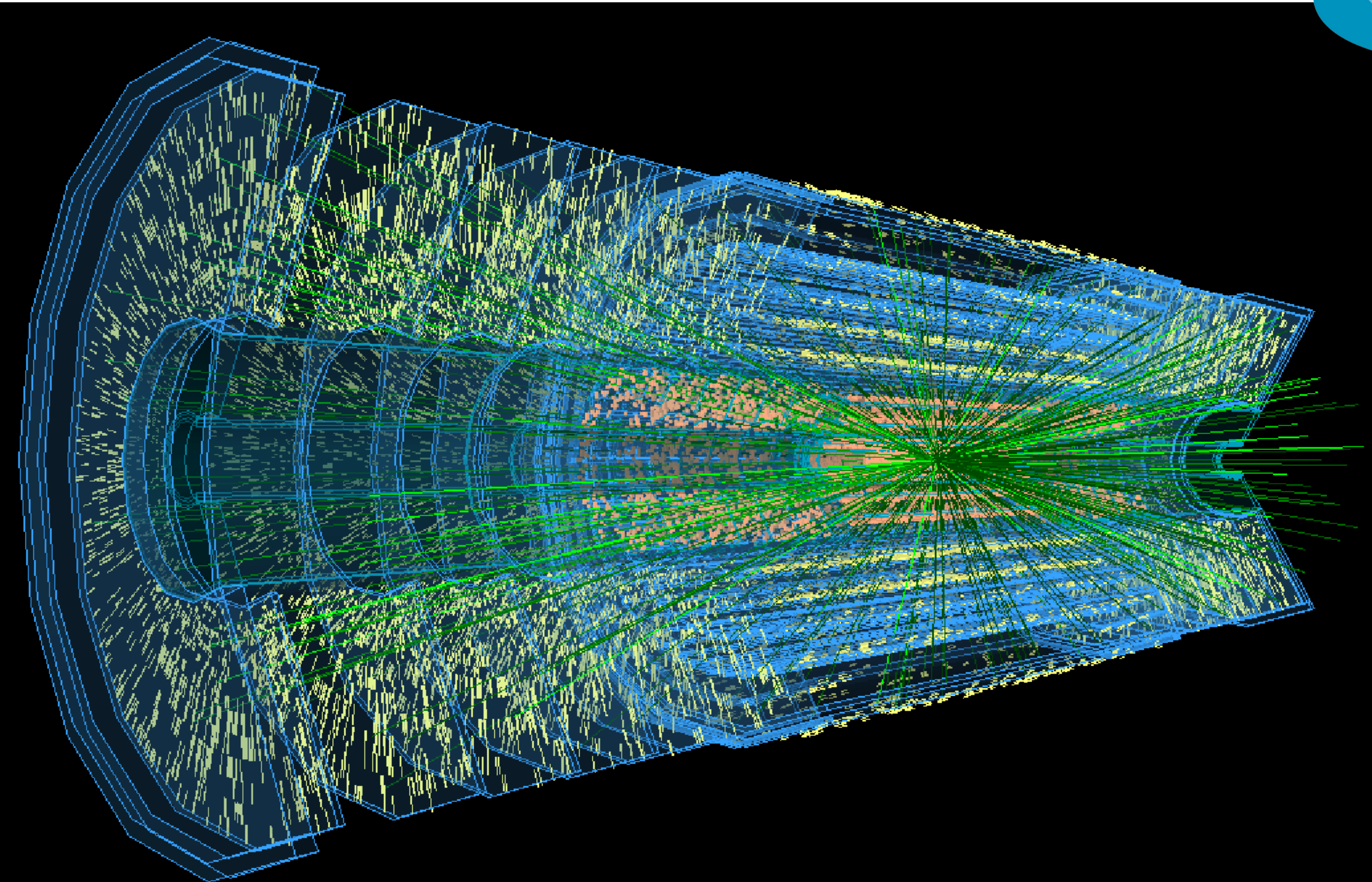
Upgrade dei rivelatori e dei sistemi di acquisizione dati per sopportare i rate di collisioni molto più elevati

Gruppi a Pavia:

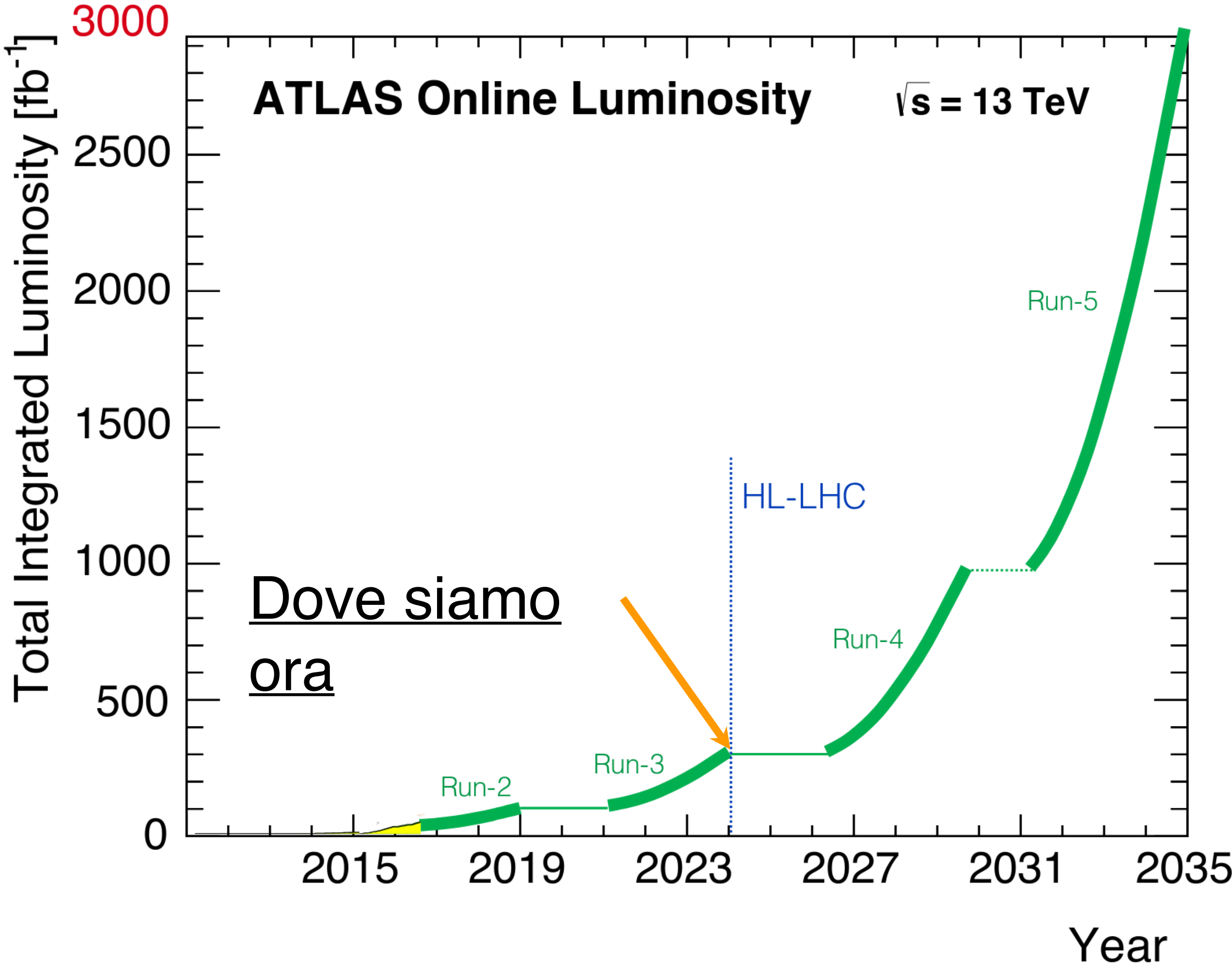
[ATLAS](#)

[CMS](#)

[ALICE](#)



Cosa ci aspetta?



Upgrade dei rivelatori e dei sistemi di acquisizione dati per sopportare i rate di collisioni molto più elevati
→ Più dati per le analisi!

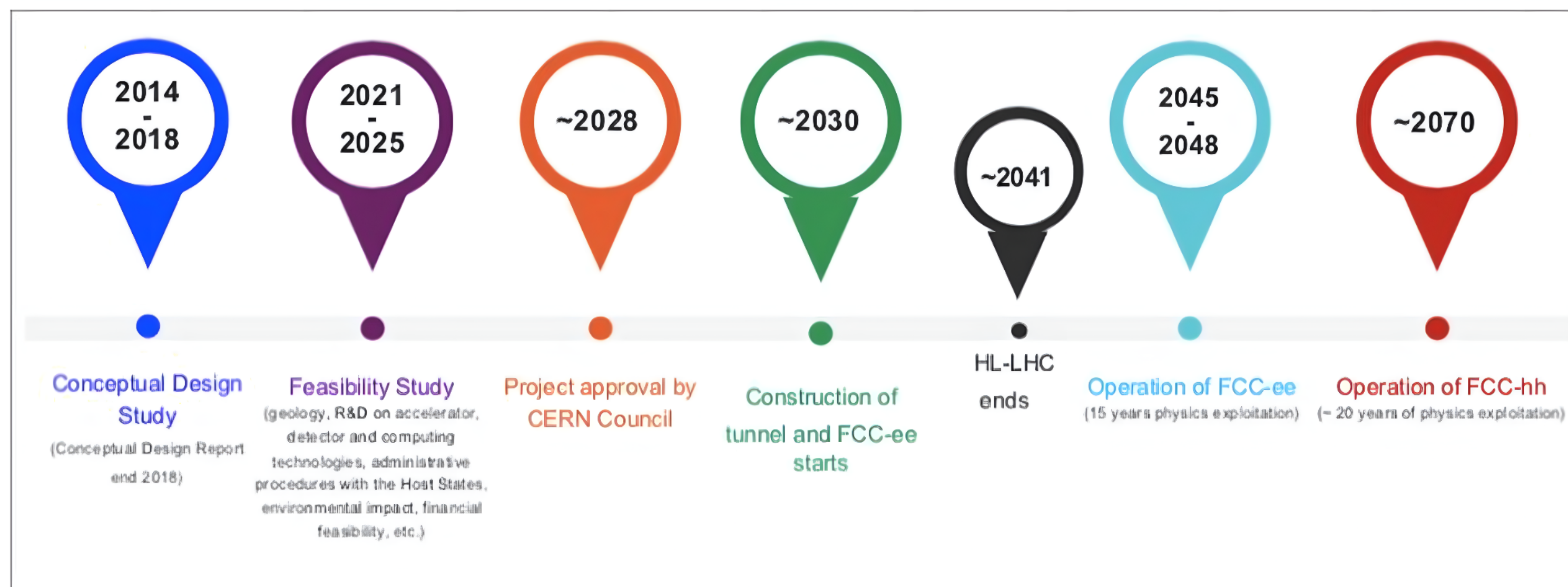
Gruppi a Pavia:
[ATLAS](#)
[CMS](#)
[ALICE](#)

Cosa ci aspetta?

3



High-priority future initiatives



A. An electron-positron Higgs factory is the highest-priority next collider. For the longer term, the European particle physics community has the ambition to operate a proton-proton collider at the highest achievable energy. Accomplishing these compelling goals will require innovation and cutting-edge technology:

- *the particle physics community should ramp up its R&D effort focused on advanced accelerator technologies, in particular that for high-field superconducting magnets, including high-temperature superconductors;*

- *Europe, together with its international partners, should investigate the technical and financial feasibility of a future hadron collider at CERN with a centre-of-mass energy of at least 100 TeV and with an electron-positron Higgs and electroweak factory as a possible first stage. Such a feasibility study of the colliders and related infrastructure should be established as a global endeavour and be completed on the timescale of the next Strategy update.*

The timely realisation of the electron-positron International Linear Collider (ILC) in Japan would be compatible with this strategy and, in that case, the European particle physics community would wish to collaborate.

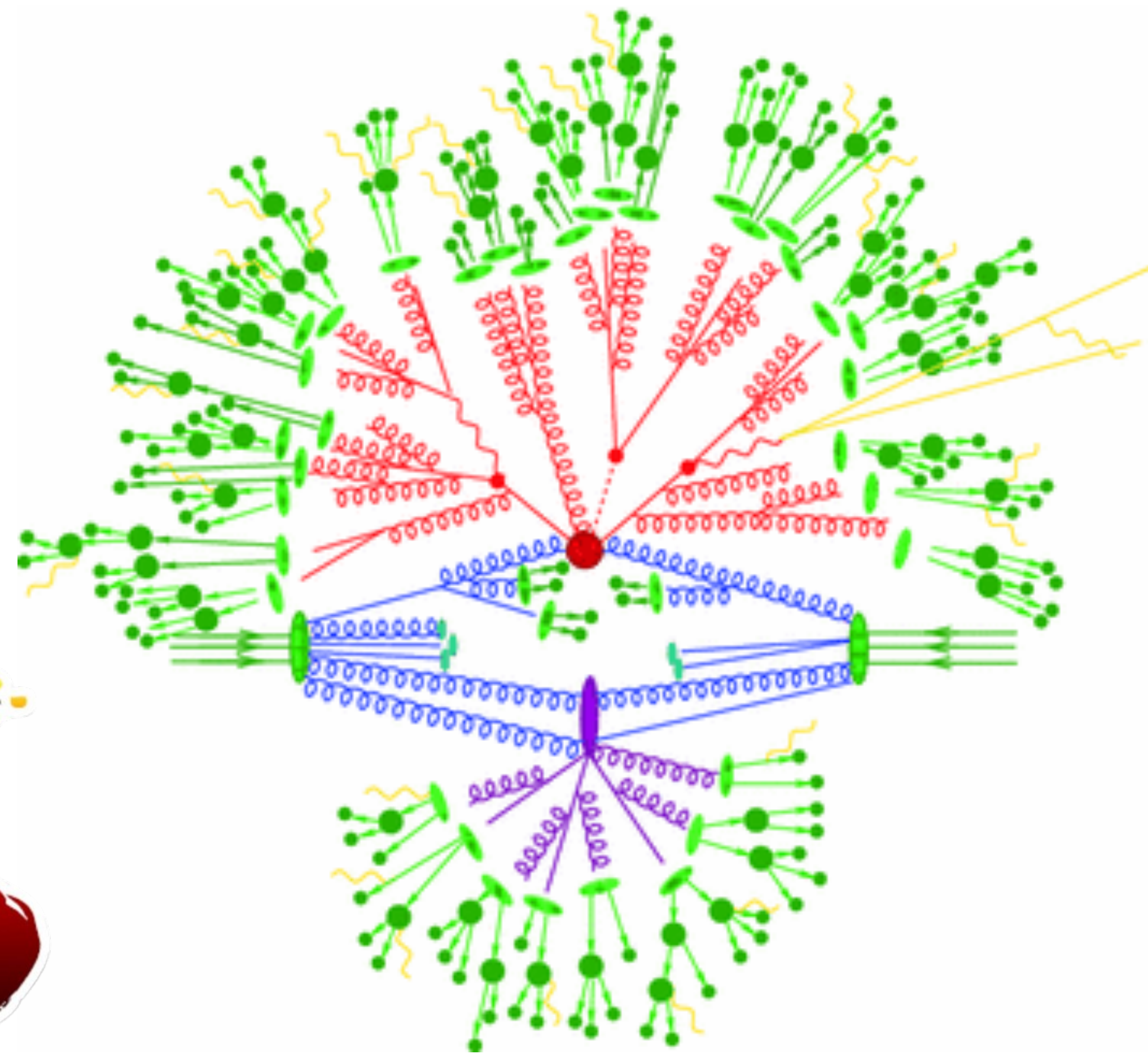
Collisioni pp Vs e⁺e⁻

Perdita di energia per radiazione di sincrotrone

$m_{\text{protone}} \sim 2000 m_{\text{elettrone}}$

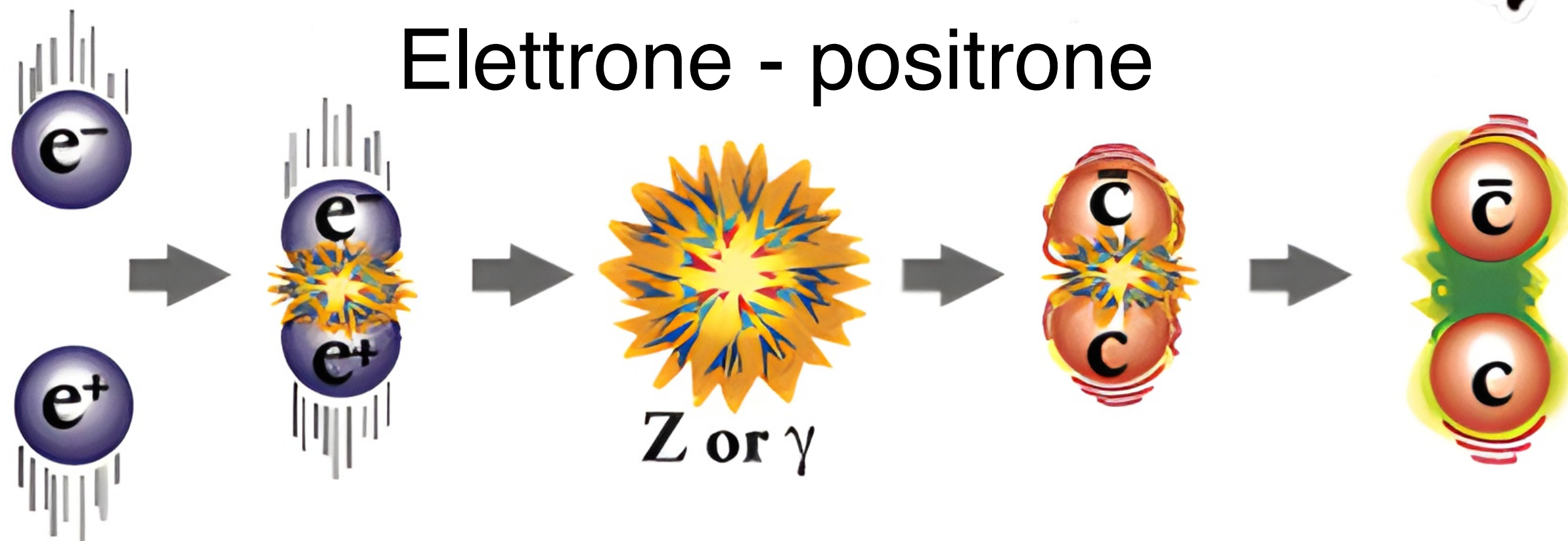
$$\Delta E \propto \left(\frac{E}{m} \right)^4$$

VS

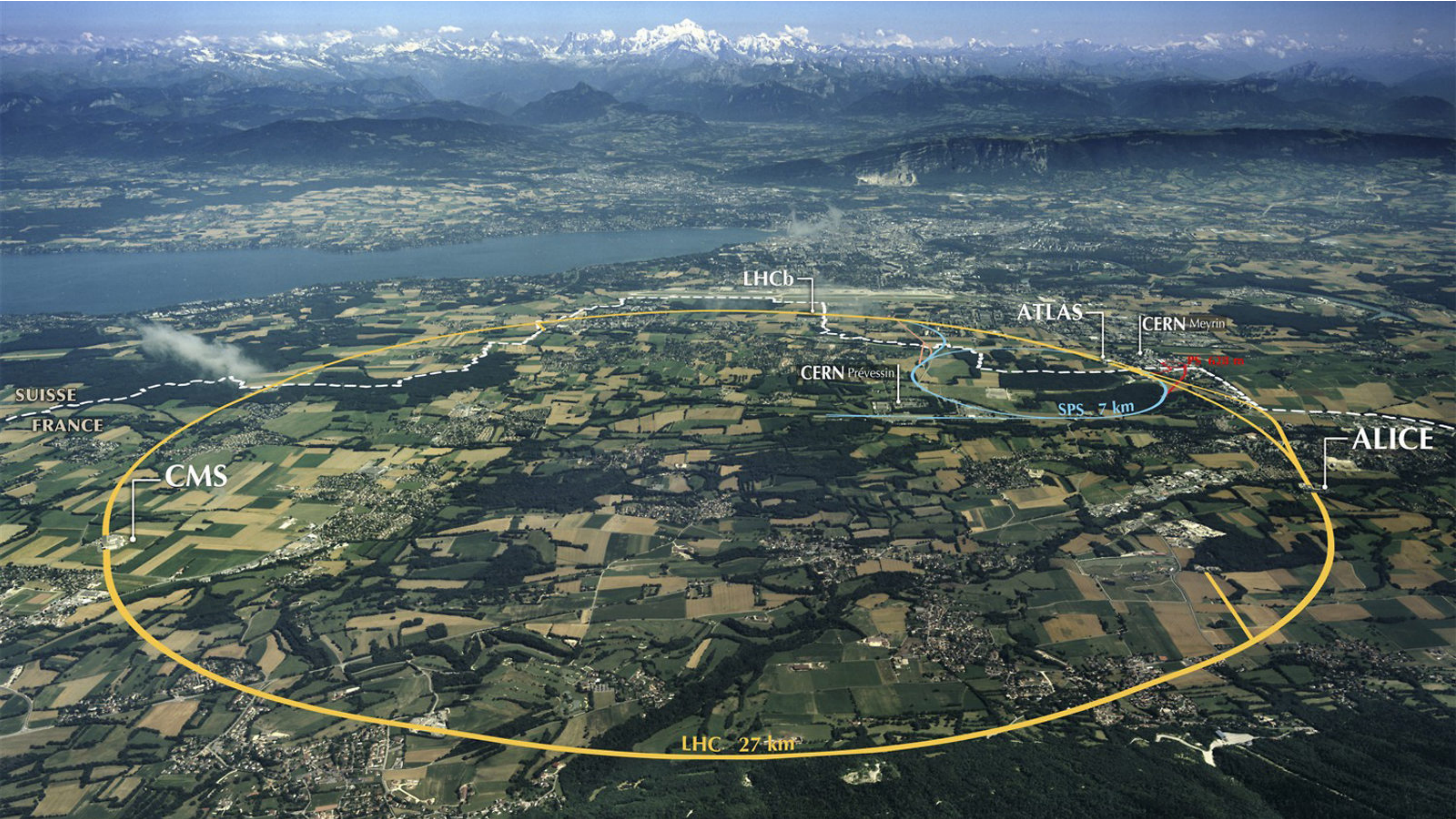


Protone - protone

Elettrone - positrone



Da considerare:
Particelle elementari /
composite
Energia nel centro di massa
Complessità dello stato finale



LHCb

ATLAS

CERN Meyrin

PS 638 m

CERN Prévessin

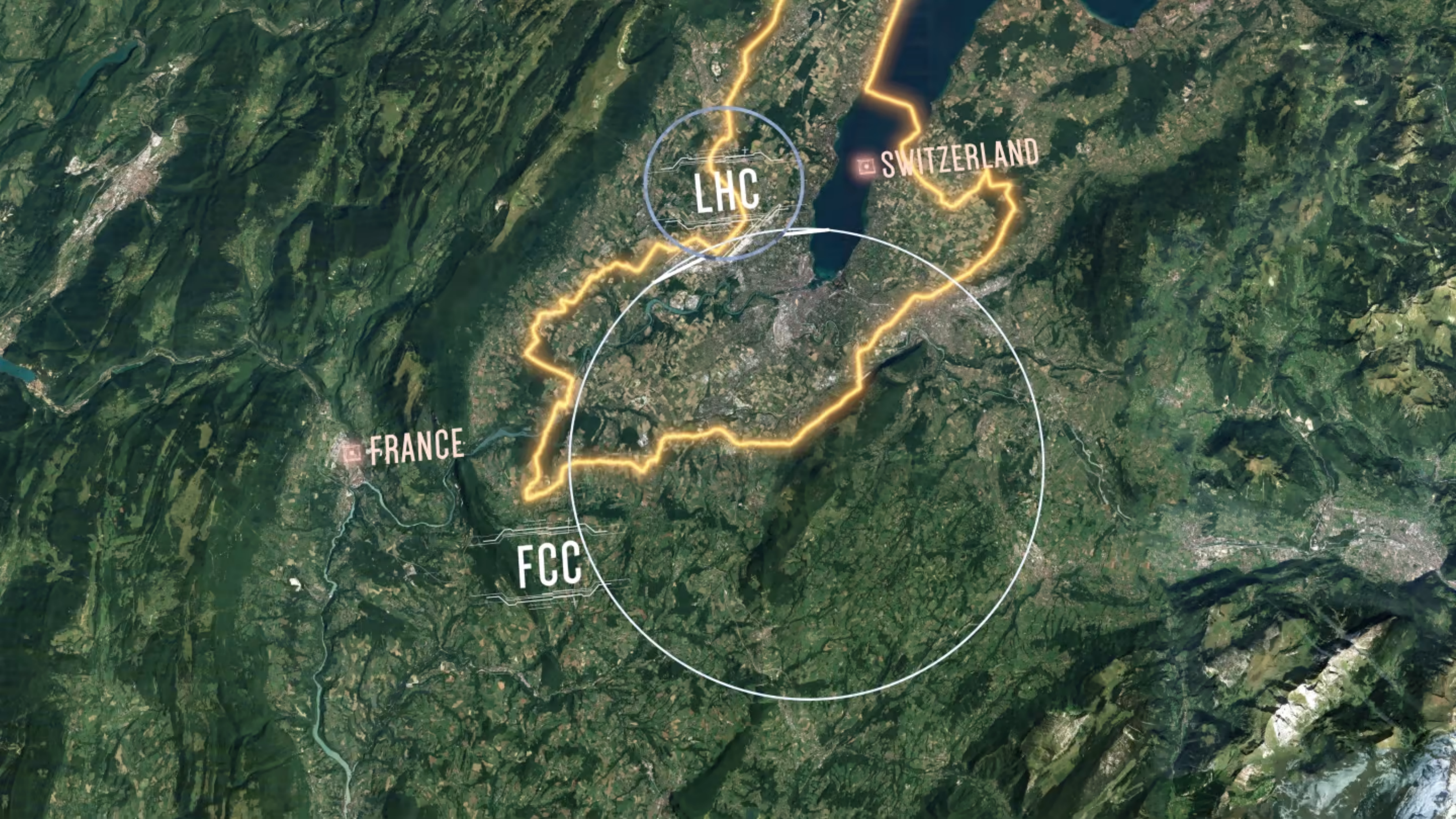
SPS 7 km

SUISSE
FRANCE

CMS

ALICE

LHC 27 km



LHC

SWITZERLAND

FRANCE

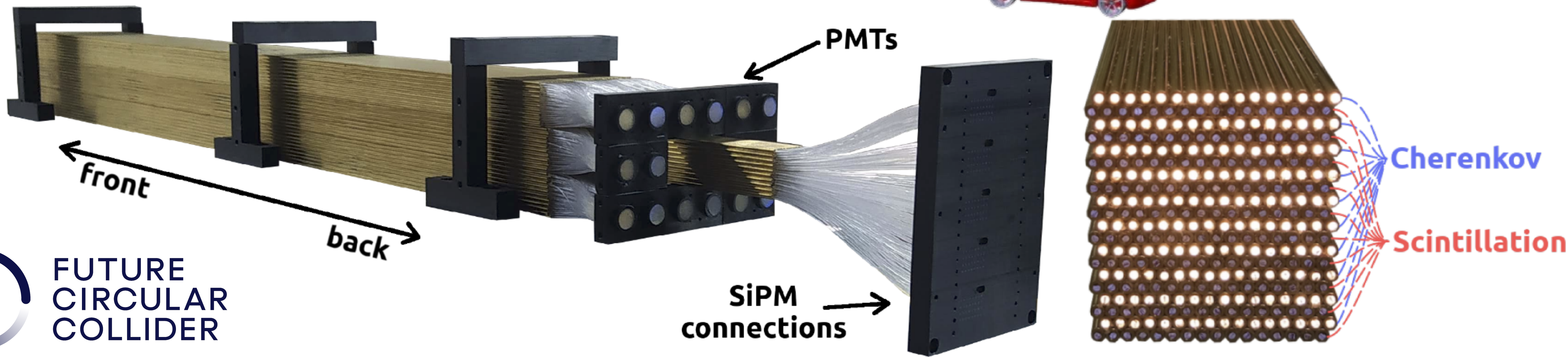
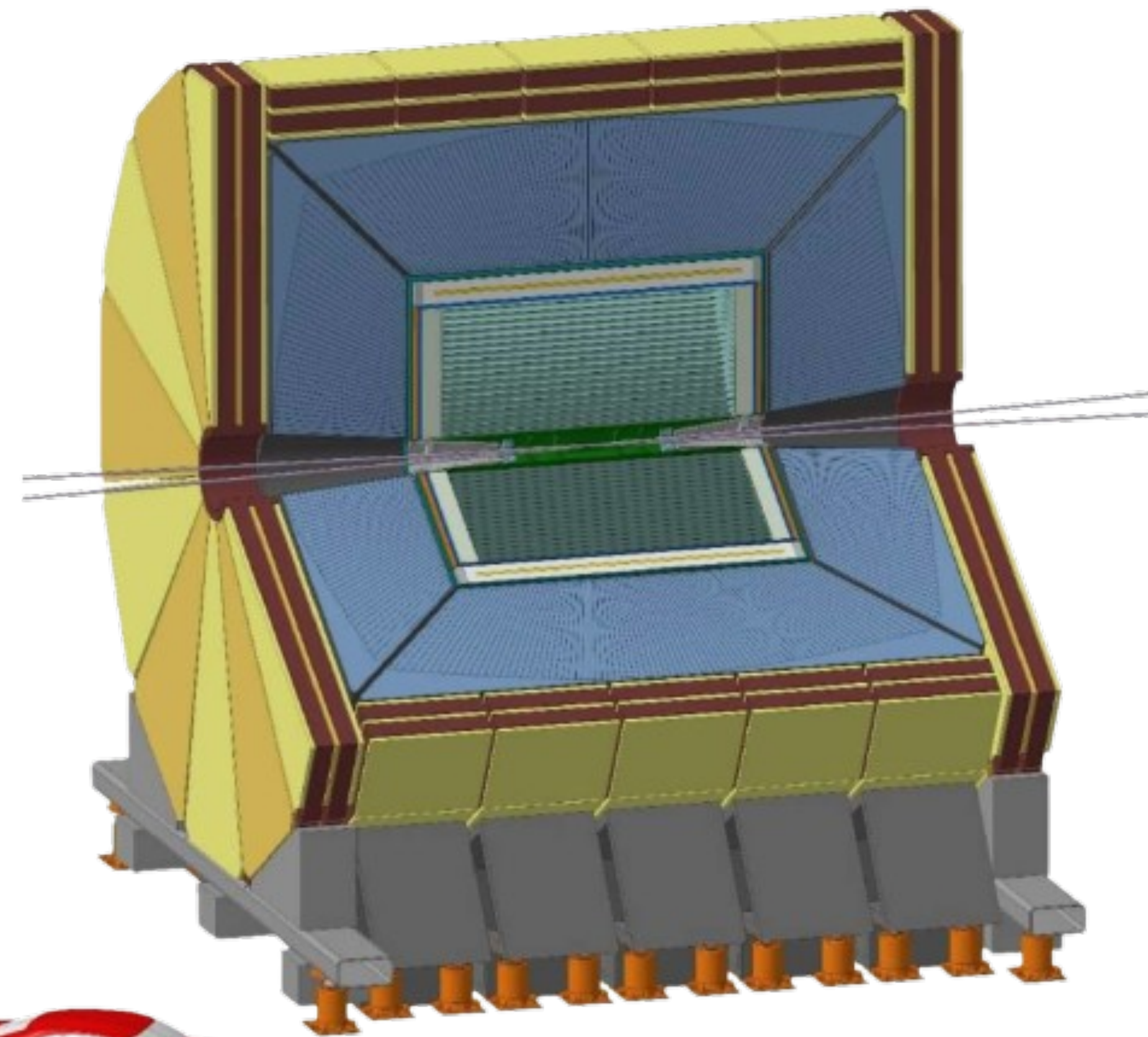
FCC

Cosa ci aspetta a FCC?

Esperimento IDEA @ FCC-ee
(Innovative Detector for Electron-positron Accelerators)

[RD FCC @ Pavia:](#)

Sviluppo di una nuova tipologia di calorimetri (dual-readout), per migliorare notevolmente la precisione nella ricostruzione di jet adronici

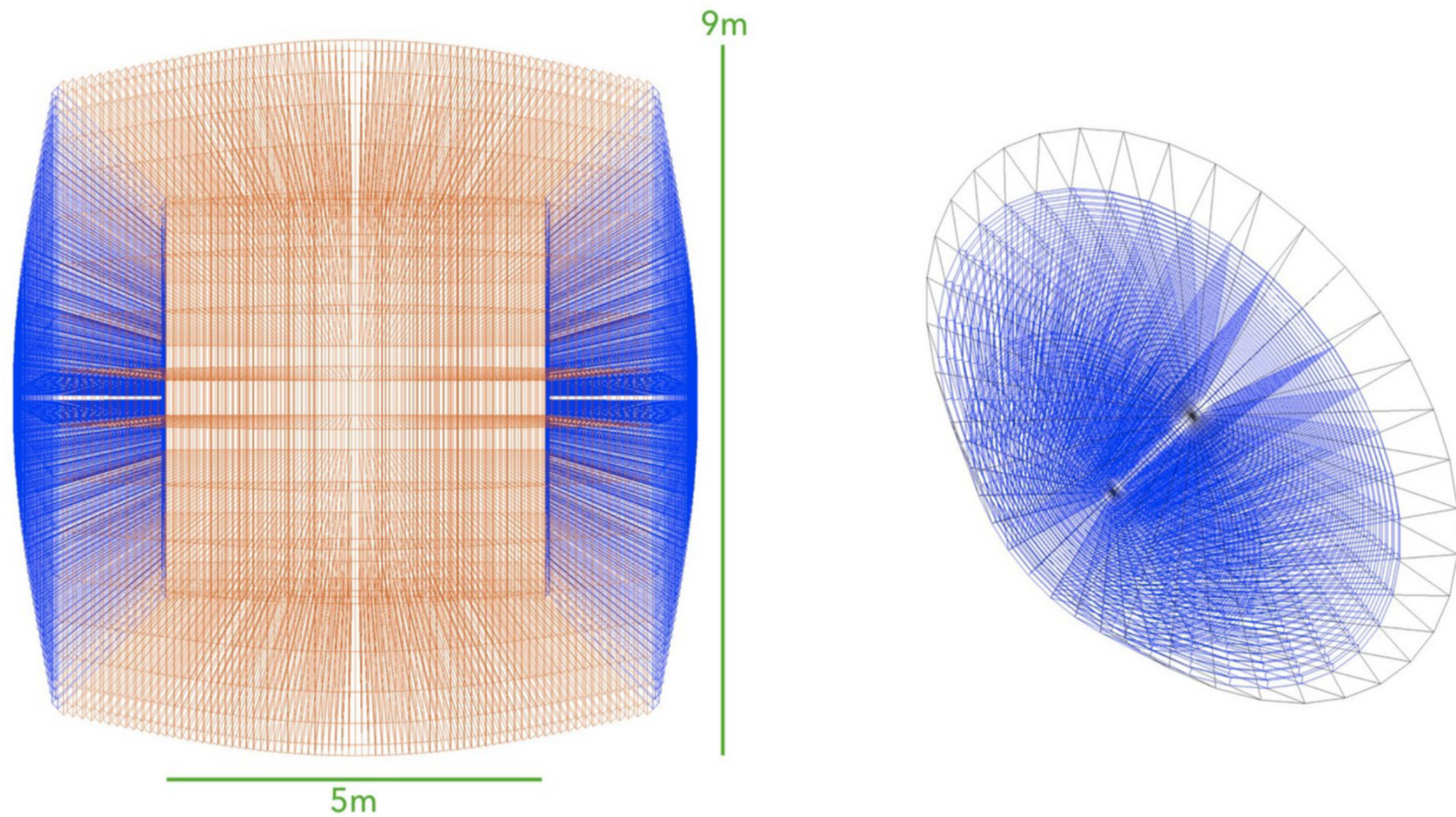


FUTURE
CIRCULAR
COLLIDER

Cosa ci aspetta a FCC?

Attività in corso (lato sperimentale):

- Costruzione di prototipi dimostrativi per valutare le performance dei rivelatori
- Analisi dei dati raccolti durante campagne al CERN, confronto con simulazioni e applicazioni ML



- Analisi di fisica, principalmente oltre il Modello Standard, attraverso simulazioni Monte Carlo per valutare le potenzialità dell'esperimento IDEA

Ma i muoni?



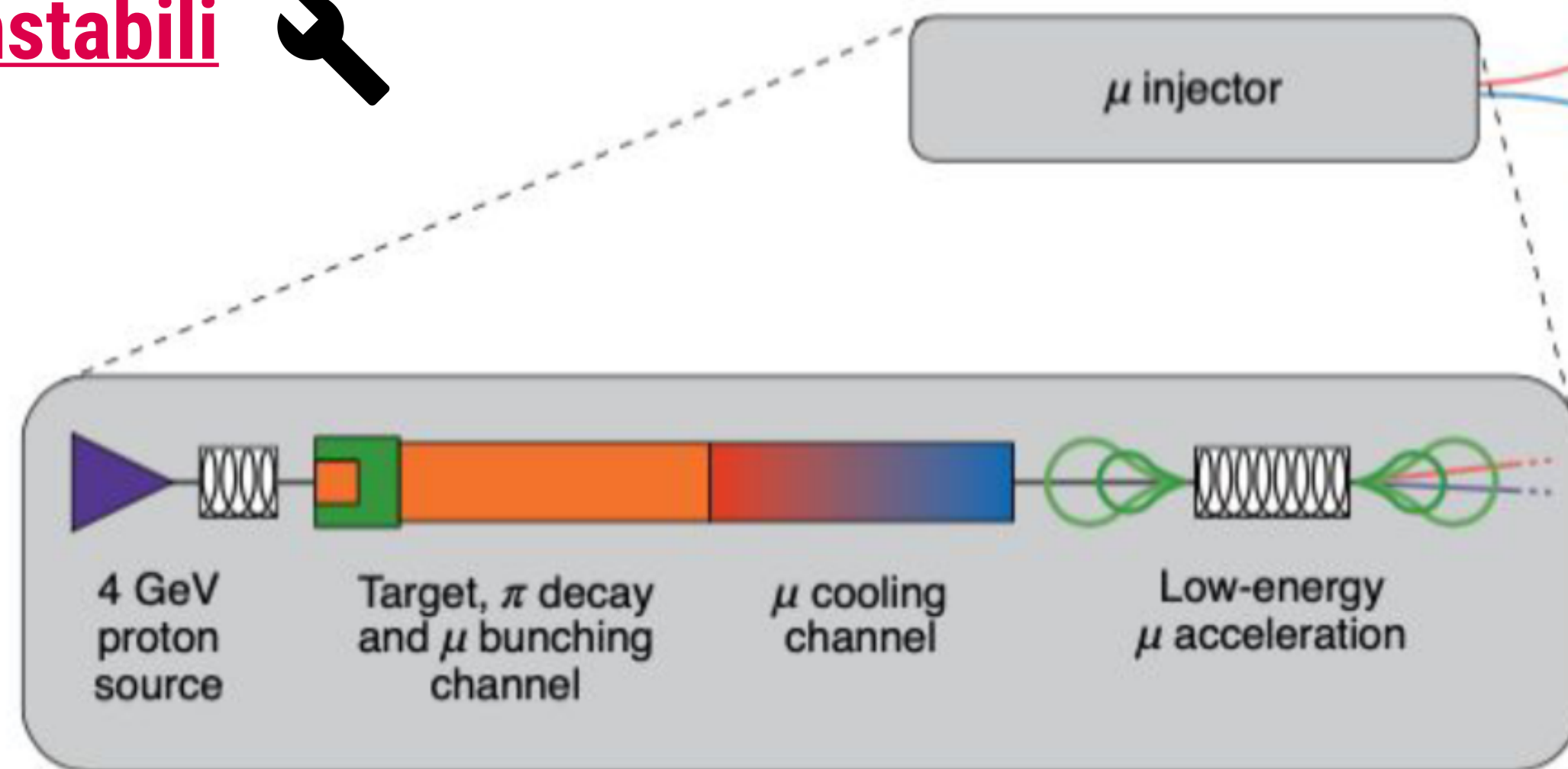
Particelle elementari ✓

Radiazione di sincrotrone limitata ✓

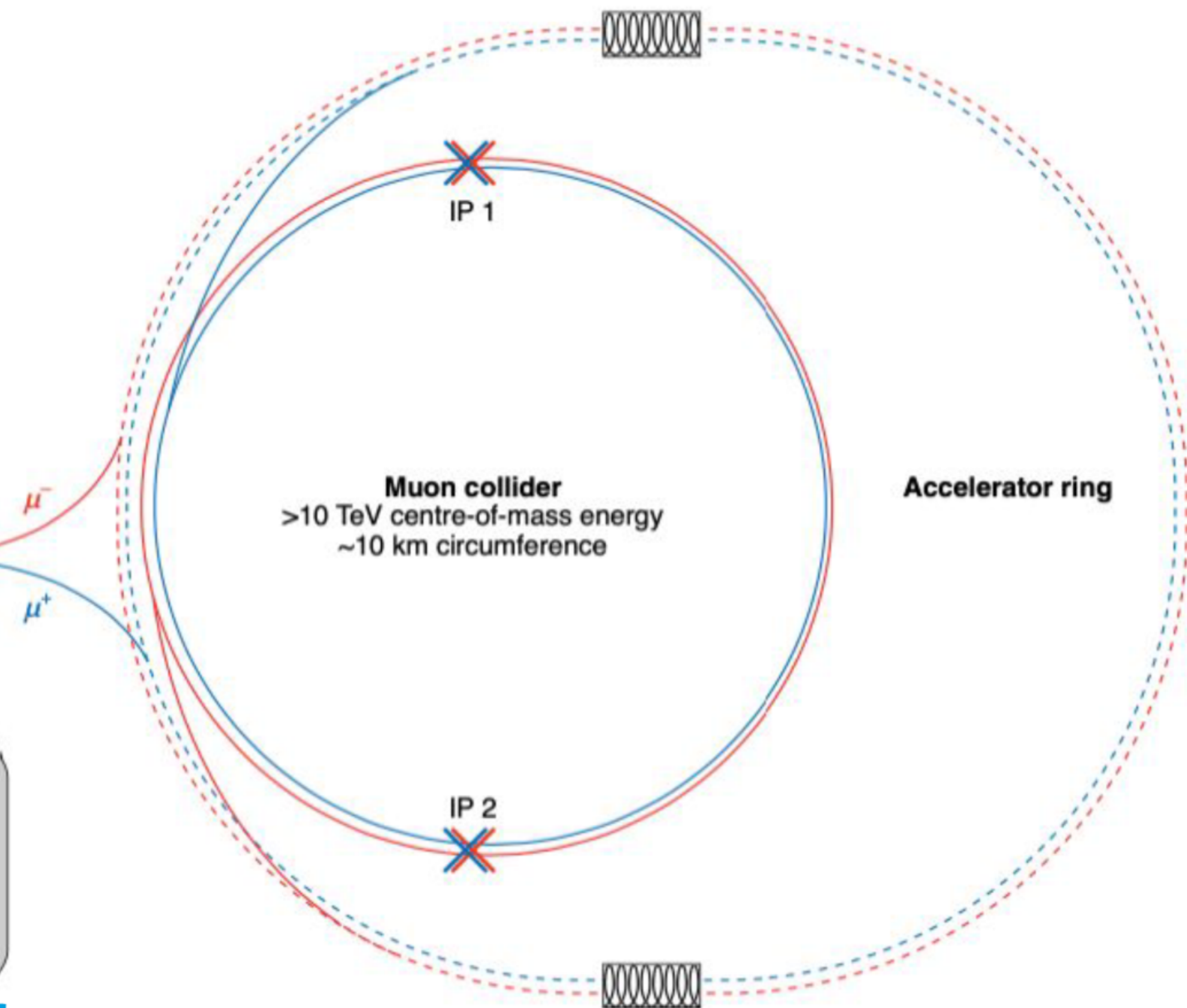
$$m_{\text{muone}} \sim 200 m_{\text{elettrone}}$$

Vanno prodotti e accelerati 🔧

Sono instabili 🔧



Proton-driven scheme



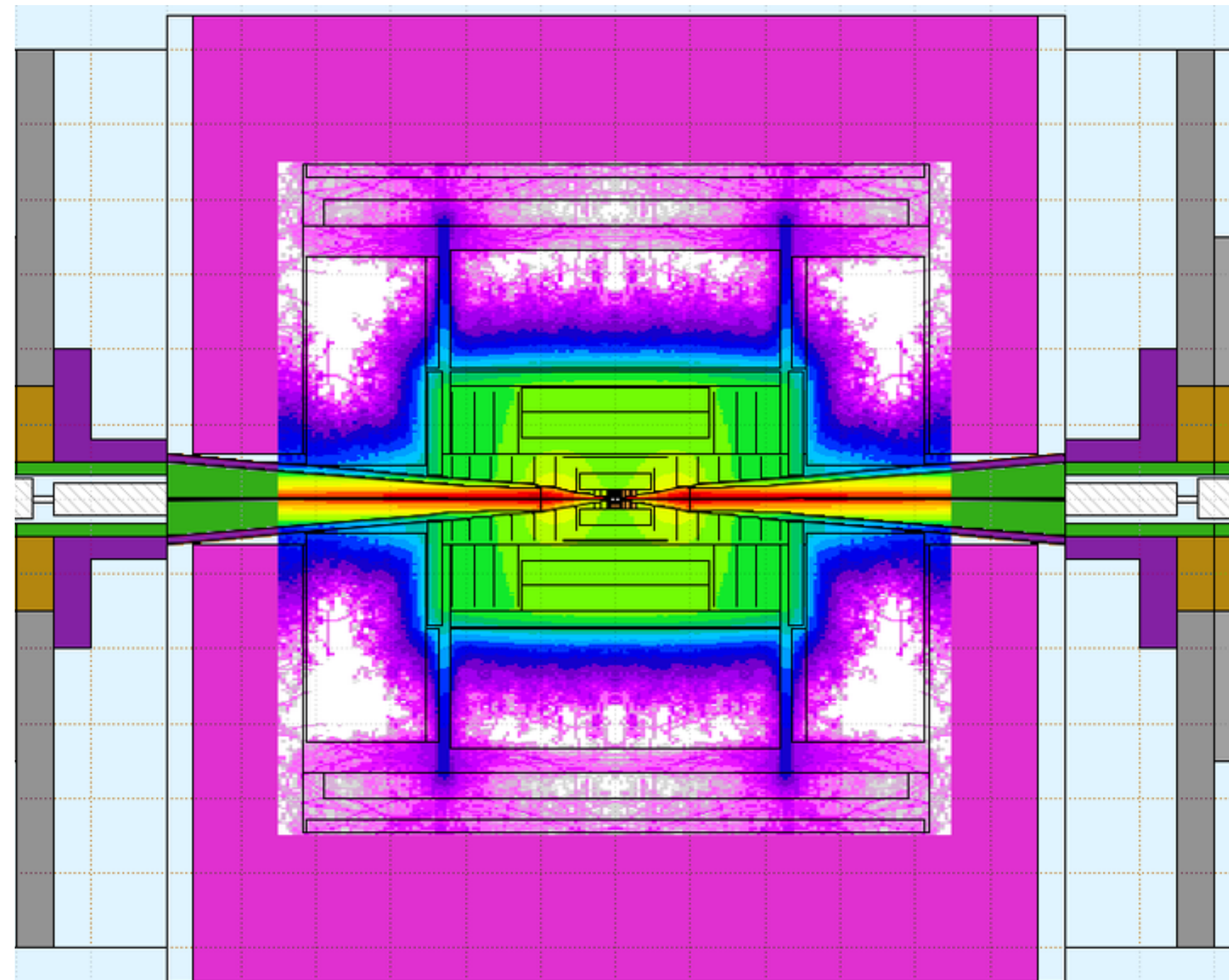
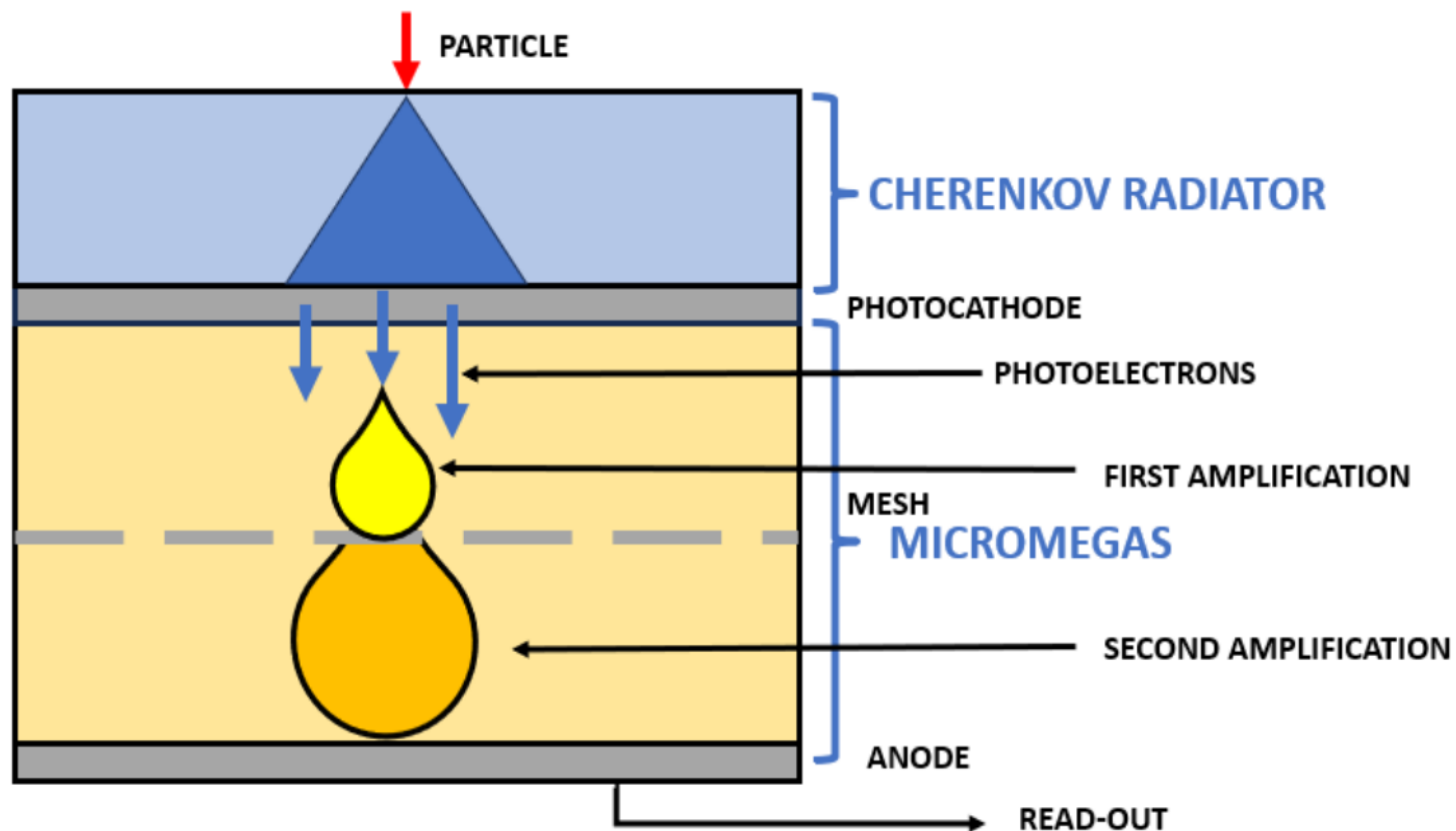
Ma i muoni?



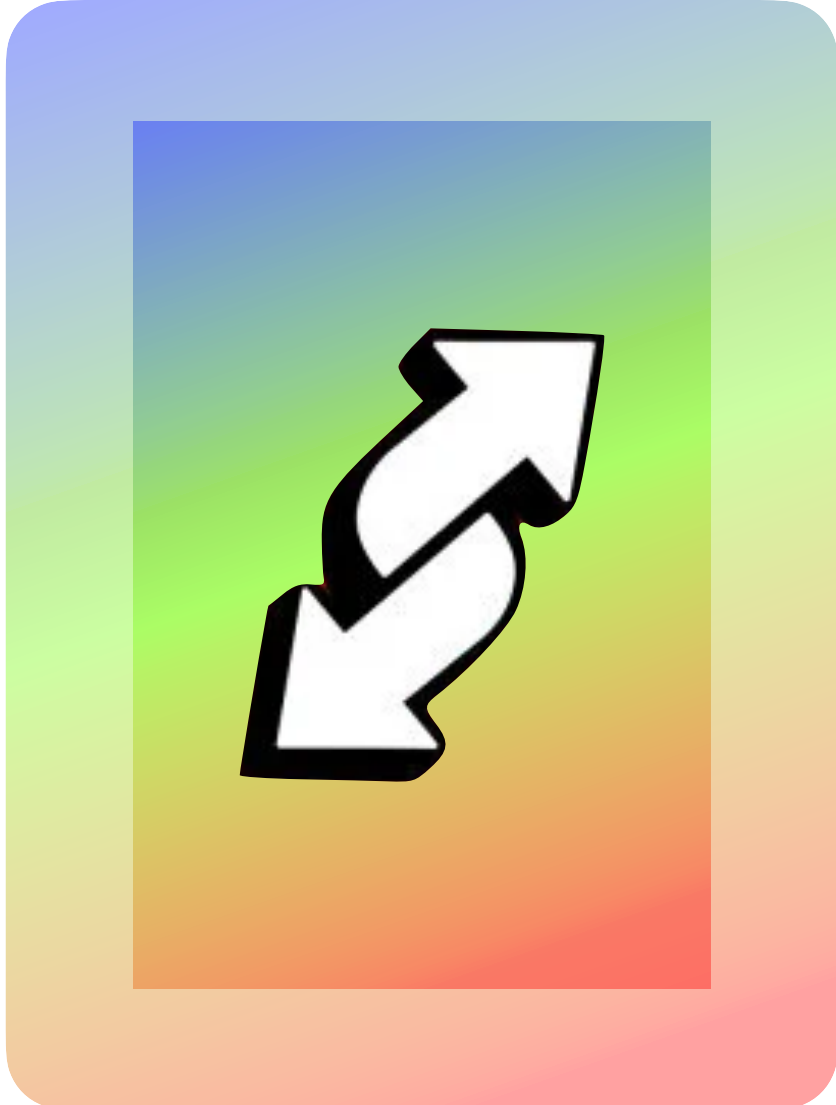
RD MUCOL @ Pavia:

Sviluppo di rivelatori a gas con eccellente risoluzione temporale, per separare i segnali prodotti nella collisione di interesse dal background

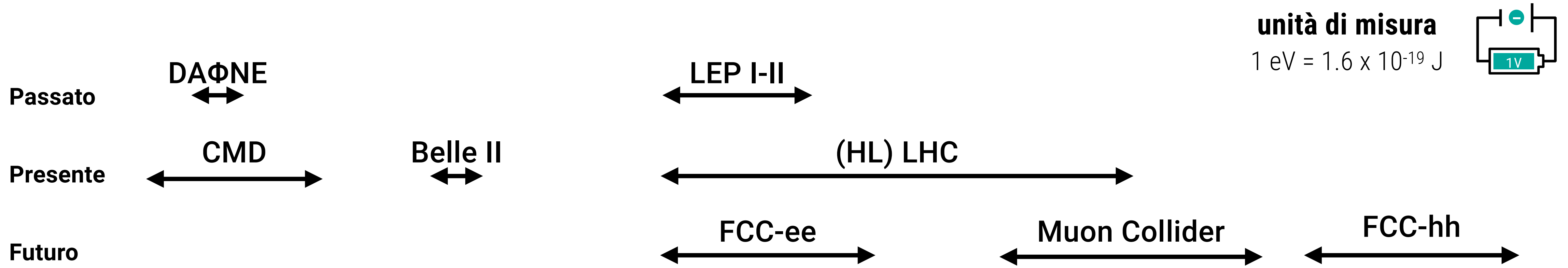
Simulazioni per verificare le performance del sistema a muoni usando canali di fisica (SM e Beyond SM)



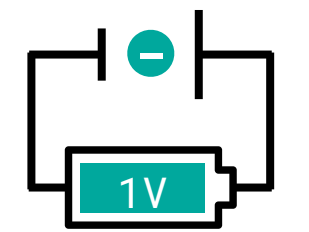
Beam Induced Background (BIB):
Interazioni nel rivelatore dovute alle particelle prodotte dal decadimento dei muoni, nell'area vicina al punto di collisione



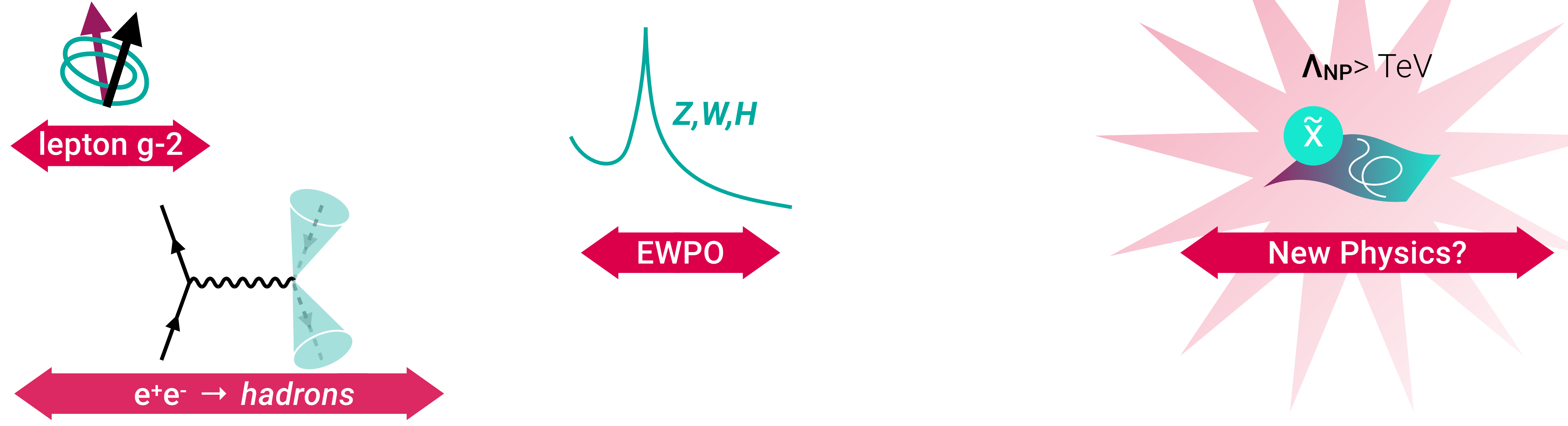
Collider



unità di misura
1 eV = 1.6×10^{-19} J

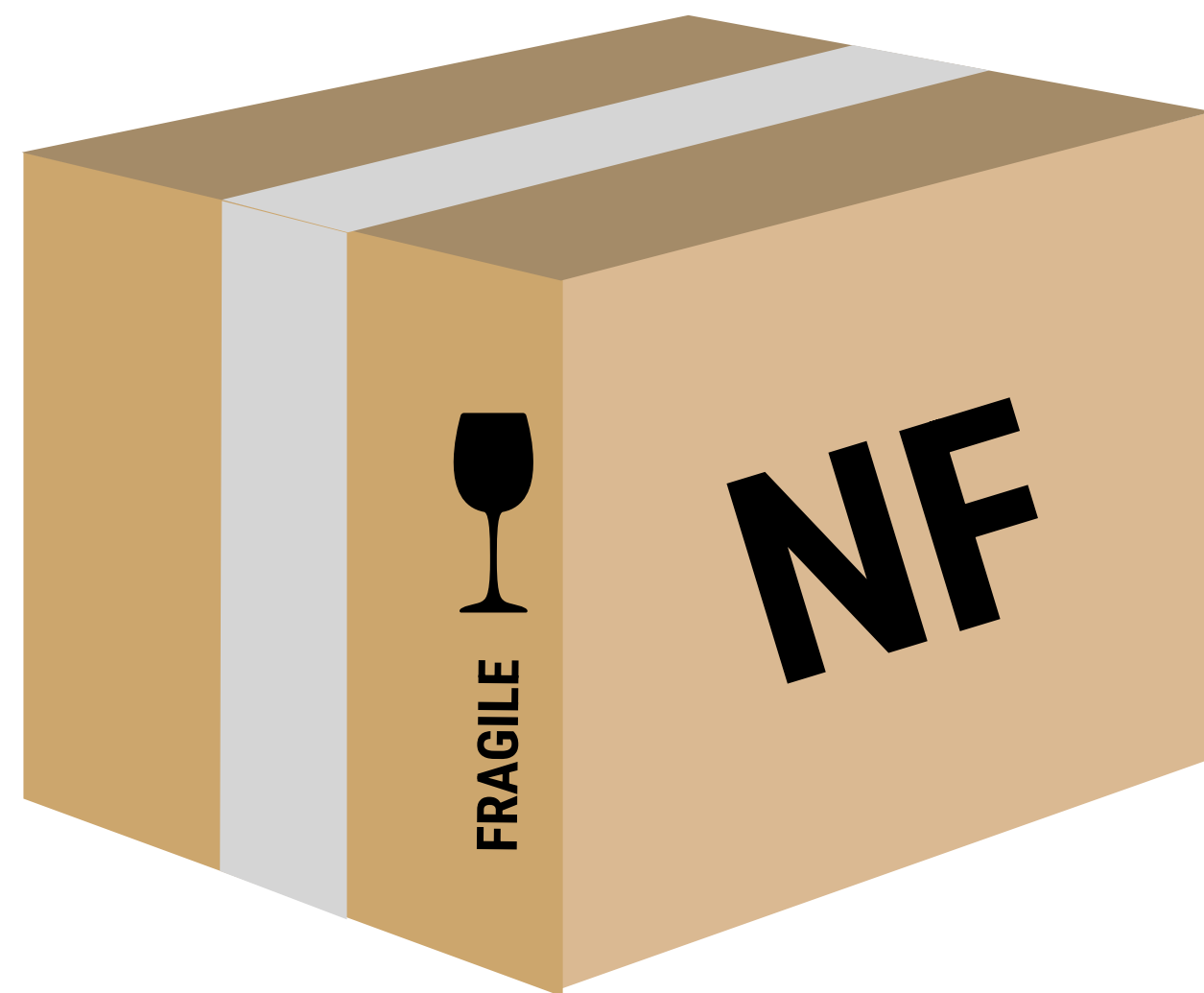


Osservabili



$$\frac{1}{\sqrt{2}} \left[\left| \begin{array}{c} \text{W} \\ \text{M} \end{array} \right\rangle + \left| \begin{array}{c} \text{M} \\ \text{W} \end{array} \right\rangle \right]$$

Se il Modello Standard è
vivo e morto allo stesso tempo





Non resta che **aprire la scatola**
della Nuova Fisica!

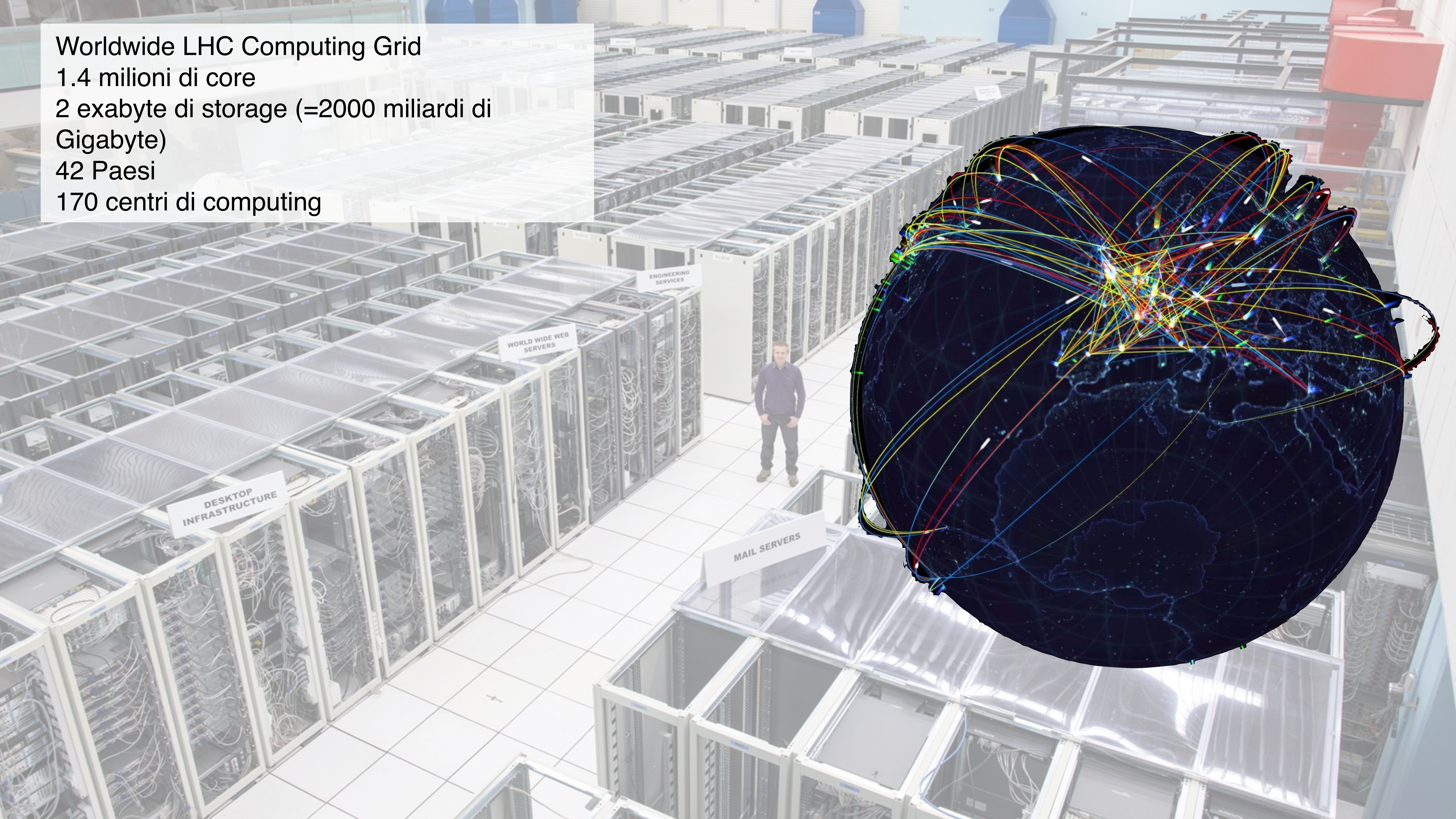
Worldwide LHC Computing Grid

1.4 milioni di core

2 exabyte di storage (=2000 miliardi di Gigabyte)

42 Paesi

170 centri di computing



Worldwide LHC Computing Grid

1.4 milioni di core

2 exabyte di storage (=2000 miliardi di Gigabyte)

42 Paesi

170 centri di computing



Da grandi moli di dati
derivano grandi potenzialità

Numero di eventi
osservati in ATLAS

Numero di bosoni di
Higgs prodotti da LHC

ATLAS Event Counter

23,376,185,243,968,853

Higgs bosons delivered by LHC

11,753,227

LHC Bosons